

รายงานการวิจัยฉบับสมบูรณ์

การศึกษาอากาศพลศาสตร์ของรถบรรทุกเล็ก ที่ติดอุปกรณ์เสริมและแนวทางการประหยัดพลังงาน

**Investigation on Aerodynamics of Small Utility Trucks
with Body Kits and Energy Saving Feasibility**

คณะกรรมการ

1. คุณเชษฐ์ เพียรทอง สังกัด คณะวิศวกรรมศาสตร์ มหาวิทยาลัยอุบลราชธานี
2. ประชาสันติ ไตรยสุทธิ์ สังกัด คณะวิศวกรรมศาสตร์ มหาวิทยาลัยอุบลราชธานี
3. ทองคำ กิริยะ สังกัด คณะวิศวกรรมศาสตร์ มหาวิทยาลัยอุบลราชธานี
4. ปรัชญา นุขดา สังกัด คณะวิศวกรรมศาสตร์ มหาวิทยาลัยอุบลราชธานี

โครงการวิจัยนี้ได้รับทุนอุดหนุนการวิจัยจากมหาวิทยาลัยอุบลราชธานี

ประจำปีงบประมาณ 2551

กิตติกรรมประกาศ

คณะกรรมการวิจัยขอขอบคุณผู้มีส่วนเกี่ยวข้องทุกท่านที่ทำให้งานวิจัยนี้สำเร็จลุล่วงตามวัตถุประสงค์ รวมทั้งการจัดทำรูปเล่มรายงานการวิจัยสำเร็จลุล่วงไปด้วยดี ขอขอบคุณ สำนักงานคณะกรรมการวิจัยแห่งชาติ (วช.) ขอขอบคุณนักศึกษาผู้ช่วยงานวิจัย ภาควิชาวิศวกรรมเครื่องกล ที่ช่วยสร้างชุดทดลอง ทำการทดลอง และรวบรวมผลการทดลอง อย่างมีความมั่น ตลอดระยะเวลาในการทำวิจัยที่ผ่านมา การวิจัยครั้งนี้ได้รับทุนอุดหนุนการวิจัยจากเงินงบประมาณแผ่นดิน ของมหาวิทยาลัยอุบลราชธานี คณะกรรมการวิจัย ขอขอบคุณไว้ ณ ที่นี่

คณะกรรมการวิจัย

รายงานการวิจัยเรื่อง	การศึกษาอากาศพลศาสตร์ของรถบรรทุกเล็กที่ติดอุปกรณ์เสริม และแนวทางการประหยัดพลังงาน
หัวหน้าโครงการวิจัย	ผศ. ดร. กุลเชษฐ์ เพียรทอง
ผู้ร่วมโครงการวิจัย	ผศ. ประชาสันติ ไตรยสุทธิ์ นายทองคำ กิริยะ นายปรัชญา มุขดา
คณะกรรมการศาสตร์	มหาวิทยาลัยอุบลราชธานี
ปีงบประมาณ	2551
งบประมาณที่ได้รับ	426,900 บาท
คำสำคัญ	อากาศพลศาสตร์ รถบรรทุกเล็ก อุปกรณ์เสริม

บทคัดย่อ

รูปร่างของรถยนต์ มีผลกระทบโดยตรงต่อสัมประสิทธิ์แรงต้าน เนื่องจากรูปร่างของรถยนต์ เป็นสาเหตุที่ทำให้เกิดแรงและโมเมนต์ที่กระทำต่อรถยนต์ งานวิจัยนี้เป็นการศึกษาคุณลักษณะทางอากาศพลศาสตร์ ของรถยนต์บรรทุกเล็กมีที่นั่งด้านหน้าสองตอน ที่มีการปรับปรุงท้ายระบบ เพื่อนำมาทดสอบสัมประสิทธิ์แรงต้าน (C_D) โดยใช้อุโมงค์ลมความเร็วต่าและวิธีจำลองเชิงตัวเลข ใช้ซอฟต์แวร์ Fluent แบบ 3 มิติ โดยทดสอบแบบจำลองด้วยอุโมงค์ลมที่ความเร็วระหว่าง 18 – 43 km/hr ก่อนที่จะทดสอบขนาดจริงด้วยวิธีจำลองเชิงตัวเลขที่ความเร็ว 36 – 126 km/hr ทดสอบรถ 6 กรณี คือเปิดท้ายระบบปกติ, เปิดฝ่าท้ายระบบ, ไม่มีฝ่าท้ายระบบ, ปิดท้ายระบบ, ครอบท้ายระบบแบบเฉียง, ครอบท้ายระบบแบบตรง โดยแบบจำลองทั้งหมดมีพื้นที่หน้าตัดของรถเท่ากัน การศึกษานี้ เน้นศึกษาคุณลักษณะด้านอากาศพลศาสตร์ ที่มีผลกับการหมุนวนของอากาศด้านท้ายระบบของรถบรรทุกเล็กเพื่อลดสัมประสิทธิ์แรงต้าน โดยกรณีครอบท้ายระบบแบบเฉียงจะลดสัมประสิทธิ์แรงต้านจาก 0.52 เป็น 0.4 (ที่ความเร็วเฉลี่ย) ลดอัตราการสิ้นเปลืองเชื้อเพลิงได้ 6.91 เปอร์เซ็นต์ กรณีครอบท้ายระบบแบบตรง เพิ่มสัมประสิทธิ์แรงต้านจาก 0.52 เป็น 0.75 เพิ่มอัตราการสิ้นเปลืองเชื้อเพลิงเป็น 8.81 เปอร์เซ็นต์ และศึกษาการลดลงของสัมประสิทธิ์ต้าน ของรถคันหลังที่วิ่งห่างจากคันหน้าที่ระยะห่างต่างกัน พบว่า ที่ระยะห่าง 10 m อัตราการสิ้นเปลืองเชื้อเพลิงลดลงจากวิ่งปกติคันเดียว 6.52 % (ที่ความเร็วเฉลี่ย) และกรณีรถวิ่งเยื้องกัน พบว่า รถคันหลังที่วิ่งห่างที่ระยะ 10 m และเยื้อง 1 m อัตราการสิ้นเปลืองเชื้อเพลิงของรถคันหลังลดลง 1.90 % (ที่ความเร็วเฉลี่ย) การศึกษานี้ยังยืนยันอีกว่า การลดการไหลของอากาศเข้าสู่ห้องผู้โดยสาร หรือลดการหมุนวนของอากาศที่เกิดจากรูปทรงท้ายระบบ ก็สามารถลดพลังงานในการขับเคลื่อนได้เช่นกัน

Investigation on Aerodynamics of Small Utility Trucks with Body Kits and Energy Saving Feasibility

Head of Project Asst. Prof. Dr. Kulachate Pianthong

Co-researchers Asst. Prof. Prachasanti Thaiyasuit

Mr. Thongkhum Kiriya

Mr. Prachya Mukda

Faculty of Engineering Ubon Ratchathani University

In Finance Year 426,900 Bath

Keyword Aerodynamics, Small Utility Trucks, Body Kits, CFD.

Abstract

Configuration of the car usually directly affects to its drag coefficient, because the car configuration is an important factor generating the different flow field. This flow field causes different force and moment reacted to the car. This study aims to investigate the aerodynamic characteristic of the cab pick-up truck. The pick-up box of the car has been modified and tested for drag coefficient by using low speed wind tunnel and using 3 dimensional computational fluid dynamic (CFD) technique (FLUENT). Models are tested at speed between 18 – 43 km/hr in the wind tunnel, before full dimension testing at speed between 36 – 126 km/hr in CFD. Six car models which are (1) normal pick-up box, (2) tailgate down, (3) tailgate off, (4) covered pick-up box, (5) slope rear box, and (6) van. All models have the same frontal area, only aft bodies are different. In this study, the main focus is to investigate the aerodynamic characteristics to reduce the coefficient of drag (C_D) due to the wake at the rear body of the pick-up car. When the slope rear box is used the C_D is reduced from 0.52 to be 0.4 (average speed), resulting fuel consumption reduction by 6.91 percentage. When van case is used, the C_D increase from 0.52 to be 0.75, the fuel consumption increase by 8.81 percentage. Also, the C_D of the trail car at different distance is investigated. It was found that, at the trailing distance of 10 m, the fuel consumption of the trail car can be reduced by 6.52 % averagely. In another case, when the trail car is running eccentrically, at traily distance of 10 m and eccentric distance of 1 m, it gives the best result which the fuel consumption can be reduced by 1.90 %. This study also confirms that reduction of internal flow in to the passenger cab or reduce wake by the geometry at the rear body of the pick-up car can significantly affect the C_D , hence the energy economy.

สารบัญ

	หน้า
บทคัดย่อภาษาไทย	ก
บทคัดย่อภาษาอังกฤษ	ข
กิตติกรรมประกาศ	ค
สารบัญ	จ
สารบัญตาราง	ฉ
สารบัญรูป	ช
คำอธิบายสัญลักษณ์และคำย่อ	ภ
บทที่ 1 บทนำ	
1.1 ความสำคัญและที่มาของปัญหา	1
1.2 วัตถุประสงค์ของงานวิจัย	2
1.3 ขอบเขตงานวิจัย	3
1.4 ระเบียบวิธีวิจัย	3
1.5 ประโยชน์ที่คาดว่าจะได้รับ	4
บทที่ 2 บททวนวรรณกรรมและงานวิจัยที่เกี่ยวข้อง	
2.1 ลักษณะแรงต้านอากาศที่กระทำกับรถยนต์	5
2.2 การปรับปรุงอากาศพลศาสตร์ด้วยอุโมงค์ลม	11
2.3 การปรับปรุงด้านอากาศพลศาสตร์ด้วย CFD	14
2.4 การวัดอัตราการลื่นเปลืองน้ำมันเชื้อเพลิง	18
บทที่ 3 ทฤษฎีที่เกี่ยวข้อง	
3.1 แรงที่ของไอลกระทำต่อวัตถุ	21
3.2 สมการมูลฐานของการไอล	32
3.3 Computational Fluid Dynamics (CFD)	37
บทที่ 4 การสร้างและการทดสอบอุโมงค์ลม	
4.1 ส่วนประกอบและเครื่องมือวัด	46
4.2 การทดสอบอุโมงค์ลม	54
บทที่ 5 การยืนยันผลการทดสอบของอุโมงค์ลม และ CFD	
5.1 การยืนยันผลของ CFD	61
5.2 การเปรียบเทียบสัมประสิทธิ์แรงต้านระหว่างการทดลองกับ CFD	65

สารบัญ (ต่อ)

	หน้า
บทที่ 6 การจำลองหาสัมประสิทธิ์แรงด้านของระบบบรรทุกเล็กขนาดจริงโดย CFD	
6.1 กรณีรถบรรทุกเล็กปรับปรุงท้ายระบบ	83
6.2 กรณีรถบรรทุกเล็กกว้างตามกัน	92
6.3 กรณีรถบรรทุกเล็กกว้างเยื้องกัน	98
6.4 กรณีอื่น ๆ	101
บทที่ 7 การเปลี่ยนแปลงอัตราการลิ้นเปลือยนน้ำมัน	
7.1 ทฤษฎีการเปลี่ยนแปลงอัตราการลิ้นเปลือยนน้ำมัน	113
7.2 การวิเคราะห์ทางเศรษฐศาสตร์ของการปรับปรุงอากาศพลศาสตร์	122
บทที่ 8 สรุปผลและข้อเสนอแนะ	
8.1 สรุปผลการศึกษา	124
8.2 ข้อเสนอแนะ	128
เอกสารอ้างอิง	130
ภาคผนวก	
ผลงานตีพิมพ์ที่เกี่ยวข้องกับงานวิจัย	134

สารบัญตาราง

	หน้า
ตารางที่	
4.1 ความเร็วของอากาศที่ตำแหน่งต่าง ๆ	56
4.2 ค่าที่ได้จากการทดสอบแรงด้านของวัตถุทรงกลม	59
4.3 ค่าที่ได้จากการทดสอบแรงด้านของวัตถุทรงสี่เหลี่ยม	59
5.1 จำนวนกริดและสัมประสิทธิ์แรงด้านที่ 72 km/hr	64
5.2 ค่าต่าง ๆ ที่ได้จากการทดสอบวัตถุทรงกลม	66
6.1 เมื่อนำใช้การคำนวณ CFD	82
6.2 คุณสมบัติของอากาศในการคำนวณ	83
6.3 สรุปกรณ์ที่ทดสอบ	109
6.4 ผลทดสอบกรณีปรับปรุงท้ายระบบ	111
6.5 ผลทดสอบกรณีวิ่งตามกัน	111
6.6 ผลทดสอบกรณีวิ่งเยื้องกัน	112
6.7 ผลทดสอบกรณีอื่น ๆ	112
7.1 การเปลี่ยนแปลงของสัมประสิทธิ์แรงด้าน กรณีปรับปรุงท้ายระบบ	114
7.2 การเปลี่ยนแปลงของสัมประสิทธิ์แรงด้าน กรณีวิ่งตามกัน	114
7.3 การเปลี่ยนแปลงของสัมประสิทธิ์แรงด้าน กรณีวิ่งเยื้องกัน	115
7.4 การเปลี่ยนแปลงของสัมประสิทธิ์แรงด้าน กรณีอื่น ๆ	115
7.5 คุณสมบัติของเครื่องยนต์	116
7.6 ค่าที่ได้จากการทดสอบ	117
7.7 การเปลี่ยนแปลงอัตราการลิ้นเปลืองน้ำมันที่ความเร็วต่าง ๆ กรณีปรับปรุงท้ายระบบ	119
7.8 การเปลี่ยนแปลงอัตราการลิ้นเปลืองน้ำมันที่ความเร็วต่าง ๆ กรณีวิ่งตามกัน	119
7.9 การเปลี่ยนแปลงอัตราการลิ้นเปลืองน้ำมันที่ความเร็วต่าง ๆ กรณีอื่น ๆ	120
7.10 การเปลี่ยนแปลงอัตราการลิ้นเปลืองน้ำมันที่ความเร็วเฉลี่ย กรณีปรับปรุงท้ายระบบ	120
7.11 การเปลี่ยนแปลงอัตราการลิ้นเปลืองน้ำมันที่ความเร็วเฉลี่ย กรณีวิ่งตามกัน	121
7.12 การเปลี่ยนแปลงอัตราการลิ้นเปลืองน้ำมันที่ความเร็วเฉลี่ย กรณีวิ่งเยื้องกัน	121
7.13 การเปลี่ยนแปลงอัตราการลิ้นเปลืองน้ำมันที่ความเร็วเฉลี่ย กรณีอื่น ๆ	121
7.14 การวิเคราะห์ทางเศรษฐศาสตร์ กรณีปรับปรุงท้ายระบบ	123

สารบัญตาราง (ต่อ)

	หน้า
ตารางที่	
8.1 เงื่อนไขการคำนวณ CFD	125
8.2 กรณีปรับปรุงท้ายกระบวนการ ที่ความเร็วเฉลี่ย	126
8.3 กรณีรับบรรทุกเล็กกว่าตามกันที่ความเร็วเฉลี่ย	127
8.4 กรณีรับบรรทุกเล็กกว่าเท่ากันที่ความเร็วเฉลี่ย	127
8.5 กรณีอื่น ๆ ที่ความเร็วเฉลี่ย	128

สารบัญรูป

	หน้า
รูปที่	
1.1 รถบรรทุกเล็กที่มีการคลุมท้ายระบบ	2
2.1 ความสัมพันธ์ระหว่างความเร็วกับแรงต้านที่เกิดขึ้นกับรถยนต์	6
2.2 สัดส่วนของลักษณะแรงต้านอากาศที่เกิดขึ้นกับรถยนต์	7
2.3 ลักษณะรูปทรงท้ายต่าง ๆ ของรถยนต์นั่ง	7
2.4 การเกิดเวคที่มีลักษณะ และขนาดที่แตกต่างกัน	8
2.5 ส่วนต่าง ๆ ของรถที่ทำให้เกิดเวค	9
2.6 อัตราการเพิ่มของสัมประสิทธิ์แรงต้านจากระบบระบายความร้อน	9
2.7 ความแตกต่างของสัมประสิทธิ์แรงต้าน	10
2.8 สัมประสิทธิ์แรงต้านของทรงกลมเจาะรู และไม่เจาะรู	11
2.9 การทดสอบโดยใช้อุโมงค์ลมขนาดใหญ่	12
2.10 การออกแบบช่องระบายความร้อนของเครื่องยนต์ที่แตกต่าง	14
2.11 มุน α , β , γ	16
2.12 การเกิดเวคส่วนท้ายระบบของรถบรรทุกเล็ก โดย CFD	17
2.13 ค่าที่ได้จากการวัดโดย APTH	19
3.1 การทดสอบรถบรรทุกเล็กจริงในอุโมงค์ลมของ NRC	21
3.2 แรงเนื้องจากของเหลวกระทำกับวัตถุ 2 มิติ	22
3.3 แรงเนื้องจากความดันและแรงเฉือน ที่กระทำต่อพื้นที่เล็ก ๆ บนผิวของวัตถุ	23
3.4 ชั้นขอบเขตที่เกิดบนแผ่นระนาบเรียบ	25
3.5 ลักษณะการไหลแบบคงตัวผ่านวัตถุทรงกระบอกที่วางตัวห่างทิศทางการไหล โดยมีค่า Reynolds number แตกต่างกัน	26
3.6 การกระจายความดันทางด้านบนและด้านล่างจะเท่ากัน และสำหรับของไหลสมมุติ	27
3.7 ชั้นขอบเขตและการแยกตัวที่เกิดจากการไหลผ่านทรงกระบอก	28
3.8 ตำแหน่งของจุดแยกตัวที่เกิดจากการไหลผ่านทรงกลม	28
3.9 คลื่นวนที่เกิดด้านท้ายของแผ่นระนาบที่วางตั้งฉากกับทิศทางการไหล	29
3.10 ลักษณะของปีกเครื่องบินและแผนภาพกระจายความดัน	29
3.11 การพัฒนารูปทรงของรถยนต์เพื่อลดแรงต้านที่กระทำต่อตัวรถ	30
3.12 ความคล้ายคลึงกันเชิงเรขาคณิต	31

สารบัญรูป (ต่อ)

	หน้า
รูปที่	
3.13 ความคล้ายคลึงกันเชิงจลน์	31
3.14 ความคล้ายคลึงกันเชิงพลวัต	32
3.15 ฟลักซ์ของมวลผ่านกรอบขนาดเล็กที่ตรึงอยู่ในโดเมนของการไหลเพื่อใช้ในการสร้างสมการเชิงอนุรักษ์มวล	33
3.16 รูปแบบแสดงเรցท์กระทำกับมวลของไหลขนาดเล็ก	34
3.17 พิจารณาและพลังงานที่เกิดขึ้นกับก้อนมวลขนาด dx และ dy	35
3.18 ลำดับการคำนวณของระเบียบชั้นแบบ Segregated solver	39
3.19 ลำดับการคำนวณของระเบียบชั้นแบบ Coupled solver	40
3.20 การเปลี่ยนแปลงอย่างไม่เป็นระเบียบของการไหลแบบปั่นป่วน	41
4.1 ขนาดส่วนแพร่เข้า	47
4.2 ส่วนอากาศแพร่เข้าที่สร้างขึ้น	48
4.3 รังผึ้ง	48
4.4 ขนาดส่วนปฏิบัติงาน	49
4.5 ส่วนปฏิบัติงานที่สร้างขึ้น	50
4.6 ขนาดของส่วนแพร่ออก	51
4.7 ส่วนแพร่ออกที่สร้างขึ้น	51
4.8 ขนาดส่วนกำลัง	52
4.9 ส่วนกำลังที่สร้างขึ้น	53
4.10 ขนาดของแต่ละส่วนที่นำมาประกอบกัน	54
4.11 หลอดบีโตท และมานอยเมเตอร์	55
4.12 ตำแหน่งการทดสอบความเร็วของอากาศ ส่วนปฏิบัติงาน	56
4.13 Load cell	57
4.14 วัสดุและแบบจำลอง	58
4.15 ลักษณะการไหลผ่านวัตถุทรงกลม	60
4.16 ลักษณะการไหลผ่านวัตถุทรงลี่เหลี่ยม	60
5.1 สัมประสิทธิ์แรงต้าน จากแบบจำลองความปั่นป่วนแบบต่าง ๆ	62
5.2 ลักษณะการกำหนดกริด	63

สารบัญรูป (ต่อ)

	หน้า
รูปที่	
5.3 สัมประสิทธิ์แรงต้าน และจำนวนกริด	64
5.4 สัมประสิทธิ์แรงต้านของการทดลอง และ CFD	66
5.5 เปรียบเทียบสัมประสิทธิ์แรงต้านทั้ง 3 วิธี	67
5.6 การแสดงการไหลของอากาศผ่านวัตถุทรงกลม ในอุโมงค์ลม และ CFD	68
5.7 สัมประสิทธิ์แรงต้านของการทดลอง และ CFD	68
5.8 การแสดงการไหลของอากาศผ่านวัตถุทรงลีสเลี่ยม ในอุโมงค์ลม และ CFD	69
5.9 ขนาดของแบบจำลอง กริด และลักษณะการทดสอบในอุโมงค์ลมและ CFD	69
5.10 แบบจำลองกรณีต่าง ๆ ที่ใช้ทดสอบในอุโมงค์ลมและ CFD	70
5.11 สัมประสิทธิ์แรงต้านของรุ่นขนาดจำลองกรณีต่าง ๆ	72
5.12 เส้นการไหลของอากาศผ่านรุ่นบรรทุกเล็กในอุโมงค์ลม	76
5.13 เส้นการแสดงการไหลของอากาศผ่านรุ่นบรรทุกเล็กใน CFD	79
6.1 แสดงขนาดและเงื่อนไขในการทดสอบแบบจำลองขนาดจริง	83
6.2 ค่าสัมประสิทธิ์แรงต้านของการเปลี่ยนรูปร่างของรูปทรงท้ายระบบกรณีต่าง ๆ	84
6.3 เส้นระดับแบบสีความดันสถิต (pascal) กรณี 1 เปิดท้ายระบบปกติ	85
6.4 เส้นระดับแบบสีความเร็ว (m/s) กรณี 1 เปิดท้ายระบบปกติ	85
6.5 เส้นระดับแบบสีความดันสถิต (pascal) กรณี 2 เปิดฝ่าท้ายระบบ	86
6.6 เส้นระดับแบบสีความเร็ว (m/s) กรณี 2 เปิดฝ่าท้ายระบบ	86
6.7 เส้นระดับแบบสีความดันสถิต (pascal) กรณี 3 ไม่มีฝ่าท้ายระบบ	87
6.8 เส้นระดับแบบสีความเร็ว (m/s) กรณี 3 ไม่มีฝ่าท้ายระบบ	87
6.9 เส้นระดับแบบสีความดันสถิต (pascal) กรณี 4 ปิดท้ายระบบ	88
6.10 เส้นระดับแบบสีความเร็ว (m/s) กรณี 4 ปิดท้ายระบบ	88
6.11 เส้นระดับแบบสีความดันสถิต (pascal) กรณี 5 ครอบท้ายระบบแบบเฉียง	89
6.12 เส้นระดับแบบสีความเร็ว (m/s) กรณี 5 ครอบท้ายระบบแบบเฉียง	89
6.13 เส้นระดับแบบสีความดันสถิต (pascal) กรณี 6 ครอบท้ายระบบแบบตรง	90
6.14 เส้นระดับแบบสีความเร็ว (m/s) กรณี 6 ครอบท้ายระบบแบบตรง	90
6.15 สัมประสิทธิ์แรงต้าน กรณีรุ่นวิ่งตามกัน	93
6.16 การเปลี่ยนแปลงของความเร็ว	94

สารบัญรูป (ต่อ)

	หน้า
รูปที่	
6.17 ระดับແບບສีความเร็วของอากาศ (m/s) ของรถคันหลังที่ระยะห่าง 10.0 m	96
6.18 ระดับແບບສีความเร็วของอากาศ (m/s) ของรถคันหลังที่ระยะห่าง 12.5 m	96
6.19 ระดับແບບສีความเร็วของอากาศ (m/s) ของรถคันหลังที่ระยะห่าง 15.0 m	97
6.20 ระดับແບບສีความเร็วของอากาศ (m/s) ของรถคันหลังที่ระยะห่าง 17.5	97
6.21 สัมประสิทธิ์แรงด้านของรถคันหลังที่ต่ำแห่งต่าง ๆ ที่ความเร็ว 90 km/hr	98
6.22 ระดับແບບສีความเร็วของอากาศ (m/s) ที่ระยะ X10, Z1	99
6.23 ระดับແບບສีความเร็วของอากาศ (m/s) ที่ระยะ X12.5, Z2	100
6.24 ระดับແບບສีความเร็วของอากาศ (m/s) ที่ระยะ X15, Z3	100
6.25 ระดับແບບສีความเร็วของอากาศ (m/s) ที่ระยะ X17.5, Z4	101
6.26 รูปลักษณ์ภายในห้องผู้โดยสาร	102
6.27 กรณีมีที่วางของบนห้องผู้โดยสาร	102
6.28 แสดงค่าสัมประสิทธิ์แรงด้าน	103
6.29 เส้นระดับແບບສีความดันสถิต (pascal) กรณีเปิดกระจก 1 ด้าน	104
6.30 เส้นระดับແບບສีความเร็ว (m/s) กรณีเปิดกระจก 1 ด้าน	104
6.31 เส้นระดับແບບສีความดันสถิต (pascal) กรณีเปิดกระจก 2 ด้าน	105
6.32 เส้นระดับແບບສีความเร็ว (m/s) กรณีเปิดกระจก 2 ด้าน	105
6.33 เส้นระดับແບບສีความดันสถิต (pascal) กรณีหลังคาท้ายระบบ	106
6.34 เส้นระดับແບບສีความเร็ว (m/s) กรณีหลังคาท้ายระบบ	106
6.35 เส้นระดับແບບສีความดันสถิต (pascal) กรณีมีที่วางของส่วนบนห้องผู้โดยสาร	107
6.36 เส้นระดับແບບສีความเร็ว (m/s) กรณีมีที่วางของส่วนบนห้องผู้โดยสาร	107
7.1 ความสัมพันธ์ระหว่างรอบเครื่องยนต์กับกำลังและแรงบิด	117
7.2 ตัวอย่างของลักษณะอุปกรณ์ที่นำมาปรับปรุงด้านอากาศพลศาสตร์	123

คำอธิบายสัญลักษณ์และคำย่อ

สัญลักษณ์	ความหมาย	หน่วย
C_D	สัมประสิทธิ์แรงต้าน	-
F_D	แรงต้านรวม	N
Re	Reynolds number	-
m/s	เมตรต่อวินาที	-
km/hr	กิโลเมตรต่อชั่วโมง	-
m	เมตร	-
cm	เซนติเมตร	-
mm	มิลลิเมตร	-
m^2	ตารางเมตร	-
hp	แรงม้า	kW
V	Volt	-
rev/min	รอบต่อนาที	-
//	นิ้ว	-
g	กรัม	-
α	ค่ามุมเอียง	องศา
θ	ค่ามุม	องศา
%	เปอร์เซ็นต์	-
dF	แรงรวมที่กระทำในแนวแกน	N
P	ความดัน	pascal
ρ	ความหนาแน่นของอากาศ	kg/m^3
μ	ความหนืดจลน์	$N.s/m^3$
τ	หน่วยแรงเสียบ	N/m^2
γ	น้ำหนักจำเพาะ	N/m^3
Z	ระดับความสูง	m
u, v, w	ความเร็ว	m/s
t	เวลา	s
U'	การไหลที่เปลี่ยนแปลงตามเวลา	-

คำอธิบายสัญลักษณ์และคำย่อ (ต่อ)

สัญลักษณ์	ความหมาย	หน่วย
a	ความเร่ง	m/s^2
m	มวล	kg
D	มิติ	-
Δ	เฉลี่ย	-
$k - \varepsilon$	แบบจำลองความปั่นป่วน k-epsilon	-

บทที่ 1

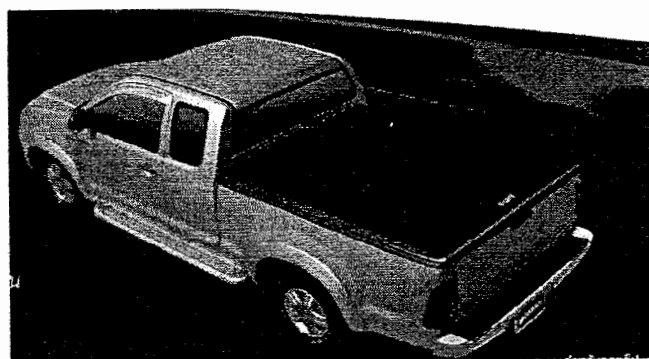
บทนำ

1.1 ความสำคัญและที่มาของปัญหา

ตามที่ประเทศไทยประกาศตัวว่าจะเป็น Detroit of Asia หรือ ศูนย์กลางการผลิตรถยนต์ของเอเชีย ทั้งรัฐบาลและเอกชนก็ได้ดำเนินการไปอย่างส่วนแล้ว มีอุตสาหกรรมยานยนต์เกิดขึ้นมากมาย ในประเทศไทย จนทำให้ประเทศไทยเป็นผู้ในการผลิตรถยนต์ที่ใหญ่ที่สุดประเทศไทยนั่น และในประเทศไทยเองมีการใช้งานรถยนต์มากประเทศไทยนั่น แต่อย่างไรก็ตาม โรงงานอุตสาหกรรมยานยนต์ในประเทศไทยเอง ส่วนมากจะเป็นผู้ผลิตหรือประกอบชิ้นส่วนรถยนต์ตามแบบที่ถูกออกแบบมาโดยบริษัทแม่เท่านั้น เราซึ่งไม่มีการศึกษาในเชิงออกแบบหรือพัฒนามากนัก ในด้านพลังงานนั้น เราใช้น้ำมันในการคมนาคมขนส่ง เกือบทั้งหมดเป็นน้ำมันสำเร็จรูป ได้แก่ น้ำมันดีเซล เบนซิน น้ำมันเตา และน้ำมันเครื่องบิน ซึ่งใช้เป็นเชื้อเพลิงสำหรับพาหนะต่างๆ ที่เราใช้ในชีวิตประจำวัน เช่น รถยนต์ รถไฟฟ้า และเครื่องบิน เป็นต้น ซึ่งในปี 2551 เรามีความต้องการใช้พลังงาน สำหรับการคมนาคม ขนส่งรวมทั้งสิ้นเทียบเท่าน้ำมันดิบ 31 ล้านตัน คิดเป็นร้อยละ 38 ของความต้องการใช้พลังงานทั้งหมด

การปรับปรุงด้านอากาศพลศาสตร์ (Aerodynamics) มีความสำคัญอย่างหนึ่งต่อการอนุรักษ์ พลังงานของรถยนต์ในปัจจุบัน เพราะการออกแบบรถยนต์ส่วนใหญ่จะเน้นความสวยงาม ทันสมัย แต่ การอนุรักษ์พลังงานในด้านรูปร่างของรถยนต์นั้น ยังมีการศึกษาและปรับปรุงน้อยกว่าในด้านเครื่องยนต์และกลไก โดยรูปร่างของรถยนต์เป็นปัจจัยโดยตรงต่อการเพิ่มหรือลดลงของสัมประสิทธิ์ แรงต้าน (Drag coefficient) เพราะฉะนั้น หากการออกแบบรูปร่างและการปรับปรุงรูปร่างรถให้มีสัมประสิทธิ์แรงต้านที่ต่ำ ก็จะช่วยลดพลังงานในการขับเคลื่อนด้วยอีกవิธีหนึ่ง อีกทั้งประเทศไทยเป็นประเทศที่กำลังพัฒนา มีการใช้รถยนต์เป็นจำนวนมาก และยังต้องการใช้สอยประโยชน์ในการบรรทุกสิ่งของเพื่อทางการค้าและคมนาคม ระบบรถทุกขนาดเล็กหรือที่รู้จักกันคือรถปิกอัพ จึงเป็นที่นิยมในประเทศไทย ดังนั้นการพัฒนาองค์ความรู้ด้านอากาศพลศาสตร์ โดยการทดลองจึงเป็นสิ่งจำเป็น ระบบรถทุกขนาดเล็กที่ใช้กันอยู่ในประเทศไทย ถึงแม้จะมีการออกแบบที่ดี พอดีแล้ว แต่ก็อาจจะสามารถปรับปรุง หรือ ดัดแปลงให้มีแรงต้านอากาศที่ต่ำลงได้อีก เพื่อช่วยในการประหยัดพลังงาน และในการใช้งานจริง ผู้ใช้งานมักจะติดตั้งอุปกรณ์เสริมเพื่อประโยชน์อย่างอื่นหรือเพื่อความสวยงาม ทำให้มีการใช้งานที่ผิดไปจากต้นแบบอยู่เสมอ ก่อให้เกิดแรงต้านของอากาศสูง ซึ่งจะทำให้เพิ่มพารามิเตอร์ ให้กับเครื่องยนต์ ทำให้เกิดการลื้นเปลืองพลังงานโดยไม่จำเป็น และการใช้งานระบบรถทุกขนาดเล็กในประเทศไทย ส่วนมากแล้วเจ้าของรถมักจะไม่ได้บรรทุกสิ่งของจนเต็มท้ายรถและก็ไม่ได้มีการปิดคลุม กระเบื้องท้ายรถ ส่วนมากช่วงท้ายรถจะว่าง โดยหลักอากาศพลศาสตร์ บริเวณท้ายรถที่ว่างนี้ เมื่อรถวิ่งไป จะเกิดอากาศหมุนวน (Vortex or recirculation) ซึ่งก็คือการเกิดการสูญเสีย (Loss) ในทางของไหล พลศาสตร์ อากาศที่หมุนวนนี้เมื่อประทับบนกระเบื้องท้าย จะทำให้เกิดแรงต้านและเป็นภาระที่เพิ่มให้กับ

เครื่องยนต์ ทำให้เครื่องยนต์ใช้พลังงานลิ้นเปลี่ยงมากขึ้น ดังแสดงในรูปที่ 1.1 อย่างไรก็ตาม ปรากฏการณ์ดังกล่าวจะแปรเปลี่ยนไปตามความเร็วของรถและรูปร่างของระบบท้าย ดังนั้น การศึกษาปรากฏการณ์นี้โดยละเอียดจะสามารถทำให้ทราบสภาพปัญหา ข้อมูล ความจริง และสามารถเสนอแนวทางแก้ไขที่เหมาะสมได้ อนึ่ง ในต่างประเทศ เช่น ออสเตรเลีย มีกฏหมายว่า รถบรรทุกเล็กจะต้อง มีการคลุมกระเบนท้ายให้มิดชิด อาจจะเป็นเรื่อง ของความปลอดภัย หรือ เรื่อง การประหยัดพลังงานก็เป็นได้ กระเบนของรถบรรทุกขนาดเล็กในออสเตรเลีย จะค่อนข้างต่ำมาก อาจจะเป็นการออกแบบเพื่อลดแรงต้านที่เป็นไป



รูปที่ 1.1 รถบรรทุกขนาดเล็กที่มีการคลุมท้ายระบบ

จากงานวิจัยในประเทศไทย การนำวิธีจำลองเชิงตัวเลข (Computational Fluid Dynamics: CFD) มาใช้ในการทดสอบ และลดลัมประสิทธิ์แรงต้านของรถบรรทุกขนาดเล็ก พบร่วมกับวิจัยที่เคยทำมาก่อน ดังนั้นในงานวิจัยนี้ จะนำความรู้เรื่องอากาศพลศาสตร์มาศึกษาและปรับปรุง สัมประสิทธิ์แรงต้าน โดยมีการเปลี่ยนแปลงรูปร่างของรถ รวมไปถึงการศึกษาปัญหา ข้อดีข้อเสีย ของการติดตั้งอุปกรณ์เสริม โดยจะทำการศึกษาทั้งด้านการทดลองโดยใช้อุโมงค์ลม แต่จะเน้นทางด้าน การใช้โปรแกรมโดยวิธีจำลองเชิงตัวเลข ซึ่งอาจมีการปรับปรุงรูปร่างของรถบรรทุกขนาดเล็กจริงในอนาคต

1.2 วัตถุประสงค์ของงานวิจัย

1. เพื่อพัฒนาอุโมงค์ลมให้เหมาะสมกับการศึกษาอากาศพลศาสตร์
2. สามารถเปรียบเทียบสัมประสิทธิ์แรงต้านแบบจำลองรถบรรทุกขนาดเล็กจาก CFD กับการทดลองในอุโมงค์ลมอย่างถูกต้องและสอดคล้องกัน
3. เพื่อศึกษาสัมประสิทธิ์แรงต้านรูปร่างชนิดต่าง ๆ ของแบบจำลองรถบรรทุกขนาดเล็กขนาดจริงโดย CFD อย่างถูกต้อง
4. เพื่อเสนอแนวทางการปรับปรุงด้านอากาศพลศาสตร์ของรถบรรทุกขนาดเล็ก

1.3 ขอบเขตของโครงการวิจัย

ในงานวิจัยนี้ เป็นการทดสอบเพื่อหาค่าสัมประสิทธิ์แรงต้านและแรงต้านของรถบรรทุกขนาดเล็ก ในการปรับปรุงรูปร่างในกรณีต่าง ๆ โดยใช้วิธีคำนวณเชิงตัวเลข เพื่อความถูกต้องและสอดคล้องกัน จึงได้มีการทดสอบพร้อมกับแบบจำลองที่ทดสอบในอุโมงค์ลม ดังนั้นจึงได้กำหนดขอบเขตของงานวิจัยไว้ดังนี้

1. ใช้ CFD code (FLUENT) 3 มิติในการออกแบบ และการคำนวณเชิงตัวเลข
2. ศึกษาอาศาพลาสติกของรถบรรทุกเล็ก ในประเทศไทย ในช่วงความเร็วไม่เกิน 140 km/hr หรือประมาณ (39 m/s)
3. ใช้รถบรรทุกขนาด 1 ตัน แบบตอนเดียว หรือมีห้องโดยสารเสริม (Cab)
4. สภาพบรรทุกเป็น บรรทุกภาคปกติ โดยเฉลี่ยของประเทศไทย
5. ใช้อุโมงค์ลม โดยความเร็วไม่เกิน 15 m / s ในการทดสอบแบบจำลอง

1.4 ระเบียบวิธีการวิจัย

1. ศึกษาและรวบรวมงานวิจัยที่เกี่ยวข้องจากหนังสือ และวารสาร
2. ศึกษาวิธีการออกแบบโครงสร้างของอุโมงค์ลมแบบง่าย
3. จัดเตรียมวัสดุ และทำการสร้างอุโมงค์ลม
4. ทดสอบ เปรียบเทียบ และปรับปรุงอุโมงค์ลม
5. ศึกษาการใช้โปรแกรม CFD โดยโปรแกรม FLUENT และ GAMBIT
6. ศึกษาระเบียบวิธีเชิงตัวเลขในการแก้ปัญหาการไหล
7. ศึกษาและใช้ CFD จำลองการไหลผ่านวัตถุอย่างง่าย เช่น ทรงกลม ทรงสี่เหลี่ยม 2 และ 3 มิติ
8. ศึกษาปัญหาของรูปร่างที่มีผลกับแรงต้านของรถบรรทุกขนาดเล็กที่ใช้ในประเทศไทย
9. ใช้ CFD จำลองเปรียบเทียบ (Validate) วัตถุอย่างง่าย กับผลทดลองจากการวิจัยและการสาร
10. ใช้ CFD จำลองรถบรรทุกขนาดเล็กเพื่อตรวจสอบสัมประสิทธิ์แรงต้าน
11. ใช้อุโมงค์ลม และ CFD ทดสอบและเปรียบเทียบแรงต้าน ในการปรับปรุงรูปร่าง และลักษณะการวิ่งของรถบรรทุกเล็กบนท้องถนน ซึ่งมีกรณีต่าง ๆ ดังนี้คือ กรณีปรับปรุงท้ายระบบ, กรณีวิ่งตามกันของรถบรรทุกเล็ก, กรณีวิ่งเยื้องกัน และกรณีอื่น ๆ เพื่อนำมาวิเคราะห์ผล
12. คำนวณอัตราการลงทุนการปรับปรุงรูปร่างรถกับการประหยัดเชื้อเพลิง
13. วิเคราะห์ และสรุปผล
14. เผยแพร่รายงาน การวิจัยฉบับสมบูรณ์

1.5 ประโยชน์ที่คาดว่าจะได้รับ

1. สามารถหาแนวทางในการปรับปรุงส่วนอื่น ของระบบทุกขนาดเล็กให้สัมประสิทธิ์แรงด้านลดลงอีกได้ โดยการวิเคราะห์จากการจำลองเชิงตัวเลข
2. ได้องค์ความรู้ในการปรับปรุงด้านอาชีวศึกษาศาสตร์ของyanพานะชนิดอื่น โดยใช้เวชีจำลองเชิงตัวเลข
3. ได้ข้อมูลที่เป็นประโยชน์ ต่อการใช้งานระบบทุกขนาดเล็กให้เหมาะสมในแต่ละอาชีวศึกษาศาสตร์
4. ได้เครื่องมือ (อุปกรณ์) ที่สามารถทดสอบแบบจำลองต่าง ๆ ได้
5. เสนอแนวทางในการประยัดดังงานของการใช้ระบบทุกขนาดเล็ก

บทที่ 2

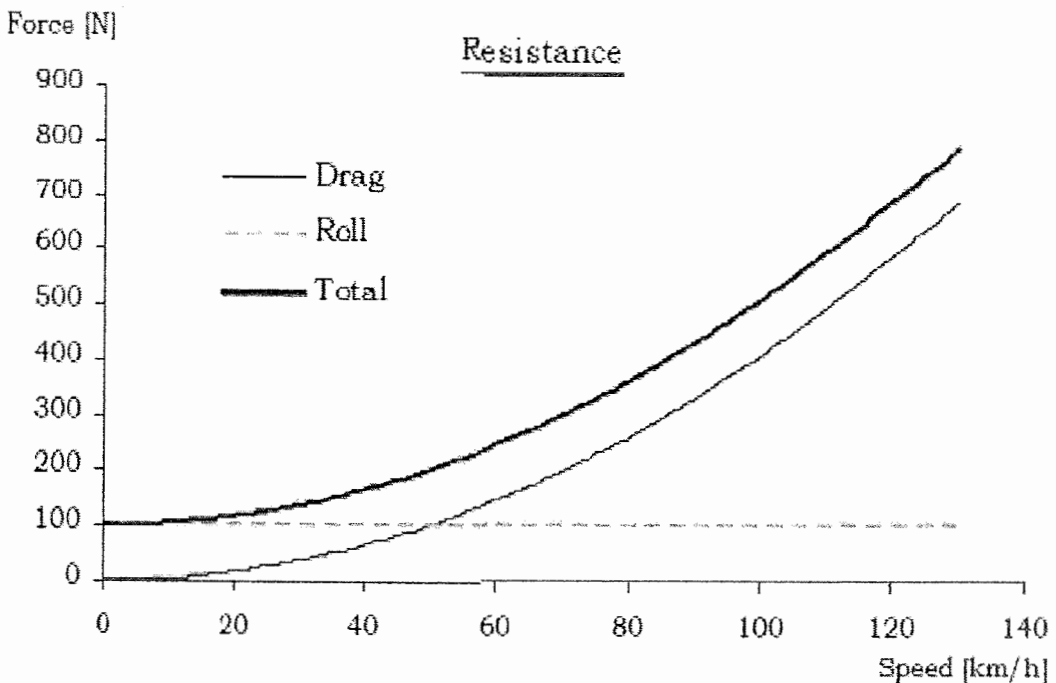
ทบทวนวรรณกรรมและงานวิจัยที่เกี่ยวข้อง

การศึกษางานวิจัยที่เกี่ยวข้องด้านอากาศพลศาสตร์ เพื่อหาค่าสัมประสิทธิ์แรงด้านจากการทดลองด้วยอุโมงค์ลม และการจำลองด้วยวิธีจำลองเชิงตัวเลข (CFD) ที่นักวิจัยท่านอื่นได้ศึกษาหรือทำการวิจัยมาก่อน ถือเป็นองค์ความรู้ที่สำคัญ ก่อนดำเนินวิจัยและพัฒนาองค์ความรู้ส่วนต่าง ๆ ต่อไป ดังนั้น สำหรับบทนี้ จะได้นำเสนอการศึกษาของงานวิจัยท่านอื่นที่ผ่านมา ซึ่งประกอบด้วยวิธีการวิจัย ในรูปแบบต่าง ๆ ทฤษฎีและหลักการที่นำมาใช้ในการแก้ปัญหา อุปสรรคหรือผลกระทบที่เกิดขึ้น ผลสรุป และข้อดีของงานวิจัย เพื่อถือนำมาเป็นหลักการในการนำองค์ความรู้มาพัฒนาในการปรับปรุง รูปทรงหรือวิธีที่ช่วยลดสัมประสิทธิ์แรงด้านของรถบรรทุกเล็กในงานวิจัยนี้

2.1 ลักษณะแรงด้านอากาศที่กระทบรถยนต์

วินัย ศรีอัมพร [2] การไหลของอากาศรอบ ๆ รถยนต์ โดยอากาศครอบคลุมอยู่ผิวนอกของ รถยนต์ เรียกการไหลแบบนี้ว่า การไหลภายนอก (External flow) ซึ่งการศึกษาการไหลภายนอกมีส่วน สำคัญมากต่อการเคลื่อนที่ของรถยนต์ จึงจำเป็นที่ต้องอาศัยหลักการของอากาศพลศาสตร์มาวิเคราะห์ ในกรณีที่มีการเคลื่อนที่ของรถยนต์ต่าง ๆ จะต้องพิจารณาที่อากาศกระทำต่อผิวนอกของรถยนต์ คือ แรงยกและแรงหน่วง (Lift and Drag) ทึ้งสองแรงมีความสำคัญมากต่อการออกแบบรูปทรงที่ถูกต้อง และความเหมาะสมเพื่อให้มีคุณสมบัติทางอากาศพลศาสตร์ที่ดี

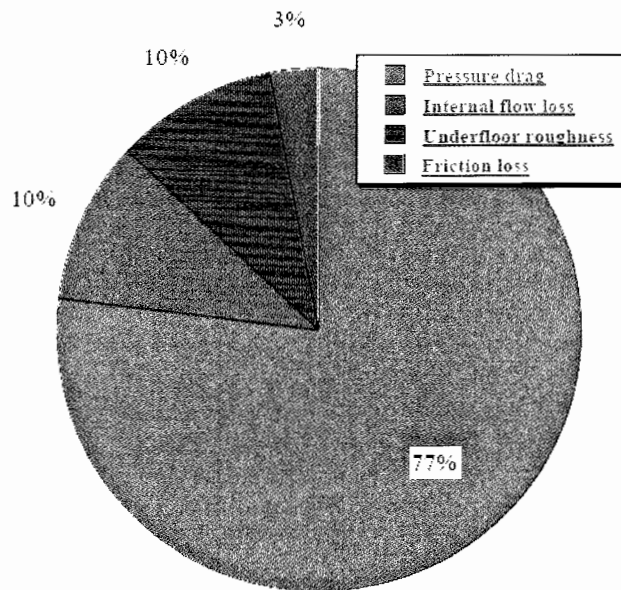
ชั่งรถยนต์ที่นำมาใช้งานในปัจจุบัน จากแรงที่กระทบทั้งแรงยกและแรงหน่วง หากจะพิจารณา โดยรวมกันคือแรงด้านอากาศ Alexander [3] กล่าวว่า รถยนต์ทุกชนิดที่วิ่งบนถนนนั้น จะมีแรงด้านที่มี ทิศทางสวนทางกับทิศทางการวิ่ง คือแรงเสียดทานที่เกิดจากยางสัมผัสกับถนนในขณะที่ล้อหมุนเพื่อวิ่ง ไปข้างหน้า และอีกอย่างหนึ่งคือแรงด้านอากาศ ซึ่งถ้ารถวิ่งแหวกอากาศออกไปที่มีความเร็วต่ำ แรง ด้านอากาศจะน้อยมากเมื่อเปรียบเทียบกับแรงด้านการหมุน ถ้ารถวิ่งด้วยความเร็วสูงแรงด้านอากาศ จะมีผลต่อการขับเคลื่อนอย่างยิ่ง ซึ่งแรงด้านอากาศจะเพิ่มขึ้นถึง 80 % ของแรงด้านทั้งหมด



รูปที่ 2.1 ความสัมพันธ์ระหว่างความเร็วกับแรงต้านที่เกิดขึ้นกับรถยนต์ Alexander [3]

จากรูปที่ 2.1 จะเห็นได้ว่าแรงเสียดทานระหว่างพื้นถนนกับล้อ จะคงที่ตลอดความเร็วที่รถยนต์วิ่ง และแรงต้านอากาศมีผลกระแทกกับการเคลื่อนที่มากกว่าแรงเสียดทานระหว่างล้อกับพื้นถนน ซึ่งแรงต้านอากาศจะมีค่ามากหรือน้อย ย่อมขึ้นอยู่กับลักษณะรูปร่างของรถยนต์

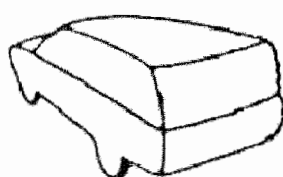
ดังนั้นในการศึกษา จึงมุ่งเน้นเฉพาะแรงต้านอากาศที่กระทำกับรถยนต์ ซึ่งลักษณะของแรงต้านที่เกิดขึ้นมีลักษณะที่แตกต่างกัน ซึ่ง Hocho [4] พบว่าแรงต้านอากาศที่เกิดขึ้นกับรถยนต์นั้นจะแบ่งออกเป็น 4 ลักษณะ คือแรงต้านอากาศที่เกิดจากแรงดันอากาศ (Pressure drag), แรงต้านอากาศที่เกิดจากการไหลเข้าภายในรถยนต์ (Internal flow loss), แรงต้านอากาศที่เกิดขึ้นบริเวณระหว่างพื้นรถยนต์กับพื้นถนน (Underfloor roughness), และแรงต้านอากาศที่เกิดจากการเสียดทานของอากาศกับผิวภายนอกรถยนต์ (Friction loss) โดยแต่ละลักษณะแรงต้านที่เกิดขึ้นดังที่กล่าวมา ก็จะมีสัดส่วนที่แตกต่างกัน จะมีค่ามากหรือน้อย ก็จะขึ้นอยู่กับรูปร่างเป็นปัจจัยที่ทำให้เกิดลักษณะของแรงต้านนั้น ๆ มากหรือน้อย รูปที่ 2.2 เป็นสัดส่วนของแรงต้านอากาศที่เกิดขึ้นกับรถยนต์แบบนั้น ที่มีค่าสัมประสิทธิ์แรงต้านอยู่ในช่วง 0.25 – 0.40



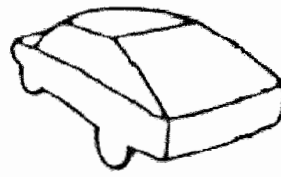
รูปที่ 2.2 สัดส่วนของลักษณะแรงต้านอากาศที่เกิดขึ้นกับรถยนต์ Hocho [4]

2.1.1 แรงต้านอากาศที่เกิดจากแรงดันอากาศ (Pressure drag)

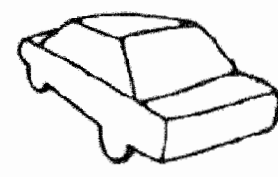
เป็นแรงต้านอากาศที่มีค่ามากที่สุด เกิดจากการที่อากาศประทับพื้นที่ของรถยนต์ ที่มีทิศทางที่ตั้งฉากกับทิศทางการไหล จะส่งผลทำให้เกิดการปั่นป่วนของอากาศเมื่อไหลผ่านรถยนต์ ทำให้เกิดความดันแตกต่างระหว่างด้านหน้าและด้านหลังของรถยนต์ ซึ่งค่าแรงต้านอากาศจะมากหรือน้อยจะขึ้นอยู่กับรูปทรงของรถยนต์ โดยเฉพาะส่วนท้ายของรถยนต์ จะเกิดการหมุนวนของอากาศมาก โดย Ahmed and Baumert [5] ได้แบ่งลักษณะของรูปทรงท้ายของรถยนต์นั้น เป็น 3 ลักษณะคือ ทรงท้ายสี่เหลี่ยม (Squareback), ทรงท้ายเฉียง (Fastback), และทรงท้ายบาก (Notchback) ดังรูปที่ 2.3



Squareback



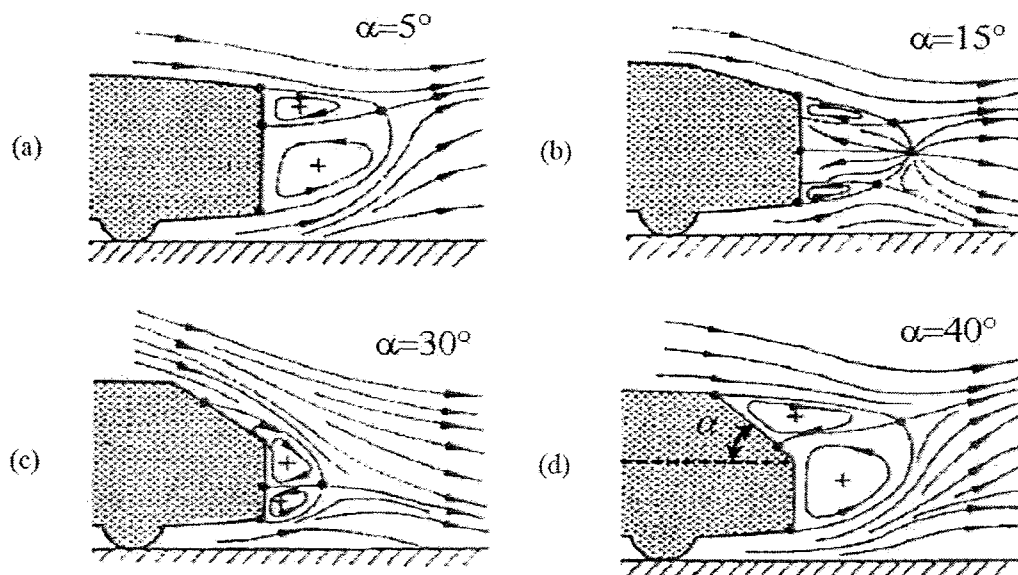
Fastback



Notchback

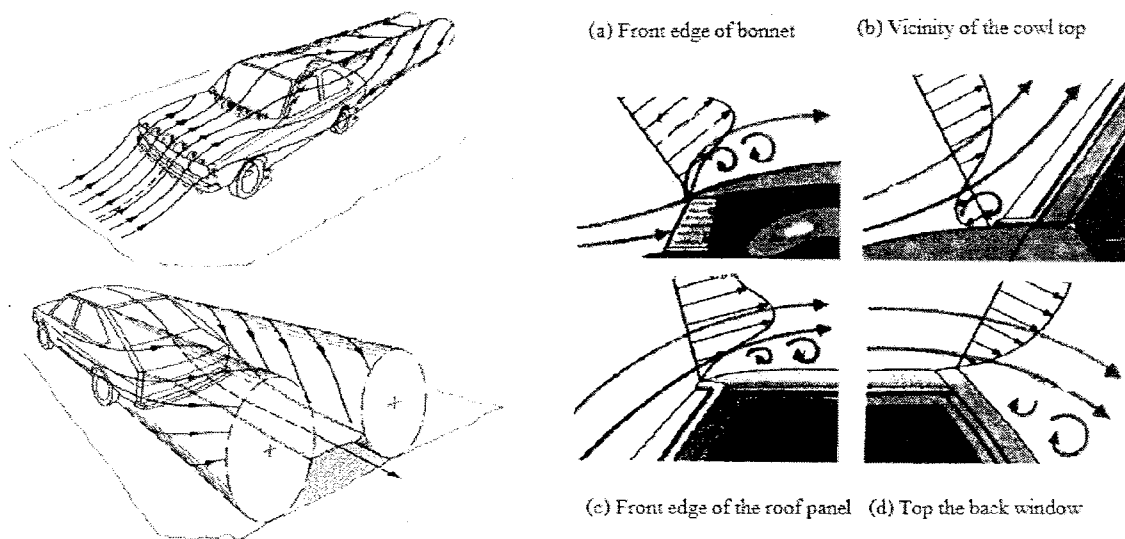
รูปที่ 2.3 ลักษณะรูปทรงท้ายต่าง ๆ ของรถยนต์นั้น Ahmed and Baumert [5]

ซึ่งรูปทรงท้ายแต่ละรูปทรงก็จะส่งผลทำให้เกิดลักษณะการหมุนวนของอากาศที่แตกต่างกัน โดย Ahmed [6] ได้ศึกษาความแตกต่างของการหมุนวนของอากาศของรูปทรงท้ายของรถยนต์ โดยค่า มุมเอียงของรูปทรงท้าย มีค่าแตกต่างกันคือ $\alpha = 5^\circ$, $\alpha = 15^\circ$, $\alpha = 30^\circ$ และ $\alpha = 40^\circ$ พบร่วมค่ามุม รูปทรงท้ายที่ $\alpha = 30^\circ$ จะทำให้เกิดการหมุนวนเป็นวงหรือเวค (Wake) ที่มีขนาดเล็กมากที่สุด ซึ่งมี ลักษณะด้านอากาศพลศาสตร์ที่ดี ดังรูปที่ 2.4



รูปที่ 2.4 การเกิดเวคที่มีลักษณะ และขนาดที่แตกต่างกัน Ahmed [6]

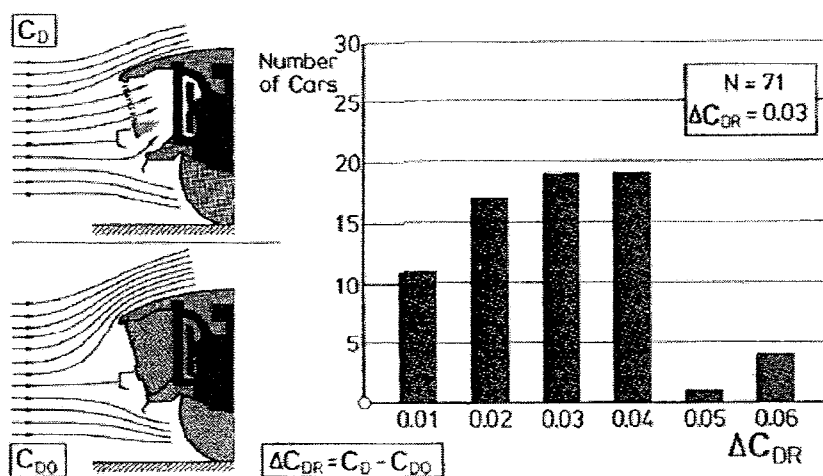
ไม่เฉพาะส่วนท้ายของรถเท่านั้นที่ทำให้เกิดเวค แต่ส่วนต่าง ๆ ของรถยนต์ ที่มีการ เปลี่ยนแปลงระดับมุมที่มาก ๆ ก็จะทำให้เกิดเวคเช่นเดียวกัน เนื่องจากการเปลี่ยนแปลงความดันของ อากาศอย่างฉบับพลัน ซึ่ง Scibor [7] พบร่วมค่าการเกิดการหมุนวนของอากาศที่ทำให้เกิดเวค นอกจาก ส่วนท้ายรถแล้วยังมีส่วนหลัก ๆ ที่ทำให้เกิดเวค คือ บริเวณส่วนหน้าของฝาครอบเครื่องยนต์ (Front edge of bonnet), ส่วนบนของตัวถังรถใต้กระจากหน้า (Vicinity of the cowl top), ด้านหน้าส่วนบนห้อง ผู้โดยสาร (Front edge of the roof panel) และด้านหลังส่วนบนห้องผู้โดยสาร (Top the back window) ซึ่งการเกิดเวคจากส่วนต่าง ๆ นี้ จะเกิดการรวมตัวกันและทำให้เวคขนาดใหญ่บริเวณด้านหลังรถ และ มีขนาดใหญ่ขึ้นเมื่อระยะห่างออกไปในขณะที่รถยนต์วิ่งด้วยความเร็วสูงขึ้น ดังรูปที่ 2.5



รูปที่ 2.5 ส่วนต่าง ๆ ของรถที่ทำให้เกิดเวด Scibor [7]

2.1.2 แรงต้านอากาศที่เกิดจากการไหลเข้าภายในรถยนต์ (Internal flow loss)

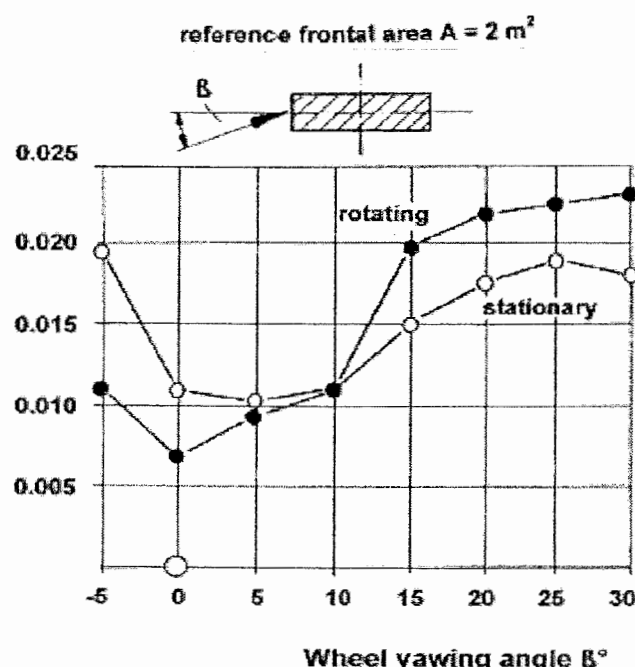
เกิดขึ้นเนื่องจากการไหลของอากาศผ่านเข้าภายในตัวรถเพื่อระบายความร้อนให้กับระบบทำความเย็นในระบบต่าง ๆ ของรถยนต์ เช่นระบบหม้อน้ำ ระบบเบรก ระบบไอดี เป็นต้น ซึ่งทำให้เกิดการหมุนวนภายในทำให้เกิดการสูญเสีย ซึ่ง Hucho [8] ได้พิบว่า รถยนต์โดยส่วนใหญ่ที่มีระบบให้อากาศไหลเข้าไปภายในรถยนต์เพื่อระบายความร้อน เพิ่มสัมประสิทธิ์แรงต้านรวมของรถ (C_D) จากเดิมประมาณ 0.03



รูปที่ 2.6 อัตราการเพิ่มของสัมประสิทธิ์แรงต้านจากระบบระบายความร้อน Hucho [8]

2.1.3 แรงต้านอากาศที่เกิดขึ้นบริเวณระหว่างพื้นรถยนต์กับถนน (Underfloor roughness)

ชั้นพลังงานจะนิ่งจากยานพาณิชย์ (Outer region) Boundary layer ส่งถ่ายเข้าสู่ยานพาณิชย์ (Inner region) ทำให้เกิดโมเมนตัมบริเวณระหว่างพื้นรถกับพื้นถนน เป็นเหตุให้เกิดการสูญเสียและความดันท้ายรถต่ำลง อีกอย่างหนึ่งก็คือ มีการหมุนวนของอากาศจากล้อที่หมุน โดย Hucho [8] พบว่า การทดสอบสัมประสิทธิ์แรงต้านของรถ ระหว่างให้ล้อรถหมุน กับไม่หมุน ค่าของสัมประสิทธิ์แรงต้าน จะมีความแตกต่างกัน และการอ้างของล้อที่ไม่ขานกับถนนก็มีผลทำให้สัมประสิทธิ์แรงต้านเพิ่มขึ้น



รูปที่ 2.7 ความแตกต่างของสัมประสิทธิ์แรงต้าน Hucho [8]

2.1.4 แรงต้านอากาศที่เกิดจากการเสียดทานของอากาศ (Friction loss)

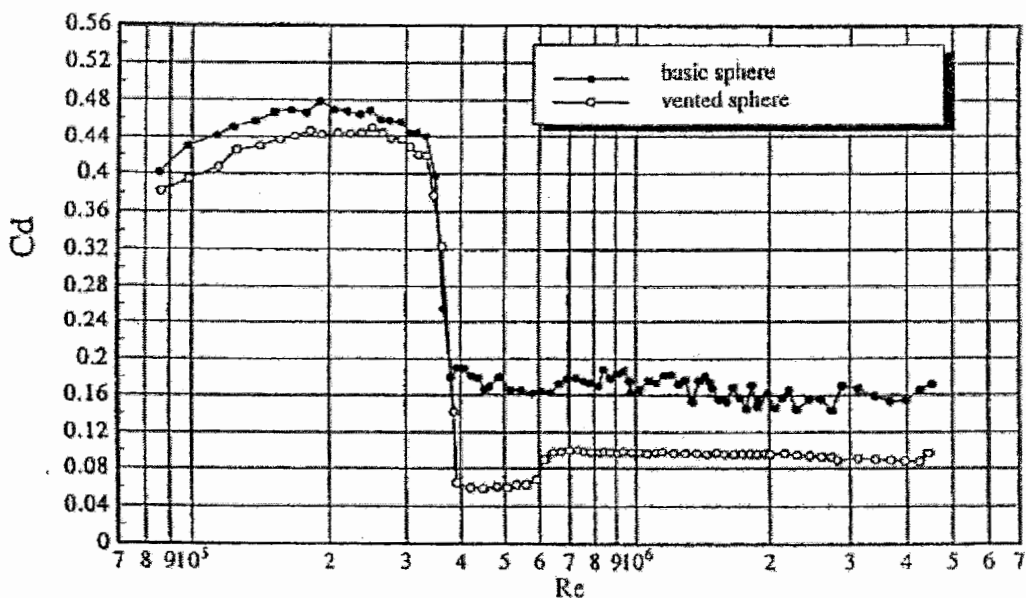
แรงต้านดังกล่าวสามารถอธิบายด้วยหน่วยแรงเฉือนที่ผิวของรถ (Wall shear stress) เกิดขึ้นจากความหนืดของของเหลว ซึ่งแรงนี้จะมีทิศทางขนานกับผิวรถ ซึ่งจากรูปที่ 2.2 จะเห็นว่า ลักษณะของแรงนี้จะมีค่าน้อยมาก เมื่อจากอากาศมีค่าความหนืดต่ำ และอิทธิพลแรงต้านจากค่าความหนืดนี้จะลดลงเรื่อยๆ เมื่อความเร็วรถเพิ่มขึ้น

2.2 การปรับปรุงอากาศพลศาสตร์ ด้วยอุโมงค์ลม

ในการศึกษาด้านอากาศพลศาสตร์ อุโมงค์ลม (Wind tunnel) เป็นอุปกรณ์ที่สำคัญในการทดสอบแรงต้านของวัตถุปทรงต่าง ๆ ใช้ในวิเคราะห์สนาการไหล และใช้สังเกตการเกิดการแยกตัวของอากาศ (Separation) ซึ่งจะเกิดการแยกตัวสูงเมื่อวัตถุมีรูปร่างลักษณะไม่เพรียวยลาม (Buff body) โดยรูปร่างลักษณะนี้ เมื่ออากาศไหลผ่านวัตถุที่มี Reynolds number สูงขึ้น จะทำให้ความแตกต่างของความดันที่จุดแยกตัวมีค่าสูง จะทำให้ค่าสัมประสิทธิ์แรงต้านมีค่าที่สูงตามไปด้วย จึงมีนักวิจัยที่พยายามหาแนวทางการลดสัมประสิทธิ์แรงต้าน โดยพยานลดการแยกตัวดังต่อไปนี้

2.2.1 แนวทางการลดสัมประสิทธิ์แรงต้าน ของรูปทรงต่าง ๆ

Groshe and meier [9] ได้พิจารณาที่จะลดการเกิดการแยกตัวของวัตถุทรงกลม ใช้วิธีการทดสอบโดยให้อากาศไหลผ่านทรงกลมเจาะรูตรงกลาง ทดสอบด้วยอุโมงค์ลมความดันสูง (High-pressure wind tunnel) ทำให้อากาศที่ผ่านทรงกลมที่เจาะรูเกิดการแยกตัววิกฤตหรือ Supercritical Reynolds number (Supercritical Reynolds number คือการเกิดลักษณะของจุดที่เกิดการแยกตัว เคลื่อนตำแหน่งไปทางด้านท้ายวัตถุ ทำให้สัมประสิทธิ์แรงต้านลดลงอย่างรวดเร็ว) ซึ่งทรงกลมเจาะรูตรงกลางจะมีค่าสัมประสิทธิ์แรงต้านจะลดลงมากกว่าทรงกลมธรรมด้า ที่ Reynolds number เดียวกัน ดังรูปที่ 2.8

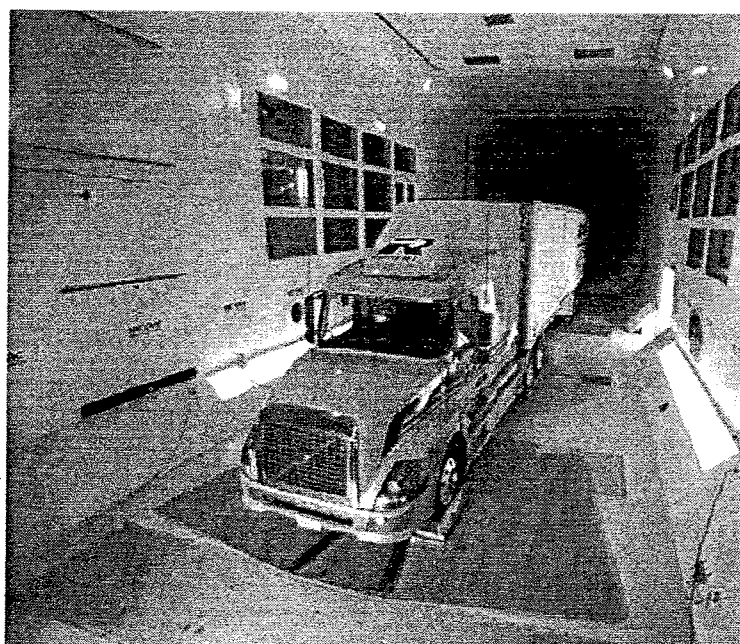


รูปที่ 2.8 สัมประสิทธิ์แรงต้านของทรงกลมเจาะรู และไม่เจาะรู Groshe and meier [9]

Prasad and Williamson [10] ได้ทำการศึกษาเพื่อลดสัมประสิทธิ์แรงต้านของรูปทรงกระบอกชั่งในการทดสอบได้กำหนดตัวแปรคือ g ความยาวของทรงกระบอก, D คือเส้นผ่านศูนย์กลางของทรงกระบอก, และ P คือค่าเส้นผ่านศูนย์กลางของรูที่เจาะทะลุตามแนวแกนทรงกระบอก โดยใช้ Reynolds number ในการทดสอบระหว่าง $1,000 < \text{Reynolds} < 100,000$ และจากการทดสอบผลแสดงว่า รูปร่างที่ให้ผลการลดสัมประสิทธิ์แรงต้านที่ดีที่สุดเมื่ออัตรา $P/D = 0.34$ และ $g/D = 1.5$ ซึ่งสามารถลดสัมประสิทธิ์แรงต้านได้ถึง 62%

2.2.2 แนวทางการลดสัมประสิทธิ์แรงต้านของรถยนต์

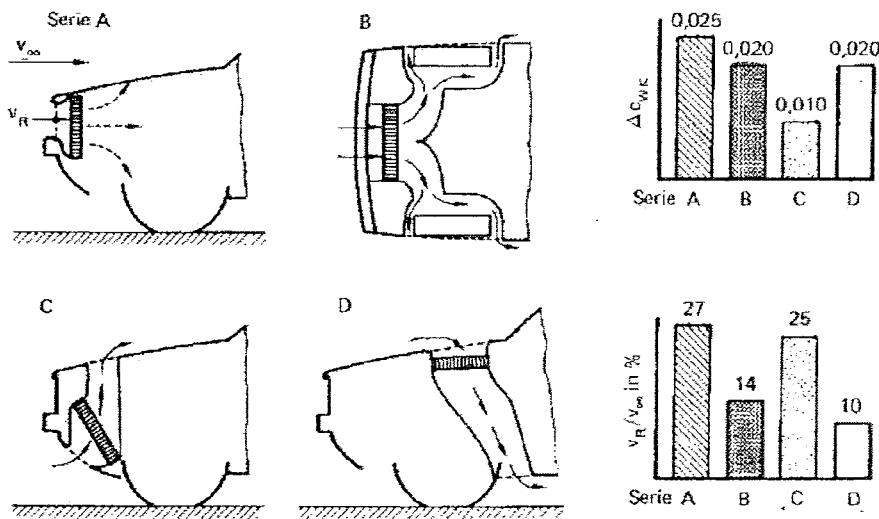
Van Dam [11], Kwon [12] และ Storms [13] ได้นำเอาหลักการของการลดการแยกตัวของอากาศของวัตถุ มาใช้เพื่อปรับปรุงรูปทรงของรถยนต์ชนิดต่าง ๆ ที่เป็นการทดสอบในอุโมงค์ลมขนาดเล็ก ใช้รูแบบจำลองในการทดสอบ แต่มักจะเกิดความคลาดเคลื่อนของค่าสัมประสิทธิ์แรงต้านที่วัดได้จากการทดสอบไม่ตรงกับค่าที่เกิดขึ้นกับรถยนต์จริง เนื่องจากรายละเอียดรูปทรงผู้รถแบบจำลองไม่สามารถสร้างเหมือนจริงทุกรายละเอียด ต่อมาได้พัฒนามาใช้อุโมงค์ลมขนาดใหญ่ ที่สามารถทดสอบรถยนต์จริงได้ โดยสามารถทดสอบสัมประสิทธิ์แรงต้านได้ถูกต้อง และวิเคราะห์สนามการไหลที่เกิดขึ้นได้อย่างชัดเจน Leuschen and Cooper [14] ที่ได้นำรถบรรทุกขนาดใหญ่ขนาดจริงทดสอบโดยใช้อุโมงค์ลมขนาดใหญ่ ศึกษาและเปรียบเทียบสัมประสิทธิ์แรงต้านโดยการติดตั้งอุปกรณ์เสริมภายนอก ทำให้ค่าสัมประสิทธิ์แรงต้านรวมเปลี่ยนแปลงจากรูปทรงต้นแบบเดิมดังรูปที่ 2.9



รูปที่ 2.9 การทดสอบโดยใช้อุโมงค์ลมขนาดใหญ่ Leuschen and Cooper [14]

พบว่า ไม่ใช่แต่รูปทรงของรถยนต์เพียงอย่างเดียวที่มีผลกับค่าสัมประสิทธิ์แรงต้าน แม้แต่ อุปกรณ์ติดตั้ง หรืออุปกรณ์เสริมเพื่ออำนวยความสะดวกในการใช้งาน ก็มีผลทำให้สัมประสิทธิ์แรงต้านเพิ่มขึ้น โดยเฉพาะอุปกรณ์เสริม ที่ติดตั้งจากกับทิศทางการไหลของอากาศ และยื่นออกจากตัวรถ ซึ่งเป็นอุปกรณ์ที่ทำให้เกิดการสูญเสีย (Loss) โดยอุปกรณ์เหล่านี้จะดูดซับพลังงานส่วนยอดความดัน (Pressure head) และลดความเร็ว (Velocity head) ของอากาศเมื่อประทับบน เช่น กันชนรถยนต์, อุปกรณ์บังแสงแดดด้านข้างกระจก, อุปกรณ์สำหรับวางของบนหลังคา เป็นต้น ซึ่งเพิ่มอัตราการสั่นเปลือยเชือเพลิง 4 % ถึง 6 % แต่ก็มีอุปกรณ์เสริมที่ช่วยลดสัมประสิทธิ์แรงต้าน ซึ่งเป็นอุปกรณ์ที่ช่วยในลดการหมุนวนของอากาศ (Vortex or recirculation) เช่น ที่บังลม เป็นต้น ซึ่งลดอัตราการสั่นเปลือยเชือเพลิง (Fuel consumption) 5 % ถึง 7 % เป็นการลดอัตราการสูญเสียโดยการลดการหมุนวนของอากาศ ที่เกิดขึ้นภายนอกตัวรถยนต์ (External flow loss) แต่อุปกรณ์บางชิ้น เช่น สปอร์ยเลอร์ Kieffer, et al. [15] ได้ศึกษาอุปกรณ์เสริมที่มีส่วนทำให้แรงต้านสูงขึ้นนั้น ก็มีข้อดีสำหรับเพิ่มแรงกดเพื่อยืดติดถนนสำหรับรถยนต์นั่ง แต่ก็ควรไม่ให้มีค่าสูงมากจนเกินไปโดย Tomiyama et al. [16] ได้ศึกษาแรงยกเพื่อที่จะหาค่าที่เหมาะสมของแรงยกกับรูปร่างรถ ใช้อุโมงค์ลมเป็นเครื่องมือทดสอบเปรียบเทียบกับการคำนวณทางทฤษฎีของแรงยก ซึ่งแบ่งได้เป็นสองส่วนคือ แรงยกด้านหน้า และแรงยกด้านหลัง และได้ศึกษาพฤติกรรมของเวลซึ่งมีลักษณะไม่คงตัว (Unsteady) โดยในการศึกษาได้ใช้รถยนต์นั่งติดสปอร์ยเลอร์ พบร่วมรูปร่างด้านท้ายที่ก่อให้เกิดแรงต้านมากที่สุด เรียกรูปทรงนี้ว่า รูปทรงท้ายวิกฤต (Critical afterbody geometry) ซึ่งสอดคล้องกับงานวิจัยของ อาทิตย์ ฤทธิ์เลื่อน และ อุดม เกียรติ นนท์แก้ว [17] และ Fukuda, et al. [18] ได้ปรับปรุงอากาศพลศาสตร์โดยการควบคุมอากาศที่กระแทกกับรถยนต์แบบนั้น ซึ่งจะเน้นอุปกรณ์การควบคุมการไหลผ่านด้านหลังรถซึ่งเป็นที่รู้จักกันคือ สปอยเลอร์ ได้มีการปรับเปลี่ยนรูปร่างของ สปอยเลอร์ ปรับเปลี่ยนมุมมองค่า ขนาด และตำแหน่งของ การติดตั้ง โดยมีจุดประสงค์เพื่อที่จะเพิ่มแรงกด และลดแรงต้าน ใน การวิเคราะห์พบว่า เมื่อรูปทรงด้านท้ายได้มีการเปลี่ยนแปลงจนกระทั่งถึงรูปทรงท้ายวิกฤต จะทำให้เกิดรูปแบบการไหลในเว寇อย่างฉับพลัน และมีเวคขนาดใหญ่ ทำให้เกิดแรงต้านสูง และระยะระหว่างพื้นรถและพื้นถนนก็ยังมีผลกับสัมประสิทธิ์แรงต้านด้วยเช่นกัน

แต่สาเหตุการสูญเสียที่เกิดขึ้นจากการไหลของอากาศผ่านรถยนต์นั้น ยังมีการสูญเสียเนื่องจากการไหลของอากาศเข้าสู่ภายในรถยนต์ (Internal flow loss) โดยอากาศสามารถไหลเข้าผ่านช่องว่างระหว่างส่วนประกอบของชิ้นส่วนรถยนต์ (Gap) ทำให้เกิดการหมุนภายใน โดยเฉพาะอากาศที่ไหลเข้าภายในเพื่อระบายน้ำร้อน โดย Hucho [8] ได้เปรียบเทียบของสัมประสิทธิ์แรงต้านระหว่าง การออกแบบช่องระบายน้ำอากาศที่แตกต่างกัน ซึ่งได้ใช้รถยนต์แบบนั่งทดสอบ ผลปรากฏว่า การออกแบบที่ให้อากาศไหลเข้าด้านล่างเพื่อระบายน้ำร้อนของเครื่องยนต์ จะเพิ่มสัมประสิทธิ์แรงต้านน้อยที่สุด ดังรูปที่ 2.10



รูปที่ 2.10 การออกแบบช่องระบายความร้อนของเครื่องยนต์ที่แตกต่างกัน Hucho [8]

เช่นเดียวกันกับ ช่วงห่างระหว่างผู้โดยสารกับส่วนท้ายระบบห้องน้ำที่มีการลดการสูญเสียที่เกิดขึ้นโดยการติดตั้งอุปกรณ์เพื่อปิดช่องว่าง หรืออุปกรณ์เพื่อช่วยลดการไหลเข้าสู่ช่องว่าง แต่การทดสอบในอุโมงค์ลมก็ยังมีข้อจำกัดของการวัดค่าสัมประสิทธิ์แรงต้าน ในกรณีที่มีการปรับเปลี่ยนขนาดหรืออุณหภูมิของอุปกรณ์เสริมที่มีความละเอียด เนื่องจากค่าที่วัดได้จากการทดสอบในอุโมงค์ลมไม่สามารถวิเคราะห์ผลได้ เนื่องจากค่าไม่มีความละเอียดพอ และยังมีข้อจำกัดของสภาวะของการทดสอบ เช่น ความเร็ว ความดัน อุณหภูมิของอากาศ เป็นต้น โดยการทดสอบส่วนใหญ่จะจำกัดอยู่ในสภาวะบรรยายกาศแวดล้อม ซึ่งในปัจจุบันได้มีวิธีการทดสอบสัมประสิทธิ์แรงต้านที่สามารถกำหนดสภาวะ หรือแม้แต่การปรับเปลี่ยนรูปร่างของรถหรืออุปกรณ์เสริมโดยไม่สัมภาระ จึงเป็นการทดสอบที่มีความแม่นยำและรวดเร็ว

2.3 การปรับปรุงด้านอากาศพลศาสตร์ด้วย CFD

การคำนวณเชิงตัวเลขของไฟลพอลศาสตร์ (Computational Fluid Dynamics: CFD) หรือที่เรียกว่า วิธีจำลองเชิงตัวเลข ซึ่งปัจจุบันเป็นเครื่องมือที่สำคัญในกระบวนการออกแบบรถยนต์ ซึ่งนิยมใช้ซอฟต์แวร์ FLUENT สำหรับการจำลองการไหลแบบรายเรียนบัดตัวไม่ได้ โดยวิธีปริมาตรจำกัด (Finite volume) โดยส่วนใหญ่เป็นการใช้กับของไหลที่อัดตัวไม่ได้ โดยมีนักวิจัยได้ทำการศึกษาและวิจัยในรูปแบบวิธีการคำนวณต่าง ๆ เพื่อใช้ในการศึกษาและวิเคราะห์พฤติกรรมการไหลผ่านวัตถุ ซึ่งรวมทั้ง yanpanahane ต่าง ๆ ด้วย



2.3.1 การศึกษาการไหลผ่านวัตถุรูปทรงต่าง ๆ ด้วย CFD

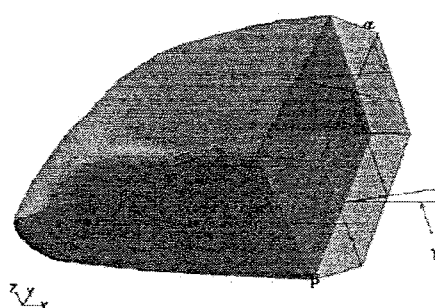
เริ่มต้นจากการทดสอบไหลผ่านแบบจำลองใน 2 มิติ กอง และขณะ [19] ศึกษาวิธีการพัฒนาซอฟต์แวร์สำหรับการไหลแบบรานเรียบอัดตัวไม่ได้ในสองมิติโดยใช้หลักการของพลศาสตร์ของไหล เชิงคำนวณ วิธีปริมาตรจำกัดถูกนำมาใช้เพื่อทำการไม่ต่อเนื่องสมการควบคุมที่เกี่ยวข้อง และใช้ระเบียบวิธี Simpler เพื่อทำให้ผลที่ได้จากการคำนวณจากระบบสมการควบคุมทั้งหมดเป็นไปตามกฎของกรอบรากษ์มวล วิธีกันค่าถูกนำมาใช้ในการกำหนดขอบเขตของสิ่งกีดขวาง โดยกรณีทดสอบคือการไหลผ่านสิ่งกีดขวางรูปทรงชั้นบันได กลับหลังที่ Reynolds number 100 , 389, และ 1,000 จากการเปรียบเทียบกับผลการทดลอง ซอฟต์แวร์ที่พัฒนาขึ้นสามารถตรวจสอบพบรการแยกไหลบริเวณด้านหลังของชั้นบันได โดยของไหลบริเวณด้านหลังบันไดมีพิศการไหลกลับทิศทาง Spalart [20] ได้ทำการศึกษาความปั่นป่วนของของไหลที่ผ่านวัตถุ โดยใช้การจำลองเชิงตัวเลข ทดสอบวัตถุทรงกลม ซึ่งสมการความปั่นป่วนแต่ละชนิดให้ผลที่มีความแตกต่างกัน ประกอบกับการสร้างกริดที่จำนวนต่างกัน ขึ้นอยู่กับการใช้งาน มากประยุกต์กับการทดสอบเครื่องบิน เครื่องอัตตาอากาศ หรือรถยนต์ โดยรถยนต์จะใช้สมการความปั่นป่วนที่ให้ผลดี 2 แบบคือ k-omega และ k-epsilon Wang [21] ได้ทำการศึกษากับผลที่เกิดจากของไหลในค่า Reynolds number ที่สูงให้ไหลผ่านวัตถุทรงกระบอก เปรียบเทียบกับการจำลองเชิงตัวเลข 2 มิติ แบบ Large-Eddy Simulation โดยทดลองที่ค่า Reynolds number ระหว่าง $5.0 \times 10^5 - 3.6 \times 10^6$ ซึ่งเป็นการทดลองในช่วงที่เรียกว่า Supercritical Reynolds number จากผลการทดลองแสดงให้เห็นถึงการเปลี่ยนแปลงค่าสัมประสิทธิ์แรงต้านเพิ่มขึ้นและลดลงไปในแนวทางเดียวกัน แต่ตำแหน่งที่ใช้ในการทดสอบนั้นแตกต่างกัน โดยตามทฤษฎีค่าสัมประสิทธิ์แรงต้านจะเพิ่มขึ้นแต่ในการจำลองที่กล่าวมานี้ค่าสัมประสิทธิ์แรงต้านจะคงที่ซึ่งเป็นผลที่ขัดแย้งกันในทางทฤษฎี

Perzo and Davidson [22] จากการจำลองที่กล่าวมานี้ ผลที่ได้จากการจำลอง มีแนวโน้มการเกิดการแยกตัวของอากาศบริเวณส่วนหลังของแบบจำลอง ใกล้เคียงกับผลการทดสอบในอุโมงค์ลมที่ Reynolds number ต่ำ แต่เมื่อค่า Reynolds number ที่ใช้ในการจำลองมีค่ามากขึ้น ค่าที่ได้จากการคำนวณมีความคลาดเคลื่อนจากการทดสอบในอุโมงค์ลม เนื่องจากการทดสอบในอุโมงค์ลมมีลักษณะการไหลเป็น 3 มิติ จึงได้มีการพัฒนาการจำลองการไหลแบบ 3 มิติ

2.3.2 แนวทางการลดสัมประสิทธิ์แรงต้านของรถยนต์ ด้วย CFD

Van Dam [11] ได้ศึกษาระบวนการทางแรงต้านของวัตถุ โดยได้รับรวมวิธีต่าง ๆ ในการหาค่าของแรงต้านตั้งแต่ยุคต้น ๆ จนถึงปัจจุบัน ได้มีการพัฒนามาใช้วิธีพลศาสตร์ของไหลโดยวิธีจำลองเชิงตัวเลข CFD มาทำนายหาค่าแรงต้าน โดยใช้สมการ Euler และ Reynolds-averaged Navier-Stokes เป็นหลักการในการคำนวณเชิงตัวเลขของการไหลผ่านวัตถุมาทำนายสัมประสิทธิ์แรงต้าน และนำมาประยุกต์ มีการเปรียบเทียบกระบวนการในทาง CFD และการทดสอบในอุโมงค์ลม มีการปรับปรุง

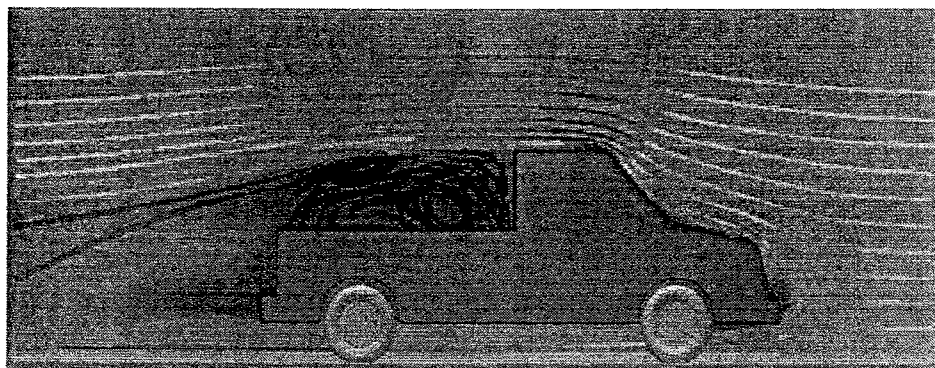
ลักษณะของกระบวนการเรื่อย ๆ จนกระทั่งประยุกต์มาใช้กับการทำนายแรงด้านของyanพาหนะ เช่น เครื่องบิน หรือปีกของเตอร์ รอยน์ตซึ่งเป็นพื้นฐานการประยุกต์ใช้ในการลดแรงด้านของ yanพาหนะ Horinouchi [23], Muyl, et al. [24] และ Ozwa, et al. [25] ได้นำหลักการมาจำลองเพื่อการทดสอบสัมประสิทธิ์แรงด้านของการติดตั้งอุปกรณ์เสริมของรอยน์ตโดยมีการใช้ศึกษาความลาดเอียงด้านข้างของรูปทรงท้ายรอยน์ตและชายหน้า ที่ติดตั้งบนโคลน ใช้สมการนาเวียร์-สโตค สำหรับการไหลแบบรวมเรียบ ซึ่งผลที่ได้สอดคล้องกับการทดสอบในอุโมงค์ลม พบว่าค่าสัมประสิทธิ์แรงด้านจะลดลงเมื่อค่าความลาดเอียงเพิ่มขึ้น เนื่องจากความดันที่ล่วนหลังของแบบจำลองมีค่าสูงขึ้น และค่าสัมประสิทธิ์แรงด้านจะลดลงเช่นกันเมื่อมีการติดชายหน้า ซึ่งเป็นอุปกรณ์ที่นำไปสู่การไหลแบบรวมเรียบ โดยแรงด้านล่วนใหญ่ของตัวรถ มาจากเทอนของความดันที่แยกตัวออกจากผิวนอกสัมประสิทธิ์แรงด้าน 40 เปอร์เซ็นต์จะขึ้นอยู่กับรูปทรงภายนอกและล่วนใหญ่จะเกิดขึ้นที่ท้ายรถ โดยสัมประสิทธิ์แรงด้านจะไม่มีผลจากรูปร่างหน้ารถ แต่แรงด้านล่วนใหญ่จะมาจากการไหลปั่นป่วนด้านท้าย โดย Muyl, et al. [24] ทำการศึกษาหาความเหมาะสมสมรูปร่างท้ายรอยน์ตโดยใช้สมการนาเวียร์-สโตคส์ และใช้สมการแบบจำลองความปั่นป่วนของการไหล k-epsilon โดยแบ่งรถออกเป็นสามส่วนคือส่วนหน้า ส่วนกลาง และส่วนหลัง โดยส่วนหลังจะมี Back-light angle, Boat-tail angle และ Ramp angle ตามรูปที่ 2.11 จากการปรับ back-light angle จะทำให้เกิดการปั่นป่วนที่ด้านท้ายรถต่างกัน ซึ่งการปรับค่ามุม (α , β , γ) ที่ต่างจะทำให้เกิดการหมุนเวียนของอากาศขนาดใหญ่ ทำให้สัมประสิทธิ์แรงด้านสูง แต่เมื่อปรับมุมใหม่มีค่าที่สูงขึ้นเกิดการแยกตัวของอากาศน้อย การไหลด้านบนและด้านล่างมีความสมดุลกัน ทำให้สัมประสิทธิ์แรงด้านลดลง



รูปที่ 2.11 มุม α , β , γ (Muyl, 2004)

Singh [26] ไม่เฉพาะมุ่งล่วนท้ายรถเพียงอย่างเดียวที่มีผลต่อสัมประสิทธิ์แรงด้าน แต่ช่องว่างระหว่างส่วนต่าง ๆ ของรถก็มีผลด้วยเช่นกัน จึงใช้ CFD มาปรับแก้เงื่อนไขในการคำนวณ เพื่อทำการศึกษาแรงด้านของyanพาหนะ เป็นการเบรย์บเทียบสัมประสิทธิ์แรงด้าน Turbulent model ต่าง ๆ กับผลการทดสอบในอุโมงค์ลม โดยใช้รุ่นบรรทุกใหญ่ในการจำลอง ซึ่งผลที่ได้ แบบจำลองความปั่นป่วนของการไหล k-epsilon และกริดที่มีความละเอียดพอ จะให้ผลที่ใกล้เคียงกับการทดสอบใน

อุโมงค์ลมมากที่สุด และได้นำเงื่อนไขดังกล่าวมาศึกษาการเกิดการหมุนวนของอากาศ ระหว่างหัวรถ กับตู้บรรทุกของรถบรรทุกใหญ่ ซึ่ง Simon and Gioacchino [27] พบว่า เกิดการไหลวนที่แตกต่างกัน และระยะห่างของหัวรถกับตู้บรรทุกต่างกัน ส่งผลกับล้มประสิทธิ์แรงด้านรวมของรถบรรทุก โดย ระยะห่างที่น้อยลดลงจะทำให้ค่าสัมประสิทธิ์แรงด้านลดลง และเนื่องจากโดยทั่วไป ค่าสัมประสิทธิ์แรง ด้านของรถบรรทุกเล็กจะสูง เนื่องจากรูปทรงท้ายระบบหน้าทำให้อากาศแยกตัว เกิดการหมุนวนของ อากาศที่ใหญ่ เนื่องจากความต่างของความดัน ระหว่างด้านหน้าและท้ายระบบ และอากาศที่หมุนวน จะປะทะกับท้ายระบบ ดังรูปที่ 2.12 จะทำให้เกิดแรงด้าน และเพิ่มภาระให้กับเครื่องยนต์ ทำให้ เครื่องยนต์ใช้พลังงานลีนเปลี่ยนมากขึ้น



รูปที่ 2.12 การเกิดเวคส่วนท้ายระบบของรถบรรทุกเล็ก โดย CFD Cooper [28]

นอกจากการใช้ CFD เป็นเครื่องมือในการปรับปรุงรูปทรงหรือรูปลักษณ์โดยการติดตั้ง อุปกรณ์เสริมเพื่อลดสัมประสิทธิ์แรงด้านแล้ว CFD ยังสามารถจำลองเพื่อเห็นสิ่งที่เกิดขึ้นกับด้านท้าย ของรถคันหน้า โดยใช้ความรู้ด้านอากาศพลศาสตร์ มาวิเคราะห์ สามารถเห็นประโยชน์ที่รถคันหลัง ได้รับอย่างชัดเจน เพราะแรงด้านของอากาศของรถคันหลังจะลดลง โดยกระแสอากาศที่ไหลผ่านใต้ ท้องรถคันหลังจะลดลง ประสิทธิภาพสำคัญแรงดูดของกระแสลมด้านท้ายของรถคันหน้าจะทำให้รถคันตาม มีความเร็วเพิ่มขึ้น โดย Browand [29] และ Yamamoto, *et al.* [30] พบว่า อัตราการลีนเปลี่ยนนำ้มัน ของรถคันหลังลดลงกว่าคันหน้า และในการทดสอบแข่งจากการจำลอง CFD

จากการศึกษางานวิจัยดังที่กล่าวมานี้ การออกแบบรูปร่างรถยนต์ให้เหมาะสม เป็นการทำให้ รถยนต์วิ่งผ่านอากาศด้วยแรงด้านลดลง การประกอบขึ้นส่วนกึ่งลีนสำคัญ เช่น การประกอบหน้าต่าง และขอบที่แนบสนิทพอดี รวมถึงการติดตั้งอุปกรณ์เสริมรถ เช่น สปอยเลอร์ยางด้านหลังล้อหน้าและ ล้อหลัง แผ่นกันใต้ท้องรถที่ทำให้ส่วนประกอบของโครงสร้างไม่ขวางการไหลของอากาศ แม้แต่ สปอยเลอร์หลังเพื่อลดความปั่นป่วนเมื่ออากาศวิ่งผ่าน อุปกรณ์เหล่านี้สามารถลดแรงด้านอากาศ โดย ใช้องค์ความรู้ด้านอากาศพลศาสตร์ หรือ Aerodynamics ซึ่งเป็นสิ่งสำคัญของการออกแบบรถยนต์ ใน การทดสอบ คันควร และการวิจัย จะต้องมีการนำโมเดลทั้งแบบจำลองและแบบขนาด Full scale เข้าไป

ทดสอบในอุโมงค์ลมเพื่อตรวจสอบหาก้าต่างๆ ซึ่งเป็นการสิ้นเปลืองทุน อุปกรณ์ และเวลาในการทดสอบ ปัจจุบันได้มีวิธีจำลองเชิงตัวเลข หรือ (Computation Fluid Dynamics : CFD) เป็นเครื่องมือที่สามารถแสดงผลได้แบบ 3 มิติ ช่วยให้เห็นภาพการเคลื่อนที่ของกระแสอากาศ และผลที่เกิดกับรถยนต์ได้ชัดเจน

2.4 การวัดอัตราการสิ้นเปลืองน้ำมัน

อัตราการสิ้นเปลืองของน้ำมันเชื้อเพลิงของรถยนต์ เป็นสิ่งที่ทุกคนสนใจในปัจจุบัน เนื่องจากราคาที่สูงขึ้น และสภาวะที่ไม่แน่นอนของน้ำมันเชื้อเพลิง การวัดอัตราการสิ้นเปลืองให้แม่นยำ เป็นสิ่งที่ทำได้ยาก ดังนั้น จึงมีนักวิจัยที่พยายามหาวิธีที่วัดเพื่อที่จะได้ทราบอัตราการสิ้นเปลืองน้ำมันเชื้อ และสามารถตัดสินใจในการปรับปรุงรูปทรงหรือตัดสินใจขับขี่รถเพื่อให้ประหยัดน้ำมันได้อย่างถูกต้อง

โดยนักวิจัยได้มีวิธีการวัดที่แตกต่างกัน ขึ้นอยู่กับลักษณะของงานวิจัยนั้น ว่าศึกษาเรื่องใดของรถยนต์ เช่น jin da เจริญพรพาณิชย์ และพงษ์ศักดิ์ คำมูล [31] ได้ศึกษาการวัดอัตราการสิ้นเปลืองของน้ำมันของรถยนต์ขนาดต่าง ๆ ดีอร่อยนต์น้ำมัน 1800 cc, 2300 cc และรถบรรทุกเล็ก 300 cc วิ่งที่ความเร็วคงที่ 60 – 120 km/hr การวัดน้ำมันทำโดยการออกแบบถังเชื้อเพลิงพิเศษ และทำการซึ่งน้ำหนักเชื้อเพลิงก่อนและหลังจากที่ได้ทำการวิ่ง น้ำมันเชื้อเพลิงที่ใช้ดือ น้ำมันออกเทน 91, 95 และดีเซล ผลการทดสอบพบว่าเครื่องยนต์ทุกชนิดกินน้ำมันต่ำสุดที่ 60 km/hr การสิ้นเปลืองจะเพิ่มขึ้นเมื่อวิ่งที่ความเร็วสูงขึ้น โดยเฉพาะอย่างยิ่งรถบรรทุกเล็ก เนื่องจากการอุ่นเครื่องของเครื่องยนต์ที่ไม่ดี โดยอัตราสิ้นเปลืองจะเพิ่มขึ้นมากที่ความเร็ว 100 และ 120 km/hr แต่ในกรณีดังกล่าว เป็นวิธีการวัดและเปรียบเทียบอัตราการสิ้นเปลืองน้ำมันที่มีค่าการเปลี่ยนแปลงค่อนข้างสูง แต่ในลักษณะของการศึกษาด้านอากาศพลศาสตร์ หรือการปรับปรุงรูปลักษณ์ของรถยนต์ ที่มีค่าการเปลี่ยนแปลงอัตราการเปลี่ยนแปลงน้ำมันค่อนข้างต่ำ จึงไม่เหมาะสมที่จะนำหลักการนี้มาวัด แต่มีนักวิจัยเช่น Leuschen and Cooper [14] ได้หาค่าการเปลี่ยนแปลงของอัตราการสิ้นเปลืองน้ำมันของรถบรรทุกใหญ่ ในกรณีการติดตั้งอุปกรณ์เสริมเพื่ออำนวยความสะดวกต่าง ๆ เช่น อุปกรณ์บังล้อด้านหน้า และหลัง, อุปกรณ์กำเนิดการหมุนวนของอากาศ ตรงตำแหน่งต่าง ๆ (Vortex generator), อุปกรณ์กันแมลง (Bug deflector) เป็นต้น โดยการหาค่าของการเปลี่ยนแปลงของสัมประสิทธิ์แรงต้านที่ความเร็วที่ต้องการทราบ ที่ได้จากการทดสอบในอุโมงค์ลม มาแทนค่าจากความสัมพันธ์ของ

$$\Delta\mu(V_t) = \frac{\rho \times UCF \times SFC \times V_t^2 \overline{\Delta C_D}(V_t) A}{0.85} \quad (2.1)$$

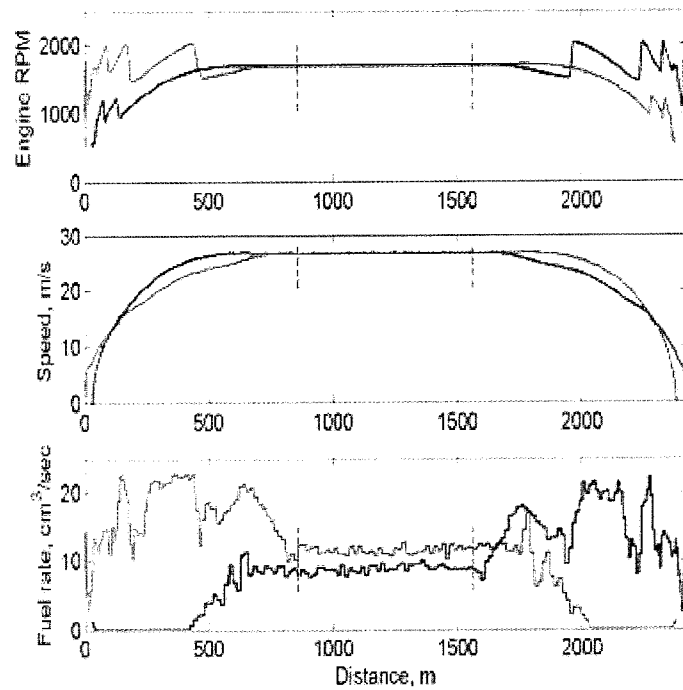
$\Delta\mu(V_t)$ คือการเปลี่ยนแปลงอัตราการสิ้นเปลืองเชื้อเพลิงที่ความเร็วกำหนด (liters/100 km)

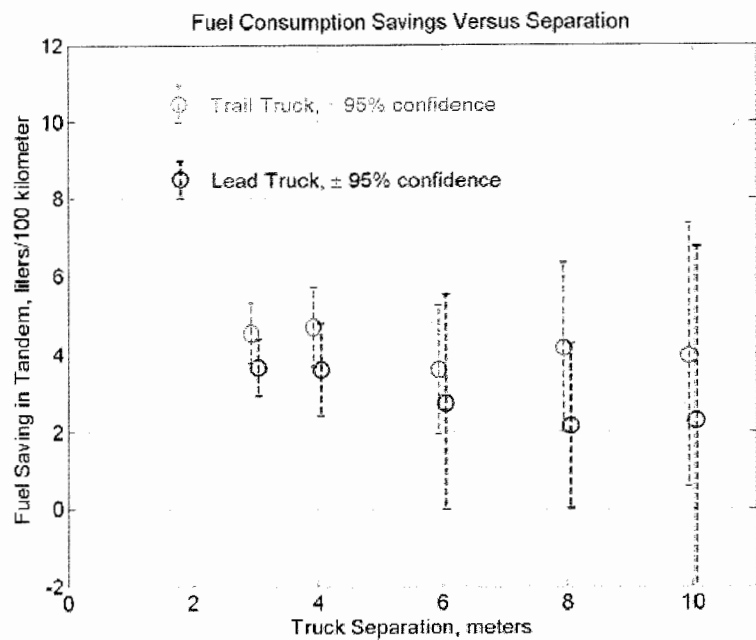
ρ คือความหนาแน่นของอากาศ 1.225 kg/m^3

UCF คือค่าแฟคเตอร์ของการเปลี่ยนแปลงหน่วย เท่ากับ 1.072

- A คือพื้นที่หน้าตัดของรถ $2.68576 (\text{m}^2)$
 0.85 คือค่าสัมประสิทธิ์การเคลื่อนที่ของรถคิดที่ความเร็วเฉลี่ย
 SFC คืออัตราการสิ้นเปลืองเชื้อเพลิงจำเพาะ (liters/kW-h)

แต่ในความเป็นจริง ค่าที่แทนในสมการ (2.1) ย่อมไม่คงที่ เนื่องจากความเร็วที่ใช้ในการวิ่งมีการเปลี่ยนแปลงตลอดเวลา ตามระยะทางในการวิ่ง รวมถึงสภาพต่าง ๆ ของเครื่องยนต์ ดังนั้นจึงมีนักวิจัยที่ใช้อุปกรณ์วัดอัตราการสิ้นเปลืองน้ำมันเชื้อเพลิงจากการเปลี่ยนแปลงสภาพของเครื่องยนต์ โดย Browand [29] ได้ทำการวัดอัตราการสิ้นเปลืองของน้ำมันเชื้อเพลิง ในกรณีรถบรรทุกใหญ่วิ่งตามกัน ซึ่งกำหนดเส้นทางตรงเป็นระยะทาง 3.5 km ระหว่างระหว่างรถทั้ง 2 คัน 3 m – 10 m โดยใช้โปรแกรมคอมพิวเตอร์ ที่ชื่อว่า APTH ที่ติดอยู่ที่ตัวเครื่องยนต์ของรถทั้งสองคัน สามารถวัดค่าที่ความเร็วรอบของเครื่องยนต์ (Engine RPM) ความเร็วของรถที่ใช้ในการวิ่ง (Speed) และอัตราการกินน้ำมัน (Fuel rate) ตามระยะทางในการวิ่ง และคำนวณออกมาเป็นระดับที่สามารถลดอัตราการสิ้นเปลืองน้ำมันทั้ง 2 คัน โดยค่าของรถคันหลังจะมีค่าอัตราการสิ้นเปลืองน้ำมันลดลงจากรถคันหน้า ดังรูปที่ 2.13





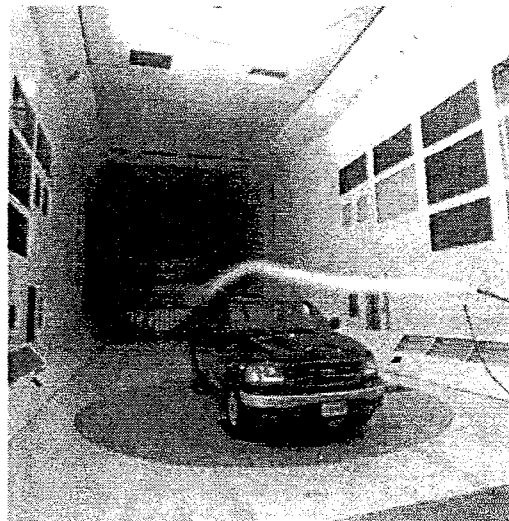
รูปที่ 2.13 ค่าที่ได้จากการวัดโดย APTH [29]

บทที่ 3

ทฤษฎีที่เกี่ยวข้อง

3.1 แรงที่ของไหลกระทำต่อวัตถุ

หลักการของอากาศพลศาสตร์ (Aerodynamics) ในกรณีการเคลื่อนที่ของยานยนต์ต่าง ๆ ต้องพิจารณาถึงแรงที่อากาศกระทำต่อผิวนอกของยานยนต์ คือ แรงยกและแรงต้าน (Lift and Drag) ซึ่งมีความสำคัญต่อการออกแบบรูปทรงที่ถูกต้อง และสามารถลดอัตราการลิ้นเปลืองน้ำมัน ซึ่งผลการศึกษาส่วนใหญ่จะได้มาจากการทดลองในห้องปฏิบัติการ โดยการทดสอบหุ่นจำลอง เช่นการใช้อุโมงค์ลม (Wind tunnel) ในการทดสอบ บางทีก็อาจจำเป็นต้องทำการทดสอบด้วยแบบของยานยนต์จริงแทนที่จะใช้หุ่นจำลอง เช่นการทดสอบรถบรรทุกเล็กในอุโมงค์ลมในห้องปฏิบัติการด้านอากาศพลศาสตร์ของ NRC (National Research Council of Canada) ดังรูปที่ 3.1

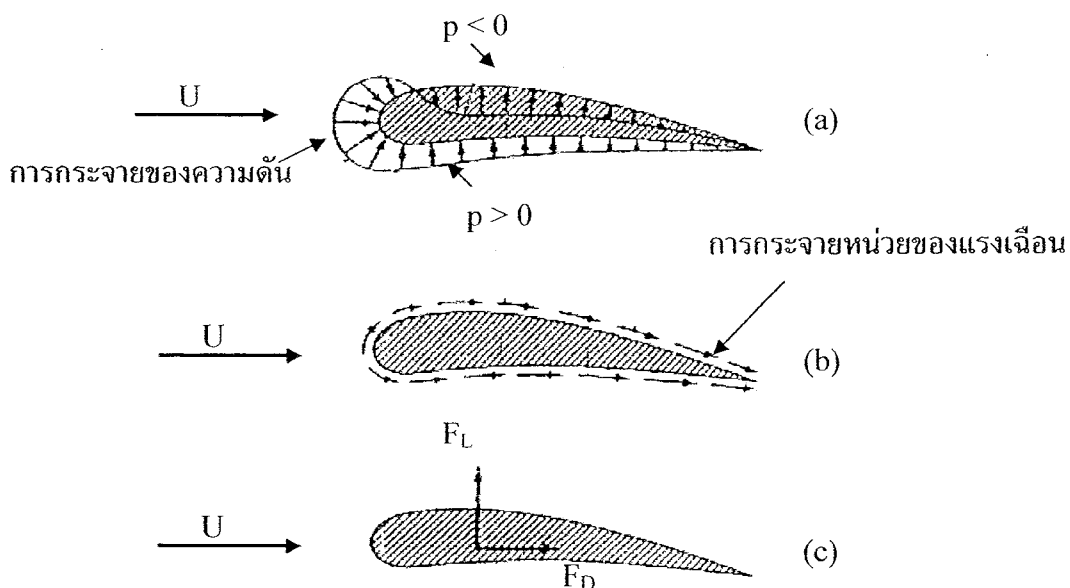


รูปที่ 3.1 การทดสอบรถบรรทุกเล็กจริงในอุโมงค์ลมของ NRC

3.1.1 แรงยกและแรงต้าน

เมื่อวัตถุอยู่ในของไหลจะมีแรงกระทำซึ่งกันและกัน เกิดจากการผนังผิวน้ำสัมผัสกันระหว่างของไหลกับวัตถุ แรงดังกล่าวสามารถอธิบายได้ด้วยหน่วยแรงเฉือนที่ผิดของเทหวัตถุ (Wall shear stress, τ_w) ซึ่งเกิดขึ้นจากความหนืดของของไหล และความเด่นที่เกิดขึ้นทางด้านหน้าของวัตถุเนื่องจากความดัน (p) ตัวอย่างการแพร่กระจายของความดันและหน่วยแรงเฉือนตลอดทั่วผิวของเทหวัตถุ สามารถแสดงได้ดังรูป ซึ่งแสดงทั้งขนาดและทิศทางของความดันและหน่วยแรงเฉือน

แรงรวมที่กระทำต่อเทหัวตุ่นในทิศทางของการไหลเรียกว่า แรงหน่วง (Drag, F_D) และแรงรวมที่กระทำต่อเทหัวตุ่นในทิศทางตั้งฉากกับทิศทางการไหลเรียกว่า แรงยก (Lift, F_L) ดังแสดงดังรูปที่ 3.2 และสำหรับเทหัวตุ่นสามมิติบางชนิดอาจจะมีแรงกระทำทางด้านข้างซึ่งตั้งฉากกับระนาบที่เกิดแรงหน่วงและแรงยกได้



รูปที่ 3.2 แรงเนื่องจากของไหลกระทำกับตุ่น 2 มิติ (a) แรงเนื่องจากความดัน
(b) แรงเนื่องจากความหนืด (c) แรงด้านและแรงยก

แรงรวมของหน่วยแรงเมื่อรวมและความดันที่กระจายอยู่ทั่วพื้นผิวของเทหัวตุ่นสามารถหาได้จากการอินทิเกรตแรงทั้งสองครอบคลุมพื้นที่ผิวของเทหัวตุ่น โดยมีแรงย่อยในแนวแกน x และ y ของแรงรวมที่กระทำบนพื้นที่เล็ก ๆ dA ดังนี้

$$dF_x = (pdA)\cos\theta + (\tau_w dA)\sin\theta \quad (3.1)$$

แล้ว

$$dF_y = -(pdA)\sin\theta + (\tau_w dA)\cos\theta \quad (3.2)$$

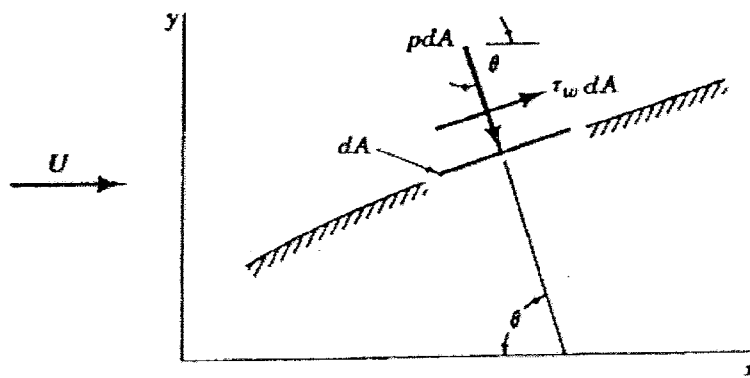
ดังนั้น จึงสามารถหาแรงรวมในแนวแกน x และ y ที่กระทำต่อเทหัวตุ่นได้จาก

$$F_D = \int dF_x = \int p \cos\theta dA + \int \tau_w \sin\theta dA \quad (3.3)$$

แล้ว

$$F_L = - \int dF_y = \int p \sin \theta dA + \int \tau_w \cos \theta dA \quad (3.4)$$

ในการอินทิเกรตเพื่อหาค่าแรงต้านและแรงยก จำเป็นต้องรู้ขนาดและรูปร่างของวัตถุที่ศึกษา (ทั้งนี้ θ จะเป็นฟังก์ชันของตำแหน่งบนพื้นผิวของวัตถุ) และการกระจายตัวของ τ_w และ p ตลอดพื้นที่ผิวของวัตถุ ซึ่งการกระจายตัวดังกล่าวเป็นสิ่งที่วิเคราะห์ได้ค่อนข้างยาก ไม่ว่าจะด้วยวิธีการทดลอง หรืออาศัยหลักการทางทฤษฎีก็ตาม การกระจายตัวตลอดพื้นที่ผิว (ของวัตถุ) ของ τ_w เป็นสิ่งที่วัดได้ยาก แต่การกระจายตัวของ p อาจได้มาจากการทดลองโดยการติดตั้งอุปกรณ์วัดความดันสติกไว้วัดพื้นที่ผิวของวัตถุ



รูปที่ 3.3 แรงเนื่องจากความดันและแรงลีอน ที่กระทำต่อพื้นที่เล็ก ๆ บนผิวของวัตถุ

3.1.2 แรงต้านและสัมประสิทธิ์แรงต้าน

แรงต้านที่กระทำต่อวัตถุที่อยู่ภายใต้ของไอลสามารถจำแนกออกได้เป็น 2 อย่างคือ แรงต้านเนื่องจากความดัน (Pressure drag, F_p) และแรงต้านเนื่องจากความเสียดทาน (Friction drag, F_f) แรงต้านเนื่องจากความดันมีค่าเท่ากับผลรวมของแรงที่เกิดจากความดันในทิศทางการเคลื่อนที่ที่ของไอลกระทำต่อวัตถุ ซึ่งอาจเขียนได้ในรูปของแรงประกอบเนื่องจากความดันที่จุดหยุดนิ่ง (Stagnation pressure) ที่กระทำต่อพื้นที่ที่ก้าบของวัตถุบนระนาบที่ตั้งฉากกับทิศทางการไอลคูณด้วยสัมประสิทธิ์แรงต้านเนื่องจากความดัน (Pressure – drag coefficient, C_p) ซึ่งสัมประสิทธิ์ C_p ขึ้นอยู่กับรูปทรงเลขคณิตของวัตถุ และค่าได้จากห้องทดลอง โดยที่ V คือความเร็วเฉลี่ยของของไอลที่เคลื่อนที่ผ่านวัตถุ A คือพื้นที่ที่ก้าบบนระนาบที่ตั้งฉากกับทิศทางการไอล จึงสามารถเขียนสมการของแรงต้านเนื่องจากความดัน คือ

$$F_p = C_p \rho \frac{V^2}{2} A \quad (3.5)$$

แรงต้านเนื่องจากความเสียดทานมีค่าเท่ากับผลรวมของหน่วยแรงเฉือน (Shear stress) ตลอดพื้นผิวของวัตถุในทิศทางของการเคลื่อนที่ โดยทั่ว ๆ ไปจะเขียนสมการของแรงต้านเนื่องจากความเสียดทานในรูปของสมการที่ (3.6) โดยที่ C_f คือสัมประสิทธิ์แรงหน่วยเนื่องจากความเสียดทานซึ่งขึ้นอยู่กับความหนืด L คือความยาวของพื้นผิวในแนวนานกับทิศทางการไหล B คือความกว้างของพื้นผิว โดยทั่ว ๆ ไปจะหาค่าได้โดยการหารพื้นผิวทั้งหมดด้วย L

$$F_f = C_f \rho \frac{V^2}{2} BL \quad (3.6)$$

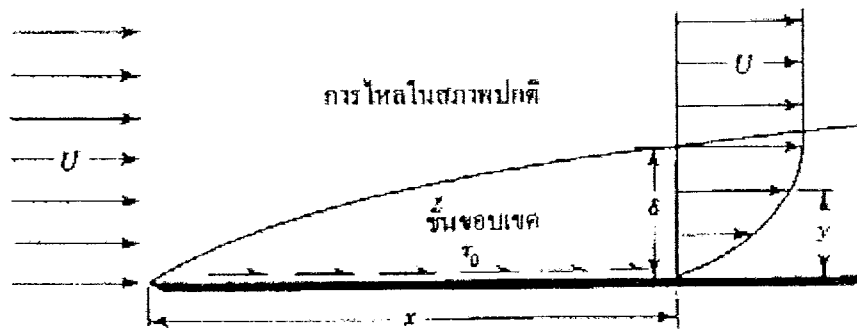
แรงต้านทั้งหมดที่กระทำต่อวัตถุใด ๆ คือผลรวมของแรงต้านเนื่องจากความเสียดทานและแรงต้านเนื่องจากความดันคือ $F_D = F_f + F_p$ ในกรณีที่วัตถุเป็นทรงเพรียลาม เช่น ปิกเครื่องบิน และเรือสำราญ ค่าของแรงต้านเนื่องจากความเสียดทานจะเป็นส่วนสำคัญ ดังนั้นแรงต้านรวมจึงเท่ากับแรงต้านเนื่องจากความเสียดทาน แต่สำหรับวัตถุรูปทรงอื่นที่มีคลื่นวนเกิดขึ้นทางด้านท้าย เช่น แผ่นระนาบที่วางตั้งฉากกับทิศทางการไหล ก็จะมีเฉพาะแรงต้านเนื่องจากความดันเท่านั้น โดยทั่ว ๆ ไปค่าของแรงต้านรวม สามารถคำนวณได้จากสมการที่ (3.7) โดยที่ C_D คือสัมประสิทธิ์แรงต้านรวม และ A คือพื้นที่ทابของวัตถุบนระนาบที่ตั้งฉากกับทิศทางการไหล

$$F_D = C_D \rho \frac{V^2}{2} A \quad (3.7)$$

3.1.3 แรงต้านเนื่องจากความเสียดทานของขอบชั้น (Friction Drag of Boundary Layer)

ชั้นขอบเขตในการไหลคือชั้นบาง ๆ ของของไหลจริง (Real fluid) ที่อยู่ติดกับผิวของวัตถุ วัตถุในบริเวณดังกล่าวจะได้รับอิทธิพลจากความหนืดของของไหล ทำให้เกิดการกระจายความเร็วในลักษณะที่ความเร็วที่ผิวคงรูป จะมีค่าเป็นศูนย์ แต่หน่วยแรงเฉือนและความลาดของความเร็ว (Velocity gradient) มีค่าสูงมาก ในขณะที่ของไหลจริงนอกชั้นของขอบเขตนี้สามารถถือได้ว่าเป็นของไหลสมมุติ (Frictionless or ideal fluid)

ชั้นขอบเขตมี 3 ประเภท คือชั้นขอบเขตแบบราบเรียบ (Laminar boundary layer) ชั้นขอบเขตแบบเปลี่ยนแปลง (Transition boundary layer) และชั้นขอบเขตแบบปั่นป่วน (Turbulent boundary layer) ซึ่งชั้นขอบเขตแบบปั่นป่วนนี้จะมีชั้นราบเรียบย่อย (Laminar sub – layer) อยู่ในส่วนล่างติดกับผิววัตถุ ความหนาของชั้นขอบเขตดังกล่าวจะเพิ่มขึ้นตามระยะทางจากจุดปลายของวัตถุ (Leading edge) ดังแสดงในรูปที่ 3.4

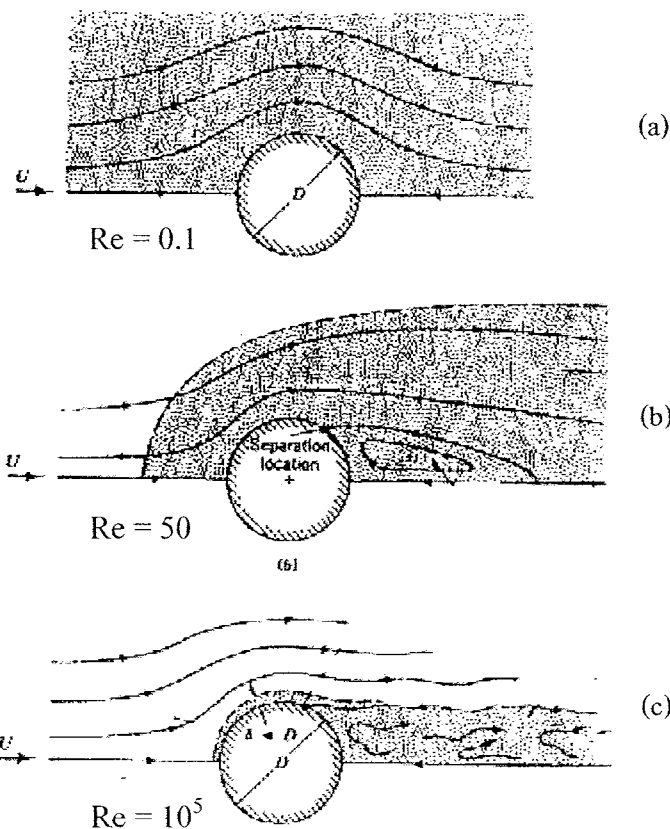


รูปที่ 3.4 ชั้นขอบเขตที่เกิดบนแผ่นระนาบเรียบ

3.1.4 Reynolds number

การทดสอบแบบจำลองในสภาวะการไหลแบบอัดตัวไม่ได้ (None compressible flow) ลักษณะการไหลจะขึ้นอยู่กับค่า Reynolds number (Re) เนื่องจาก คือสัดส่วนของแรงเนื่องจากความเรื้อรังต่อแรงเนื่องจากความหนืด ซึ่งสามารถเขียนเป็นสมการได้ว่า $Re = \rho l / \mu$ โดยที่ l คือความยาวของวัตถุที่มีผลต่อสภาพการไหล ซึ่งโดยทั่วไปการไหลภายนอกส่วนใหญ่จะเกี่ยวข้องกับวัตถุที่มีขนาดอยู่ในช่วงพิสัย $0.01 \text{ m} < l < 10 \text{ m}$ ภายใต้ความเร็วอยู่ในช่วง $0.01 \text{ m/s} < v < 100 \text{ m/s}$ ส่วนใหญ่คือน้ำและอากาศ จึงทำให้ค่า Reynolds number อยู่ในช่วงประมาณ $10 < Re < 10^9$ ซึ่งจากสภาพความเป็นจริงคือ ในกรณีที่ค่า $Re > 100$ สภาพการไหลจะมีผลโดยตรงมาจากการความเรื้อรังเป็นหลัก แต่ถ้า $Re < 1$ สภาพการไหลจะมีผลโดยตรงมาจากการหนืด ดังนั้นสรุปได้ว่าการไหลภายนอกที่เกี่ยวข้องส่วนใหญ่ จะมีผลมาจากความเรื้อรัง

กรณีที่การไหลผ่านวัตถุที่มีความหนา เช่น ห้องกระบอกที่วางทิศทางการไหลที่มีค่า Reynolds Number ต่างกันดังแสดงในรูปที่ 3.5



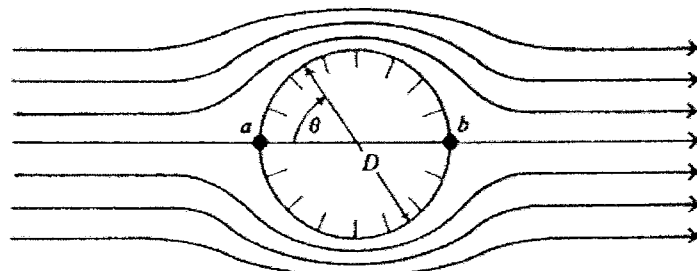
รูปที่ 3.5 ลักษณะการไหลแบบคงตัวผ่านวัตถุทรงกระบอกที่วางตัวห่างทิศทางการไหล โดยมีค่า Reynolds number แตกต่างกัน

หากค่า Re ต่ำจะมีผลของความหนืดสูงโดยมีความหนาของชั้นขอบเขตมาก ดังรูปที่ 3.5 (a) จะมีค่า $Re < 0.1$ เส้นการไหลจะมีความสมมาตรระหว่างทางด้านหน้ากับด้านหลัง และทางด้านบนกับด้านล่างของทรงกระบอก เมื่อค่า Re สูงขึ้นจะมีความหนาของชั้นขอบเขตแคบลง และผลของความหนีดจะเกิดขึ้นในบริเวณทางด้านหน้าของทรงกระบอก เป็นระยะทางสั้น ๆ โดยยังคงความสมมาตรระหว่างชั้นขอบเขตทางด้านบนกับด้านล่างของทรงกระบอกไว้ เช่นเดิม ดังรูปที่ 3.5 (b) คุณลักษณะที่สำคัญอีกประการหนึ่ง คือ จะเกิดการแยกตัว (Separation) ขึ้นทางด้านหลังของทรงกระบอก ซึ่งเป็นผลมาจากการที่มีค่า Re เพิ่มขึ้น สภาพการไหลจะได้รับอิทธิพลจากความเรียบเพิ่มขึ้น และผลของความเรียบจะเกิดขึ้นที่ตำแหน่งน้ำพักที่ต่ำแน่นกว่า น้ำพักที่ต่ำกว่า น้ำพักที่ต่ำกว่าจะเป็นจุดแยกตัว เนื่องจากของไหลไม่สามารถเคลื่อนที่ไปตามผิวได้ทางด้านหลังของวัตถุ ผลของฟองอากาศที่เกิดจากการแยกตัว (Separation bubble) ทางด้านท้ายของวัตถุซึ่งมีทิศทางการเคลื่อนที่ไปทางด้านหน้าของไหล จึงมีความต้านทานต่อการไหล เมื่อค่า Reynolds number สูงมากขึ้นไปอีก เช่น มีค่าเท่ากับ 10^5 ดังรูปที่ 3.5 (c) บริเวณที่ได้รับความหนีดจะค่อนไปทางด้านหลังของวัตถุ และมีความหนาของชั้นขอบเขตที่ค่อนข้าง

บาง (เมื่อเปรียบเทียบกับขนาดเส้นผ่านศูนย์กลางของทรงกระบอก) เกิดขึ้นทางด้านหน้าของวัตถุ ในขณะที่ทางด้านหลังจะเกิดการแยกตัวและจะมีผลของบริเวณที่เกิดคลื่นวนต่อสภาพการไหลทางด้านท้ายของวัตถุ ซึ่งจะเกิดการแยกตัวนี้จะกล่าวถึงในรายละเอียดต่อไป

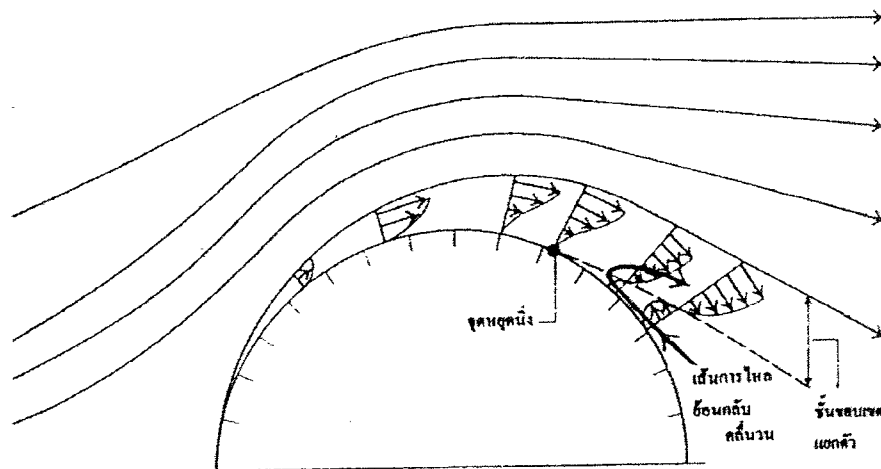
3.1.5 การแยกตัว (Separation)

ในกรณีที่วัตถุผิวโค้งจะก่อให้เกิดการเปลี่ยนแปลงความดันตลอดผิวโค้งนั้น ดังการไหลผ่านทรงกระบอกที่ยาวมากและวางตั้งฉากกับทิศทางการไหลแสดงดังรูปที่ 3.6 ซึ่งแสดงลักษณะของการไหลของของไหลสมมุติผ่านทรงกระบอก เนื่องจากเป็นของไหลสมมุติจึงไม่มีข้องเขตเกิดขึ้น และในลักษณะดังกล่าวมีเส้นการไหลเส้นหนึ่งที่เข้ากระแทกทรงกระบอกที่จุด a และแบ่งออกเป็น 2 ส่วนให้อ้อมทรงกระบอกไปบรรจบกันที่จุด b ซึ่งเรียกว่า จุดหยุดนิ่ง (Stagnation points) เพราะที่จุดนี้ของไหลมีความเร็วเป็นศูนย์ พนวจการกระจายความดันทางด้านหน้าและด้านหลังมีลักษณะเหมือนกัน โดยที่ความดันมีค่าสูงสุดที่จุดหยุดนิ่งด้านหน้าแล้วค่อย ๆ ลดลงจนกระทั่งมีค่าน้อยที่สุดเมื่อมุม $\theta = 90^\circ$ หลังจากนั้นก็จะค่อย ๆ เพิ่มขึ้นจนถึงค่าสูงสุดที่จุดหยุดนิ่งด้านหลังของทรงกระบอก



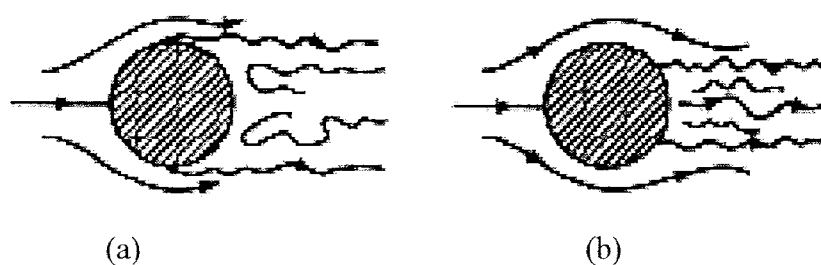
รูปที่ 3.6 การกระจายความดันทางด้านบนและด้านล่างจะเท่ากัน สำหรับของไหลสมมุติ

รูปที่ 3.7 นั้นจะเกิดชั้นขอบเขต ซึ่งแสดงลักษณะของเส้นการไหลผ่านทรงกระบอกเฉพาะครึ่งบนเท่านั้น ส่วนครึ่งล่างก็มีลักษณะเหมือนกัน เมื่อพิจารณาเส้นการไหลในส่วนด้านหน้าของทรงกระบอก จะพบว่าชั้นขอบเขตเริ่มเกิดขึ้นดังแต่จุดหยุดนิ่งด้านหน้าและมีความหนาแน่นมากขึ้นตามระยะทางของผิวทรงกระบอก เนื่องจากความดันที่จุดหยุดนิ่งมีค่าสูงสุดจากนั้นจะค่อย ๆ ลดลงในทิศทางของการไหล ซึ่งการเปลี่ยนแปลงความดันเช่นนี้เมื่อนำมาใช้ในการวิเคราะห์ พนวจการไหลภายในชั้นขอบเขตมีความเร่งมากกว่าการไหลภายในชั้นขอบเขต ทั้งนี้ เพราะของไหลที่อยู่ภายในชั้นขอบเขตได้รับอิทธิพลมาจากความหนืด เกิดแรงเลื่อนด้านการไหลจึงไหลช้ากว่าเดิม ชั้นขอบเขตในช่วงครึ่งด้านหน้าของทรงกระบอกเป็นเพียงบาง ๆ และเส้นการไหลไม่แตกต่างจากในกรณีของไหลสมมุติมากนัก



รูปที่ 3.7 ชั้นขอบเขตและการแยกตัวที่เกิดจากการไหลผ่านทรงกระบอก

การแยกตัวขึ้นอยู่กับองค์ประกอบหลายอย่าง เช่น ประเภทของชั้นขอบเขตว่าเป็นแบบราบเรียบหรือปั่นป่วน เนื่องจากชั้นขอบเขตแบบปั่นป่วนมีโมเมนตัมมากกว่าจึงสามารถดันได้ดีกว่า ดังนั้นจึงทำให้จุดแยกตัวเกิดในตำแหน่งที่ค่อนไปทางด้านท้ายมากกว่ากรณีที่เกิดในชั้นขอบเขตแบบราบเรียบ ดังแสดงในรูปที่ 3.8

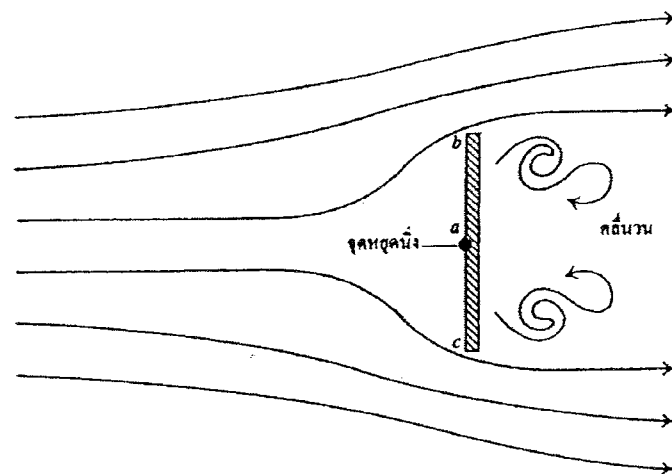


รูปที่ 3.8 ตำแหน่งของจุดแยกตัวที่เกิดจากการไหลผ่านทรงกลม (a) ทรงกลมผิวเรียบ
(b) ทรงกลมผิวขรุขระ

องค์ประกอบอื่นที่มีผลต่อการแยกตัวคือความชุกรายของผิวตุ่น เนื่องจากของไหลไหลผ่านวัตถุที่มีผิวขรุขระจะก่อให้เกิดชั้นขอบเขตแบบปั่นป่วนได้มากกว่าวัตถุผิวเรียบ ดังนั้นวัตถุที่มีผิวที่ชุกรายจะทำให้ตำแหน่งของการแยกตัวอยู่ด้านหลังมากกว่าวัตถุที่มีผิวเรียบ

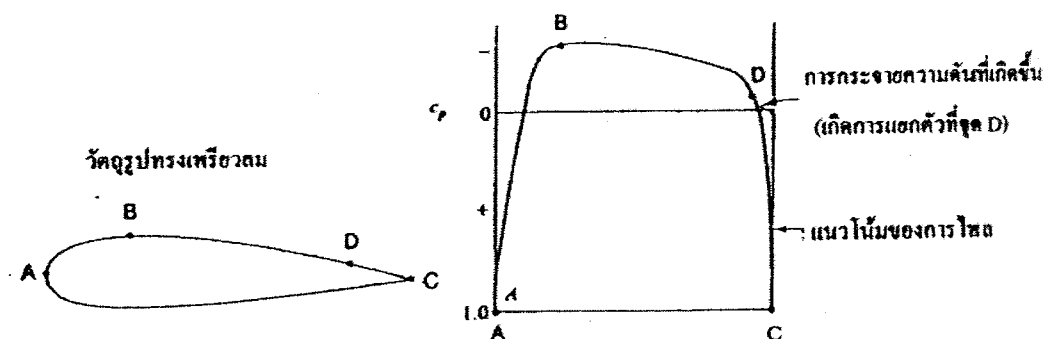
รูปทรงของวัตถุเป็นองค์ประกอบที่มีผลต่อตำแหน่งการแยกตัว ตัวอย่างเช่น ในกรณีวงแหวนระนาบในแนวนานา กับทิศทางการไหล จะเกิดเฉพาะแรงหน่วงเนื่องจากความเสียดทานเท่านั้น และไม่มีความดันย้อนกลับที่จะทำให้เกิดการแยกตัวหรือไม่เกิดแรงต้านเนื่องจากความดัน อย่างไรก็ตาม ถ้าหากวงแหวนระนาบให้อยู่ในทิศทางตั้งฉากกับทิศทางการไหล ดังแสดงในรูปที่ 3.9 จะพบว่าไม่มีแรง

ด้านเนื่องจากความเสียดทาน แต่แรงหน่วงเนื่องจากความดันจะมีค่าสูงมาก จุด a คือจุดหยุดนิ่ง จากจุด a ไปทั้งด้านบนและด้านล่างของแผ่นระนาบจะมีความเร็วในการไหลสูงขึ้นแต่ความดันจะลดลงจนกระทั่งถึงจุด b และ c ทำให้มีความดันย้อนกลับและเกิดเวคทางด้านหลังของแผ่นระนาบ



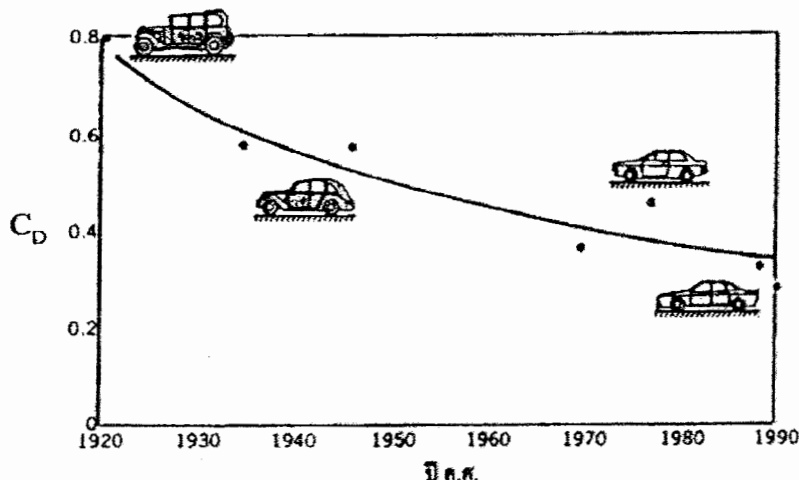
รูปที่ 3.9 คลื่นวนที่เกิดด้านท้ายของแผ่นระนาบที่ว่างตั้งจากกับทิศทางการไหล

ในทางปฏิบัติสามารถทำให้แรงหน่วงเนื่องจากความดันลดลงได้โดยทำให้จุดแยกตัวไปเกิดที่ส่วนท้ายของวัตถุให้มากที่สุด ด้วยการทำให้วัตถุมีรูปร่างเพรียวน เช่น ปีกเครื่องบิน (Airfoil) ดังแสดงในรูปที่ 3.9 โดยมีแผนภาพการกระจายของความดัน จุดหยุดนิ่งคือจุด A กับจุด C และความดันจะมีค่าต่ำสุดที่จุด B ซึ่งเป็นจุดที่มีความหนามากที่สุด จากนั้นความหนาของวัตถุจะค่อย ๆ ลดลงจาก B มาจนถึงปลายสุดที่จุด C จึงไม่มีความดันย้อนกลับ ดังนั้นจุดแยกตัวจะไปเกิดที่ปลายสุดทำให้เกิดแรงด้านเนื่องจากความดันน้อย



รูปที่ 3.10 ลักษณะของปีกเครื่องบินและแผนภาพกระจายความดัน

ตั้งนั้นการพยายามที่จะลดขนาดของแรงต้านที่กระทำต่อรถยนต์ได้มีการดำเนินการมาอย่างต่อเนื่องโดยพยายามที่จะลดค่าสัมประสิทธิ์แรงต้านให้เหลือน้อยที่สุด ด้วยการปรับปรุงรูปทรงของรถให้มีลักษณะเพรียวลม ดังตัวอย่างแสดงรูปที่ 3.11 ซึ่งจากรูปจะพบว่ารูปทรงของรถได้รับการปรับปรุงด้านอากาศพลศาสตร์ ตลอดจนลักษณะของหน้าต่าง หรือแม้แต่กระจกมองด้านข้าง นอกจากนี้การลดขนาดของแรงต้านก็ต้องพิจารณาถึงการลดพื้นที่หานในแนวที่ตั้งจากกับทิศทางของการเคลื่อนที่ ผลจากการลดแรงหน่วงจะช่วยให้สามารถขับเคลื่อนได้ด้วยความเร็วสูงขึ้นในขณะที่อัตราการสิ้นเปลืองน้ำมันลดลง



รูปที่ 3.11 การพัฒนารูปทรงของรถยนต์เพื่อลดแรงต้านที่กระทำต่อตัวรถ ช่วยให้ขับเคลื่อนได้เร็วขึ้น และใช้น้ำมันเชื้อเพลิงลดลง

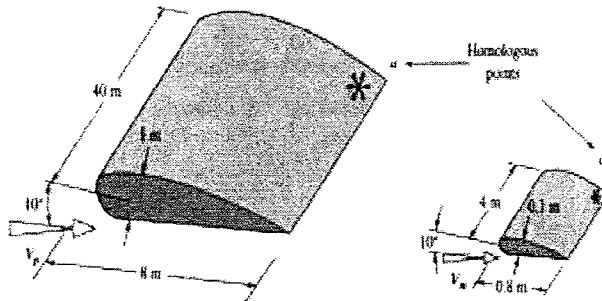
3.1.6 ความคล้ายคลึงกัน

ในการศึกษาและทดสอบหุ่นจำลอง (Physical model) เพื่อนำผลการทดสอบมาใช้กับต้นแบบ (Prototype) หรือของจริงภายหลัง จำเป็นต้องสร้างหุ่นจำลองให้มีลักษณะคล้ายคลึงกันกับต้นแบบมากที่สุด จึงจะให้ผลการทดลองที่ถูกต้องแม่นยำ กฎของความคล้ายคลึงกันมี 2 ประการ ประการแรกคือ ความสะดวกในการเลือกใช้ของใหม่กับแบบจำลอง ประการที่สองช่วยลดค่าใช้จ่ายในการทดสอบ เพราะสามารถย่อขนาดจากของจริงลงมาเป็นหุ่นจำลองซึ่งมีขนาดเล็กลง ความคล้ายคลึงกันของหุ่นจำลองกับต้นแบบ แบ่งออกเป็น 3 ประเภทคือ

3.1.6.1 ความคล้ายคลึงกันเชิงเรขาคณิต (Geometric similarity)

ในการศึกษาหุ่นจำลองลิ่งที่สำคัญอย่างหนึ่งคือ หุ่นจำลองจะต้องมีรูปร่างเหมือนกับต้นแบบ จะแตกต่างกันเฉพาะขนาดเท่านั้น ทั้งนี้เพื่อให้รูปแบบของการไหล (Flow patterns) ในหุ่นจำลองและต้นแบบมีความคล้ายคลึงกัน ดังรูปที่ 3.12 ถ้าให้ L_p และ L_m เป็นความยาวของด้านใด ๆ

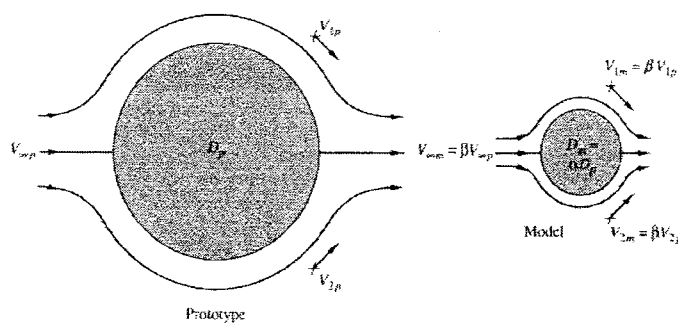
ที่ต้องพิจารณาของต้นแบบและหุ่นจำลองตามลำดับ และ L_r เป็นสัดส่วนความยาว (Length ratio) โดยที่ $L_r = L_p / L_m$ (สัดส่วนความยาวของต้นแบบกับหุ่นจำลอง) พื้นที่จะแปรผันตาม L_r^2 และปริมาตรจะแปรผันตาม L_r^3



รูปที่ 3.12 ความคล้ายคลึงกันเชิงเรขาคณิต

3.1.6.2 ความคล้ายคลึงกันเชิงจลน์ (Kinematic similarity)

ความคล้ายคลึงกันเชิงจลน์จะเกิดขึ้นเมื่อสัดส่วนของความเร็วที่จุดเดียวกันในหุ่นจำลองและต้นแบบจะต้องมีค่าเท่ากันตลอดสนามการไหล ถ้าให้ p แทนต้นแบบและ m แทนหุ่นจำลอง จะพบว่าสัดส่วนความเร็ว v_r คือ v_p / v_m



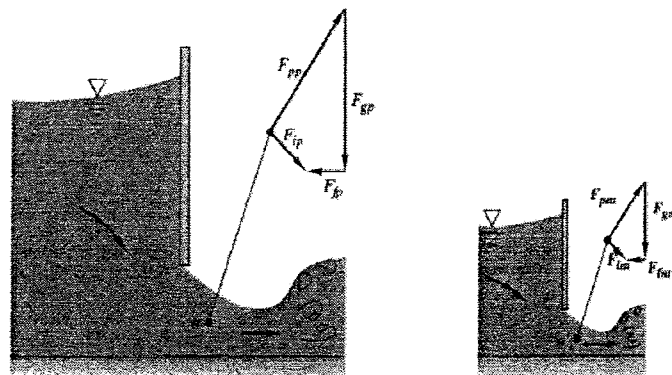
รูปที่ 3.13 ความคล้ายคลึงกันเชิงจลน์

3.1.6.3 ความคล้ายคลึงกันเชิงพลวัต (Dynamic similarity)

หุ่นจำลองจะต้องมีความคล้ายคลึงเชิงพลวัตกับต้นแบบก็ต่อเมื่อสัดส่วนของแรงต่างๆ ที่กระทำนั้นเท่ากัน ซึ่งแรงที่กระทำเหล่านี้ประกอบด้วยแรงเนื่องจากความโน้มถ่วงของโลก (F_g) แรงเนื่องจากความดัน (F_p) แรงเนื่องจากความหนืด (F_v) แรงเนื่องจากความยืดหยุ่น (F_T) ถ้าผลลัพธ์ของแรงต่างๆ ข้างต้นไม่เท่ากับศูนย์ แสดงว่าวัตถุจะต้องมีความเร่งตามกฎข้อที่สองของนิวตัน ทำให้วัตถุไม่อยู่ในสภาวะสมดุล แต่แรงลัพธ์นี้สามารถที่จะแปลงเป็นแรงที่กระทำกับวัตถุสมดุลได้ โดยเพิ่ม

แรงเฉื่อย (F_t) เข้าไปในระบบ โดยที่แรงเนื่องจากความเนื้อญี่มีขนาดเท่ากับแรงลัพธ์แต่ทิศทางตรงกันข้าม นั่นคือ

$$F_G + F_p + F_v + F_T + F_t = 0 \quad (3.8)$$



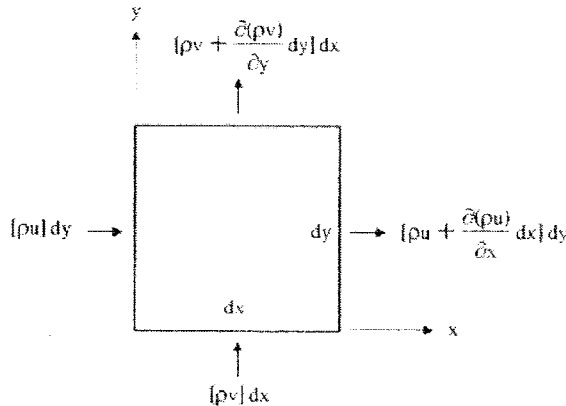
รูปที่ 3.14 ความเคลื่อนที่ของผิวน้ำ

3.2 สมการมูลฐานของการไหล

สมการมูลฐานของการไหล (Fundamental equations of fluid motion) ประกอบด้วยสมการหลักที่สำคัญ 3 สมการ คือ สมการอนุรักษ์มวลหรือสมการสภาพต่อเนื่อง (Continuity equation) สมการโมเมนตัม (Momentum equation) และสมการพลังงาน (Energy equation) ทั้ง 3 สมการนี้สามารถอธิบายท้านอาภารพลศาสตร์ รวมไปถึงการประยุกต์ การปรับปรุง การออกแบบวัสดุที่นำไปสู่การลดแรงต้าน

3.2.1 สมการอนุรักษ์มวล

พิจารณาเมื่อของไหลเดินทางผ่านกรอกเล็ก ๆ ขนาด dx และ dy ดังรูปที่ 3.15 จากหลักความจริงที่ว่า มวลไม่สามารถสูญหายไปไหน ดังนั้นปริมาณมวลที่ไหลเข้าและออกบริเวณควบคุมนี้จะเท่ากัน นั่นคือ



รูปที่ 3.15 ฟลักซ์ของมวลผ่านกรอบขนาดเล็กที่ตั้งอยู่ใน笛เมนของการไหลเพื่อใช้ในการสร้างสมการเชิงอนุรักษ์มวล

$$\text{ในทิศแกน } x; \quad \left[\rho u + \frac{\partial(\rho u)}{\partial x} dx \right] dy - [\rho u] dy = \frac{\partial(\rho u)}{\partial(x)} dx dy \quad (3.9)$$

$$\text{ในทิศแกน } y; \quad \left[\rho u + \frac{\partial(\rho u)}{\partial x} dy \right] dx - [\rho v] dx = \frac{\partial(\rho v)}{\partial(y)} dx dy \quad (3.10)$$

โดย u และ v เป็นความเร็ว y-อยู่ในแนวแกน x และ y ตามลำดับ ซึ่งความเร็ว y-อยู่มีค่าขึ้นอยู่กับพิกัด x, y นั่นคือ $u = u(x, y, t)$ และ $v = v(x, y, t)$ และเนื่องจากปริมาณมวลในกรอบเล็ก ๆ เป็น $\rho dx dy$ ดังนั้นอัตราการเปลี่ยนแปลงของมวลที่ลดลงไป คือ $-\frac{\partial \rho}{\partial t} dx dy$ หมายความว่าปริมาณที่เพิ่มขึ้นของมวลจะเท่ากับปริมาณที่ลดลงภายในกรอบเล็ก ๆ จะได้สมการที่ (3.12) ซึ่งเป็นสมการเชิงอนุรักษ์มวล ซึ่งเป็นสมการอธิบายการไหลสมการแรก

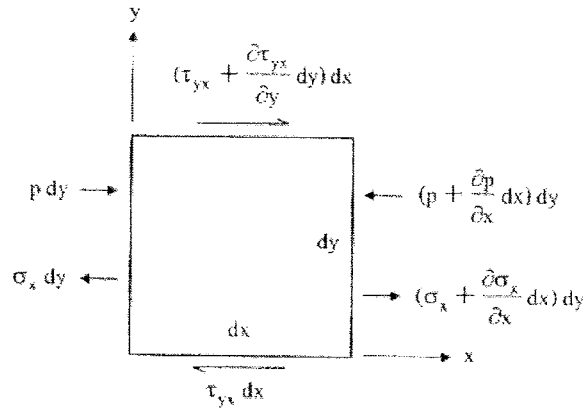
$$\frac{\partial \rho}{\partial t} + \left[\frac{\partial(\rho u)}{\partial x} + \frac{\partial(\rho v)}{\partial y} \right] = 0 \quad (3.11)$$

หรือ

$$\frac{\partial \rho}{\partial t} + \operatorname{div}(\rho \bar{V}) = 0 \quad (3.12)$$

3.2.2 สมการอนุรักษ์โมเมนตัม

พิจารณามวลของไหลเล็ก ๆ ขนาด dx และ dy ดังรูปที่ 3.16



รูปที่ 3.16 รูปแบบแสดงแรงที่กระทำกับมวลของไอลน้ำดีเล็ก

จากกฎข้อที่สองของนิวตัน $F = ma$ เมื่อพิจารณาแรงรวมในทิศแกน x จะได้

$$F_x = \left[-\frac{\partial \rho u}{\partial x} + \frac{\partial \sigma}{\partial x} + \frac{\partial \tau_{yx}}{\partial y} \right] dx dy + \rho f_x dx dy \quad (3.13)$$

มวลของก้อนของไอลนี้คือ $m = \rho(dx dy)$ และความเร่งตามแนวแกน x คือ $a_x = \frac{Du}{Dt}$ แทนค่า m , a_x ลงในกฎข้อที่สองของนิวตัน สมการที่ (3.13) จะได้

$$\rho \frac{Du}{Dt} = -\frac{\partial p}{\partial x} + \frac{\partial \sigma_x}{\partial x} + \frac{\partial \tau_{yx}}{\partial y} + \rho f_x \quad (3.14a)$$

ในการคำนวณเดียวกันตามแนวแกน y จะได้

$$\rho \frac{Dv}{Dt} = -\frac{\partial p}{\partial y} + \frac{\partial \sigma_y}{\partial y} + \frac{\partial \tau_{xy}}{\partial x} + \rho f_y \quad (3.14b)$$

จากสมการที่ (3.14a และ 3.14b) เป็นสมการอนุพันธ์สัมบูรณ์ซึ่งสามารถจัดให้อยู่ในสมการเชิงอนุพันธ์ธรรมด้าดัง เช่นสมการที่ (3.12) จะได้

ในทิศแกน x

$$\frac{\partial(\rho u)}{\partial t} + \frac{\partial(\rho u^2)}{\partial x} + \frac{\partial(\rho uv)}{\partial y} = -\frac{\partial p}{\partial x} + \frac{\partial}{\partial x} \left(\lambda \operatorname{div}(\vec{V}) + 2\mu \frac{\partial u}{\partial x} \right) + \frac{\partial}{\partial y} \left[u \left(\frac{\partial v}{\partial x} + \frac{\partial u}{\partial y} \right) \right] + \rho f_x \quad (3.15a)$$

ในทิศแกน y

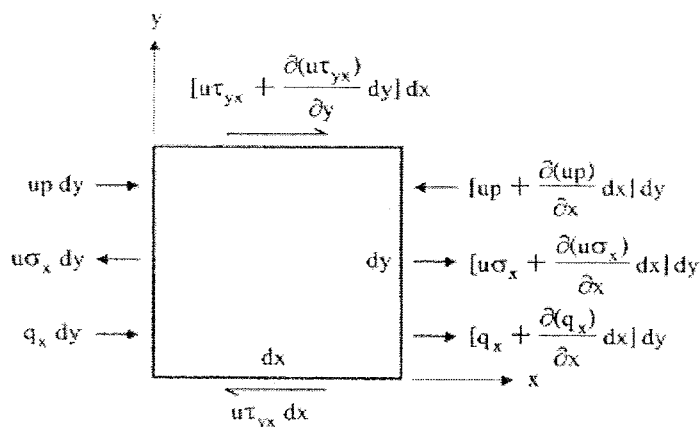
$$\frac{\partial(\rho v)}{\partial t} + \frac{\partial(\rho v^2)}{\partial y} + \frac{\partial(\rho u v)}{\partial x} = -\frac{\partial p}{\partial y} + \frac{\partial}{\partial y} \left(\lambda \operatorname{div}(\bar{V}) + 2\mu \frac{\partial u}{\partial y} \right) + \frac{\partial}{\partial x} \left[u \left(\frac{\partial v}{\partial x} + \frac{\partial u}{\partial y} \right) \right] + \rho f_y \quad (3.15b)$$

สมการที่ (3.15a – 3.15b) นี้แสดงถึงสมการเชิงอนุรักษ์โมเมนตัมของมวลของไอล

3.2.3 สมการอนุรักษ์พลังงาน

พิจารณาจานและพลังงานที่เกิดขึ้นกับก้อนมวลขนาด dx และ dy ดังรูปที่ 3.17 จากหลักการการอนุรักษ์พลังงานของของไอลและกฎข้องที่สองของเทอร์โนไดนามิก จะได้ว่า “อัตราการเปลี่ยนแปลงของพลังงานในก้อนมวลจะเท่ากับปริมาณความร้อนที่ให้แก่ก้อนมวลบางกับอัตราของงานที่เกิดขึ้นเนื่องจากแรงต่าง ๆ ที่กระทำบนก้อนมวลนั้น” ซึ่งสามารถสร้างความล้มพันธ์ในรูปของสมการเชิงอนุพันธ์ ได้เป็น

$$\begin{aligned} \rho \frac{D}{Dt} \left(e + \frac{V^2}{2} \right) &= \rho \bar{Q} + \frac{\partial}{\partial x} \left(k \frac{\partial T}{\partial x} \right) + \frac{\partial}{\partial y} \left(k \frac{\partial T}{\partial y} \right) - \frac{\partial(up)}{\partial x} - \frac{\partial(vp)}{\partial y} + \frac{\partial(u\sigma_x)}{\partial x} + \frac{\partial(u\tau_{yx})}{\partial y} \\ &+ \frac{\partial(v\sigma_y)}{\partial y} + \frac{\partial(v\tau_{xy})}{\partial x} + \rho \bar{f} \cdot \bar{V} \end{aligned} \quad (3.16)$$



รูปที่ 3.17 พิจารณาจานและพลังงานที่เกิดขึ้นกับก้อนมวลขนาด dx และ dy

จากสมการที่ (3.16) สามารถเปลี่ยนให้อยู่ในรูปของสมการเชิงอนุพันธ์ธรรมชาติได้เป็น

$$\begin{aligned} \frac{\partial}{\partial t} \left[\rho \left(e + \frac{V^2}{2} \right) \vec{V} \right] + \operatorname{div} \left[\rho \left(e + \frac{V^2}{2} \right) \vec{V} \right] &= \rho \bar{Q} + \frac{\partial}{\partial x} \left(k \frac{\partial T}{\partial x} \right) + \frac{\partial}{\partial y} \left(k \frac{\partial T}{\partial y} \right) - \frac{\partial (up)}{\partial x} - \frac{\partial (vp)}{\partial y} \\ &+ \frac{\partial (u \sigma_x)}{\partial x} + \frac{\partial (u \tau_{yx})}{\partial y} + \frac{\partial (v \sigma_y)}{\partial y} + \frac{\partial (v \tau_{xy})}{\partial x} + \rho \vec{f} \cdot \vec{V} \end{aligned} \quad (3.17)$$

เราเรียกกลุ่มสมการที่เกิดขึ้นจากสมการที่ (3.12, 3.15 และ 3.17) ว่าระบบสมการ navier-stokes equations เป็นระบบสมการตัวแทนการไหลของของไหลที่เกิดขึ้นจริง จะเห็นได้ว่าสมการเปล่านี้อยู่ในรูปของสมการเชิงอนุพันธ์ การแก้สมการ Navier-stokes ด้วยวิธีทางคณิตศาสตร์โดยตรงนั้นเป็นเรื่องยาก แต่เราสามารถนำเอาวิธีการเชิงตัวเลข (Numerical method) ช่วยในการหาคำตอบของระบบสมการนี้ได้ ซึ่งเป็นที่มาของ Computational Fluid Dynamics (CFD) หรือการคำนวณของไหล พลศาสตร์ ซึ่งเป็นพื้นฐานของแบบจำลองทางคณิตศาสตร์ที่ใช้สำหรับประยุกต์การไหลแบบต่างๆ ใน CFD โปรแกรม FLUENT (FLUENT User's Guide, 2001)

3.2.4 สมการเบอร์นูลลี่ (Bernoulli's Equation)

จากสมการอนุรักษ์พลังงานในการไหลแบบคงตัวของของไหลที่กดอัดไม่ได้ สมการพลังงานมีพื้นฐานมาจากกฎข้อที่หนึ่งของอุณหพลศาสตร์ ซึ่งกล่าวว่า สำหรับการไหลแบบคงตัว งานที่ได้รับจากระบบรวมกับพลังงานความร้อนที่ถ่ายเทเข้าสู่หรือออกจากระบบ จะเท่ากับการเปลี่ยนแปลงพลังงานของระบบนั้น นั่นคือ

$$Work + Heat = \Delta Energy \quad (3.18)$$

โดยที่งาน (Work) ความร้อน (Heat) และพลังงาน (Energy) จะต้องอยู่ในหน่วยเดียวกัน จึงจะสามารถถ่ายเทระหว่างกันได้ภายใต้เงื่อนไขที่เหมาะสม

ซึ่งสมการพลังงานและสมการสภาพต่อเนื่องเป็นสมการที่มีความสำคัญมากในการแก้ปัญหาเกี่ยวกับของไหลที่กดอัดไม่ได้ โดยเฉพาะด้านอากาศพลศาสตร์ ซึ่งสมการเบอร์นูลลี่ ที่สร้างขึ้นโดย Daniel Bernoulli ในปี ค.ศ. 1738 ซึ่งสามารถใช้ได้กับของไหลที่กดอัด ดังสมการที่ (3.19)

$$\frac{P_1}{\gamma} + z_1 + \frac{v_1^2}{2g} = \frac{P_2}{\gamma} + z_2 + \frac{v_2^2}{2g} + h_L \quad (3.19)$$

โดยที่ h_L หมายถึงการสูญเสียhead (head loss) แทนการสูญเสียพลังงานต่อหน่วยน้ำหนักของของไหล ในบางกรณีที่มีการสูญเสีย h_L มีค่าเพียงเล็กน้อยก็อาจไม่ต้องนำมาพิจารณาได้ ซึ่งสามารถเชียนในรูปที่นำไปได้ว่า

$$\frac{p_1}{\gamma} + z_1 + \frac{v_1^2}{2g} = \text{ค่าคงที่} \quad (3.20)$$

แต่ละเทอมในสมการมีมิติ (Dimension) เป็นความยาว ซึ่ง p/γ เรียกว่า เอดความดัน (Pressure head) แสดงถึงพลังงานต่อหน่วยน้ำหนักที่มีอยู่ในของไหลเนื่องมาจากความดัน z เรียกว่า เอدرดับ (Elevation head) คือพลังงานศักย์ต่อหน่วยน้ำหนักของของไหล และ $v^2/2g$ เรียกว่า เอดความเร็ว (Velocity head) คือพลังงานจนตนต่อหน่วยน้ำหนักของของไหล ผลรวมของทั้งสามเทอม เรียกว่า เอดรรวม

โดยได้นำหลักการของสมการเบอร์นูลลี มาใช้ประโยชน์ในการสร้างเครื่องมือ เพื่อใช้ในการวัด ความดัน และความเร็วของอากาศ โดยเฉพาะในการวัดค่าความดัน และความเร็วที่จะทำการศึกษา ด้านอากาศพลศาสตร์ เช่น มนrovniเตอร์ (Barometers) หลอดปิโตท (Pitot tube) เป็นต้น ซึ่งจะได้กล่าว รายละเอียดกับเครื่องมือนี้ในบทต่อไป

3.3 Computational Fluid Dynamics (CFD)

CFD (Computational Fluid Dynamics) หรือการคำนวณของไหลพลศาสตร์ คือการวิเคราะห์ ระบบที่เกี่ยวข้องกับการไหลของของไหล โดยใช้คอมพิวเตอร์ช่วยคำนวณหาผลเฉลยเชิงตัวเลข และ จำลองลักษณะการไหลที่เกิดขึ้นในปัญหาที่สนใจ ซึ่ง CFD มีระเบียบขั้นตอนการทำงานอยู่ 3 ขั้นตอน ใหญ่ ๆ คือ

- 1) ขั้นตอนการประมวลผล (Pre-processor) เป็นขั้นตอนของการกำหนดรูปร่างลักษณะและ เส้นไขขอบเขตของปัญหา รวมทั้งการแบ่งปัญหาออกเป็นเซลล์เล็ก ๆ
- 2) ขั้นตอนการคำนวณ ทำการแก้ปัญหาจากขั้นตอนที่ 1 โดยใช้ระเบียบวิธีเชิงตัวเลขเพื่อหาผล เฉลยของปัญหา ทั้งนี้ระเบียบวิธีที่นิยมใช้ในปัจจุบันมีอยู่ 3 วิธีได้แก่ 1) วิธีผลต่างสืบเนื่อง (Finite difference method) 2) วิธีไฟโนต์โอลิเมนต์ (Finite element method) 3) วิธีปริมาตรสืบเนื่อง (Finite volume method) ซึ่งรายละเอียดจะกล่าวในหัวข้อต่อไป
- 3) ขั้นตอนการแสดงผล (Post-processor) เป็นขั้นตอนแสดงผลเฉลยหรือแสดงการจำลอง ปรากฏการณ์ที่เกิดขึ้นของปัญหา อาจอยู่ในรูปของ ระดับแอบบส์ (Contour) กราฟ ตัวเลข หรือแสดงใน ลักษณะของเวคเตอร์

การวิเคราะห์ปัญหาทางพลศาสตร์ของไหลนี้ จะเกี่ยวข้องกับสมการเชิงอนุพันธ์อย่างที่อธิบาย ถึงความเป็นจริงของการไหลที่เกิดขึ้นซึ่งเกิดจากสมการ อนุรักษ์มวล โมเมนตัม และพลังงาน ซึ่งได้ กล่าวของรายละเอียดในหัวข้อที่ผ่านมา การคำนวณหรือแก้ปัญหาระบบสมการเชิงอนุพันธ์เหล่านี้มี หลายวิธี ซึ่งในงานวิจัยนี้ใช้วิธีปริมาตรสืบเนื่อง (Finite volume) กับโปรแกรม FLUENT 6.3 แก้ปัญหา และการวิเคราะห์กับอากาศพลศาสตร์ของรถบรรทุกเล็ก

3.3.1 ระเบียบวิธีปริมาตรสีบเนื่อง (Finite volume method)

เทคนิคการคำนวณของไอลพลศาสตร์ (CFD) ในปัจจุบันพบว่าส่วนใหญ่แล้วมักใช้ระเบียบวิธีสีบเนื่อง สร้างโปรแกรมคำนวณแก้ปัญหา เนื่องจากเป็นระเบียบวิธีที่ประดิษฐ์ขึ้นมาใช้สำหรับการคำนวณพุติกรรมการไหลในของไอลโดยเฉพาะ ซึ่งระเบียบวิธีนี้จะทำอินติเกตสมการของปัญหาตลอดปริมาตรควบคุมที่กำหนด

3.3.2 ระเบียบขั้นการแก้ปัญหา

การคำนวณของไอลพลศาสตร์ ประกอบด้วยการคำนวณหาผลเฉลยของสมการเชิงอนุรักษ์ทั้งสามสมการและสมการอื่น เช่น แบบจำลองความปั่นป่วน สมการชนิดของของไอล (กรณีของไอลมีหลายชนิด) และสมการสเกลาร์อื่น ๆ ซึ่งลำดับการหาคำตอบของสมการแต่ละอย่างมีผลต่อการลู่เข้าของคำตอบและค่าผลเฉลย โดยทั่วไประเบียบวิธีเชิงตัวเลขจะมีระเบียบของลำดับขั้นการแก้ปัญหาอยู่ 2 อย่างตามแต่ลักษณะของปัญหา (FLUENT User' Guide, 2001) ดังนี้

3.3.2.1 ระเบียบขั้น Segregated solver เป็นระเบียบขั้นที่จะแก้สมการอนุรักษ์โมเมนตัมก่อน สมการอื่น ทั้งนี้การแก้ปัญหาชุดสมการจะกระทำเป็นรอบและแก้ช้า เนื่องจากสมการอนุรักษ์จะอยู่ในรูปไม่เชิงเส้น ขั้นตอนการแก้ปัญหาตามระเบียบขั้น Segregated solver แสดงดังรูป 3.18 ซึ่งมีขั้นตอนดังนี้

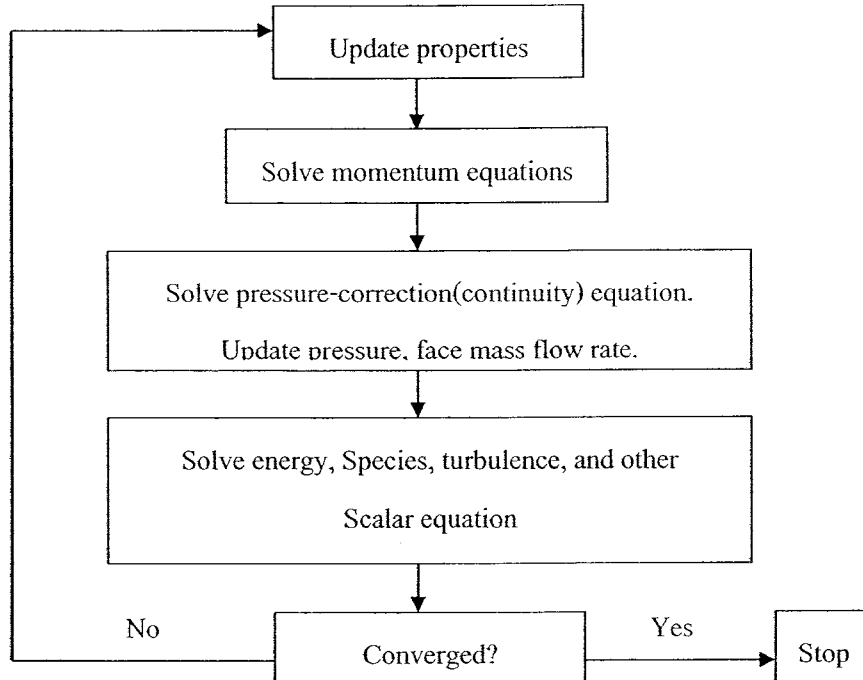
1) สมบัติของสารจะถูกป้อนเข้าสู่ขั้นตอนการแก้สมการ หากเป็นการเริ่มการคำนวณค่าคุณสมบัติที่ใช้ คือ ค่ากำหนดเริ่มต้นของปัญหา และจะมีการปรับปรุงค่าทุก ๆ รอบของการคำนวณ

2) คำนวณสมการอนุรักษ์โมเมนตัมทั้งสามสมการ เพื่อคำนวณค่าความดันและอัตราการไหล ซึ่งจะได้ความเร็วของการไหล

3) เนื่องจากค่าความเร็วที่ได้จากขั้นตอนที่ 2 อาจเป็นค่าที่ไม่เหมาะสมกับสมการอนุรักษ์มวล ดังนั้นจึงต้องมีการปรับปรุงค่าที่ได้ ด้วยสมการปรับแก้ความดัน (Pressure-correction equation) ประดิษฐ์จากสมการอนุรักษ์มวลกับโมเมนตัม โดยค่าความดัน อัตราการไหลและความเร็วที่ได้จะมีค่าเหมาะสมมากขึ้น

4) ขั้นตอนนี้เป็นการแก้สมการอื่นที่เพิ่มเติมเข้ามา สำหรับแต่ละปัญหา เช่น สมการพลังงาน แบบจำลองความปั่นป่วน และสมการสเกลาร์อื่น โดยใช้ค่าจากขั้นตอนที่ 3

5) การยอมรับค่าที่ได้จากการคำนวณ จะถูกกำหนดขึ้น จากผลต่างของเศษเหลือในแต่ละรอบของการคำนวณ หากมีค่าสูงกว่าที่ยอมรับได้ต้องทำการคำนวณซ้ำ (กลับไปที่ขั้นตอนที่ 1) จนกว่าจะได้ค่าเท่ากับหรือน้อยกว่าที่ยอมรับได้



รูปที่ 3.18 ลำดับการคำนวณของระเบียบขั้นแบบ Segregated solver

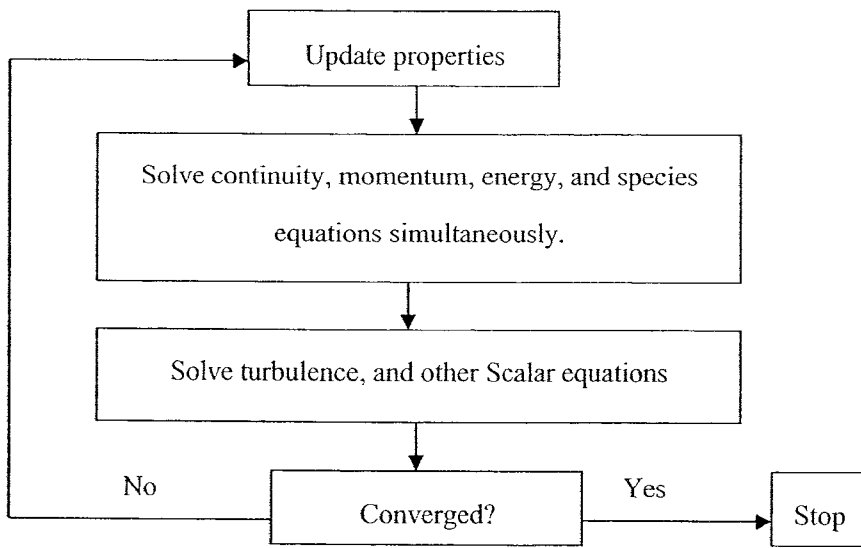
3.3.2.2 ระเบียบขั้น Coupled solver เป็นระเบียบขั้นที่ค่อนข้างใหม่สำหรับการคำนวณเชิงตัวเลข เป็นวิธีที่เอาสมการอนุรักษ์ทั้งสามสมการ และสมการชนิดของของไหล (เมื่อกรณีของไหลมีหลายชนิด) แก้สมการพร้อมกันก่อนจะแก้สมการสเกลาร์อื่น ๆ การคำนวณสมการเหล่านี้ยังต้องทำเป็นรอบ เช่นเดียวกับระเบียบขั้นตอนแรก ซึ่งมีขั้นตอนแสดงดังรูปที่ 3.19

1) ระเบียบขั้นตอนแรก สมบัติของสารถูกป้อนเข้าสู่ขั้นตอนการแก้สมการ หากเป็นการเริ่มการคำนวณค่าคุณสมบัติที่ใช้ คือ ค่ากำหนดเริ่มต้นของปัญหา และจะมีการปรับปรุงค่าทุก ๆ รอบของการคำนวณ

2) ขั้นตอนต่อมา คำนวณสมการอนุรักษ์ทั้งสามสมการ และสมการชนิดของของไหล (กรณีของไหลมีหลายชนิด)

3) คำนวณสมการแบบจำลองความบัน្តปวน และ สมการสเกลาร์อื่น ๆ โดยค่าที่ได้จากขั้นตอนที่ 2

4) ประเมินผลต่างเศษเหลือของรอบว่ายอมรับได้หรือไม่ หากมีค่าสูงกว่าที่ยอมรับได้ จะต้องทำการคำนวณกลับไปที่ขั้นตอนที่ 1 และวนซ้ำจนกว่าจะได้ค่าเท่ากับหรือน้อยกว่าที่ยอมรับได้



รูปที่ 3.19 ลำดับการคำนวณของระเบียบชั้นแบบ Coupled solver

3.3.3 ระเบียบวิธีคำนวณ

การคำนวณสมการเชิงอนุพันธ์ในรูปแบบของวิธีการเชิงตัวเลขนั้นมี 2 ระเบียบวิธี คือ ระเบียบวิธีแบบชัดแจ้ง (Explicit method) และระเบียบวิธีแบบปริยา (Implicit method) ความแตกต่างของระเบียบวิธีทั้งสองคือ การสร้างสมการเชิงตัวเลขที่เป็นเชิงเส้นของความลับพันธ์ระหว่างโนดหรืออิลิเมนต์ เพื่อทดแทนความลับพันธ์ของสมการเชิงอนุพันธ์ กล่าวคือ ระเบียบวิธีแบบชัดแจ้ง ตัวรู้ค่าถูกสร้างเป็นความลับพันธ์เพื่อหาตัวไม่รู้ค่าหนึ่งตัว ระเบียบวิธีแบบปริยาจะใช้กับการคำนวณแบบ Segregated solver เพราะการคำนวณแบบ Segregated solver จะคำนวณหาค่าตัวแปรเดียวของทุกอิลิเมนต์พร้อมกันที่เวลาเดียวกัน ก่อนคำนวณตัวแปรอื่น ๆ ทีละตัวแปร ทั้งนี้ระเบียบชั้น Coupled solver สามารถเลือกใช้ทั้งสองระเบียบวิธีเพื่อการแก้ปัญหาได้

3.3.4 ระเบียบวิธีแก้ปัญหาการไหลของบริเวณใกล้ผนัง

พฤติกรรมการไหลที่เกิดขึ้นบริเวณใกล้กับผนังเป็นปัญหาและอุปสรรคสำคัญกับการจำลองการไหลเชิงตัวเลข ที่ผนังความเร็วของของไหลจะมีค่าเข้าใกล้ศูนย์หรือเป็นศูนย์ เมื่อจากการหน่วงของความหนืดบริเวณนี้ มีผลกับการไหลมาก นอกจากนี้แล้วความเสียดทานที่ผนังยังเป็นปัจจัยหลักที่ทำให้เกิดการหมุนวนและความปั่นป่วนของของไหล ดังนั้นระเบียบวิธีเชิงตัวเลขจำเป็นต้องมีวิธีที่ใช้สำหรับแก้ปัญหานี้

ในโปรแกรม FLUENT มีระเบียบวิธี 2 อย่างที่ใช้แก้ปัญหาที่เกิดขึ้นของการไหลบริเวณผนัง อันได้แก่ Near wall function และ Near-wall model ทั้งสองวิธีแตกต่างกันที่วิธีการคำนวณปัญหา โดย Near-wall model เป็นเทอมของฟังชันในแบบจำลองความปั่นป่วน เพื่อการแก้ปัญหาริเวณผนัง โดย

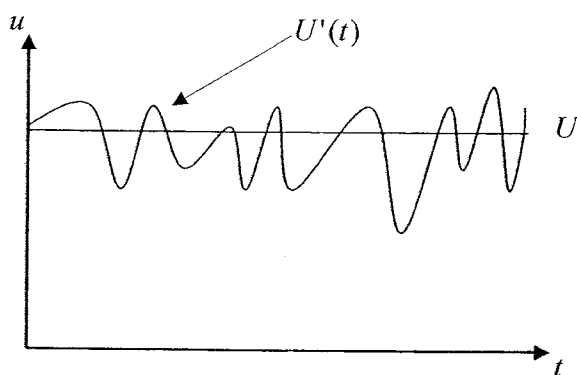
ทำอิเลิเมนต์บริเวณใกล้ผนังให้เล็กและคำนวณแต่ละอิเลิเมนต์ไปเรื่อยๆ จนติดผนัง ขณะที่ Near wall function ทำการสร้างฟังก์ชันแยกจากแบบจำลองความปั่นป่วน เพื่อคำนวณค่าคุณสมบัติการไหลต่างๆ ที่อิเลิเมนต์ติดกับผนัง ฟังก์ชันที่ว่านี้ในโปรแกรม FLUENT มี 2 อย่าง ได้แก่ Standard near wall function และ Non-equilibrium near wall function ซึ่งข้อจำกัดของฟังก์ชันทั้งสอง คือ คำนวณการไหลที่ค่า Re ต่ำได้ไม่ดีนัก และมีข้อสมมุติฐานที่ไม่ครอบคลุมทุกปัญหา ด้วยเหตุนี้ จึงมีการประดิษฐ์แบบจำลองที่สามารถใช้ได้กับปัญหาความปั่นป่วนในบริเวณค่า Re ต่ำซึ่ง แบบจำลองที่ว่านี้ คือ Enhanced near-wall model โดยใช้หลักการของการสร้างฟังก์ชันนำไปปรับปรุงแบบจำลองความปั่นป่วนซึ่งทำให้การแก้ปัญหาการไหลที่เกิดใกล้ผนังมีประสิทธิภาพ และยังสามารถใช้งานได้ครอบคลุมปัญหามากขึ้น

3.3.5 แบบจำลองความปั่นป่วนของการไหล

การไหลที่ค่า Reynolds's number สูง สภาวะการไหลจะเป็นแบบปั่นป่วน ซึ่งการไหลจะเปลี่ยนแปลงคุณสมบัติของไหลอย่างไม่เป็นระเบียบ ดังนั้นการแก้ปัญหาทางคณิตศาสตร์ด้วยวิธีเชิงตัวเลขจึงเป็นเรื่องยากและให้เวลาในการคำนวณนาน ดังนั้นกวิจัยจึงพยายามจำลองความไม่เป็นระเบียบของการไหลแบบปั่นป่วนที่ใช้กับวิธีการคำนวณเชิงตัวเลข แต่ก่อนที่จะกล่าวถึงแบบจำลองเหล่านั้น จำเป็นต้องทราบพฤติกรรมและคุณสมบัติพื้นฐานของความปั่นป่วนในการไหลของไหล และสมการค่าเฉลี่ยของ Reynolds ก่อนอธิบายแบบจำลองการไหลแบบปั่นป่วน (Fox, McDonald and Pritchard, 2003)

3.3.5.1 สมการค่าเฉลี่ยของ Reynolds

ความเร็วและคุณสมบัติต่างๆ ของการไหลแบบปั่นป่วนจะเปลี่ยนแปลงตามเวลาอย่างไม่เป็นระเบียบ ดังรูปที่ 3.20 โดย $u(x, y, z, t)$ เป็นคุณสมบัติของของไหล เป็นฟังก์ชันของตำแหน่ง และเวลา



รูปที่ 3.20 การเปลี่ยนแปลงอย่างไม่เป็นระเบียบของการไหลแบบปั่นป่วน

เพื่อให้ง่ายขึ้นในการแก้ปัญหาของระบบสมการนาเวียร์สโตกส์ Osborne Reynolds กำหนดค่าเฉลี่ย \bar{u} จาก

$$\bar{u} = \frac{1}{\Delta t} = \int_{\Delta t} u dt \quad (3.20)$$

ทั้งนี้ Δt เป็นช่วงเวลาเฉลี่ย ยิ่งมีช่วงกว้างยิ่งได้ค่าที่ถูกต้อง โดยมากจะกำหนดให้ $\Delta t \rightarrow \infty$ โดยกำหนดคุณสมบัติของการไหลเป็น $u_i = \bar{u}_i = u_i$ ในรูปของเวกเตอร์เป็น $U = \bar{U} + U'$ และเมื่อนำสมการนี้ไปแทนในระบบสมการนาเวียร์สโตกส์จะได้

สมการอนุรักษ์มวล

$$\frac{\partial \rho}{\partial t} + \operatorname{div}(\rho \bar{U}) = 0 \quad (3.21)$$

สมการอนุรักษ์ไมเมนตัมใน 3 มิติ

$$\frac{\partial(\rho \bar{U})}{\partial t} + \operatorname{div}(\rho \bar{u} \bar{U}) = -\frac{\partial P}{\partial x} + \operatorname{div}(\mu \operatorname{grad} \bar{u}) + \left[-\frac{\partial(\rho \bar{u}'^2)}{\partial x} - \frac{\partial(\rho \bar{u}' v')}{\partial y} - \frac{\partial(\rho \bar{u}' w')}{\partial z} \right] + \rho f_x \quad (3.22a)$$

$$\frac{\partial(\rho \bar{v})}{\partial t} + \operatorname{div}(\rho \bar{u} \bar{U}) = -\frac{\partial P}{\partial y} + \operatorname{div}(\mu \operatorname{grad} \bar{v}) + \left[-\frac{\partial(\rho \bar{u}' v')}{\partial x} - \frac{\partial(\rho \bar{v}'^2)}{\partial y} - \frac{\partial(\rho \bar{v}' w')}{\partial z} \right] + \rho f_y \quad (3.22b)$$

สมการข้างต้นนี้เราเรียกว่า สมการของ Reynolds หรือ Reynolds-Average Navier-Stokes equation (RANS) จะเห็นว่ารูปสมการนี้คล้ายกับสมการนาเวียร์สโตกส์เดิมแต่มีเพิ่มความเด่น (ในวงเล็บทางขวา มือ) เพิ่มเข้ามา โดยสมการใน 3 มิติ จะมีทั้งหมดหกเทอมด้วยกันเราเรียกความเด่นเหล่านี้ว่า Reynolds stresses

จากการทดลองและศึกษาของ Boussineq ทำให้ได้ความสัมพันธ์ของเทอมความเด่นนี้ที่มีกับความเร็วเฉลี่ยของการไหลกับอัตราการเปลี่ยนรูปอelist เมนต์ของไหล (Versteeg and Malalasekera, 1995) ไว้ดังนี้

$$\text{Renolds stresses, } -\rho \bar{u}_i' \bar{u}_j' = \mu_i \left(\frac{\partial u_i}{\partial z_j} + \frac{\partial u_j}{\partial x_i} \right) - \frac{2}{3} \left(\rho k + \mu_i \frac{\partial u_i}{\partial x_i} \right) \delta_{ij} \quad (3.23)$$

โดย μ_t คือ Turbulent viscosity เป็นตัวแปรที่จำเป็นจะต้องสร้างสมการเข้ามาเพิ่มเติมเพื่อให้ระบบสมการหาคำตอบได้ สมการเหล่านี้ คือ แบบจำลองของการไหลแบบปั่นป่วน

3.3.5.2 แบบจำลองความปั่นป่วน แบบ Standard $k - \varepsilon$

แบบจำลองความปั่นป่วนแบบ Standard $k - \varepsilon$ เป็นแบบจำลองที่ Turbulent viscosity เป็นพังก์ชันของพลังงานจลน์ของความปั่นป่วน (Turbulence kinetic energy, k) และอัตราการกระจายพลังงานจลน์ (Dissipation of turbulence kinetic energy, ε) โดยมีการส่งถ่าย 2 ชุดเป็นสมการของ k และ ε (FLUENT User's Guide, 2001) อย่างละเอียด ดังนี้

$$\frac{\partial(\rho k)}{\partial t} + \operatorname{div}(\rho k \bar{U}) = \operatorname{div} \left[(\mu + \frac{\mu_t}{\sigma_k}) \operatorname{grad} k \right] + G_k + G_b + \rho_\varepsilon - Y_M + S_k \quad (3.24)$$

$$\frac{\partial(\rho \varepsilon)}{\partial t} + \operatorname{div}(\rho \varepsilon \bar{U}) = \operatorname{div} \left[(\mu + \frac{\mu_t}{\sigma_\varepsilon}) \operatorname{grad} \varepsilon \right] + C_{1\varepsilon} \frac{\varepsilon}{k} (G_k + C_{3\varepsilon} G_b) - C_{2\varepsilon} \rho \frac{\varepsilon^2}{k} + S_\varepsilon \quad (3.25)$$

โดยที่ G_k คือพลังงานจลน์ที่เกิดขึ้นจากความเร็วเฉลี่ย, G_b คือพลังงานจลน์ที่เกิดขึ้นจากการลอยตัว (buoyancy), Y_M คือค่าการกดอัดได้ ซึ่งมีผลต่อความปั่นป่วนในการไหล $C_{1\varepsilon}$, $C_{2\varepsilon}$, $C_{3\varepsilon}$ เป็นค่าคงที่, σ_k และ σ_ε คือค่า Prandtl number ของ k และ ε ตามลำดับ แบบจำลองของค่า turbulent viscosity, μ_t คือ

$$\mu_t = \rho C_\mu \frac{k^2}{\varepsilon} \quad (3.26)$$

ซึ่ง C_μ เป็นค่าคงที่ โดยทั่วไปค่าคงที่ในสมการถ่ายเทขายต้นจะมีค่าเป็น $C_{1\varepsilon} = 1.44$, $C_{2\varepsilon} = 1.92$, $C_\mu = 0.09$, $\sigma_k = 1.0$, $\sigma_\varepsilon = 1.3$

3.3.5.3 แบบจำลองความปั่นป่วน แบบ RNG $k - \varepsilon$

RNG $k - \varepsilon$ เป็นแบบจำลองความปั่นป่วนที่ประดิษฐ์จากสมการนาเวียสโตกส์ที่ใช้ระเบียบวิธีที่เรียกว่า Renormalization Group (RNG) แบบจำลองนี้จะมีค่าคงที่แตกต่างจากแบบจำลอง Standard $k - \varepsilon$ และเพิ่มบางเทอมในสมการได้เป็น

$$\frac{\partial(\rho k)}{\partial t} + \operatorname{div}(\rho k \bar{U}) = \operatorname{div} \left[\alpha_k \mu_{eff} \operatorname{grad} k \right] + G_k + G_b + \rho_\varepsilon - Y_M + S_k \quad (3.27)$$

$$\frac{\partial(\rho \varepsilon)}{\partial t} + \operatorname{div}(\rho \varepsilon \bar{U}) = \operatorname{div} \left[\alpha_\varepsilon \mu_{eff} \operatorname{grad} \varepsilon \right] + C_{1\varepsilon} \frac{\varepsilon}{k} (G_k + C_{3\varepsilon} G_b) - C_{2\varepsilon} \rho \frac{\varepsilon^2}{k} - R_\varepsilon + S_\varepsilon \quad (3.28)$$

ค่า G_k , G_b , Y_M มีความหมายเช่นเดียวกับสมการส่งถ่ายของแบบจำลอง Standard $k - \varepsilon$ ขณะที่ σ_k และ σ_ε คือ Inverse effective Prandtl numbers สำหรับ ของ k และ ε ตามลำดับ แบบจำลองของค่า Turbulent viscosity ในรูปสมการเชิงอนุพันธ์สำหรับแบบจำลอง RNG $k - \varepsilon$ คือ

$$d\left(\frac{\rho^2 k}{\sqrt{\varepsilon \mu}}\right) = 1.72 \frac{\hat{v}}{\sqrt{\hat{v}^3 - 1 + C_v}} \quad (3.29)$$

โดย

$$\hat{v} = \mu_{eff}/\mu \text{ และ } C_v \approx 100$$

สมการที่ (3.29) จะใช้ได้เมื่อการไอลนันมีค่า Reynolds number ต่ำ แต่ถ้าการไอลนันมีค่า Reynolds number สูงจะต้องใช้สมการที่ (3.27) แทนโดยกำหนดให้ค่า $C_\mu = 0.0845$ การคำนวณเพื่อหาค่า α_k และ α_ε นั้นใช้สมการ

$$\alpha_k \left| \frac{\alpha - 1.3929}{\alpha_0 - 1.3929} \right|^{0.6321} \left| \frac{\alpha - 2.3929}{\alpha_0 - 2.3929} \right|^{0.3679} = \frac{\mu_{mol}}{\mu_{eff}} \quad (3.30)$$

ถ้าหากเป็นกรณีค่า Reynolds number สูง α_k และ $\alpha_\varepsilon \approx 1.393$ ค่า R_ε ในสมการที่ (3.18) สามารถหาได้จากความสัมพันธ์

$$Re = \frac{C_\mu \rho \eta^3 (1 - \eta/\eta_0)}{1 + \beta \eta^3} \bullet \frac{\varepsilon^2}{k} \quad (3.31)$$

ค่าคงที่สำหรับสมการที่ (3.27) และ (3.28) จะมีค่าเป็น $C_{1\varepsilon} = 1.42$, $C_{2\varepsilon} = 1.68$

จากความสัมพันธ์ระหว่างความเร็ว ความเร่ง และแรงที่กระทำหรือแรงที่เกิดขึ้นจากการเคลื่อนที่ของไอล ซึ่งเป็นศาสตร์แขนงหนึ่งของกลศาสตร์ของไอล (Fluid Mechanics) หรือสมการการอนุรักษ์การไอลของไอล ที่สามารถอธิบายสภาพของไอลของการเปลี่ยนแปลงของตำแหน่งและเวลา เป็นพื้นฐานในการคำนวณของไอลพลศาสตร์ CFD บวกแนวคิดของนักวิจัยอื่น ๆ ดังที่กล่าวมานี้ ผู้เขียนจะเน้นองค์ความรู้ด้านอากาศพลศาสตร์ (Aerodynamics) เป็นหลัก เพื่อที่จะใช้ในการออกแบบเครื่องมือในการวิจัย เช่น อุโมงค์ลม (Wind tunnel) การปรับปรุงชิ้นส่วนต่าง ๆ และการใช้เครื่องมือในการวัด รวมไปถึงการใช้งานของโปรแกรมในการคำนวณของไอลพลศาสตร์ เพื่อจะใช้ในการศึกษา วิเคราะห์ กับสิ่งที่เกิดขึ้นจากการไอลของอากาศผ่านระบบรุกเล็ก เพื่อเป็นแนวคิดใน

การปรับปรุงรูปทรง ลักษณะการใช้งาน วิธีการใช้งานของรถบรรทุกเล็ก เพื่อลดแรงต้าน โดยชั้นตอน
การวิจัยนี้ จะกล่าวในบทต่อไป

บทที่ 4

การสร้างและการทดสอบอุโมงค์ลม

อุโมงค์ลมความเร็วต่ำแบ่งได้เป็น 2 แบบใหญ่ๆ คือ ประเภทความดันปกติ อุโมงค์ลมประเภทนี้จะใช้อากาศที่มีความดันเท่ากับความดันบรรยากาศ ซึ่งทำได้โดยการใช้พัดลมดูดหรือเป่าอากาศผ่านวัสดุทดสอบ ประเภทความดันสูง อุโมงค์ลมประเภทนี้จะใช้อากาศที่มีความดันสูงกว่าความดันบรรยากาศ ทำได้โดยการใช้ถังลมอัดอากาศแล้วเป่าผ่านวัสดุทดสอบ นอกจากนี้แล้ว อุโมงค์ลมทั้งสองประเภทข้างต้นยังสามารถแบ่งได้เป็นอีก 2 แบบ คือ อุโมงค์ลมแบบปิด อุโมงค์แบบนี้จะให้อากาศไหลหมุนเวียนอยู่ภายในตลอดเวลา อุโมงค์ลมแบบเปิด อุโมงค์ลมประเภทนี้จะให้อากาศไหลเข้าที่ปลายข้างหนึ่งผ่านส่วนปฏิบัติงานแล้วไหลออกปลายอีกข้างหนึ่ง

4.1 ส่วนประกอบและเครื่องมือในการวัด

อุโมงค์ลมที่สร้างขึ้นเพื่อทำการทดลอง เป็นอุโมงค์ลมประเภทความดันปกติ และเป็นอุโมงค์ลมแบบเปิด เพราะเป็นอุโมงค์ลมที่มีโครงสร้างที่ไม่ซับซ้อน งบประมาณในการสร้างต่ำ เป็นอุโมงค์ลมชนิดดูดลมเข้าสามารถทำความเร็วที่ผ่านส่วนปฏิบัติงานได้อยู่ในช่วง 0-15 m/s หรือ 0-54 km/hr ประกอบด้วยส่วนต่าง ๆ ดังนี้คือ

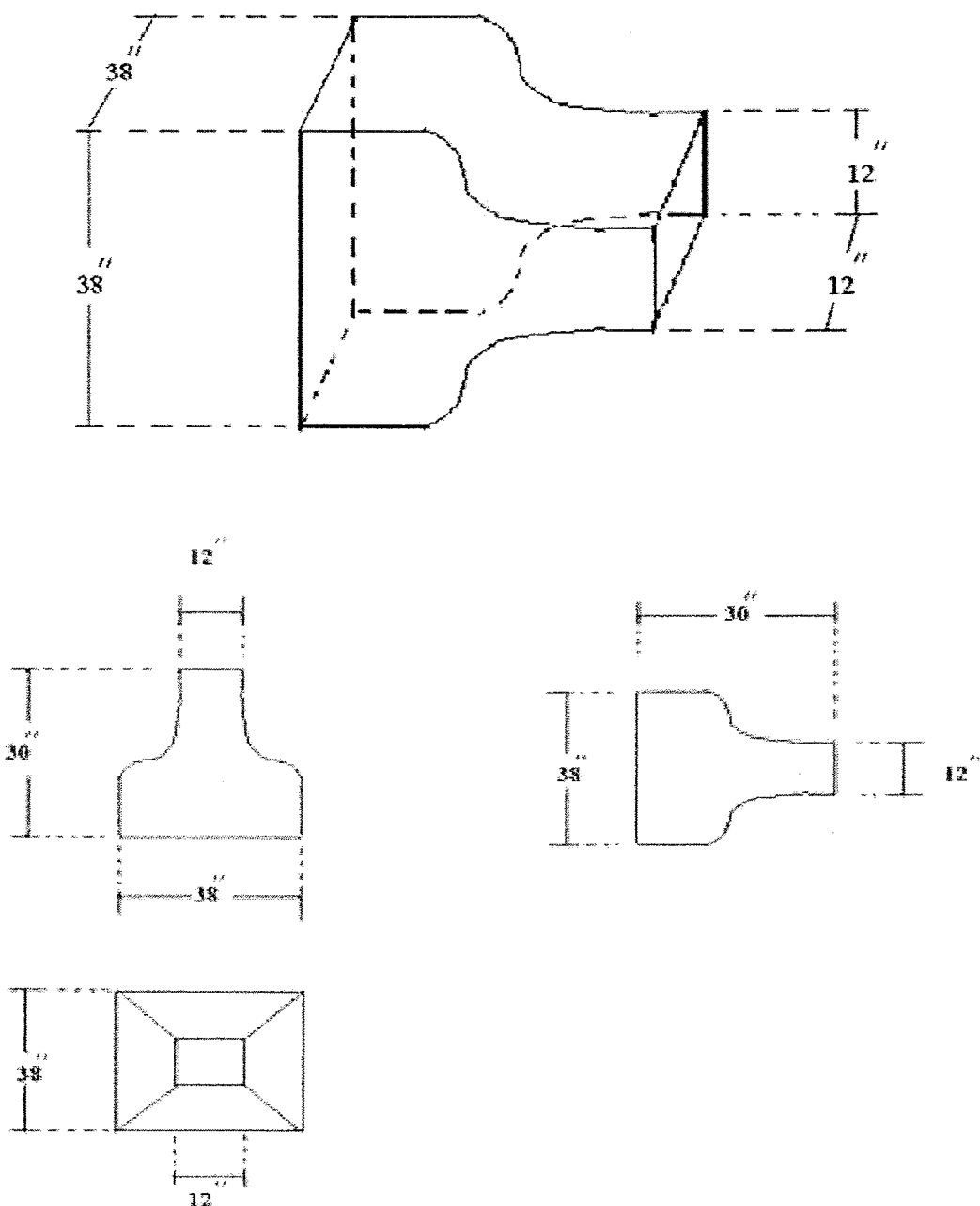
4.1.1 ส่วนอากาศแพร่เข้า (Effuser or Contraction Cone)

ส่วนอากาศแพร่เข้าจะเป็นส่วนแรกที่อากาศจะไหลเข้าสู่อุโมงค์ลมชนิดดูด ลักษณะของส่วนที่อากาศแพร่เข้านี้เป็นการยกมากในการออกแบบในส่วนของ ความโถงต่าง ๆ ของส่วนที่เป็นด้านยาว เพื่อที่จะลดค่าความดันสูญเสียในส่วนนี้ ส่วนของอากาศแพร่เข้าจะมีปากทางเข้าที่มีพื้นที่หน้าตัดค่อนข้างใหญ่ ทำจากเหล็กแผ่นเรียบหนา 1 mm ปากทางเข้าขนาด $38'' \times 38''$ และจะค่ออยู่ ลดขนาดของพื้นที่หน้าตัดลงอย่างสม่ำเสมอจนกระทั่งถึงส่วนปฏิบัติงานที่มีพื้นที่หน้าตัดขนาด $12'' \times 12''$ และส่วนอากาศแพร่เข้ามีความยาว $30''$ อัตราส่วนของปากทางเข้าต่อทางออกเป็น 10:1 เพื่อให้กระแสอากาศมีความเร็วเพิ่มขึ้นเรื่อยๆ ซึ่งจะเป็นไปตามสมการแห่งความต่อเนื่องคือ

$$A_1 V_1 = A_2 V_2 \quad (4.1)$$

เมื่อ	A_1	แทนพื้นที่หน้าตัดของทางเข้า Contraction
	A_2	แทนพื้นที่หน้าตัดของทางเข้า Test Section
	V_1	แทนความเร็วของทางเข้า Contraction

V_2 แทนความเร็วของทางเข้า Test Section

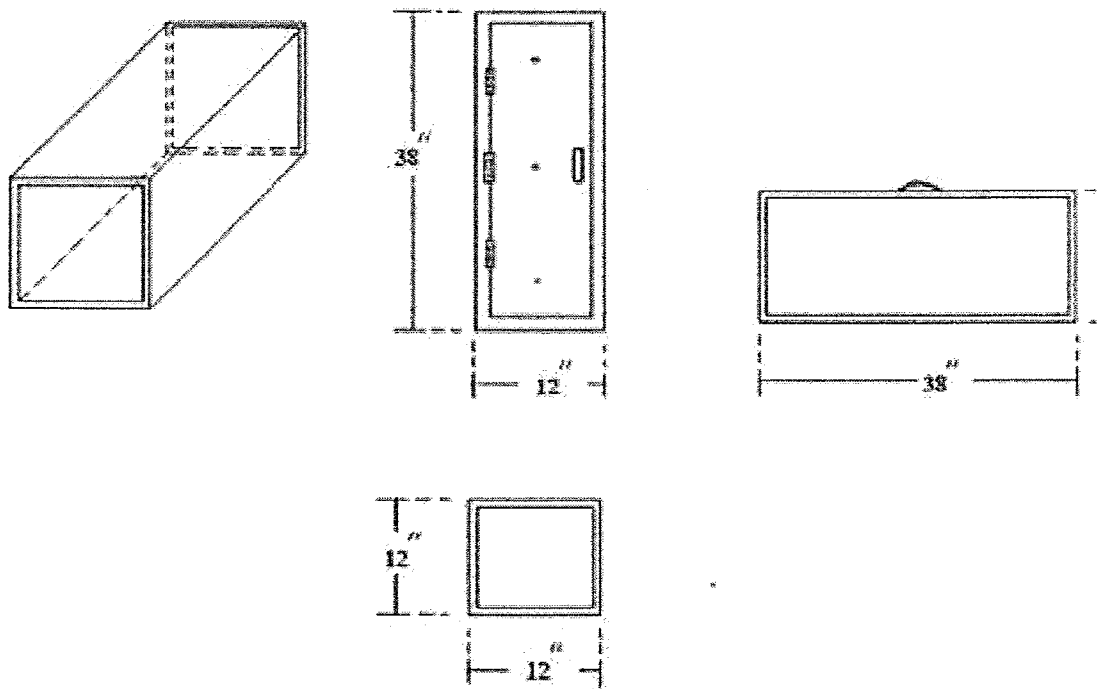


รูปที่ 4.1 ขนาดส่วนแพร่เข้า

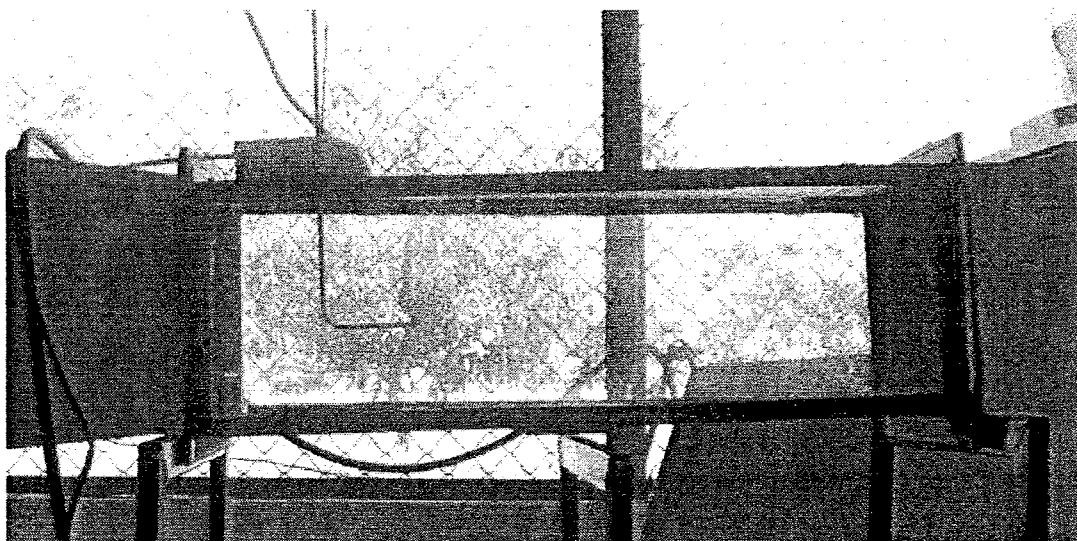
4.1.3 ส่วนของการปฏิบัติงาน (Test section)

ส่วนปฏิบัติงานเป็นส่วนที่สำคัญที่สุดของอุโมงค์ลม เพราะเป็นส่วนที่ใช้ในการทดสอบวัสดุ ทดสอบหรือแบบจำลอง เพื่อให้กระخلافผ่านส่วนปฏิบัติงานมีค่าคงที่จึงต้องทำให้พื้นที่หน้าตัดส่วนนี้มีค่าスマ่เสมอตลอดทั้งหน้าตัด ซึ่งอาจมีพื้นที่หน้าตัดเป็นรูป วงกลม วงรี หรือรูปสี่เหลี่ยมก็ได้ และวัสดุที่ใช้ทำนิยมใช้วัสดุโพร์ชิส เพื่อให้สามารถสังเกตเห็นความเปลี่ยนแปลงที่เกิดขึ้นกับวัสดุทดสอบหรือแบบจำลองได้

ส่วนปฏิบัติงานที่สร้างขึ้น ทำด้วยแผ่นอะคิลิคใส หนา 2 mm ประกอบเป็นรูปสี่เหลี่ยมขนาดพื้นที่หน้าตัด 12" x 12" ยาว 38" ส่วนบนทำเป็นฝ้าปิดรูปสี่เหลี่ยม เพื่อเป็นช่องสำหรับใส่ชิ้นงานทดสอบที่ฝ้าปิดจะสามารถหุ้นหัว ห้าย และตรงกลางของฝ้าปิด เพื่อใส่เครื่องมือที่ใช้ในการทดสอบ บริเวณทางเข้าและทางออกของส่วนปฏิบัติงานจะติดฉนวนยางเพื่อป้องกันรอยร้าวที่เกิดบริเวณรอยต่อของส่วนปฏิบัติงานกับส่วนของ Contraction cone และส่วนของ Diffuser



รูปที่ 4.4 ขนาดส่วนปฏิบัติงาน

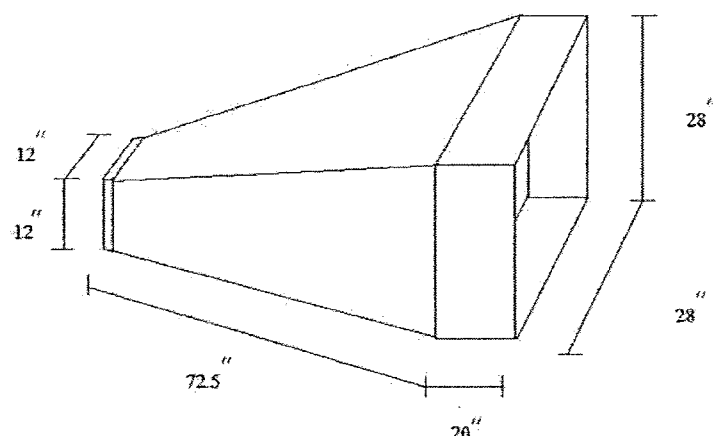


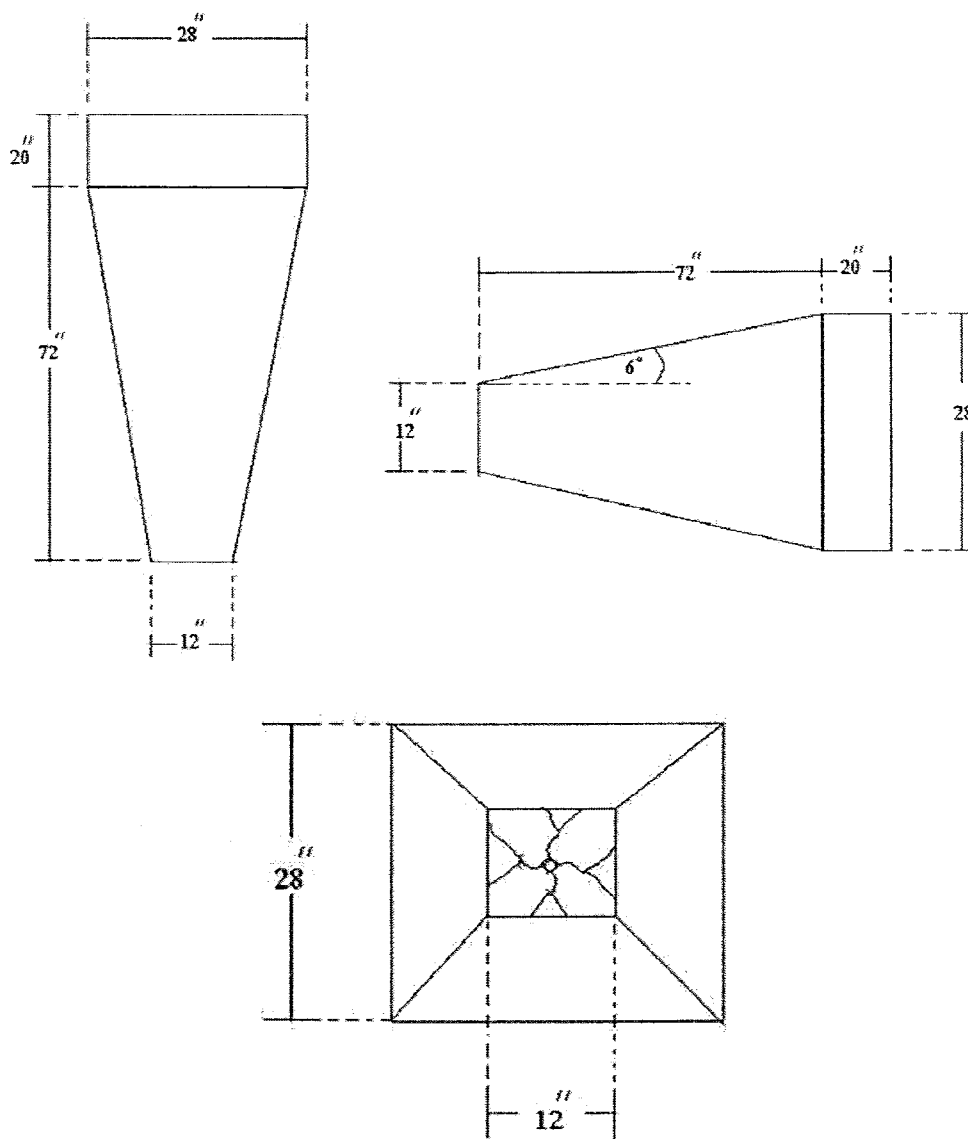
รูปที่ 4.5 ส่วนปฏิบัติงานที่สร้างขึ้น

4.1.4 ส่วนอากาศแพร่ออก (Diffuser)

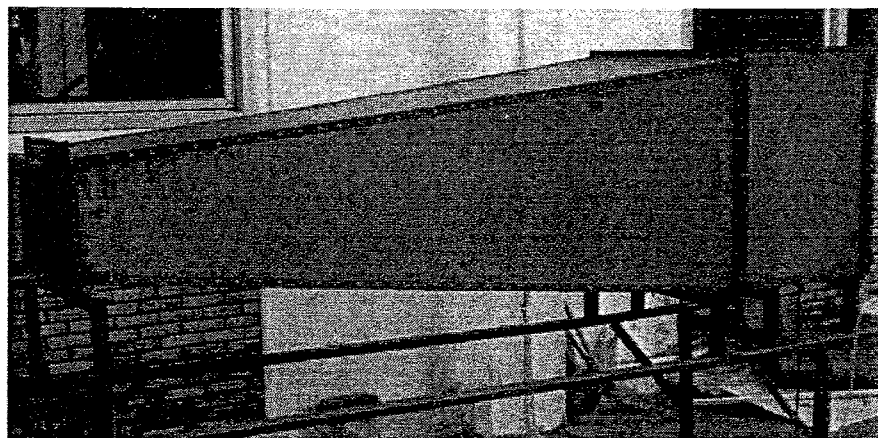
ส่วนของอากาศแพร่ออกนี้ เป็นส่วนที่รับของไหลต่อจากส่วนของห้องทดสอบ และจะมีขนาดของพื้นที่หน้าตัดเพิ่มขึ้นเรื่อยๆ ตามความยาวของส่วนของอากาศแพร่ออก จะทำหน้าที่ในการลดความเร็วของลมหรือของไหลที่จะไหลออกจากตัวอุโมงค์ลม เนื่องจากลมที่ไหลออกถ้าหากไม่ได้ผ่านส่วนอากาศแพร่ออกนี้แล้วจะทำให้ลมที่ไหลออกมีความเร็วที่สูง ก่อให้เกิดเสียงดัง และส่วนที่อากาศแพร่ออกนี้ยังเป็นตัวช่วยในการลดการใช้พลังงานในชุดของตัวขับลมอีกด้วย โดยเป็นการเพิ่มความเร็วลมในส่วนของห้องทดสอบลมไปในตัว

ส่วนอากาศแพร่ออกที่สร้างขึ้นทำด้วยเหล็กแผ่นเรียบหนา 1 mm ด้านหน้าเป็นรูปสี่เหลี่ยมจตุรัสขนาดพื้นที่หน้าตัด $12'' \times 12''$ ส่วนหลังเป็นรูปสี่เหลี่ยมจตุรัส ขนาดพื้นที่หน้าตัด $28'' \times 28''$ ส่วนของอากาศที่แพร่ออกนี้มีความยาว $82''$ ความชันระหว่างปลายทั้งสองข้างมีค่า 6° อัตราส่วนของปากทางเข้าต่อทางออกเป็น 1:6





รูปที่ 4.6 ขนาดของส่วนแพร์ออก



รูปที่ 4.7 ส่วนแพร์ออกที่สร้างขึ้น

4.1.5 ส่วนกำลัง (Power Section)

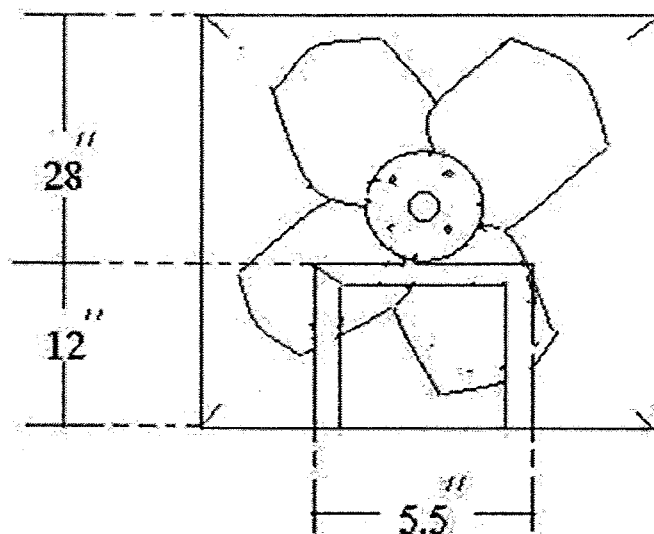
ส่วนกำลังนี้จะทำหน้าที่จ่ายพลังงานให้แก่อากาศที่ไหลผ่านอุโมงค์ลมประกอบด้วย มอเตอร์ พัดลม และอุปกรณ์ควบคุมมอเตอร์ ส่วนนี้จะอยู่ท้ายสุดของอุโมงค์ลมชนิดดูด พลังงานที่อากาศได้ จากมอเตอร์จะอยู่ในรูปของพลังงานจลน์ ดังนั้น จากหลักการคงตัวของพลังงานและสมการแห่งการ ต่อเนื่อง (Equation of Continuity) จะได้

$$P = \frac{\rho A V^3}{2} \quad (4.2)$$

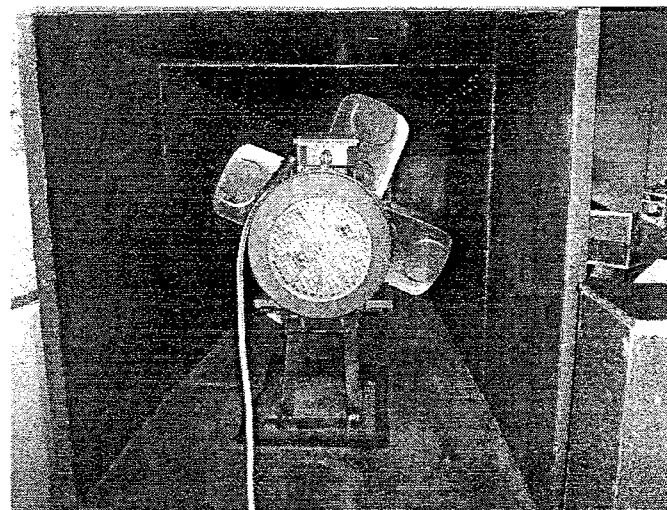
โดยที่ P คือกำลังของมอเตอร์ (Watt), A คือพื้นที่หน้าตัด (m^2), V อัตราเร็วของกระแส อากาศที่ไหลผ่านพื้นที่หน้าตัด (m/s), ρ แทนความหนาแน่นของอากาศ (kg/m^3)

ส่วนกำลังที่สร้างขึ้นประกอบด้วย

- มอเตอร์ขนาด 5.5 แรงม้า 380 V 1450 rev/min
- ใบพัดชนิด 4 ใบ ขนาดเส้นผ่าศูนย์กลาง 24"
- อุปกรณ์ควบคุมความเร็วของมอเตอร์

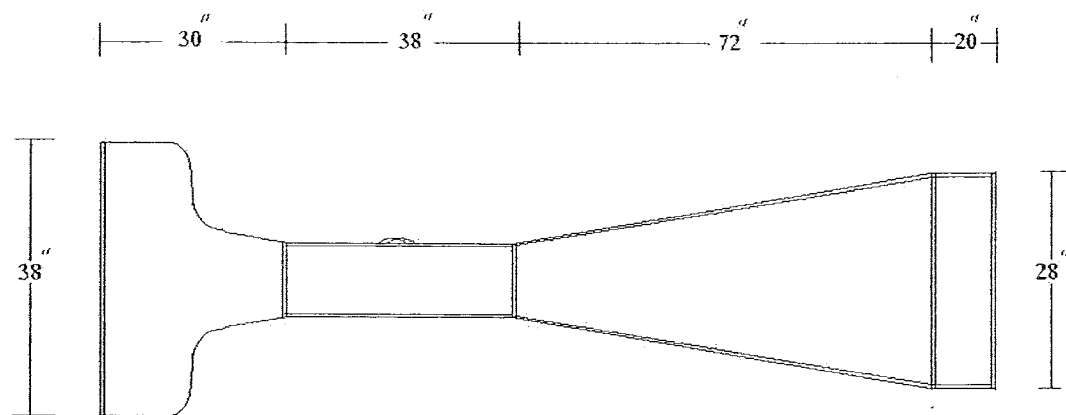


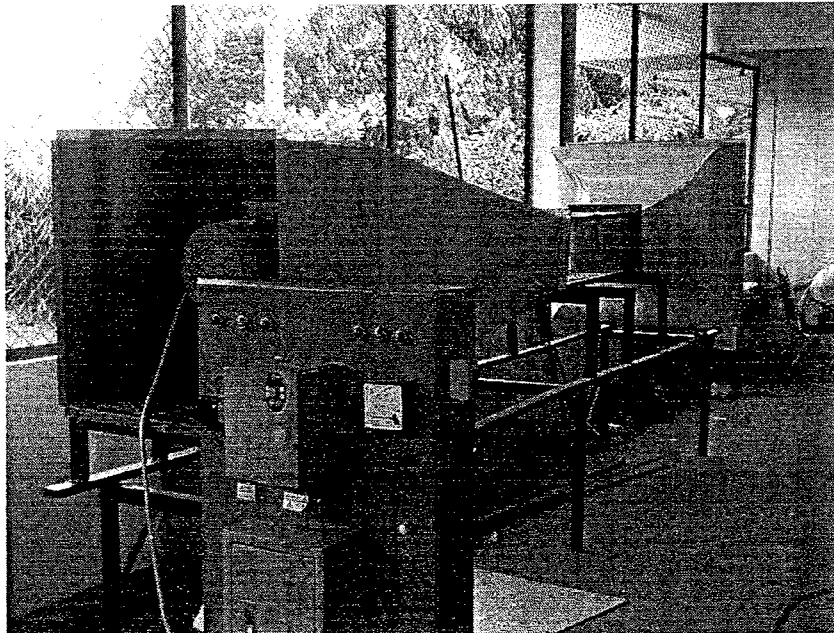
รูปที่ 4.8 ขนาดส่วนกำลัง



รูปที่ 4.9 ส่วนกำลังที่สร้างขึ้น

จากส่วนประกอบต่าง ๆ ที่ได้มีการออกแบบ และสร้างขึ้นได้นำมาประกอบกันเป็นอุโมงค์ลม
ที่มีขนาดและรูปร่างดังรูปที่ 4.10





รูปที่ 4.10 ขนาดของแต่ละส่วนที่นำมาประกอบกัน

4.2 การทดสอบอุโมงค์ลม

จากหัวข้อที่ผ่านมา เป็นการสร้างอุโมงค์ลมที่มีสภาพสมบูรณ์พร้อมใช้งาน ดังนั้นจำเป็นอย่างยิ่งที่จะต้องมีการทดสอบเพื่อหาประสิทธิภาพของอุโมงค์ลม ในบทนี้จะกล่าวถึงการทดสอบพื้นฐาน การทำงานของอุโมงค์ลมความเร็วต่าที่สร้างขึ้น เพื่อหาสมรรถนะต่าง ๆ ของตัวอุโมงค์ลม โดยจะใช้วิธีการทดสอบที่เป็นพื้นฐานอย่างง่าย ซึ่งผลที่ได้จะทำให้เราสามารถวิเคราะห์และสรุปผลได้ในระดับหนึ่ง โดยวิธีและขั้นตอนการทดสอบตามขั้นตอนดังต่อไปนี้

4.2.1 การทดสอบความเร็วของอากาศโดยใช้หลอดบีโตก และมานอมิเตอร์

ดังที่ได้กล่าวมาในบทที่ 3 แล้วว่าการไหลของของไอลนั้น เราสามารถพิจารณาการไหลได้ตามสถานะต่าง ๆ ไม่ว่าจะเป็นคุณสมบัติทางกายภาพหรือสถานะของจลนาสตร์ของไอล เช่น ความเรียบและไม่เรียบของการไหล (Laminar and Turbulent Flow) หรือความสม่ำเสมอและไม่สม่ำเสมอของการไหล เป็นต้น ซึ่งในการทดลองนี้เราจะทดสอบการไหลที่มีความเรียบหรือมีความสม่ำเสมอหรือไม่ โดยพิจารณาการวัดที่ระนาบของหน้าตัดที่ระยะต่าง ๆ ใช้หลอดบีโตก และมานอมิเตอร์ ซึ่งเป็นเครื่องมือที่ต้องใช้ควบคู่กัน สำหรับวัดความดัน และความเร็วของอากาศในส่วนปฏิบัติงาน หลักการคือ วัดความดันแตกต่าง (Differential pressure) ซึ่งประกอบด้วยท่อสองชั้นเพื่อวัดความดันสถิต (Static pressure) และความดันในระบบ (Total pressure) จากจุดวัดความดันสองจุด

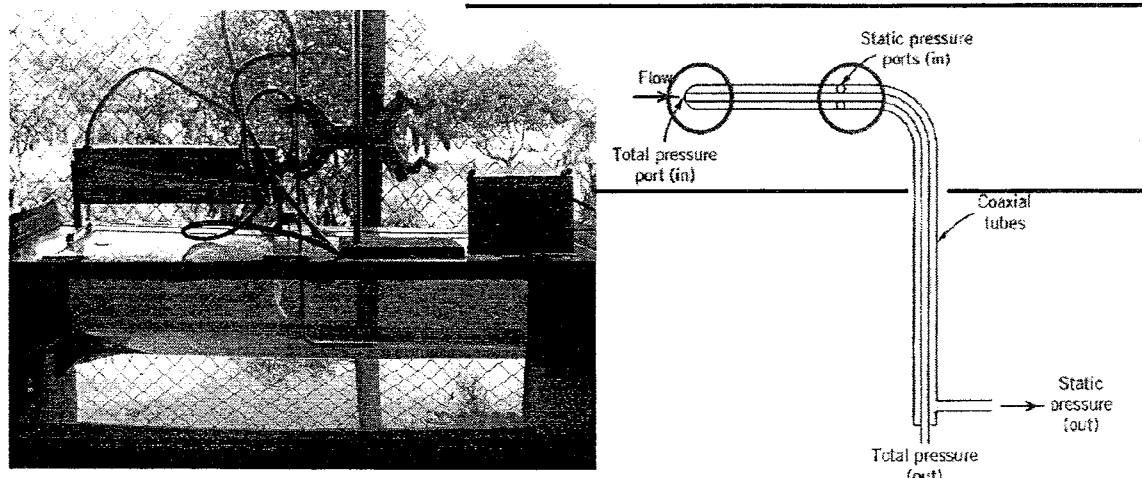
ที่ตั้งลากกัน ความเร็วจะประเมินได้จาก ความแตกต่างของความดันห้องส่องจุด ($P_t - P_s$) ซึ่งหากความเร็วได้จาก สมการเบอร์นูลลี (Bernoulli equation) คือ

$$\frac{V_1^2}{2g} + \frac{P_1}{\rho g} = \frac{V_2^2}{2g} + \frac{P_2}{\rho g} \quad (4.3)$$

โดยที่ Static pressure + Dynamic pressure = Total pressure ดังนั้น ความเร็วของไหลคำนวณได้จากความแตกต่างระหว่างความดันร่วมและความดันสถิติ

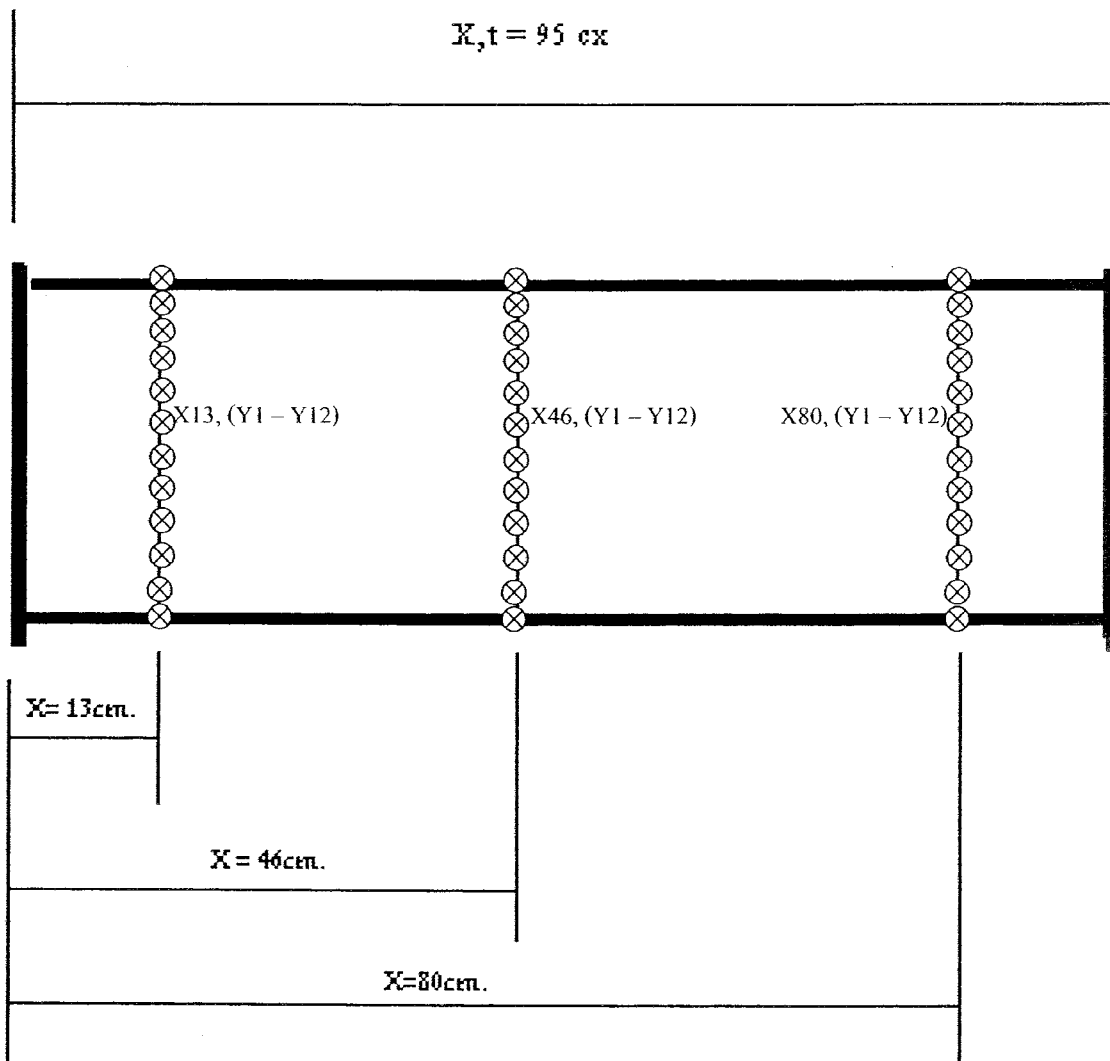
$$P_s + \rho \frac{V^2}{2} = P_t \quad (4.4)$$

$$V = \sqrt{\frac{2(P_t - P_s)}{\rho}} \quad (4.5)$$



รูปที่ 4.11 หลอดบีโตก และมานอยเมเตอร์

ในการทดสอบนี้เป็นการทดสอบความเร็วของอากาศของส่วนของส่วนปีกบัดigon ซึ่งจะทดสอบความเร็วตามแนวยาว (X) และตามแนวส่วนสูง (Y) ซึ่งกำหนดให้ระยะ X ต่าง ๆ ตามแนวยาวที่ระยะ X13 cm, X46 cm และ X80 cm และตามแนวส่วนสูงที่ระยะ Y1 – Y12 แต่ละจุดห่างกัน 1.1 cm โดยกำหนดความเร็วไว้ที่ 10 m/s ดังรูปที่ 4.12



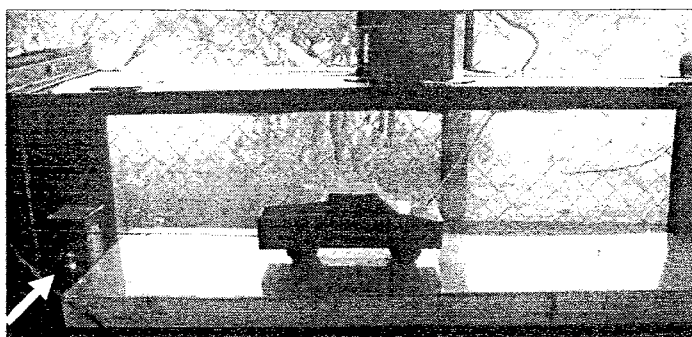
รูปที่ 4.12 ตำแหน่งการทดสอบความเร็วของอากาศ ส่วนปฏิบัติงาน

ตารางที่ 4.1 ความเร็วของอากาศที่ดำเนินต่าง ๆ

จากตารางที่ 4.1 ความเร็วที่เกิดขึ้นในส่วนปฎิบัติงาน ไม่มีความแตกต่างกันเกือบทุกตำแหน่ง แต่จะลดลงเมื่อเข้าใกล้กับผนังส่วนปฎิบัติงาน และจะลดลงเรื่อยๆ จนมีค่าเป็นศูนย์เมื่อตำแหน่งซิดกับผนัง เนื่องจากค่าความหนืดของอากาศกับผนัง จึงเกิดหน่วงจากความเสียดทานของชั้นขอบเขต (Friction drag of boundary layer) จะเกิดชั้นขอบเขตการไอลด์ชั้นบางๆ ของอากาศที่ติดกับผิวส่วนปฎิบัติงาน ทำให้เกิดการกระจายความเร็วในลักษณะที่ความเร็วที่ผิวคงรูป โดยที่ผิวจะมีค่าเป็นศูนย์ ดังที่กล่าวมาในบทที่ 3

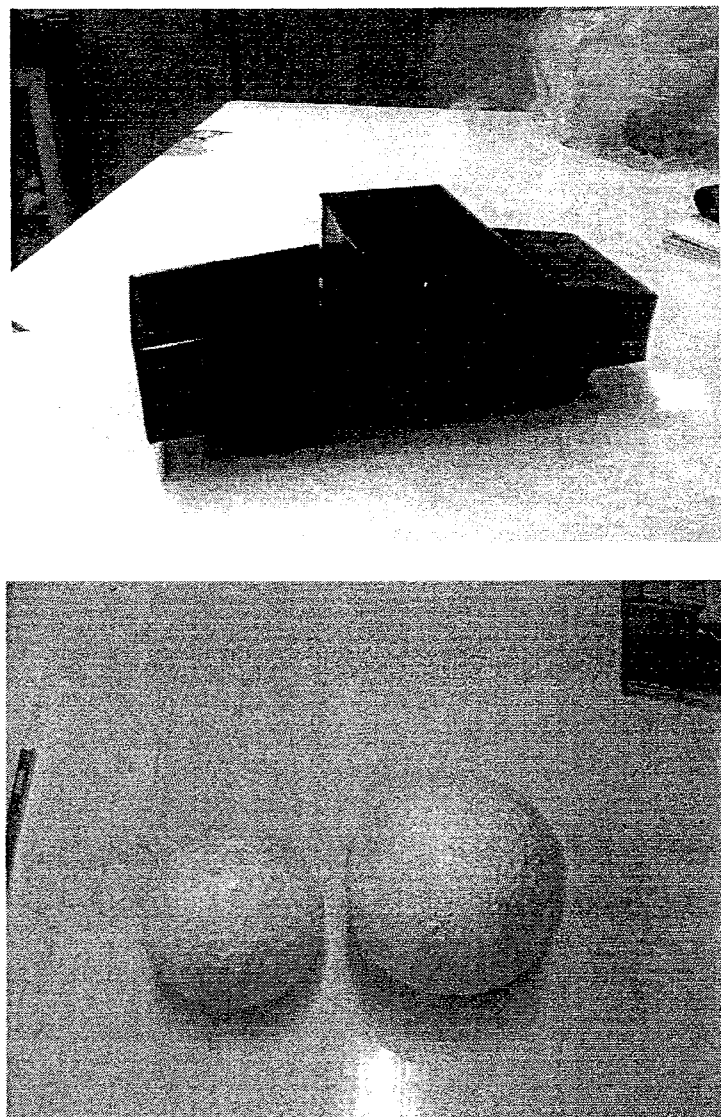
4.2.2 การทดสอบแรงด้านของวัตถุรูปทรงต่างๆ โดยเครื่องมือวัดแรงด้าน (Load cell)

เครื่องมือวัดแรงด้าน เป็นเครื่องมือวัดแรงที่อากาศไหลกระทำกับแบบจำลอง เมื่อมีแรงทางกระทำกับแบบจำลองในทิศทางตั้งฉาก ทำให้เกิดแรงกดจากส่วนที่ยึดแบบจำลองมาเข้าด้วยกับ Load cell ซึ่งภายในจะมีแผ่นวัดแรงซึ่งติดกับแท่งอะโลมิเนียม ทำให้เกิดการโกร่งตัว ค่าที่จะถูกส่งไปที่หน้าจอแสดงผล ซึ่งแสดงในหน่วยเป็นกรัม แสดงค่าต่ำสุดได้ที่ 0.5 g ซึ่งก็จะสามารถแปลงให้เป็นหน่วย (นิวตัน: N) ดังรูปที่ 4.13



รูปที่ 4.13 Load cell

ส่วนแบบจำลองที่ใช้ในการทดสอบนั้น ใช้วัสดุทำจากโพม ซึ่งมีน้ำหนักน้อยมาก (เทียบกับแรงด้าน) โดยน้ำหนักของแบบจำลอง สามารถไม่ต้องนำมาคิดสัมประสิทธิ์แรงเสียดทานระหว่างพื้นผิว ส่วนปฎิบัติกับแบบจำลองได้ โดยใช้แผ่นพลาสติกหุ้มส่วนผิวนอก เพื่อให้ผิวของแบบจำลองเรียบ ซึ่งแบบจำลองที่ใช้ในการทดสอบแรงด้านมีแบบต่างๆ ดังนี้คือ แบบจำลองทรงกลมเล็กผ่านศูนย์กลาง 10 cm, ทรงสี่เหลี่ยม, แบบจำลองรถบรรทุกเล็ก โดยมีอัตราส่วน 1:20 ของรถต้นแบบ ที่มีการเปลี่ยนแปลงรูปทรงท้ายระบบ 6 กรณี คือ กรณีเปิดกระเบนปกติ (Normal pick-up box), เปิดฝ่าท้ายกระเบน (Tailgate down), ไม่มีฝ่าท้ายกระเบน (Tailgate off), ปิดท้ายกระเบน (Covered pick-up box), ครอบท้ายกระเบนเฉียง (Lope rear box), และครอบท้ายกระเบนแบบตรง (Van) โดยที่พื้นที่หน้าตัด (Frontal area) ของรถเท่ากัน ซึ่งมีค่าเท่ากับ 0.0067144 m^2



รูปที่ 4.14 วัสดุและแบบจำลอง

ในการทดสอบนั้นแรงต้าน เป็นการทดสอบโดยใช้แบบจำลองรูปทรงเลขานุกรมิตอย่างง่าย เพื่อที่จะนำผลที่ได้จากการทดสอบไปแปลงหาค่า สัมประสิทธิ์แรงต้าน (Drag Coefficient, C_D) ค่า Reynolds number (Re) เป็นต้น โดยทดสอบที่ความเร็วของอากาศระหว่าง 5 – 10 m/s (18 – 36 km/hr) ซึ่งในการทดสอบนั้นเป็นการทดสอบวัตถุทรงกลม และทรงสี่เหลี่ยม ค่าที่ได้ดังตาราง 4.2 และ 4.3

ตารางที่ 4.2 ค่าที่ได้จากการทดสอบแรงต้านของวัตถุทรงกลม

ความเร็วอากาศ (m/s)	Reynolds number	แรงต้าน (N)	สัมประสิทธิ์แรงต้าน (C_D)
5	34,237	0.047	0.421
6	41,084	0.067	0.417
7	47,929	0.086	0.395
8	54,776	0.106	0.374
9	61,623	0.129	0.361
10	68,470	0.154	0.35

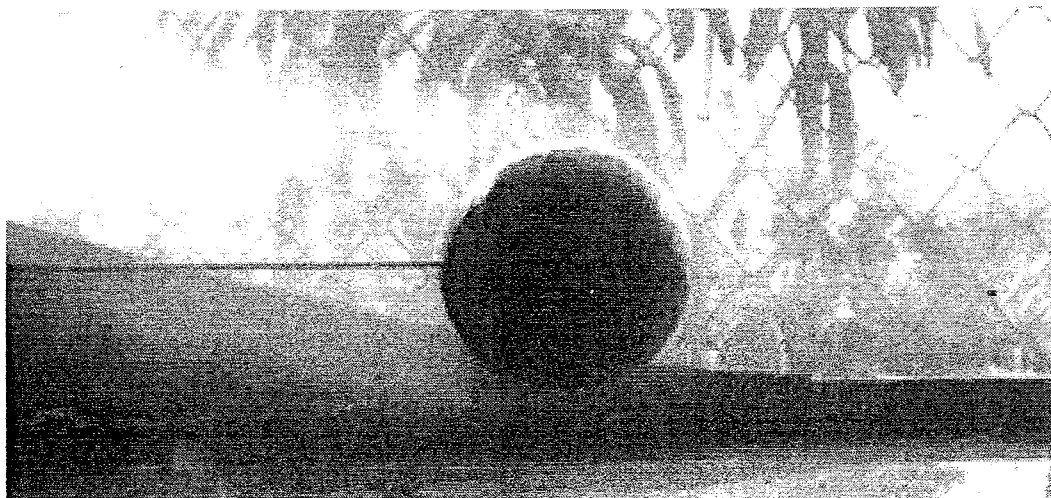
ตารางที่ 4.3 ค่าที่ได้จากการทดสอบแรงต้านของวัตถุทรงสี่เหลี่ยม

ความเร็วอากาศ (m/s)	Reynolds number	แรงต้าน (N)	สัมประสิทธิ์แรงต้าน (C_D)
5	28,075	0.132	1.188
6	33,690	0.185	1.158
7	39,305	0.246	1.133
8	44,920	0.314	1.109
9	50,535	0.391	1.092
10	56,150	0.476	1.078

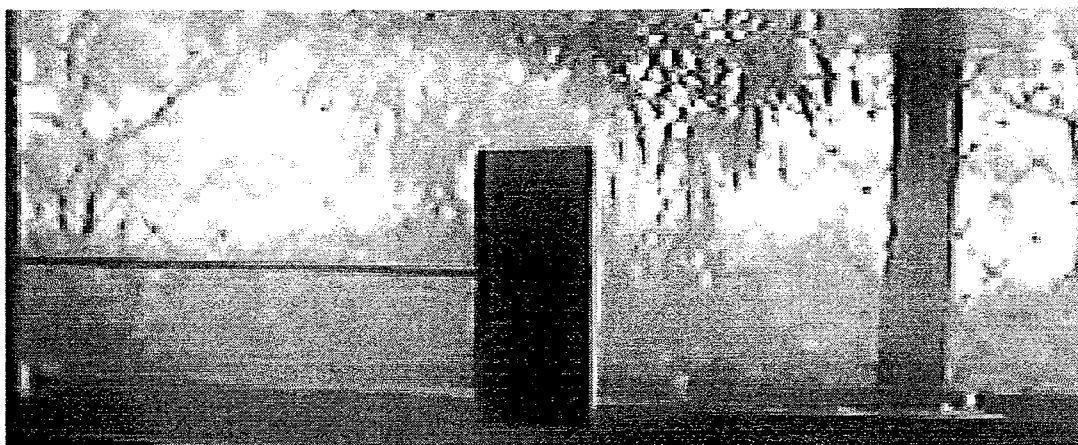
ซึ่งจากการทดสอบแรงต้านของทรงกลม และสี่เหลี่ยม ค่าแรงต้านอากาศจะมีค่าเพิ่มขึ้นตามความเร็วของอากาศ เช่นเดียวกันกับค่า Reynolds number เพิ่มขึ้น แต่ค่าสัมประสิทธิ์แรงต้านจะลดลง ซึ่งค่าที่ได้จะได้มีการเปรียบเทียบกับการจำลองเชิงตัวเลข (CFD) และผลที่เกิดขึ้นจากสภาพอากาศที่เปลี่ยนแปลงจะอธิบายในบทต่อไป

4.2.3 การทดสอบ Flow Visualization

เป็นการทดสอบเพื่อสังเกตพฤติกรรมต่าง ๆ ของของไหลที่ไหลผ่านแบบจำลองรูปทรงเลขาคณิตอย่างง่าย ซึ่งใช้รูปทรงสี่เหลี่ยม และทรงกลมเช่นเดียวกันกับการทดสอบแรงต้าน การทดสอบนี้จะทำให้เราเห็นทิศทางการไหล เส้นทางการไหลที่ไหลภายในส่วนปฏิบัติการ ทดสอบโดยการนำวัตถุทรงกลมติดตั้งในส่วนปฏิบัติการ นำสิ่งที่ก่อนให้เกิดควัน ซึ่งในงานวิจัยนี้ใช้ควันที่เกิดจากการเผาอุปนำไปไว้บริเวณส่วนอากาศแพร่เข้า โดยควันจะลุ่เข้าสู่ภายในอุโมงค์ลม ซึ่งสามารถสังเกตกระแสการไหล การแยกตัวของอากาศจากการระเหบตัวของวัตถุรูปทรงที่ใช้ทดสอบได้ จากรูปที่ 4.15 และ 4.16



รูปที่ 4.15 ลักษณะการไหลผ่านวัตถุทรงกลม



รูปที่ 4.16 ลักษณะการไหลผ่านวัตถุทรงสี่เหลี่ยม

จากรูปที่ 4.14 และ 4.15 แสดงให้เห็นการไหลผ่านวัตถุจากด้านที่ใช้ทำการทดสอบ ซึ่งลักษณะการไหลก่อนกระบวนการกับวัตถุจะมีลักษณะที่คล้ายกัน โดยมีลักษณะเป็นเส้นตรงก่อนที่จะกระบวนการกับวัตถุ ซึ่งเมื่อกระบวนการกับวัตถุทรงกลมอากาศด้านหลังวัตถุจะเกิดการแยกตัวของอากาศเป็นลู่ และจะรวมตัวกันเมื่อระยะห่างออกไป ที่ระยะหนึ่ง เช่นเดียวกันกับวัตถุทรงสี่เหลี่ยมซึ่งเกิดการแยกตัว เช่นเดียวกันแต่มีลักษณะที่รุนแรงกว่าทรงกลม เนื่องจากวัตถุทรงสี่เหลี่ยมมีลักษณะไม่เพรียวยลม เกิดการแยกตัวของอากาศสูง จึงทำให้แรงด้านของอากาศสูงกว่าทรงกลมเช่นเดียวกัน ดังตารางที่ 4.2 และ 4.3 ดังที่กล่าวมา

ผลที่ได้จากการทดสอบอุโมงค์ลมที่กล่าวมา คือการทดสอบความเร็วของอากาศ การทดสอบแรงด้าน และการทดสอบพฤติกรรมการไหล จะนำผลที่ได้ไปเปรียบเทียบเพื่อยืนยันกับ CFD เพื่อความถูกต้องในบทต่อไป

บทที่ 5

การยืนยันผลการทดสอบของอุโมงค์ลม และ CFD

ในบทนี้ จะอินิบายนั้นตอนในการทดสอบแรงต้านของแบบจำลองรถบรรทุกเล็ก ในกรณีต่าง ๆ ช่องการทดสอบ จะแบ่งเป็น 2 วิธี คือการทดสอบโดยใช้อุโมงค์ลม (Wind tunnel) และการทดสอบแบบจำลองโดยใช้วิธีคำนวณของไอลพอลศาสตร์ (CFD) ซึ่งจะเริ่มต้นจากการใช้เงื่อนไขในการคำนวณเปรียบเทียบแบบจำลองความปั่นป่วน (Turbulent model) แบบต่าง ๆ หากจำนวนของเมทที่เหมาะสม (Mesh independent) การทดสอบเพื่อเปรียบเทียบสัมประสิทธิ์แรงต้านของทรงกลมกับงานวิจัยท่านอื่น (Validation) และเปรียบเทียบสัมประสิทธิ์แรงต้านของการทดลองทั้ง 2 วิธี ของวัตถุทรงกลมรถบรรทุกเล็กที่มีการเปลี่ยนแปลงรูปร่างท้ายกระยะ 6 แบบ

5.1 การยืนยันผลของ CFD

การคำนวณของไอลพอลศาสตร์ ซึ่งในด้านอากาศพลศาสตร์ ประการที่ต้องการวิเคราะห์เป็นลำดับแรกก็คือ แรงต้าน ซึ่งในการทดลองในอุโมงค์ลมนั้นมีข้อจำกัดด้านขนาดของแบบจำลอง ความเร็วของอากาศที่ผ่านแบบจำลองซึ่งมีค่าที่ต่ำ ความไม่แน่นอนของเครื่องมือวัด สิ่นเปลืองทุน และเวลาในการจัดหารัสดุดูก่อนในการทดสอบ ดังนั้น CFD จึงเป็นเครื่องมือที่สำคัญในการลดปัญหาดังที่กล่าวมา แต่ก่อนที่จะทำการทดลองโดย CFD ของแบบจำลองขนาดเท่ากับต้นแบบ จำเป็นที่จะต้องทำการทดสอบแบบจำลองทางคณิตศาสตร์ ควบคู่กันกับการทดลองกับอุโมงค์ลม เพื่อให้แน่ใจว่าเงื่อนไขในคำนวณ มีความถูกต้อง แม่นยำ และยอมรับได้ โดยการยืนยันผลได้มีการทำลายส่วนเช่นการยืนยันผลของแบบจำลองความปั่นป่วน (Turbulent model) จำนวนกริด (Grid) โดยมีการเปรียบเทียบระหว่างการทดลองโดยอุโมงค์ลม และ CFD รวมทั้งผลการศึกษาของนักวิจัยท่านอื่น ดังนั้นการยืนยันผลก่อนการจำลองเพื่อหาค่าแรงต้านของรถบรรทุกเล็กในกรณีศึกษาต่าง ๆ จึงเป็นขั้นตอนที่สำคัญของงานวิจัยนี้ เพื่อให้ผลที่ถูกต้องและแม่นยำที่สุด

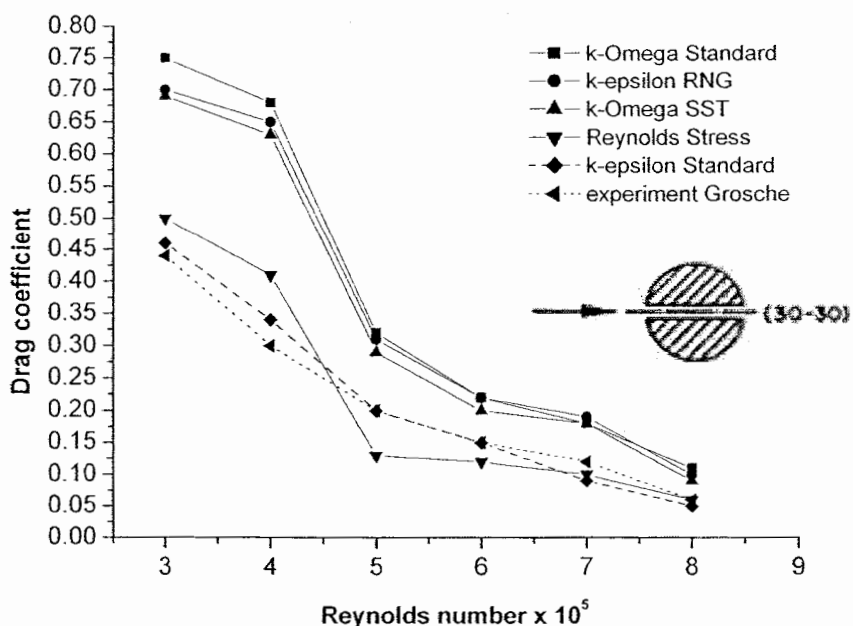
5.1.1 แบบจำลองทางคณิตศาสตร์

จากทฤษฎีของ CFD ที่กล่าวไว้ในบทที่ 3 และงานวิจัยท่านอื่นดังที่กล่าวมานั้น ทำให้ทราบข้อมูลของแบบจำลอง CFD ที่ใช้ล่าหรับแก้ปัญหาทางด้านอากาศพลศาสตร์ ในการทดสอบแรงต้านของรถบรรทุกเล็ก โดยใช้โปรแกรม FLUENT 6.3 ซึ่งเป็นระเบียบวิธีปริมาตรสีบเนื่อง (Finite volume method) ระเบียบชั้นการแก้ปัญหาใช้ Segregated solver, ระเบียบวิธีคำนวณใช้ Implicit method, ระเบียบวิธีแก้ปัญหาการไหลของบริเวณใกล้ผนังใช้ Standard wall function, เงื่อนไขขอบเขตทางเข้าเป็น Velocity inlet, เงื่อนไขขอบเขตทางออกเป็น Pressure outlet ให้มีค่าเท่ากับความดันบรรยากาศ

โดยไม่ถูกربกวนจากรูปร่างของรถ, โดยไม่มีส่วนของสมการพลังงานมาเกี่ยวข้อง ซึ่งแบบจำลองทางคณิตศาสตร์เหล่านี้สามารถกำหนดได้ในโปรแกรม FLUENT 6.3

5.1.2 การยืนยันผลการใช้แบบจำลองความปั่นป่วน

สำหรับแบบจำลองทางคณิตศาสตร์ ระเบียบการแก้ปัญหาต่าง ๆ ดังที่กล่าวมา แต่การจำลองการไหลด้านอากาศพลศาสตร์ เป็นการไหลที่มีค่า Reynolds number สูง ซึ่งสภาวะในการในจะเป็นแบบปั่นป่วน ทำให้มีการเปลี่ยนแปลงคุณสมบัติของของไหลอย่างไม่เป็นระเบียบ การแก้ปัญหาทางคณิตศาสตร์ด้วย CFD ใช้เวลานาน ดังนั้นจึงจำเป็นต้องเลือกใช้ แบบจำลองความปั่นป่วนเพื่อมาช่วยในการแก้ปัญหาการคำนวณ ซึ่งในโปรแกรม FLUENT 6.3 มีให้เลือกหลายแบบจำลอง เพราะฉะนั้น จึงได้มีการเปรียบเทียบแบบจำลองความปั่นป่วนแบบต่าง ๆ โดยการทดสอบแบบจำลองความแบบปั่นป่วน (Turbulent model) แบบต่าง ๆ ซึ่งจากรูปที่ 5.1 เป็นการเปรียบเทียบและเพื่อยืนยันผลของสมการการไหลแบบปั่นป่วน (Turbulent model) ให้มีความถูกต้องกับลักษณะการคำนวณ โดยกำหนดจำนวนกริด (Grid) 355,000 เอลิเมนท์ กริดที่ใช้เป็นแบบ Tri/Tet (กริดรูปพีระมิด) เพื่อกับการศึกษาของ Grosche and meier (2001: 1201-1218) ซึ่งเป็นการทดสอบสัมประสิทธิ์แรงต้านกับวัตถุทรงกลมเจาะรูทรงกลang โดยใช้อุโมงค์ลมเป็นเครื่องมือในการทดสอบ



รูปที่ 5.1 สัมประสิทธิ์แรงต้าน จากแบบจำลองความปั่นป่วนแบบต่าง ๆ

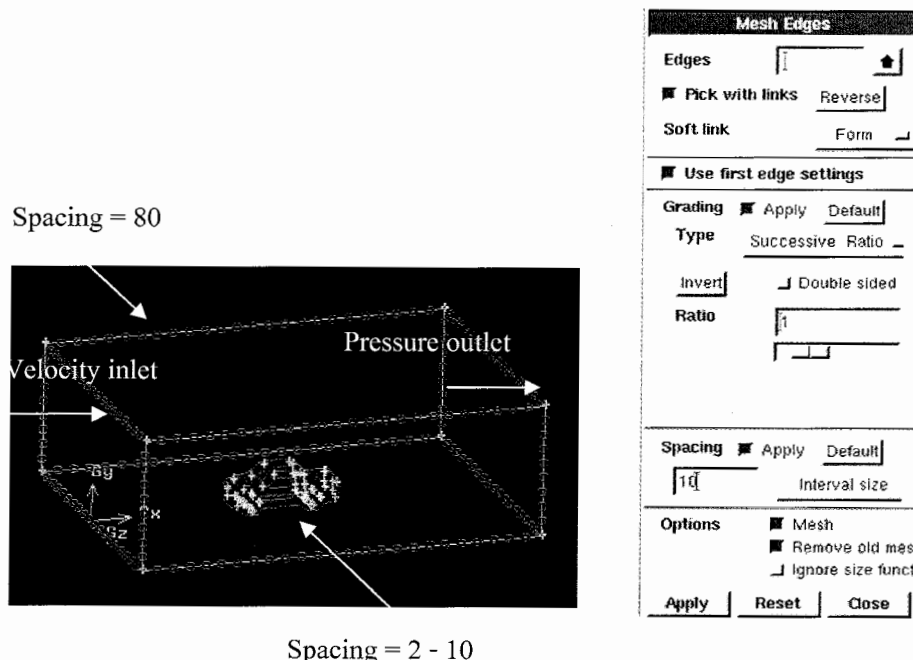
จากรูปที่ 5.1 จะเห็นว่าแบบจำลองความปั่นป่วนแบบ k-epsilon Standard เป็นแบบจำลองที่ให้ผลใกล้เคียงกับการทดลองของ Grosche มากที่สุด ซึ่งจากข้อมูล และทฤษฎีที่กล่าวมาก่อนหน้านี้

แบบจำลองนี้เหมาะสมกับการจำลองการไหลด้านอากาศพลศาสตร์มากที่สุด ดังนั้นจึงเลือกใช้ k-epsilon Standard เป็นแบบจำลองความปั่นป่วนที่ใช้ในการคำนวณ CFD ของผู้บรรยายเล็กต่อไป

5.1.3 การเปรียบเทียบสัมประสิทธิ์แรงต้าน ของการเพิ่มจำนวนกริด

จากระเบียบขั้นตอนการทำงานของ CFD มี 3 ขั้นตอนใหญ่ ๆ ดังที่กล่าวมาแล้ว โดยขั้นตอนแรกเป็นขั้นการประมวลผล (Pre-processor) เป็นขั้นตอนที่เราต้องแบ่งปัญหาออกเป็นเซลล์เล็ก ๆ ซึ่งเราใช้ระบบทวิธีแก้ปัญหาการไหลบริเวณใกล้ผนัง เป็นแบบ Near-wall model โดยเป็นเหมือนของแบบจำลองความปั่นป่วนแบบ k-epsilon standard ดังนั้นต้องกำหนดจำนวนความละเอียดของกริด และกำหนดอัลิเม้นต์บริเวณใกล้ผนังให้เหมาะสม โดยการเปรียบเทียบสัมประสิทธิ์แรงต้านจากการเพิ่มจำนวน และความละเอียดของกริด ของผู้บรรยายทุกเล็ก และผนัง เพื่อหาความเหมาะสมของเวลาที่ใช้ในการคำนวณ เพราะถ้าหากเรากำหนดให้มีความละเอียดมากเกินไปก็จะทำให้สิ้นเปลืองเวลาในการคำนวณ

จากขั้นตอนการประมวลผล ได้กำหนดระยะห่างของจุดเพื่อที่จะเป็นจุดเชื่อมกันของกริด โดยใช้โปรแกรม GAMBIT ซึ่งระยะห่างของผิวรถบรรทุกเล็กต้องมีความละเอียดกว่าผิวของผนังล้อมรอบรถ จากรูปที่ 5.2 เป็นการแสดงการกำหนดความละเอียดของกริด โดยการเพิ่มระยะห่างของจุดบนผิวรถบรรทุกเล็ก

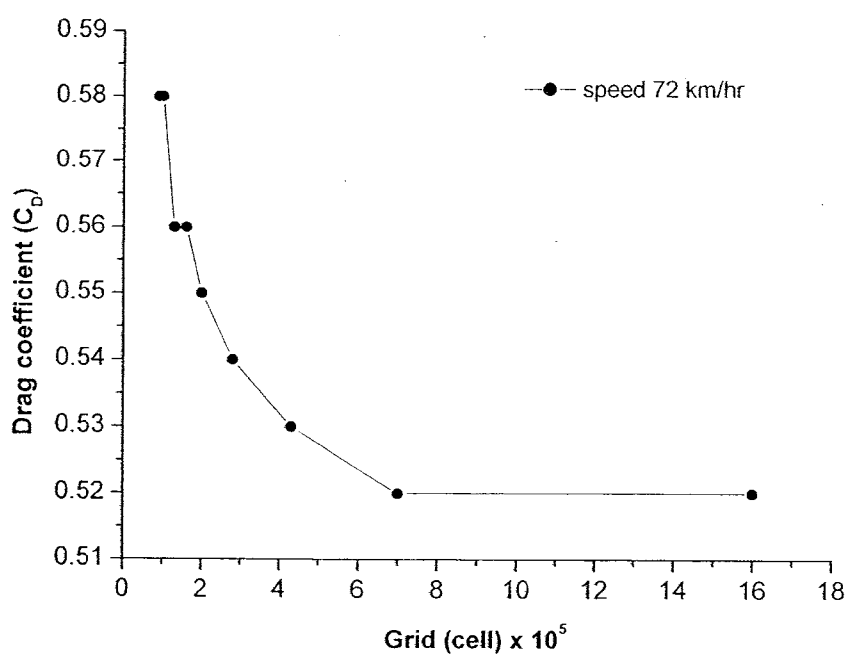


รูปที่ 5.2 ลักษณะการกำหนดกริด

จากการพนันเป็นการกำหนดระยะระหว่างจุด (Spacing) ของรบบรถทุกเล็กที่ 2-10 หน่วย และบริเวณผนังที่ระยะ 80 หน่วย กับรบบรถทุกเล็กที่มีพื้นที่หน้าตัด (Frontal area) เท่ากับ 2.68576 m^2 ทดสอบที่ความเร็ว 72 km/hr และใช้แบบจำลองทางคณิตศาสตร์จากที่กล่าวมาข้างต้นนำมาใช้ เพื่อตรวจสอบการเปลี่ยนแปลงของแรงต้าน (Drag force) และสัมประสิทธิ์แรงต้าน (C_D) ดังตารางที่ 5.1

ตารางที่ 5.1 จำนวนกริดและสัมประสิทธิ์แรงต้านที่ 72 km/hr

Spacing	Grid (cell)	Drag force (N)	(C_D)
10	89,612	386.62	0.58
9	99,754	385.03	0.58
8	134,597	370.09	0.56
7	155,277	372.01	0.56
6	197,964	366.90	0.55
5	280,714	358.73	0.54
4	431,545	348.49	0.53
3	728,644	342.69	0.52
2	1,580,886	342.42	0.52



รูปที่ 5.3 สัมประสิทธิ์แรงต้าน และจำนวนกริด

จากตารางที่ 5.1 และรูปที่ 5.3 แสดงการเปลี่ยนแปลงของสัมประสิทธิ์แรงต้านของรดบรรทุกเล็ก ซึ่งจากผล เมื่อมีการเพิ่มจำนวนกริดมากขึ้นทำให้สัมประสิทธิ์แรงต้านลดลง และลดลงเรื่อยๆ จนถึงค่าคงที่ ที่ทำให้สัมประสิทธิ์แรงต้านคงที่ ซึ่งหากมีการเพิ่มขึ้นของกริดอีก ก็ไม่มีผลต่อสัมประสิทธิ์แรงต้าน นั่นคือ กำหนดระยะเวลาห่างจุดบนผิวรถที่ 3 หน่วย และที่บริเวณผัง 80 หน่วย จำนวนกริดประมาณ 728,644 cell ซึ่งจะได้นำข้อกำหนดนี้ไปใช้ในการคำนวณ

5.2 การเปรียบเทียบสัมประสิทธิ์แรงต้าน ระหว่างการทดลองกับ CFD

จากเงื่อนไขในการคำนวณทางคณิตศาสตร์ และคุณสมบัติของอากาศที่ใช้ในการคำนวณ ที่ได้จาก ทฤษฎี และการเปรียบเทียบที่ได้ยืนยันผลมาแล้วนั้น จึงต้องมีการเปรียบเทียบการทดลองทั้ง 2 วิธีเพื่อยืนยันโดยการเปรียบเทียบค่าสัมประสิทธิ์แรงต้าน และพฤติกรรมการไหล โดยการทดสอบโดยใช้อุโมงค์ลมทดสอบที่ความเร็วระหว่าง $18 - 36 \text{ km/hr}$ (Reynolds number $2.8 \times 10^4 - 5.7 \times 10^4$) และทดสอบด้วย CFD ทดสอบที่ความเร็วระหว่าง $18 - 126 \text{ km/hr}$ (Reynolds number $2.8 \times 10^4 - 2.4 \times 10^5$) ซึ่งได้มีการทดสอบรูปทรงต่างๆ ที่ติดกับเครื่องมือวัดแรงต้าน (Load cell) ซึ่งจะเป็นแรงที่อากาศกระทำกับวัตถุทรงกลม นำมาคำนวณหาสัมประสิทธิ์แรงต้าน จากสมการ

$$C_D = \frac{F_D}{\frac{1}{2} \rho V^2 A} \quad (5.1)$$

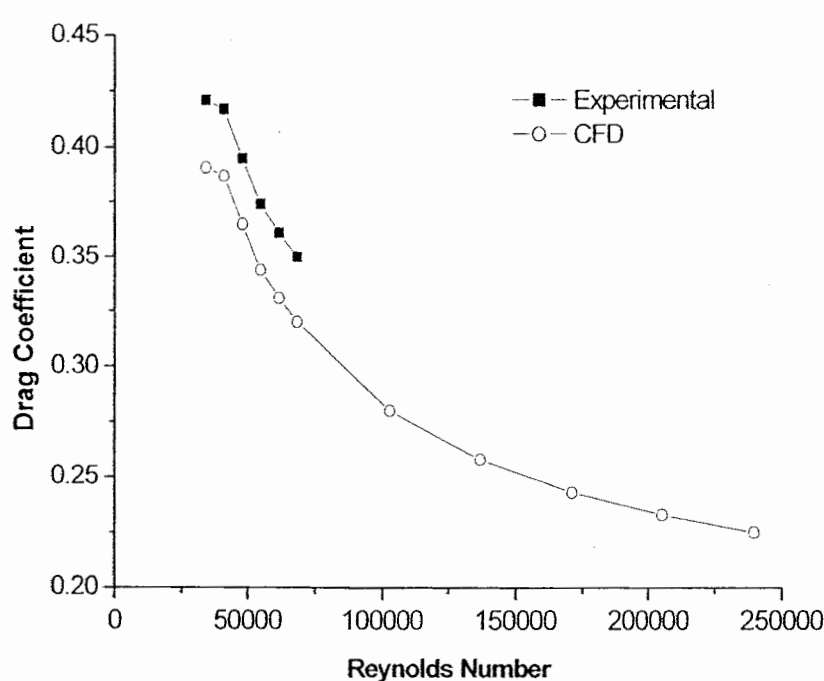
โดยที่ C_D คือสัมประสิทธิ์แรงต้านรวม, F_D คือแรงต้านรวมที่กระทำต่อวัตถุ (N), ρ คือความหนาแน่นของอากาศ (kg/m^3) และ A คือพื้นที่หน้าตัดของวัตถุ ซึ่งการทดลองทั้ง 2 วิธี ขนาดของส่วนปฏิบัติ (Test section) สภาวะการไหลเหมือนกัน ดังนี้คือ

5.2.1 ทรงกลม (sphere)

เป็นการทดสอบล้มประสิทธิ์แรงต้าน (C_D) ของวัตถุทรงกลม เส้นผ่านศูนย์กลาง 10 cm ผิวเรียบ ซึ่งจากการทดลองจะให้ผลดังตารางที่ 5.2 ดังต่อไปนี้คือ

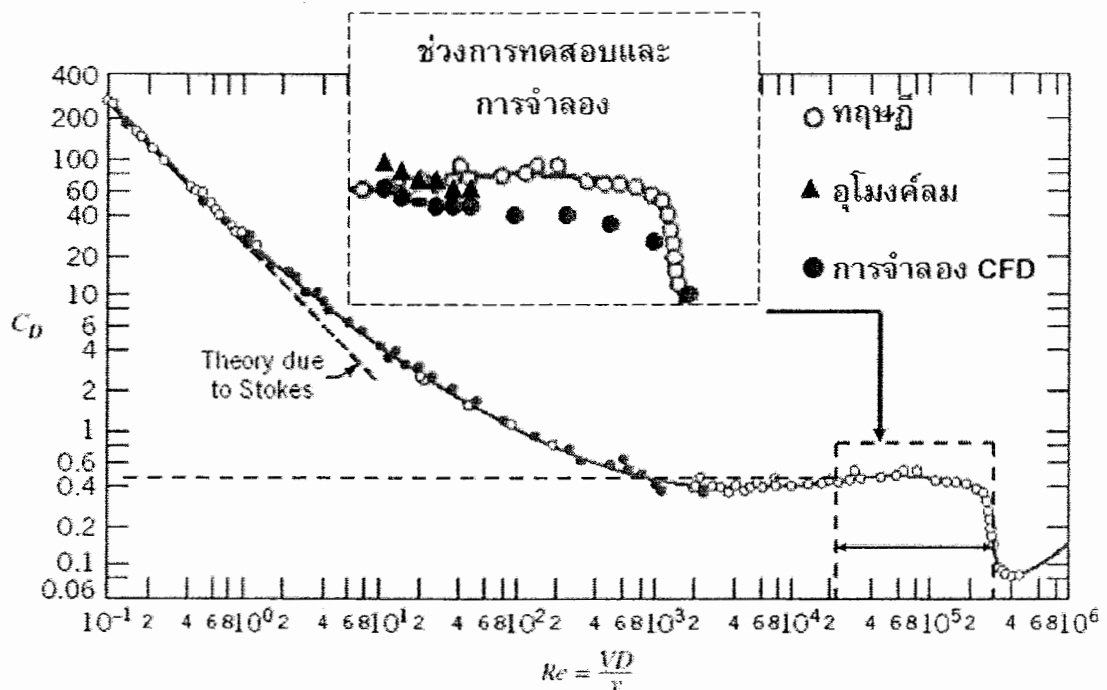
ตารางที่ 5.2 ค่าต่างๆ ที่ได้จากการทดสอบอุบัติกรรม

ความเร็วอากาศ (m/s)	Reynolds number	F_D (N) อุ่มงค์ลอม	F_D (N) CFD	C_D อุ่มงค์ลอม	C_D CFD
5	34,237	0.204	0.188	0.424	0.391
6	41,084	0.289	0.268	0.417	0.387
7	47,929	0.373	0.344	0.395	0.365
8	54,776	0.461	0.424	0.374	0.344
9	61,623	0.563	0.485	0.361	0.311
10	68,470	0.674	0.616	0.35	0.320
15	120,705	-	1.213	-	0.280
20	136,940	-	1.987	-	0.258
25	171,175	-	2.924	-	0.243
30	205,410	-	4.037	-	0.233
35	239,645	-	5.306	-	0.225



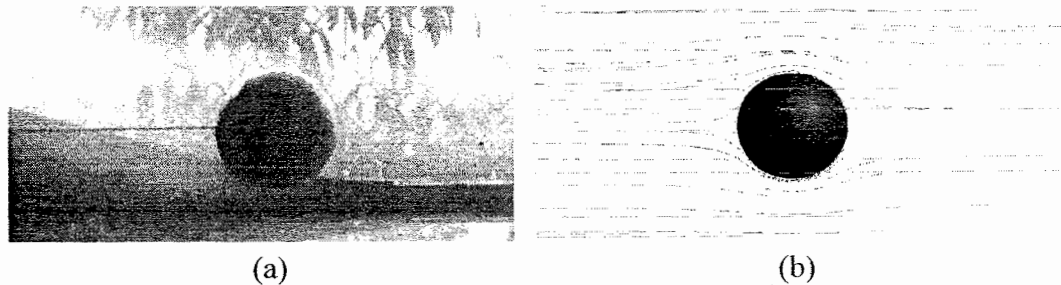
รูปที่ 5.4 สัมประสิทธิ์แรงต้านของการทดลอง และ CFD

จากรูปที่ 5.4 ซึ่งจากการทดสอบ สัมประสิทธิ์แรงต้านโดยอุโมงค์ล้มและCFD ค่าสัมประสิทธิ์แรงต้านมีค่าใกล้เคียงกัน โดยค่าที่ได้จากการทดสอบด้วยอุโมงค์ล้ม จะให้ผลต่างที่มีค่าสูงกว่าวิธีจำลองเชิงตัวเลข 5 % (โดยเฉลี่ย) ซึ่งจะแสดงค่าสัมประสิทธิ์แรงต้านจากการทดสอบทั้งสองแบบเปรียบเทียบกับทฤษฎี ดังรูปที่ 5.5



รูปที่ 5.5 เปรียบเทียบสัมประสิทธิ์แรงต้านทั้ง 3 วิธี

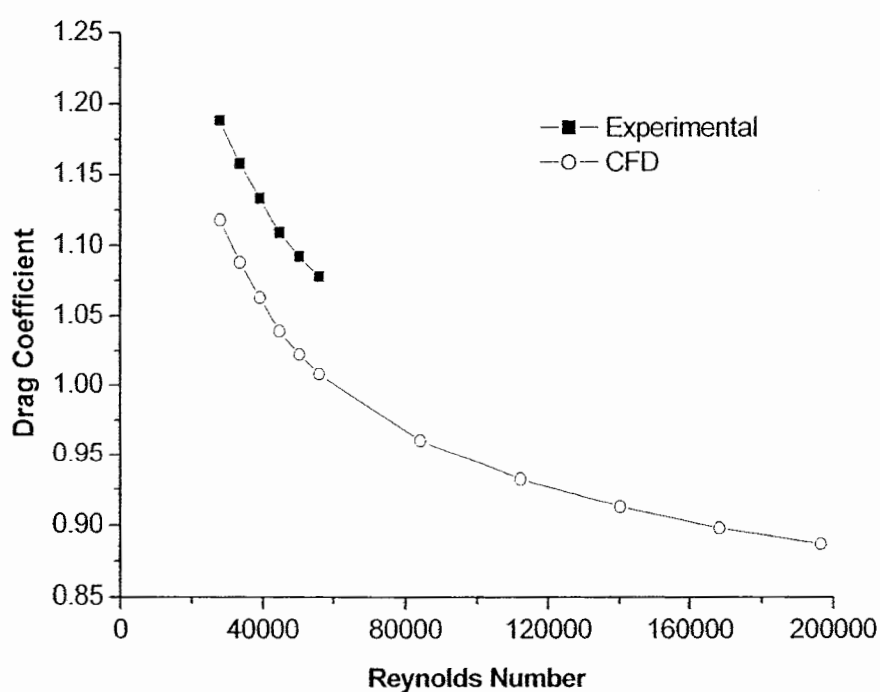
จากรูปที่ 5.5 เป็นการทดสอบสัมประสิทธิ์แรงต้านของทรงกลมในอุโมงค์ล้ม และวิธีจำลองเชิงตัวเลข เปรียบเทียบกับทฤษฎีอยู่ในช่วง Reynolds number เท่ากับ $2.2 \times 10^4 - 3.0 \times 10^5$ ซึ่งค่าสัมประสิทธิ์แรงต้านจะลดลง เมื่อ Reynolds number สูงขึ้น เนื่องจากอิทธิพลของความหนืดที่ผิวทรงกลมกับอากาศลดลง ผิวทรงกลมจะได้รับผลกระทบจากความดันอากาศเพิ่มขึ้น โดยการทดสอบทั้งสองแบบมีค่าใกล้เคียงกันกับทฤษฎี



รูปที่ 5.6 การแสดงการไหลของอากาศผ่านวัตถุทรงกลม ในอุโมงค์ลม และ CFD

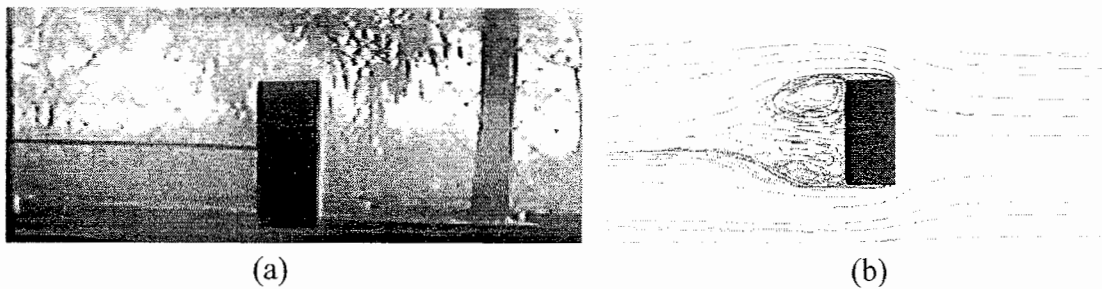
5.2.2 ทรงสี่เหลี่ยม (Square)

เป็นการทดสอบสัมประสิทธิ์แรงต้านของทรงสี่เหลี่ยมที่มีขนาด กว้าง x ยาว x สูง เท่ากับ $9 \times 4 \times 8 \text{ cm}$ ได้ผลดังรูปที่ 5.7



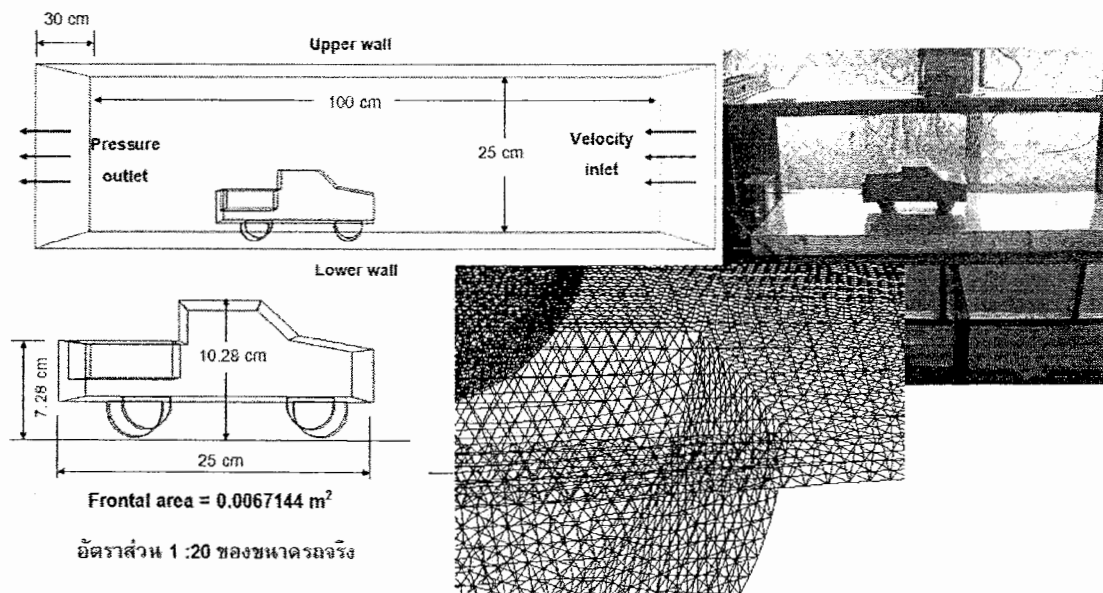
รูปที่ 5.7 สัมประสิทธิ์แรงต้านของการทดลอง และ CFD

ซึ่งจากการทดสอบสัมประสิทธิ์แรงต้านโดยอุโมงค์ลม และ CFD ค่าสัมประสิทธิ์แรงต้านมีค่าใกล้เคียงกัน โดยค่าที่ได้จากการทดสอบด้วยอุโมงค์ลม จะให้ผลต่างที่มีค่าสูงกว่าวิธีจำลองเชิงตัวเลข 5% เช่นเดียวกับทรงกลม (โดยเฉลี่ย)



รูปที่ 5.8 การแสดงการไหลของอากาศผ่านวัตถุทรงลีโน่ในอุโมงค์ลม และ CFD

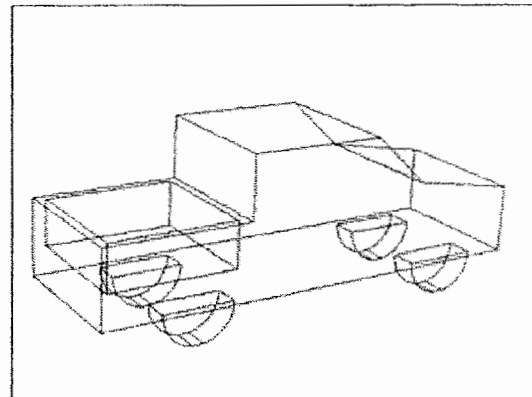
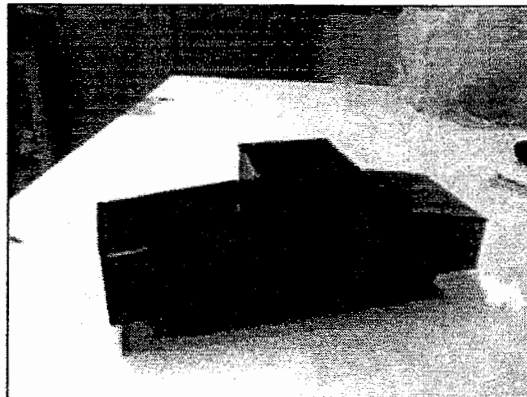
5.2.3 รถบรรทุกเล็ก



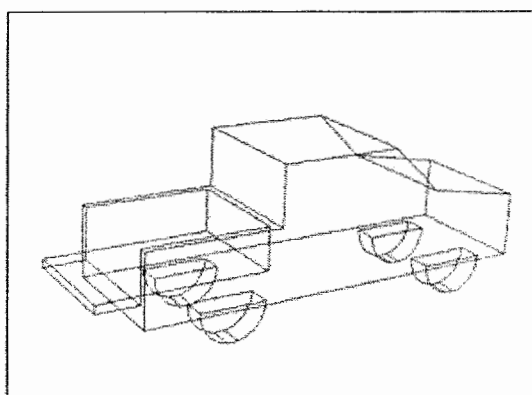
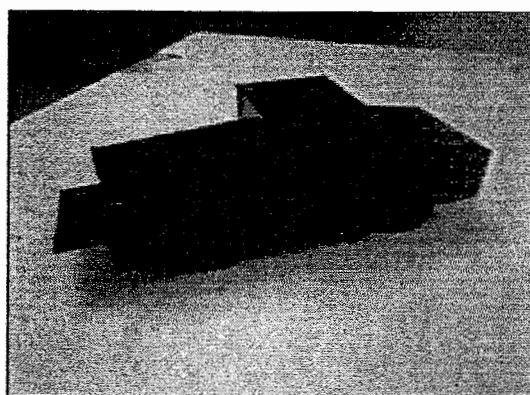
รูปที่ 5.9 ขนาดของแบบจำลอง กริด และลักษณะการทดสอบในอุโมงค์ลมและ CFD

การทดสอบแบบจำลองในอุโมงค์ลม แบบจำลองมีอัตราส่วน 1:20 ของขนาดจริง มีขนาดพื้นที่หน้าตัด (Frontal area) เท่ากับ 0.0067144 m^2 ทดสอบที่ความเร็ว $18 - 36 \text{ km/hr}$ โดยทดสอบความคุ้งกับวิธีจำลองเชิงตัวเลข โดยใช้ขนาดแบบจำลอง และ Test section เท่ากัน เพื่อเปรียบเทียบผลก่อนที่จะทดสอบขนาดจริงด้วยวิธีจำลองเชิงตัวเลข โดยทดสอบรถบรรทุกเล็กที่มีการเปลี่ยนแปลงรูปทรงท้ายระบบ 6 กรณี คือ กรณีเปิดท้ายระบบปกติ (Normal pick-up box) ซึ่งเป็นกรณีเปรียบเทียบกับกรณีต่างๆ คือ เปิดฝาท้ายระบบ (Tailgate down), ไม่มีฝาท้ายระบบ (Tailgate off), ปิดท้ายระบบ (Covered pick-up box), ครอบท้ายระบบแบบเฉียง (slope rear box), และครอบท้าย

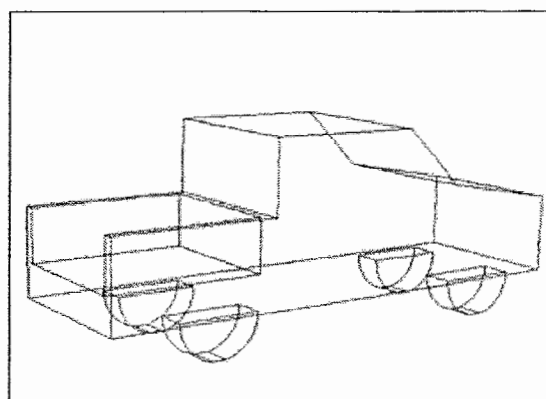
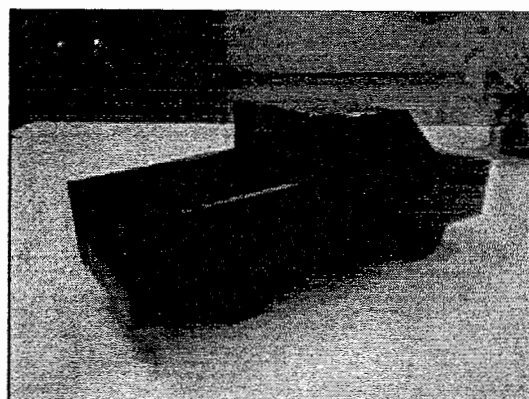
กระบวนการแบบต่าง (Van) โดยที่พื้นที่หน้าตัดของรถเดียวกัน รูปห้างด้านซ้ายเป็นแบบจำลองที่ใช้ทดสอบในอุโมงค์ลม และด้านขวาเป็นแบบจำลองที่จำลองด้วยวิธีเชิงตัวเลข และดังรูปที่ 5.10



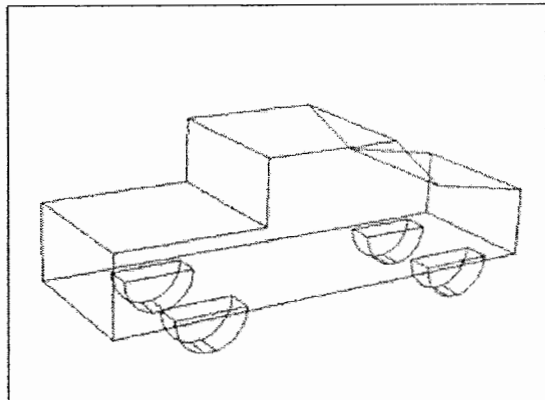
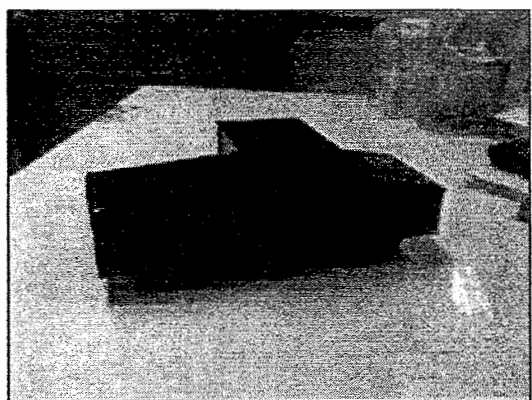
(a) กรณีที่ 1 เปิดกระโปรง



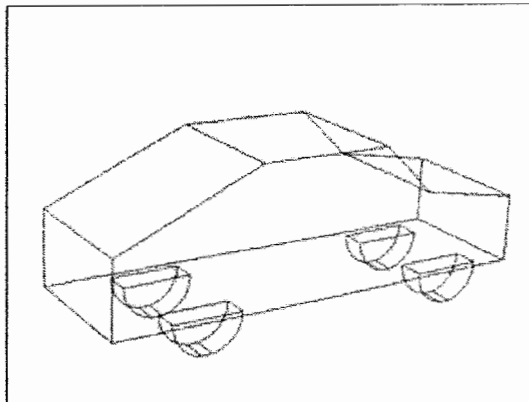
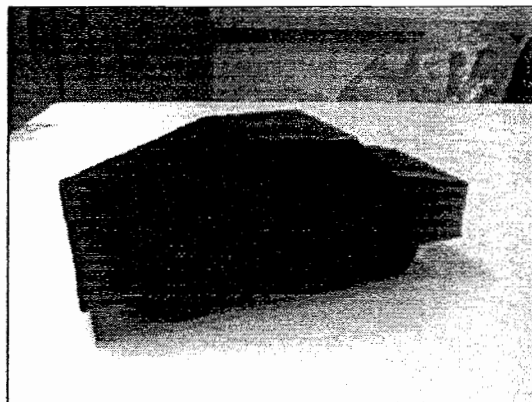
(b) กรณีที่ 2 เปิดฝ่าท้ายระบบ



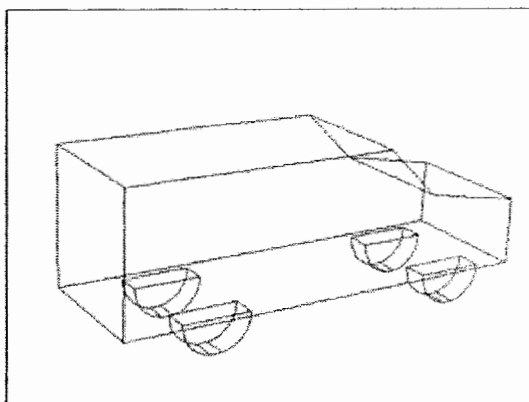
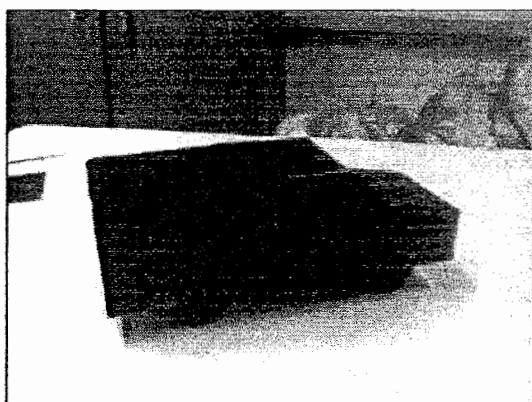
(c) กรณีที่ 3 ไม่มีฝ่าท้ายระบบ



(d) กรณีที่ 4 ปิดท้ายระบบ

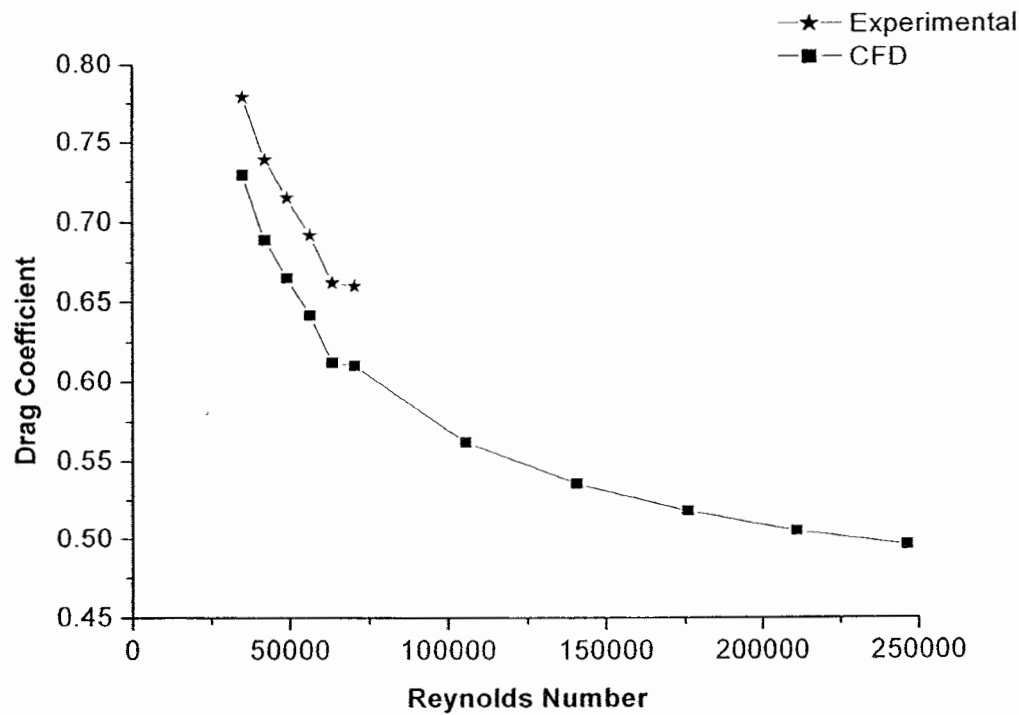


(e) กรณีที่ 5 ครอบท้ายระบบแบบเฉียง

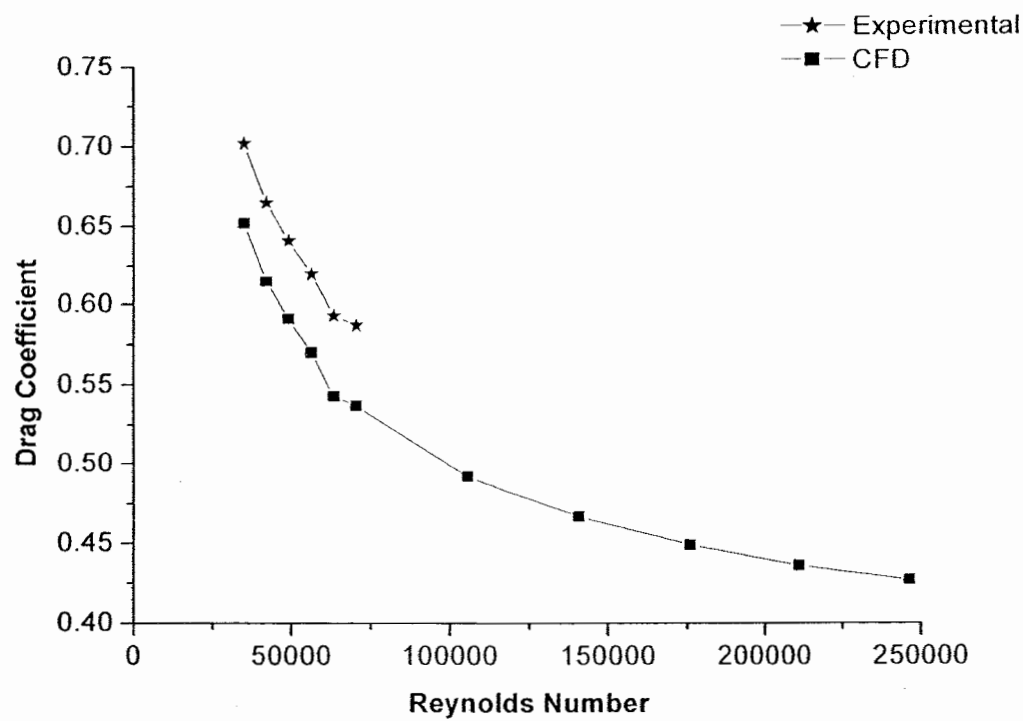


(f) กรณีที่ 6 ครอบท้ายระบบแบบตรง

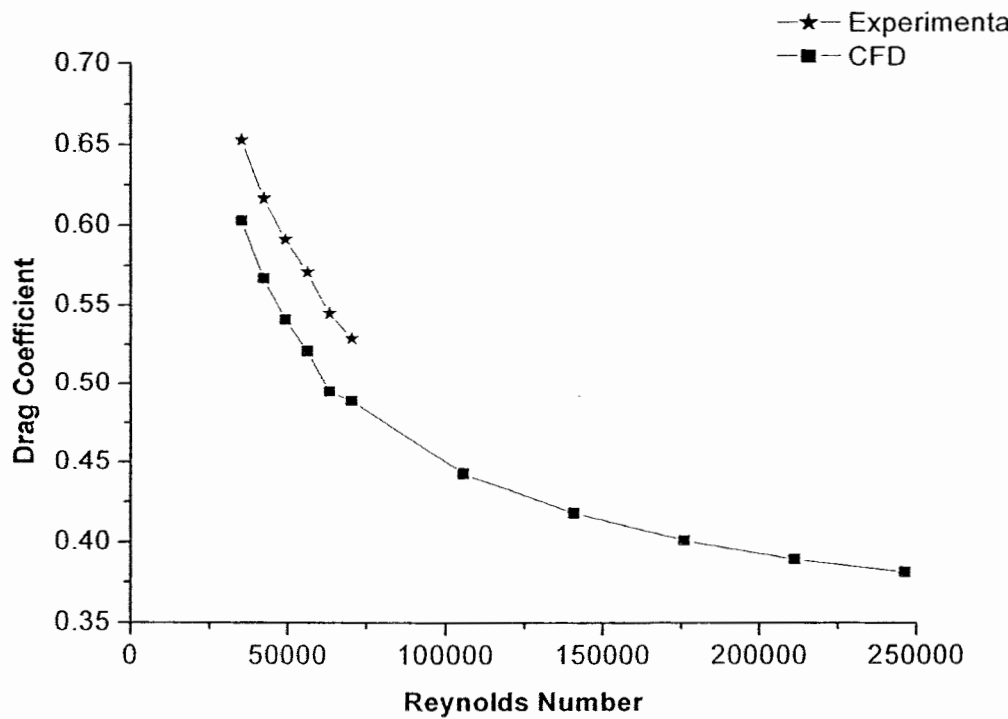
รูปที่ 5.10 (a) – (f) แบบจำลองกรณีต่าง ๆ ที่ใช้ทดสอบในอุโมงค์ลม และ CFD



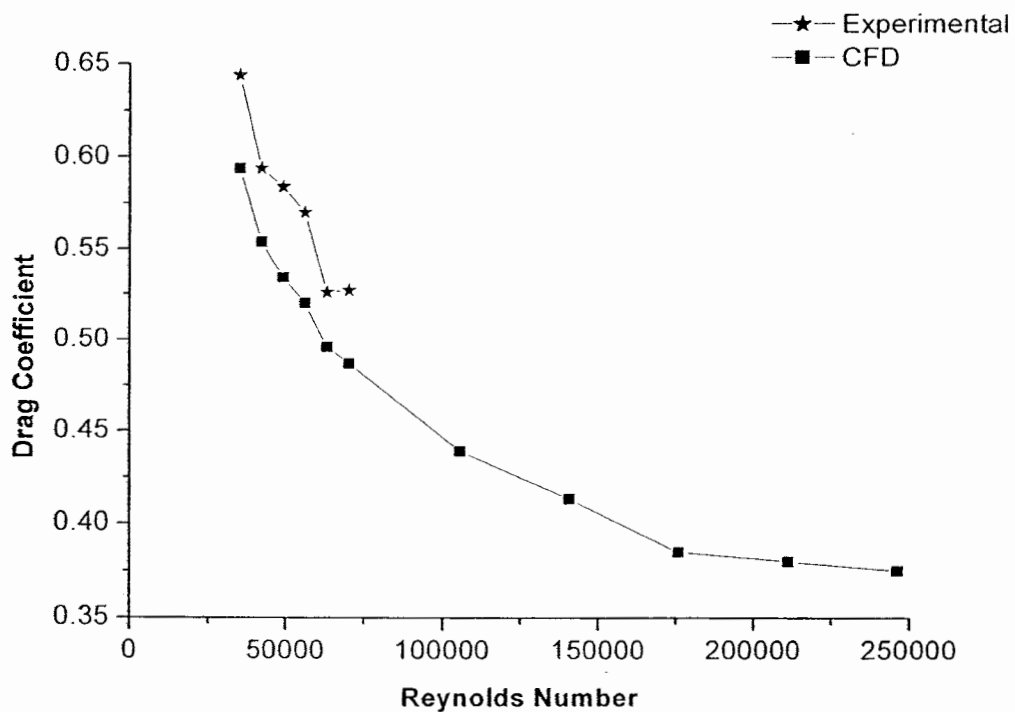
(a) กรณี 1 เปิดท้ายระบบปกติ



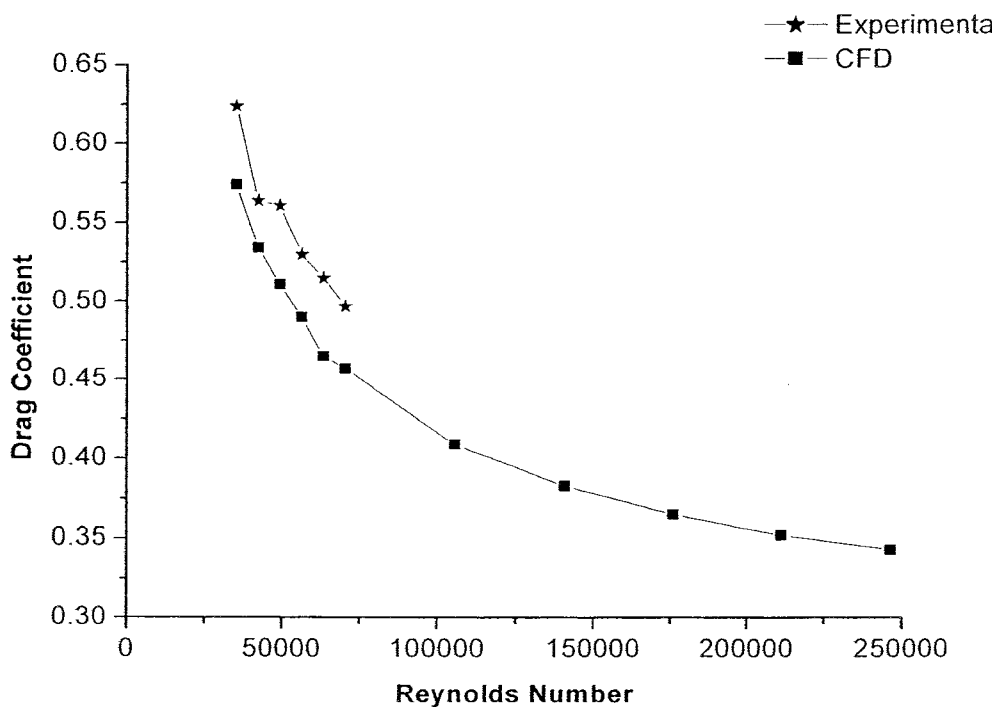
(b) กรณี 2 เปิดฝ่าท้ายระบบ



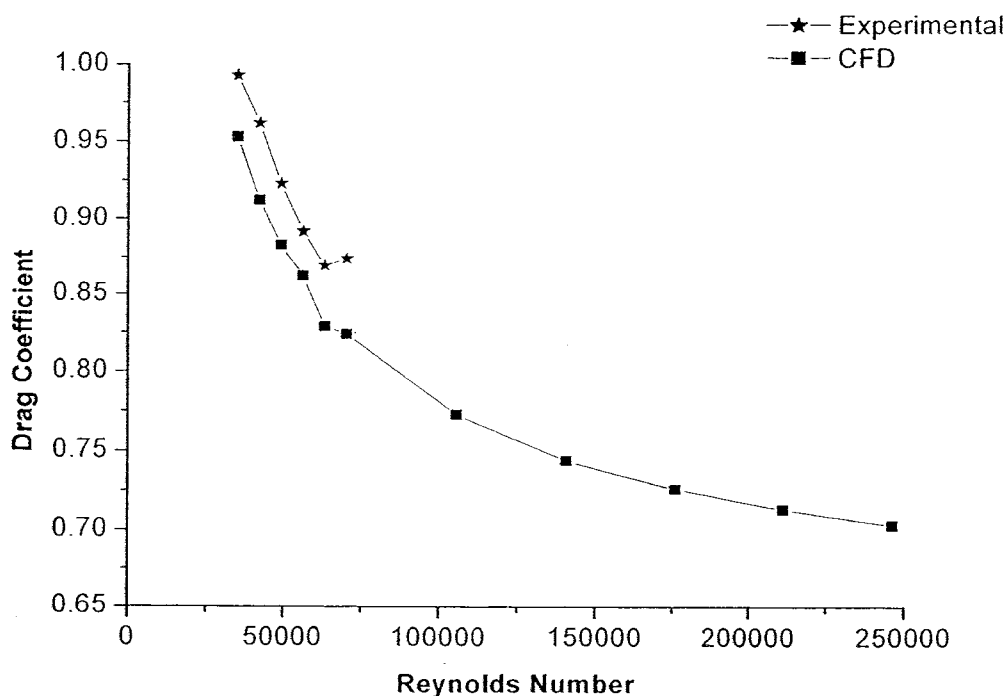
(c) กรณี 3 ไม่มีฝ่าท้ายระบบ



(d) กรณี 4 เปิดท้ายระบบ



(e) กราฟ 5 ครอบท้ายระบบแบบเฉียง



(f) กราฟ 6 ครอบท้ายระบบแบบตรง

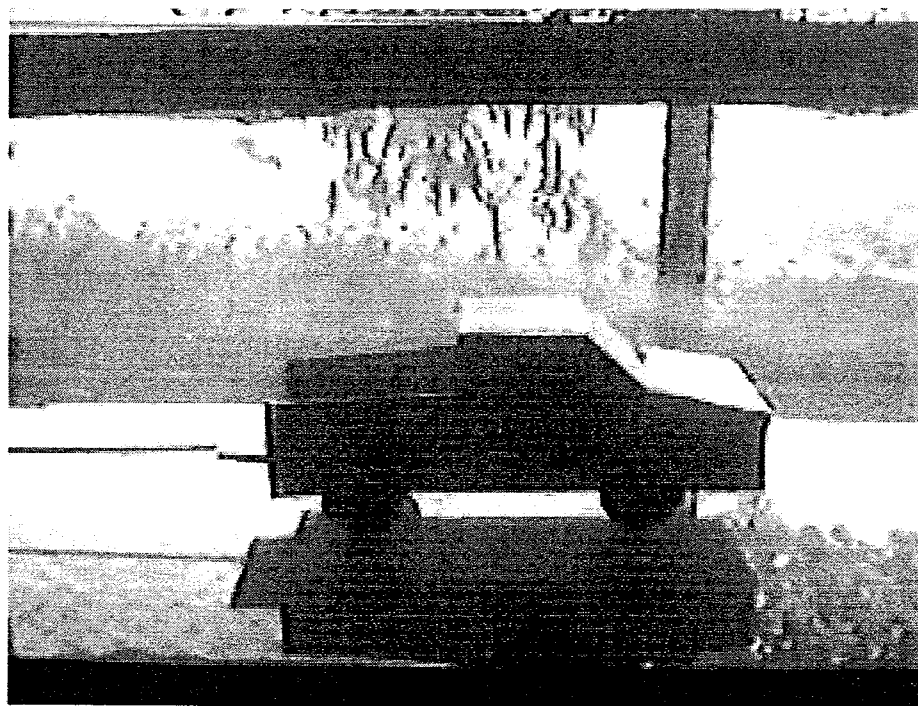
รูปที่ 5.11 (a) – (f) สัมประสิทธิ์แรงต้านของรดขนาดจำลอง กรณีต่าง ๆ

จากรูปที่ 5.11 เป็นค่าสัมประสิทธิ์แรงต้านของแบบจำลองของรูบวรทุกเล็ก ในการเปลี่ยนแปลงรูปร่างท้ายกระบวนการต่าง ๆ ซึ่งสัมประสิทธิ์แรงต้านจะลดลงเมื่อค่าความเร็วหรือ Reynolds number เพิ่มขึ้น เมื่อونกับการทดสอบวัตถุทรงกลม โดยสัมประสิทธิ์แรงต้านของแต่ละกรณี ก็จะมีค่าแตกต่างกัน ซึ่งแสดงให้เห็นถึงการเปลี่ยนแปลงค่าสัมประสิทธิ์แรงต้าน ว่ามีผลกับรูปทรงท้าย กระบวนการ โดยค่าที่ได้จากการทดสอบในอุโมงค์ลมจะมีค่าสูงกว่าวิธีจำลองเชิงตัวเลข ซึ่งมีความแตกต่าง ไม่เกิน 5 % เนื่องจากความกว้างช่วงการทดสอบแบบจำลองในอุโมงค์ลม ทำให้สภาวะการไหลไม่คงที่ เช่นความเร็ว ความดัน ความหนืด โดยเมื่ออากาศไหลผ่านช่วงการทดสอบแคนบล จะให้ความเร็ว สูงขึ้น ความหนืดของอากาศก็มีผลกับผนังของส่วนทดสอบ ทำให้สัมประสิทธิ์แรงต้านที่ใช้อุโมงค์ลม ทดสอบสูงกว่าวิธีจำลองเชิงตัวเลข ซึ่งแสดงการไหลผ่านรูบวรทุกเล็กของกรณีต่าง ๆ ดังรูปที่ 5.12 เป็นการแสดงภาพที่ได้จากการทดสอบสัมประสิทธิ์แรงต้านในอุโมงค์ลม ซึ่งได้ใช้วันจากการเผาไหม้ ให้ไปกับกระแสอากาศที่ไหลผ่านแบบจำลอง เพื่อแสดงการไหลผ่าน โดยแต่ละรูปทรงของรูบวรทุกเล็กจะทำให้กระแสการไหลของอากาศเปลี่ยนแปลงไป เกิดการหมุนวนของอากาศด้านท้ายของรู แต่ การแสดงการไหลนี้ให้ภาพเพื่อในการวิเคราะห์การไหลไม่ชัดเจนเท่าที่ควร จึงได้มีการจำลองการ ไหลโดย CFD เพื่อเปรียบเทียบและแสดงกระแสการไหล การเกิดการหมุนวนได้อย่างชัดเจน ดังรูปที่ 5.13 โดยใช้เงื่อนไขในการจำลองเหมือนกับการจำลองการไหลผ่านวัตถุทรงกลม จะเห็นว่ากระแสการไหลของการปรับเปลี่ยนรูปทรงท้ายกระบวนการมีความแตกต่างกัน เกิดการหมุนวนของอากาศ และเกิด การประทับล่วนท้ายกระบวนการต่าง ๆ ของเปิดระบบปกติ แต่ในกรณีปิดท้ายกระบวนการ และครอบระบบแบบ เลี้ยงการหมุนวนของอากาศด้านท้ายจะลดลงอย่างชัดเจน แต่ในการจำลองนี้ เป็นการจำลองของรู แบบจำลองขนาดย่อ ซึ่งค่าสัมประสิทธิ์แรงต้านที่ได้จากการทดสอบจึงไม่สามารถยืนยันได้ว่ามีความ ถูกต้อง

ดังนั้นในบทต่อไปจะเป็นการจำลองการไหลของแบบจำลองรูบวรทุกเล็กขนาดจริง ในกรณี ต่าง ๆ โดยเงื่อนไขจากการเปรียบเทียบการทดสอบสัมประสิทธิ์แรงต้านของวัตถุรูปทรงต่าง ๆ ดังกล่าวข้างต้นนี้ สัมประสิทธิ์แรงต้านของการทดสอบในอุโมงค์ลม จะมีค่าสูงกว่าการทดสอบ สัมประสิทธิ์แรงต้านใน CFD แต่ค่ามีความแตกต่างกันน้อยมาก ซึ่งอาจสรุปได้ว่า เงื่อนไขการคำนวณ ทางคณิตศาสตร์ที่ใช้ในการคำนวณมีความถูกต้อง ซึ่งสามารถนำไปคำนวณสัมประสิทธิ์แรงต้านของ รูบวรทุกเล็กขนาดจริง ของกรณีต่าง ๆ ในบทต่อไป



(a) กรณี 1 เปิดท้ายระบบปั๊ม



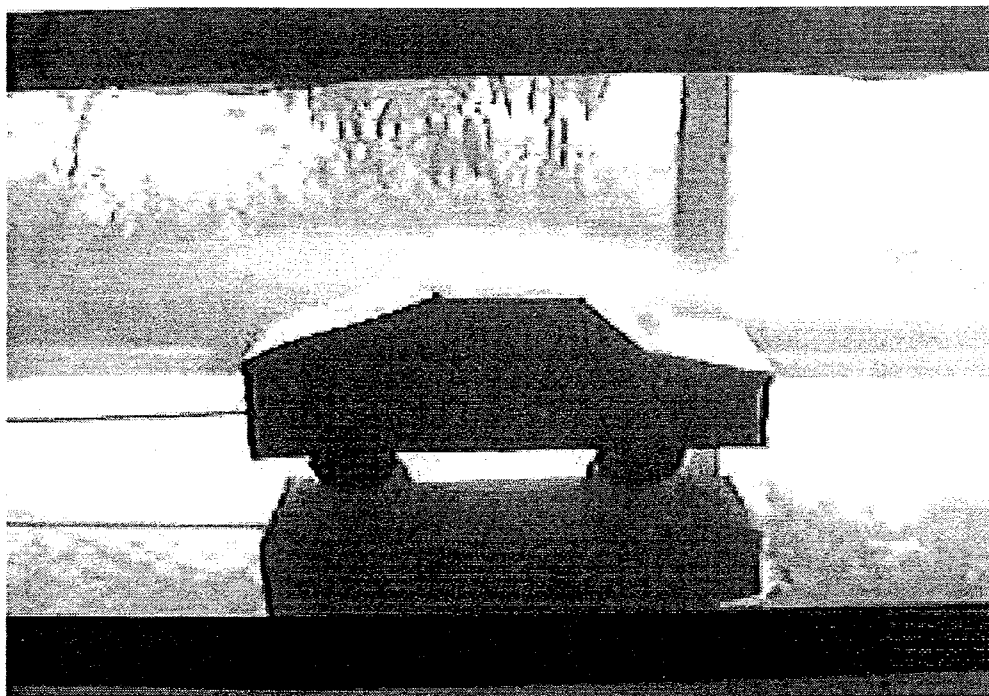
(b) กรณี 2 เปิดฝาท้ายระบบ



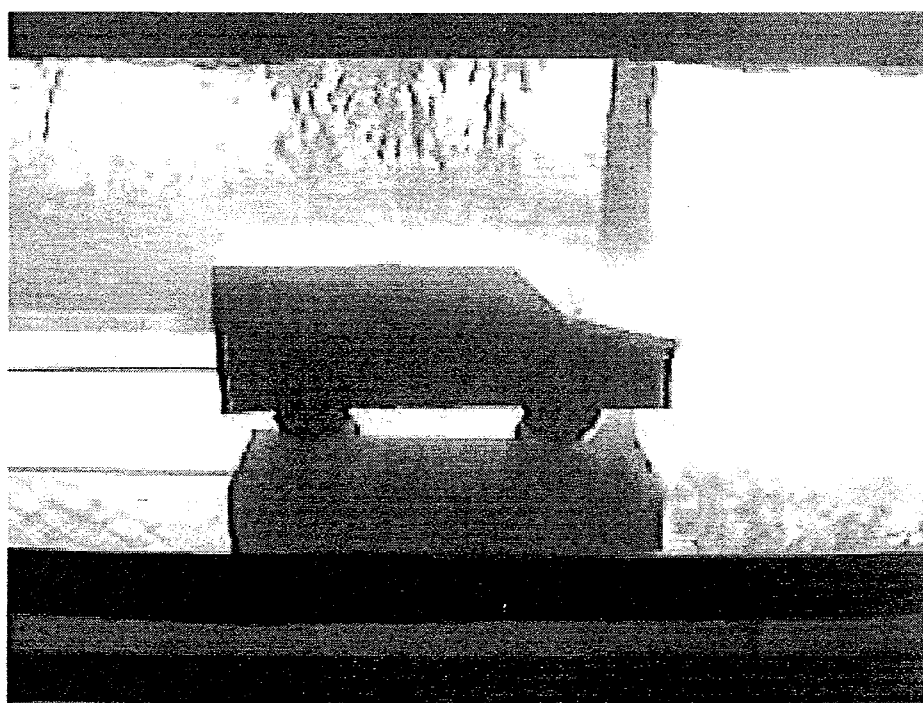
(c) กรณี 3 ไม่มีฝาท้ายระบบ



(d) กรณี 4 เปิดท้ายระบบ

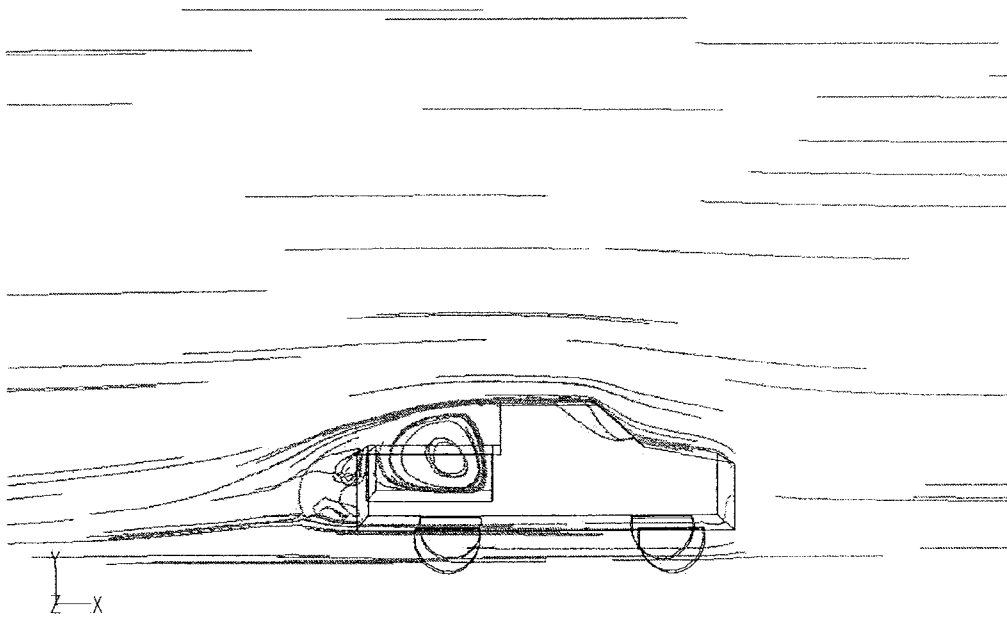


(e) กรณี 5 ครอบท้ายระบบแบบเฉียง

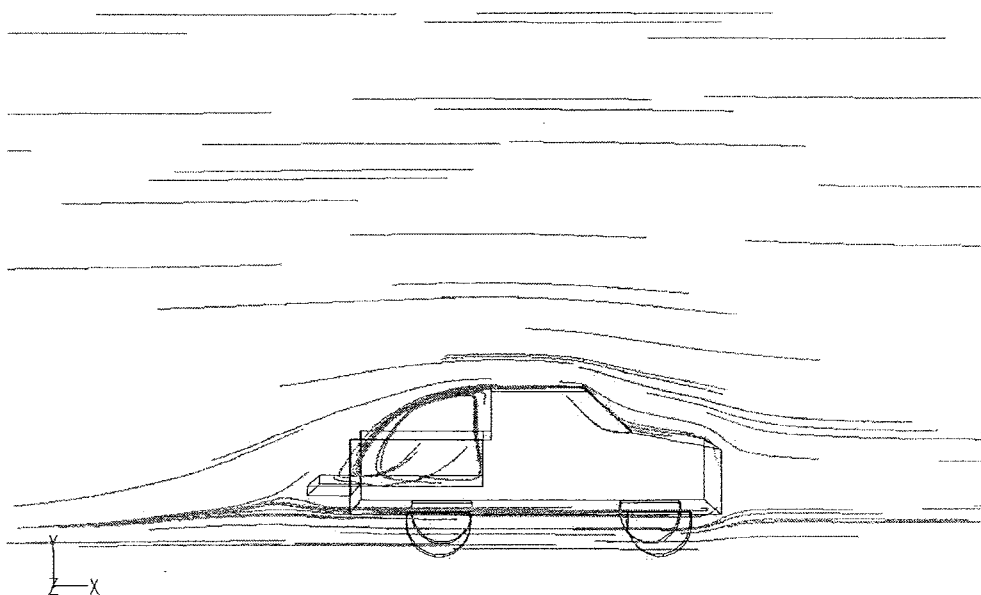


(f) กรณี 6 ครอบท้ายระบบแบบตรง

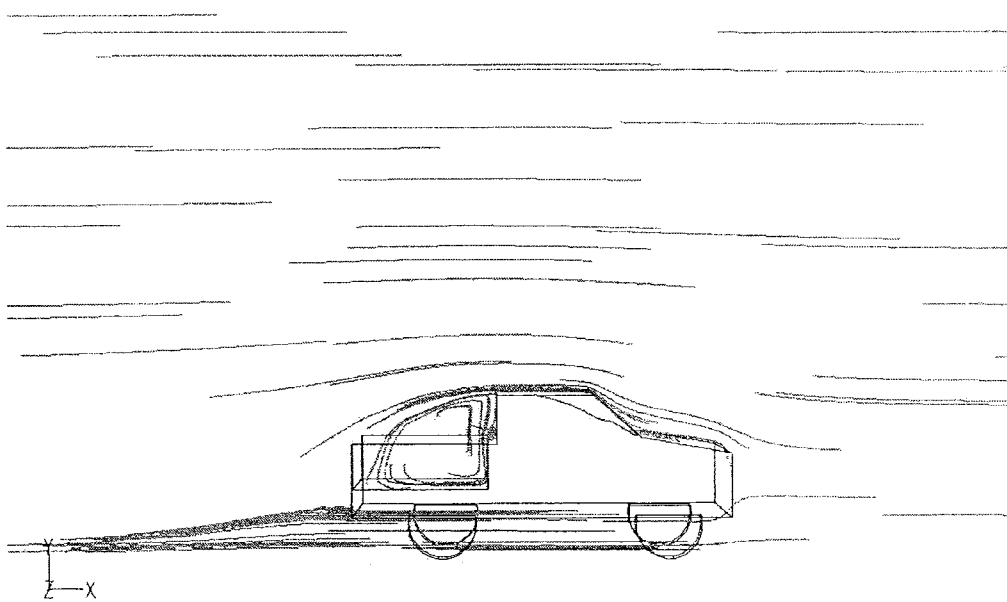
รูปที่ 5.12 (a) – (f) เส้นการ ไฟลของอาคารผ่านรวมทุกเล็กในอุโมงค์ลม



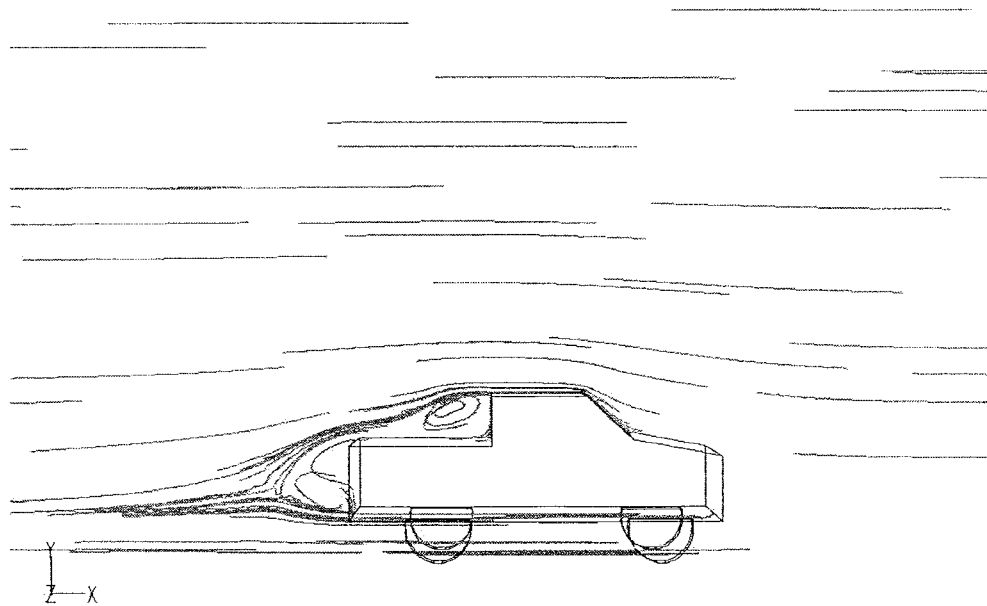
(a) กรณี 1 เปิดท้ายระบบปั๊ม



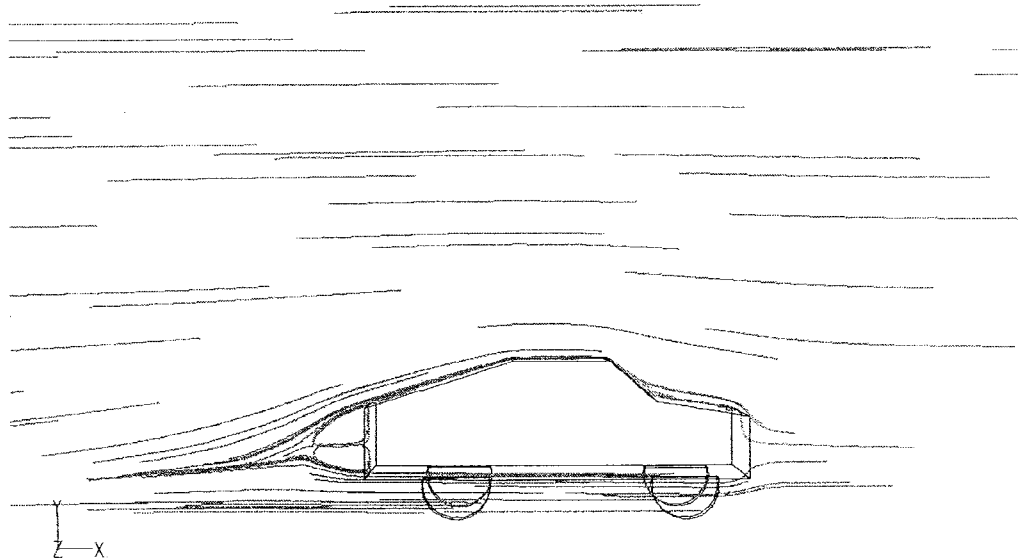
(b) กรณี 2 เปิดฝ่าท้ายระบบ



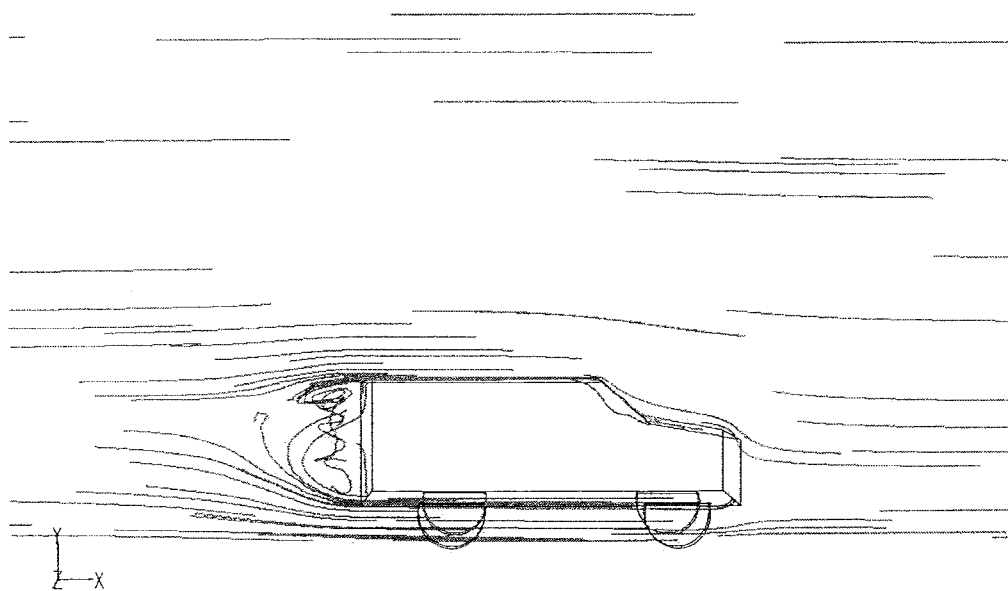
(c) กรณี 3 ไม่มีฝาท้ายระบบ



(d) กรณี 4 ปิดท้ายระบบ



(e) กรณี 5 ครอบท้ายระบบแบบเฉียง



(f) กรณี 6 ครอบท้ายระบบแบบครึ่ง

รูปที่ 5.13 (a) – (f) เส้นการไหลของอากาศผ่านรถบรรทุกเล็กใน CFD

บทที่ 6

การจำลองหาสัมประสิทธิ์แรงต้านของรถบรรทุกเล็ก ขนาดจริงโดย CFD

จากบทที่ผ่านมา เป็นการทดสอบสัมประสิทธิ์แรงต้านของแบบจำลองขนาดย่อ ของรถบรรทุกเล็ก และได้มีการเปรียบเทียบระหว่างการทดสอบในอุโมงค์ลม และ CFD แต่การทดสอบในอุโมงค์ลมนั้นมีข้อจำกัดหลายประการ เช่น ความเร็วของอากาศที่ใช้ทดสอบมีความเร็วต่ำ แบบจำลองที่ใช้ทดสอบมีขนาดเล็กซึ่งทำให้วัดค่า การสังเกตเพื่อวิเคราะห์การไหลทำได้ยาก ดังนั้นในบทนี้จะเป็นการทดสอบสัมประสิทธิ์แรงต้านของรถบรรทุกเล็กแบบจำลองขนาดจริงโดย CFD ซึ่งใช้เงื่อนไขและหลักการเดียวกันกับการจำลองรถบรรทุกเล็กขนาดย่อที่ผ่านมา

จากทฤษฎีของ CFD ผลการทดลอง และเปรียบเทียบเงื่อนไขในการคำนวณจากบทที่แล้ว สามารถสรุปเงื่อนไขการคำนวณที่ใช้ในการจำลองรถบรรทุกเล็ก ได้ดังนี้คือ

ตารางที่ 6.1 เงื่อนไขการคำนวณ CFD

โปรแกรม GAMBIT	
ขอบเขตทางด้านเข้า (inlet boundary condition)	Velocity inlet
ขอบเขตทางด้านออก (outlet boundary condition)	Pressure outlet
จำนวนกริด	ประมาณ 728,644 cell
โปรแกรม FLUENT	
ระเบียบการแก้ปัญหา (Solver)	Segregated Solver
ระเบียบวิธีคำนวณ (Linearization)	Implicit method
แบบจำลองความปั่นป่วน (Turbulent model)	Standard k-epsilon (2eqn)
ระเบียบวิธีการแก้ปัญหาการไหลบริเวณใกล้ผนัง (Near-wall treatment method)	near-wall model

ของเหลวที่ใช้ในการคำนวณด้านอากาศพลศาสตร์ของรถบรรทุกเล็กคือ อากาศ ซึ่งเป็นการคำนวณการไหลในสภาวะที่กดอัดไม่ได้ (Incompressible flow) มีการเปลี่ยนแปลงของปริมาตรน้อยมาก เมื่อความดันเปลี่ยนแปลง ความหนาแน่นคงที่หรือเปลี่ยนแปลงเพียงเล็กน้อยเมื่อความดันเปลี่ยนแปลง ซึ่งการกำหนดค่าคุณสมบัติของอากาศในการคำนวณ ดังนี้คือ

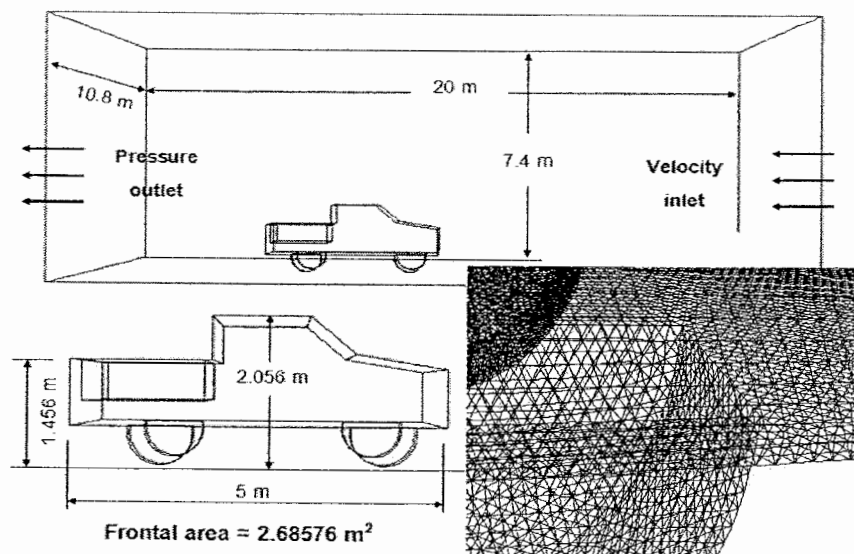
ตารางที่ 6.2 คุณสมบัติของอากาศในการคำนวณ

คุณสมบัติของอากาศ	ค่า
ความหนืด (Viscosity), μ (kg/m-s)	1.7894×10^{-5}
ความหนาแน่น (Density), ρ (kg/m ³)	1.225
ความดันเริ่มต้น (Operating pressure), P (pascal)	101,325
อัตราส่วนความร้อนจำเพาะ (Ratio of specific heat)	1.4
อุณหภูมิ (Temperature), (K: Kelvin)	288.16

ดังนี้ในบทนี้ เป็นการนำเอาเงื่อนไขการคำนวณของไอลพอลศาสตร์ มาใช้ในด้านอากาศ พลศาสตร์ของรถบรรทุกเล็ก เพื่อหาแนวทางการลดสัมประสิทธิ์แรงต้าน ในกรณีต่าง ๆ โดยอาศัย องค์ความรู้จาก ทฤษฎี และหลักการของผู้ที่ทำการศึกษาวิจัยมาก่อน มาประยุกต์ใช้ในกรณี ดังต่อไปนี้

6.1 กรณีรถบรรทุกเล็กปรับปรุงท้ายระบบ

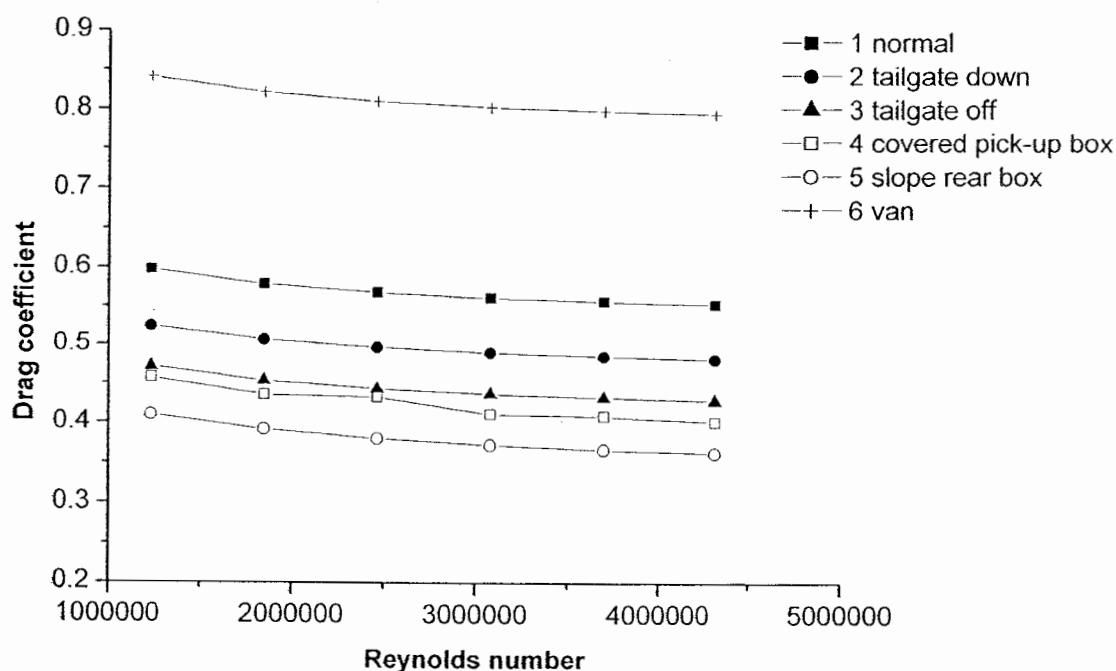
ในกรณีนี้เป็นกรณีเดียวกันกับการเปรียบเทียบสัมประสิทธิ์แรงต้านของแบบจำลองจาก บทที่ผ่านมา แต่จะเปลี่ยนแบบจำลองเป็นขนาดจริง ซึ่งขนาดของแบบจำลอง และเงื่อนไขในการ คำนวณจะแสดงดังรูปที่ 6.1



รูปที่ 6.1 แสดงขนาดและเงื่อนไขในการทดสอบแบบจำลองขนาดจริง

6.1.1 การเปลี่ยนแปลงสัมประสิทธิ์แรงต้านกรณีรถบรรทุกเล็กปรับปรุงท้ายระบบ

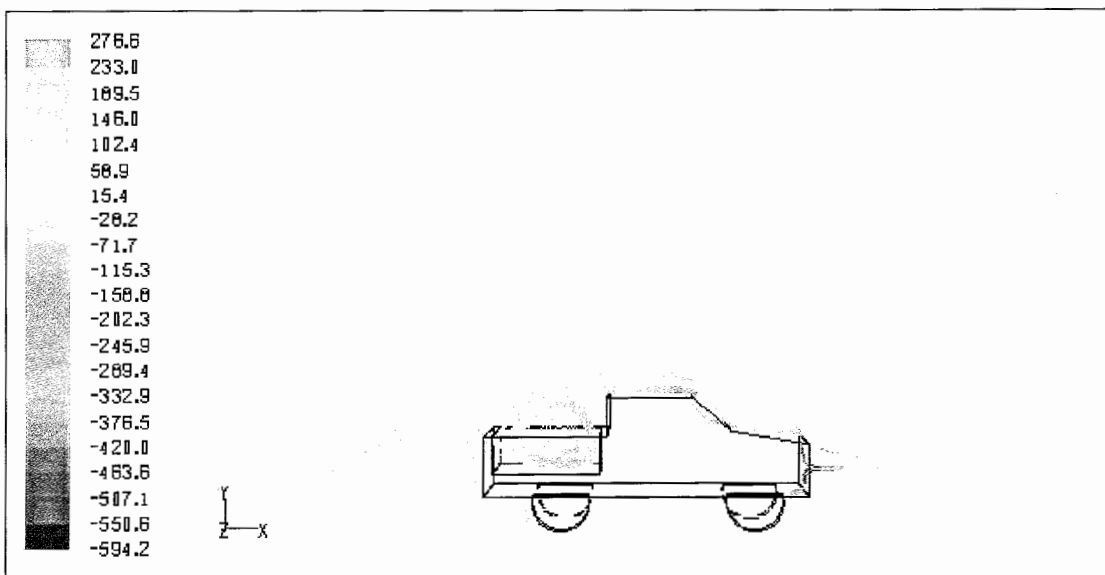
เป็นการทดสอบแบบจำลองรถบรรทุกเล็กขนาดจริง มีขนาดพื้นที่หน้าตัด (Frontal area) เท่ากับ 2.68576 m^2 ทดสอบที่ความเร็ว 36-126 km/hr (Reynolds number $12 \times 10^6 - 4.4 \times 10^6$) โดยทดสอบรถบรรทุกเล็กที่มีการเปลี่ยนแปลงรูปทรงท้ายระบบ 6 กรณีคือ เปิดท้ายระบบปกติ (Normal pick-up box), เปิดฝ่าท้ายระบบ (Tailgate down), ไม่มีฝ่าท้ายระบบ (Tailgate off), ปิดท้ายระบบ (Covered pick-up box), ครอบท้ายระบบแบบเฉียง (Slope rear box), และครอบท้ายระบบแบบตรง (Van) โดยที่พื้นที่หน้าตัดของรถเดียวกัน ซึ่งให้ค่าสัมประสิทธิ์ดังรูปที่ 6.2



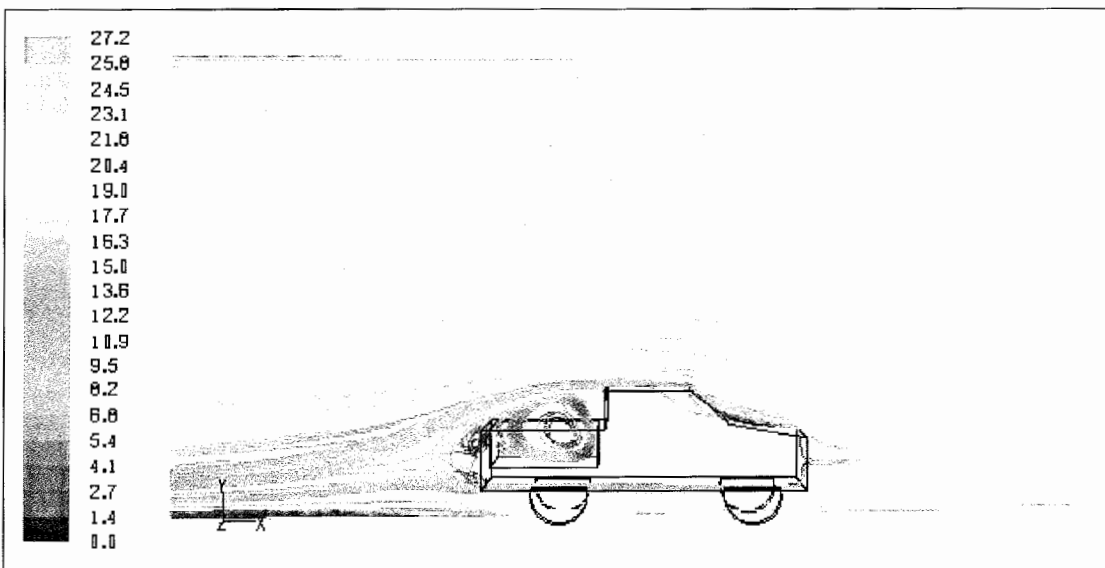
รูปที่ 6.2 ค่าสัมประสิทธิ์แรงต้านของการเปลี่ยนรูปร่างของรูปทรงท้ายระบบกรณีต่าง ๆ

6.1.2 การกระจายตัวของความเร็วและความดัน

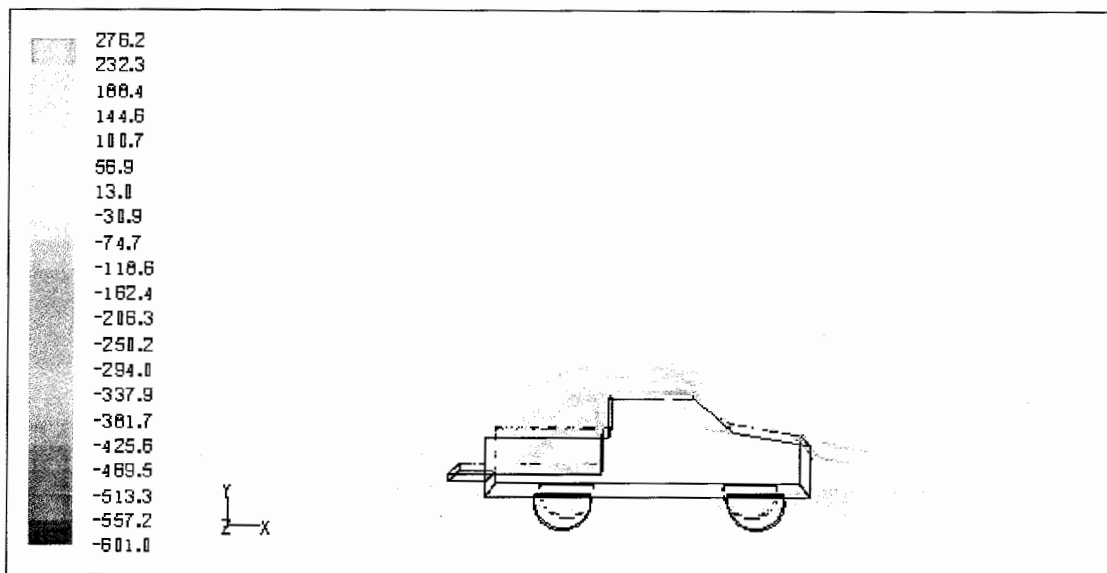
จากรูปที่ 6.2 นั้น สัมประสิทธิ์แรงต้านจะลดลงและเพิ่มขึ้นกับการเปลี่ยนแปลงการกระจายตัวของความดันด้านหน้า และด้านท้ายระบบของรถ โดยปัจจัยหลักของการออกแบบเพื่อลดความดันในด้านหน้าหรือเพิ่มความดันในด้านหลังของรถ ซึ่งจะสังเกตได้ว่าเมื่อการปรับปรุงระบบของรถโดยที่ทำให้การไหลของอากาศมากขึ้น จะช่วยให้แรงต้านลดลง ซึ่งสามารถพิจารณาได้จากเส้นระดับແผลสีของความเร็ว และความดัน



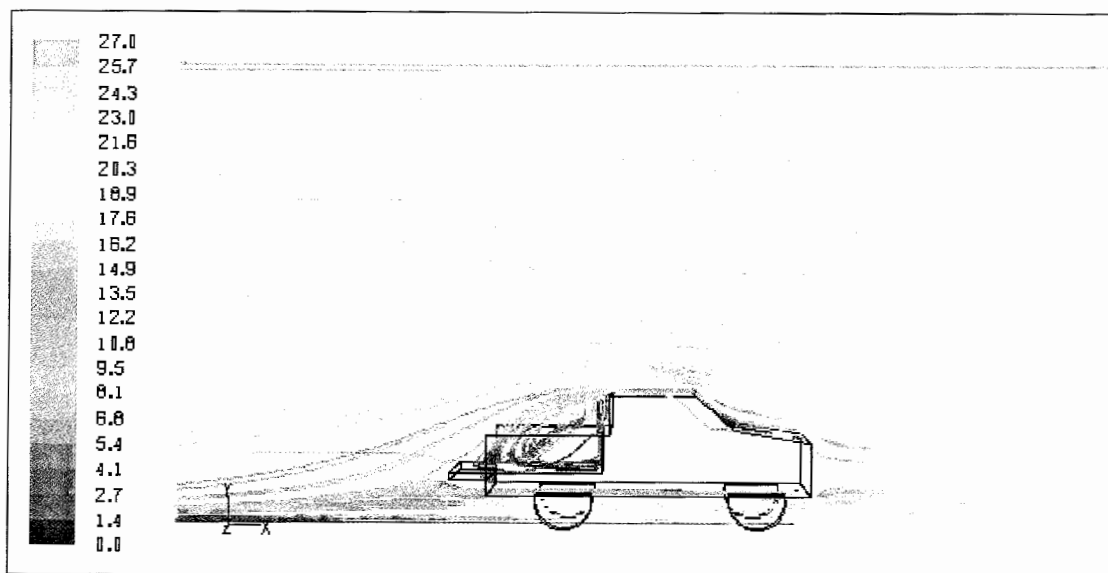
รูปที่ 6.3 เส้นระดับແຄນສີຄວາມດັນສົດ (pascal) ກຣັນ 1 ເປີດທ້າຍກະບະປົກຕິ



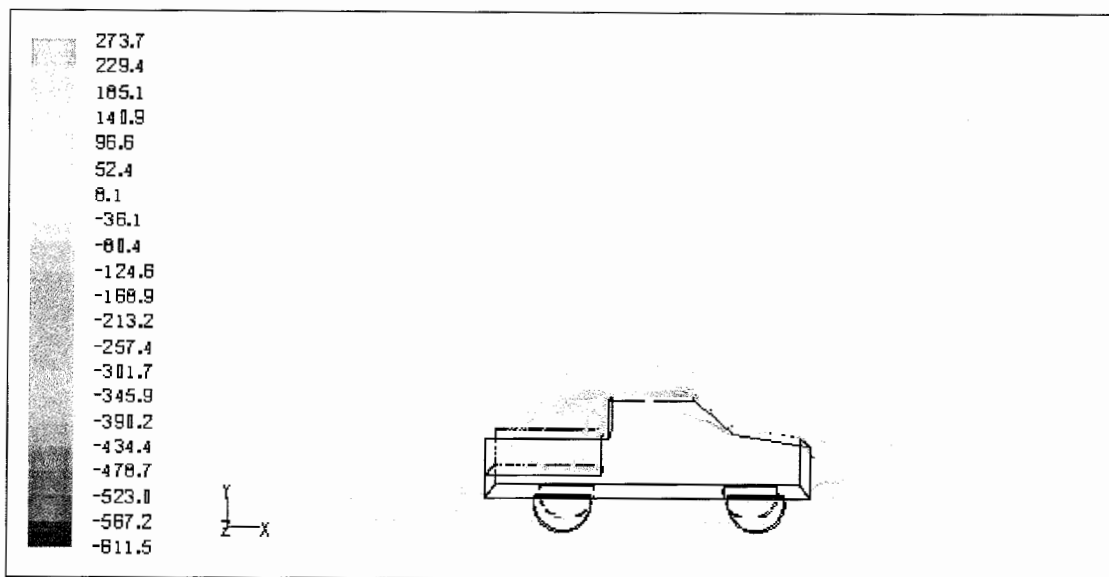
รูปที่ 6.4 เส้นระดับແຄນສີຄວາມເງົາ (m/s) ກຣັນ 1 ເປີດທ້າຍກະບະປົກຕິ



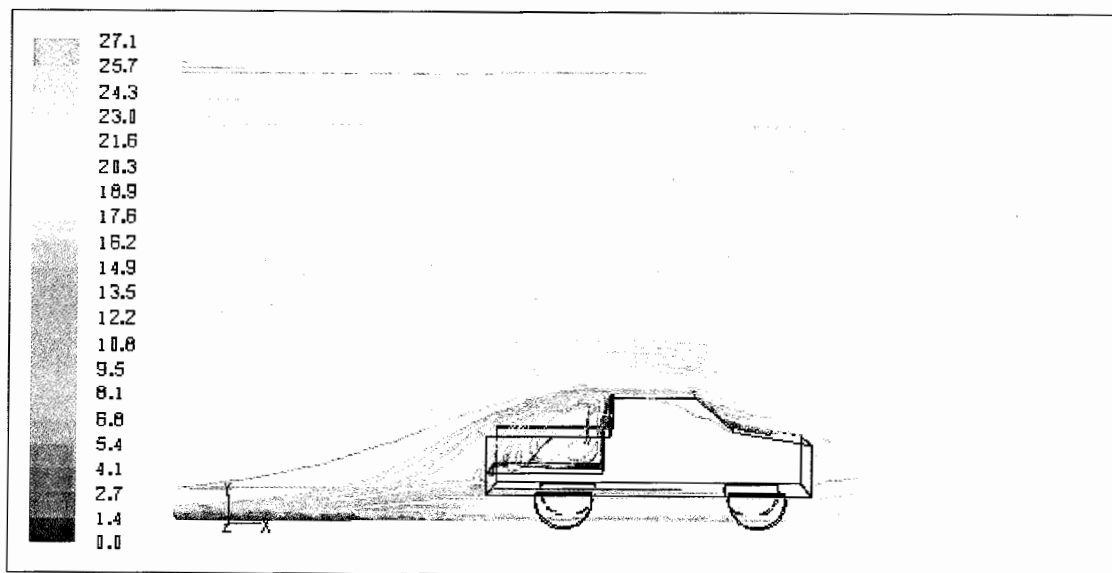
รูปที่ 6.5 เส้นระดับແນບສีความดันສົດ (pascal) ກຣມີ 2 ເປີດຝາທ້າຍກະຮະ



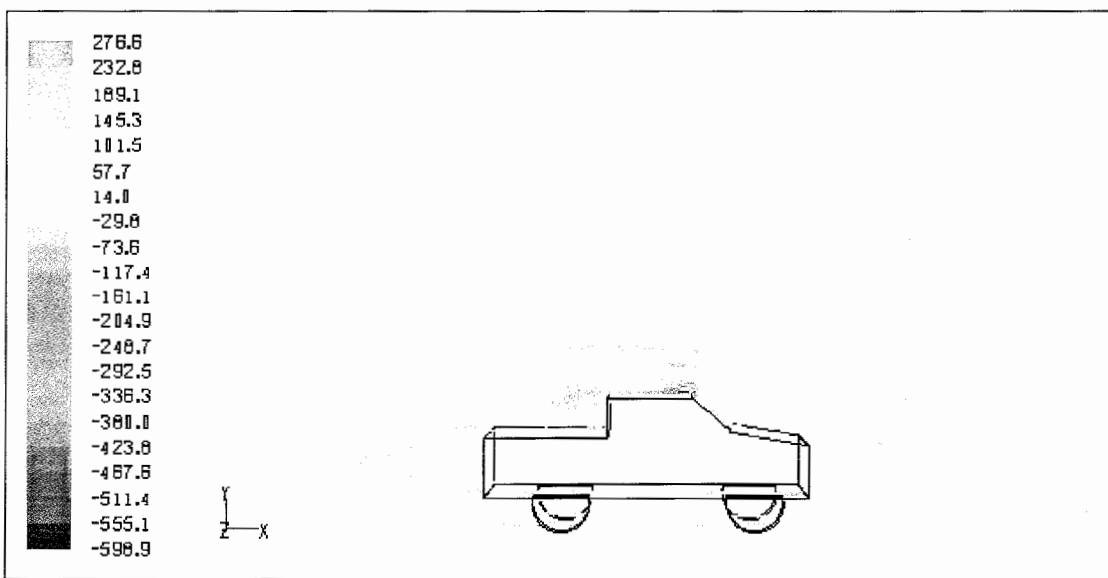
รูปที่ 6.6 เส้นระดับແນບສีความเร็ວ (m/s) ກຣມີ 2 ເປີດຝາທ້າຍກະຮະ



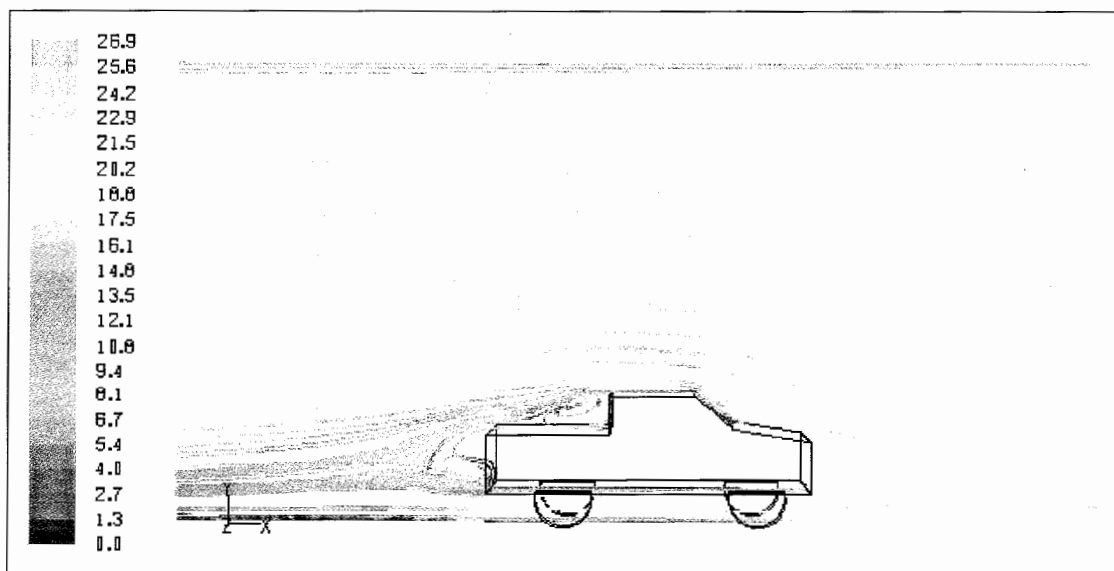
รูปที่ 6.7 เส้นระดับແນບສีความดันสถิต (pascal) กรณี 3 ไม่มีไฟท้ายระบบ



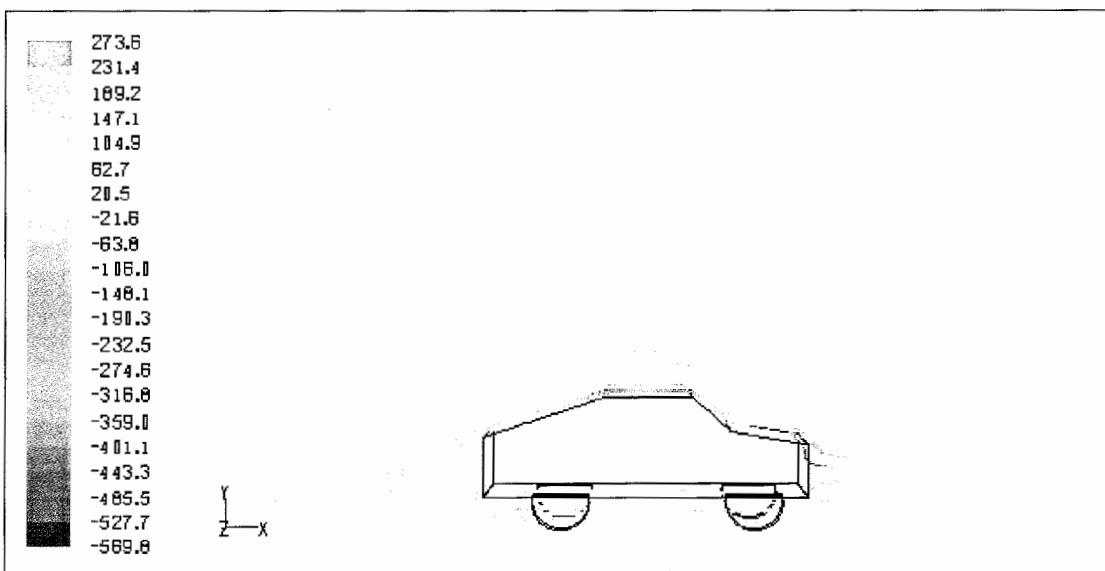
รูปที่ 6.8 เส้นระดับແນບສีความเร็ว (m/s) กรณี 3 ไม่มีไฟท้ายระบบ



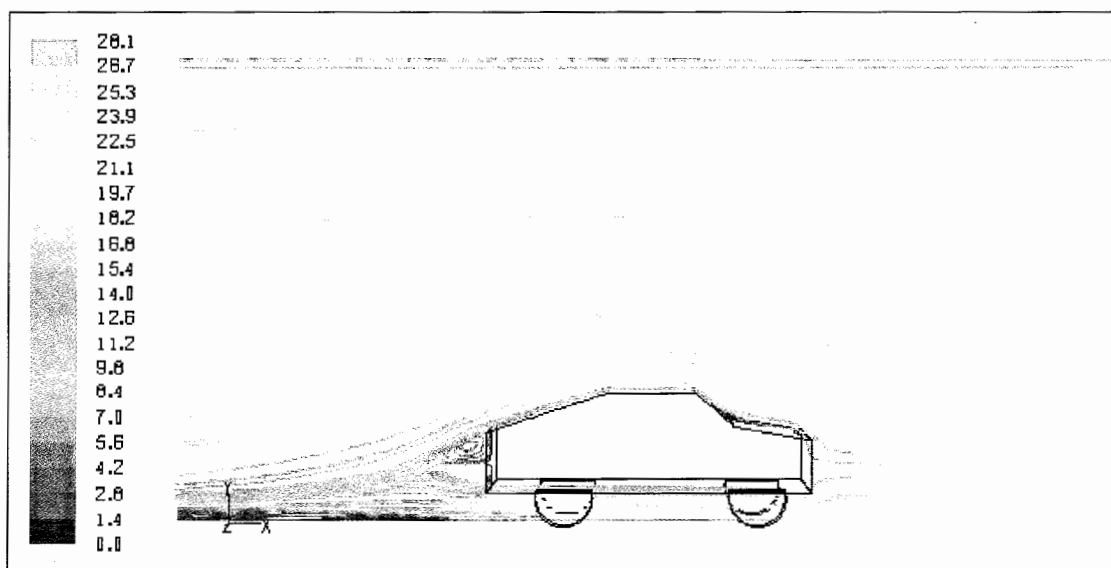
รูปที่ 6.9 เส้นระดับແນບສีความดันสถิต (pascal) กรณี 4 ปิดท้ายระบบ



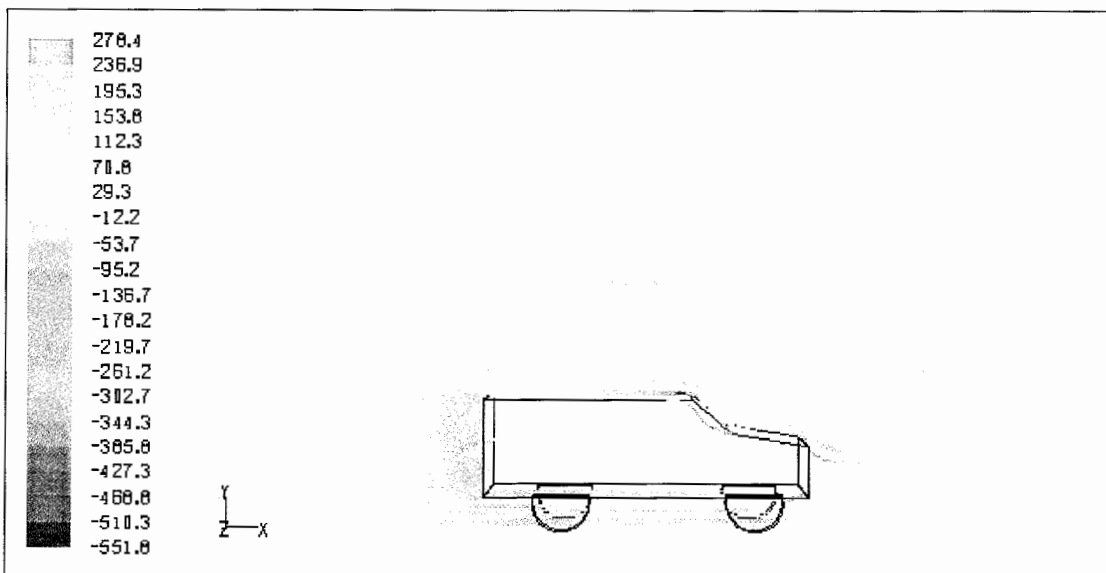
รูปที่ 6.10 เส้นระดับແນບສีความเร็ว (m/s) กรณี 4 ปิดท้ายระบบ



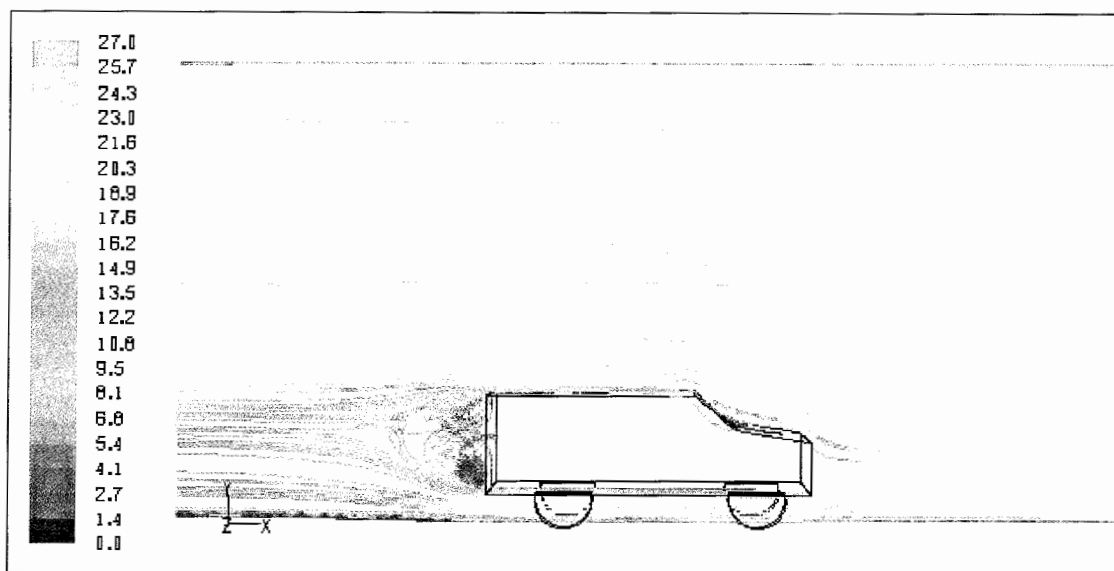
รูปที่ 6.11 เส้นระดับແນບสีความดันสถิต (pascal) กรณี 5 ครอบท้ายระบบแบบเฉียง



รูปที่ 6.12 เส้นระดับແນບสีความเร็ว (m/s) กรณี 5 ครอบท้ายระบบแบบเฉียง



รูปที่ 6.13 เส้นระดับແຄบສีความดันສົດ (pascal) กรณี 6 ครอบท้ายระบบแบบตรง



รูปที่ 6.14 เส้นระดับແຄบສีความเร็ว (m/s) กรณี 6 ครอบท้ายระบบแบบตรง

6.1.3 วิเคราะห์ผลการกระจายความดัน กรณีปรับปรุงท้ายระบบ

จากการทดสอบนี้ สัมประสิทธิ์แรงต้านจะลดลงและเพิ่มขึ้นกับการเปลี่ยนแปลงการกระจายตัวของความดันด้านหน้าและด้านท้ายระบบของรถ โดยปัจจัยหลักของการออกแบบ คือ เพื่อลดความดันด้านหน้าและเพิ่มความดันในด้านท้ายของรถ โดยสามารถวิเคราะห์ได้จากสมการ

$$F_D = \int_{front} p \cos \theta dA - \int_{back} p \cos \theta dA \quad (6.1)$$

กรณีที่ 1 ซึ่งเป็นกรณีเปิดท้ายระบบปกตินั้น ขนาดของแรงต้านนี้จะขึ้นอยู่กับความแตกต่างของความดันระหว่างด้านหน้าและด้านหลังของรถ โดยแบ่งความแตกต่างออกได้เป็น 3 บริเวณความดันคือ บริเวณที่ 1 บริเวณห้องโดยสาร, 2 บริเวณระบบ และ 3 บริเวณท้ายรถทั้งด้านบนและด้านล่าง ซึ่งทั้ง 3 บริเวณ มีความแตกต่างกันของความดัน ส่วนบริเวณห้องโดยสารนี้จะมีความดันสูงเนื่องจากโน้ม恩ตัม ของอากาศ และลดลงเมื่อเข้าสูงตำแหน่งบริเวณระบบ ซึ่งหากพิจารณาจากรูปที่ 6.3 และ 6.4 (1 เปิดท้ายระบบปกติ) ที่ตำแหน่งระหว่างห้องผู้โดยสารกับบริเวณระบบ จะเกิดการไหลย้อนกลับเรียกว่าเกิดการแยกตัว (Separation) และภายในส่วนนี้จะเกิดการไหลแบบป่วนปวนที่เรียกว่าอากาศหมุนวน (Wake) ซึ่งก็คือการเกิด การสูญเสีย (Loss) ในทางของไฟลเพลสต์ อากาศที่หมุนวนนี้เมื่อประทับบนระบบห้าย จะทำให้เกิดแรงต้านในระดับหนึ่ง ซึ่งการเกิดการแยกตัวนี้ เกิดจากการไหลของอากาศชั้นนอกมีความเร่งมากกว่าการไหลของชั้นใน เพราะอากาศที่อยู่ชั้นในได้รับอิทธิพลของความหนืด (Viscosity, μ) เกิดแรงเฉือนต้าน การไหลชั้ลงและความดันที่กดทับจากภายนอก ซึ่งทำให้การไหลของชั้นใน มีโน้ม恩ตัมน้อย จึงทำให้ไหลผ่านความดันสูงได้ยาก จึงทำให้เกิดการหมุนวน ทำให้ความดันบริเวณระบบลดลง ส่วนในบริเวณท้ายรถทั้งด้านบนและด้านล่างนั้น ความเร็วของอากาศด้านล่างของรถสูงกว่าด้านบน เนื่องจากพลังงานจลน์จากภายนอก ส่งถ่ายเข้าสู่ด้านภายนอก ทำให้เพิ่มโน้ม恩ตัม ในการอาจน้ำความหนืดได้สูงขึ้น ทำให้เกิดความดันท้ายรถด้านบนและด้านหลัง มีความแตกต่างกัน จึงเกิดการหมุนวนของอากาศและความดันจะลดลงจากบริเวณระบบ ดังนั้นแรงต้านทั้ง 3 บริเวณมีความแตกต่างกัน จึงทำให้เกิดแรงต้านที่สูงขึ้น ดังสมการที่ (6.1)

กรณีที่ 2 มีการเปลี่ยนแปลงรูปร่างโดยมีลักษณะเปิดฝ่าท้ายระบบนั้น สัมประสิทธิ์แรงต้านมีการลดลงน้อยมาก โดยใกล้เคียงกันกับในกรณีที่ 1 แต่ในกรณีที่ 2 การประทับของอากาศกับฝ่าท้ายระบบจะลดลง เนื่องจากเปลี่ยนแนวการติดตั้งฝ่าท้ายระบบไปทิศทางข้างหน้ากับการไหล ซึ่งเปรียบเสมือนกันยกระดับของพื้นท้ายรถสูงขึ้น โดยจะส่งผลให้ค่าสัมประสิทธิ์แรงต้านลดลง และค่าสัมประสิทธิ์แรงยกมีค่าลดลงเช่นกัน (แรงกดเพิ่มขึ้น) แต่จะมีผลกระทบกับการลดลงของสัมประสิทธิ์แรงยก มากกว่าการลดลงของสัมประสิทธิ์แรงต้าน ซึ่งการยกระดับพื้นท้ายรถจะมีผลต่อการกระจายตัวความดันที่ผิวนของรถน้อยมาก แต่ความดันพื้นรถในกรณีที่ 1 จะสูงกว่าใน

กรณีที่ 2 เนื่องจากการเปิดฝ้าห้ายกระเบนงัดดับให้เกิดการหักด้วยแรงตัวของกราฟิล ซึ่งต้องใช้โนเมนตัม เป็นอย่างมาก ทำให้ความดันต่ำกว่าและเป็นเหตุให้แรงต้านและแรงยกลดลงในระดับหนึ่ง

กรณีที่ 3 ค่าสัมประสิทธิ์แรงต้านจะลดลงจาก 2 กรณีข้างต้น เนื่องจากไม่มีการปะทะอากาศกับฝ้าห้ายกระเบน และลดความแตกต่างของแรงดันด้านล่างพื้นรถ กับบริเวณส่วนบนของห้ายกระเบน จึงทำให้แรงดันมีความสมดุลกันเร็วขึ้น ระยะการหมุนวนจึงสั้นลง ทำให้สัมประสิทธิ์แรงต้านลดลงด้วย

กรณีที่ 4 มีการเปลี่ยนแปลงรูปร่างโดยปิดห้ายกระเบน ที่มีการลดลงของการหมุนวนของอากาศ เนื่องจากไม่มีการปะทะของฝ้าห้าย ช่วงการหมุนวนของอากาศก็ลดน้อยลง เนื่องจากความหนาของบริเวณห้องโดยสารค่อนข้างสูง ลดลงมาบริเวณกระเบน จนมาถึงบริเวณห้ายกระเบน จึงมีความดันย้อนกลับน้อย ดังนั้นจุดแยกตัวจะเกิดขึ้นน้อยเดียวกัน ทำให้ความดันด้านหลังของรถมีค่าที่สูงขึ้น และสัมประสิทธิ์แรงต้านก็ลดลงกว่ากรณีที่ 1, 2 และ 3

กรณีที่ 5 เป็นกรณีที่ ลักษณะการไหลมีความสมดุลกันมากขึ้น จากรูปร่างห้ายกระเบนเป็นลักษณะเปรียวกลม จะเกิดการแยกตัวของอากาศน้อย ทำให้การไหลด้านบนและด้านล่างมีความสมดุลกัน ทำให้สัมประสิทธิ์แรงต้านลดลงและต่ำกว่าทุกกรณีข้างต้น

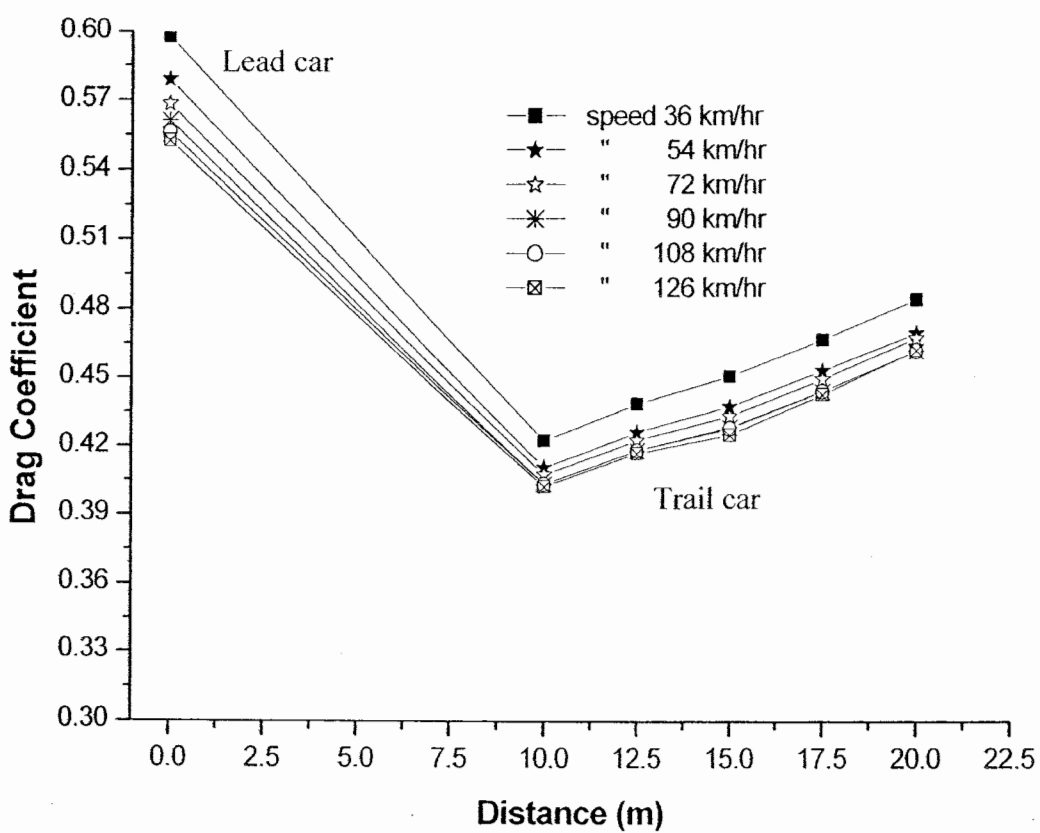
กรณีที่ 6 มีการเปลี่ยนแปลงรูปร่างโดยครอบห้ายกระเบนทั้งหมด ความหนาของบริเวณห้องโดยสารและบริเวณกระเบนจะเท่ากัน แต่ส่วนบริเวณห้ายกระเบนทั้งด้านบนและด้านล่างมีลักษณะเป็นสี่เหลี่ยมตัดตรง ซึ่งเป็นรูปทรงด้านห้ายที่ก่อให้เกิดแรงต้านมากที่สุด และเรียกรูปทรงนี้ว่า รูปทรงห้ายวิกฤต (Critical after body geometry) โดยจากรูป พบว่ารูปทรงด้านห้ายได้มีการเปลี่ยนแปลงจนกระทั่งถึงรูปทรงห้ายวิกฤต จะทำให้เกิดการเปลี่ยนแปลงการไหลอย่างฉับพลัน มีความดันย้อนกลับสูง จึงทำให้เกิดแรงต้านสูงกว่าทุกกรณี

6.2 กรณีรถบรรทุกเล็กวิ่งตามกัน

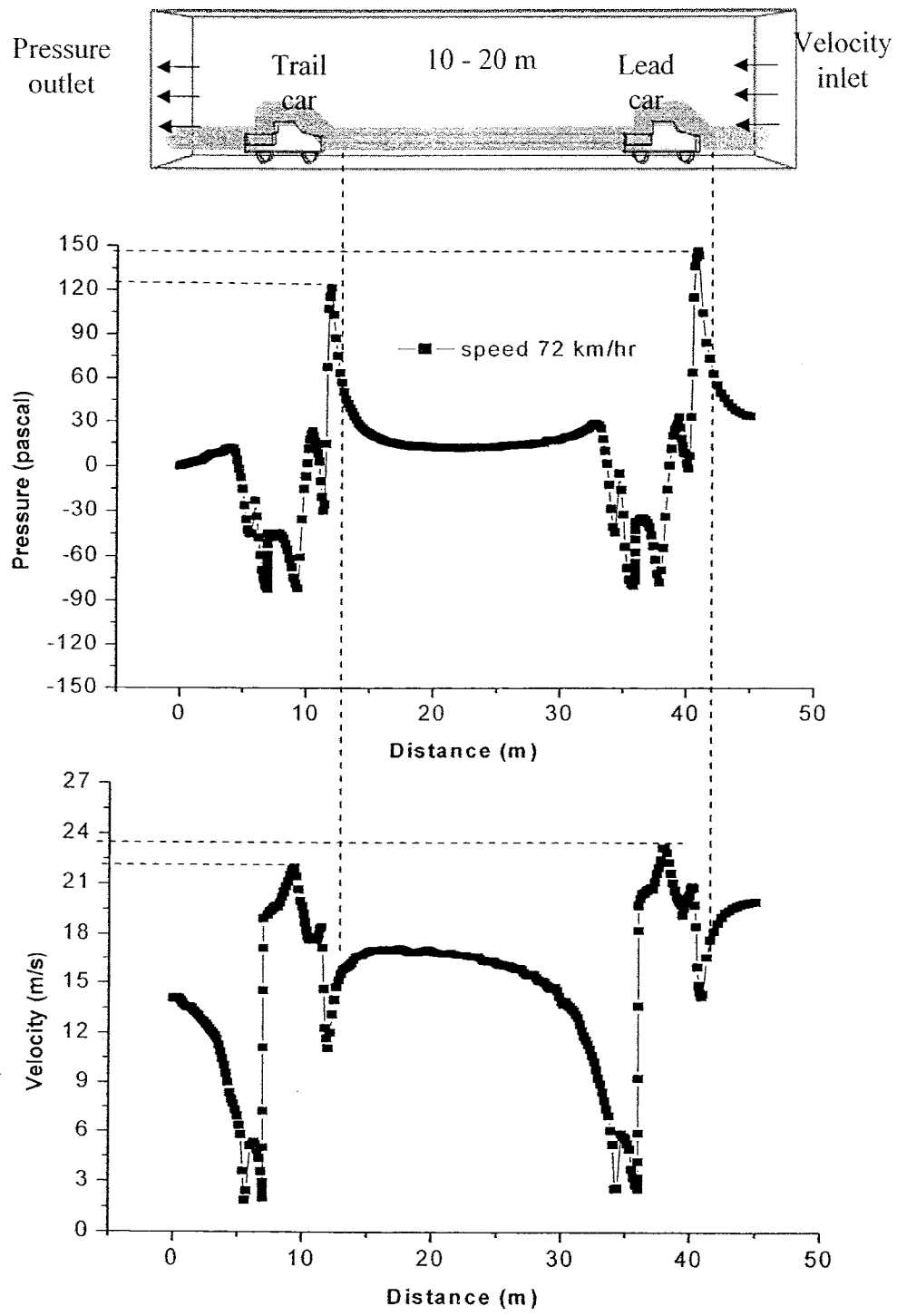
เป็นการจำลองรถขนาดจริง เพื่อตรวจสอบผลลัมป์ประสิทธิ์แรงต้านที่เปลี่ยนไปของรถคันหลัง ที่มีการเปลี่ยนแปลงความเร็ว โดยรถทั้งสองคันอยู่ห่างกันตามแนวยาว (แนวแกน x) ที่ระยะ 10, 12.5, 15, 17.5, 20 m ทดสอบที่ความเร็ว 36, 54, 72, 90, 108, และ 126 km/hr (Reynolds number $12 \times 10^6 - 4.4 \times 10^6$) โดยความเร็วรถทั้งสองเท่ากัน โดยได้ขยายขนาดความกว้าง และความสูง ของผังด้านข้างและด้านบนของส่วนทดสอบ เพื่อไม่ใช้มีผลกับสัมประสิทธิ์แรงต้านของรถที่ใช้ทดสอบ โดยใช้ กริด 750,000 cell ที่ใช้เป็นแบบ Tri/Tet (กริดรูปพีระมิด) ขนาดพื้นที่หน้าตัดของรถเท่ากับ 2.68576 m^2

6.2.1 การเปลี่ยนแปลงสัมประสิทธิ์แรงต้าน กรณีรถบรรทุกเล็กวิ่งตามกัน

จากผลการทดสอบ ค่าสัมประสิทธิ์แรงต้านของรถคันหลังมีค่าลดลงน้อยกว่าคันหน้าดังแสดง ดังรูปที่ 6.15 เป็นการเปลี่ยนแปลงของค่าสัมประสิทธิ์แรงต้านของรถทั้งสองคัน โดยคันหน้าค่าสัมประสิทธิ์แรงต้าน จะเปลี่ยนแปลงตามความเร็วหรือ Reynolds number โดยเมื่อความเร็วเพิ่มขึ้น Reynolds number ก็จะเพิ่มขึ้นตามไปด้วย จึงทำให้สัมประสิทธิ์แรงต้านลดลง แต่จะไม่เปลี่ยนแปลงตามระยะห่างของรถคันหลัง ส่วนรถคันหลังค่าสัมประสิทธิ์แรงต้านจะลดลงจากรถคันหน้า และจะลดลงเรื่อยๆ ตามระยะห่างที่ลดลง



รูปที่ 6.15 สัมประสิทธิ์แรงต้าน กรณีรถวิ่งตามกัน



รูปที่ 6.16 การเปลี่ยนแปลงของความเร็ว และความดันที่เกิดขึ้นกับรถคันหน้า (Lead car) และคันหลัง (Trail car) ตามแนวแกน X

6.2.2 การสูญเสียเหด (Head loss) จากการปะทะ

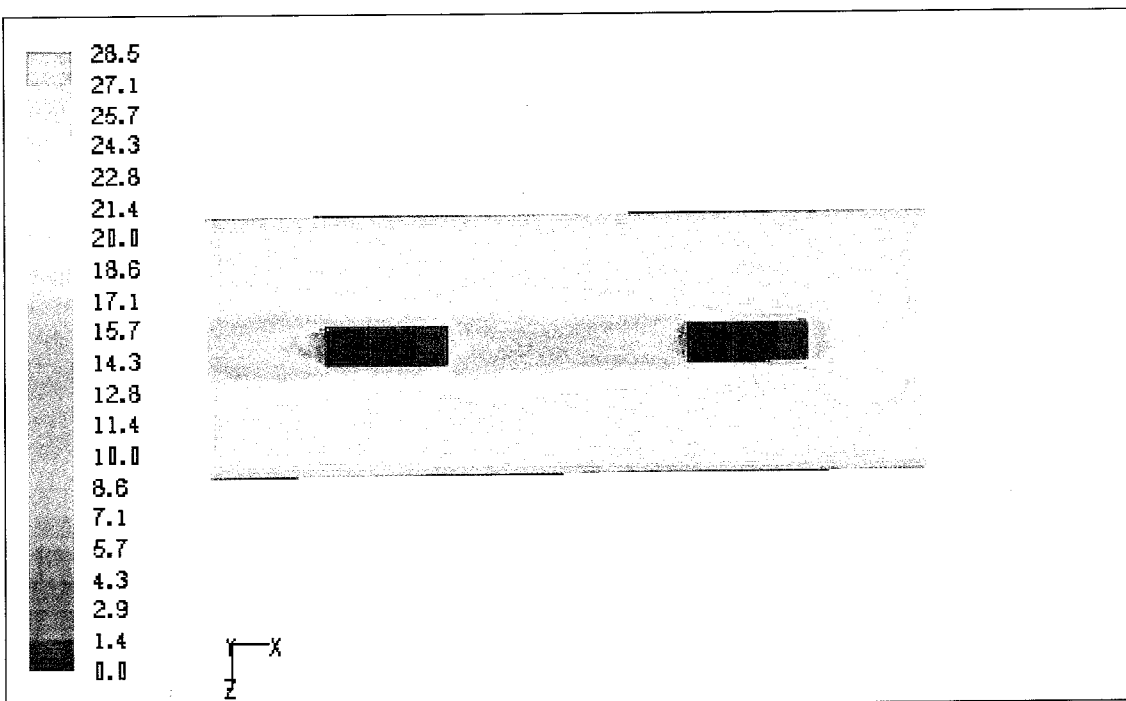
จากรูปที่ 6.16 เป็นการแสดงการเปลี่ยนแปลงความดันและความเร็วกระทำกับรถคันหน้า โดยการว่างตัวแห่งความดันที่กึ่งกลางรถตามแนวแกน X ซึ่งมีค่าสูงกว่าที่กระทำกับรถคันหลัง เพราะอากาศเมื่อปะทะกับด้านหน้าของรถคันหน้าความเร็วจะลดลง เพราะเข้าใกล้จุดหยุดนิ่ง (Stagnation point) ซึ่งจะมีความดันมากกว่าความดันก่อนที่จะเริ่มเข้าปะทะกับด้านหน้ารถ หรือ ความดันในระบบ (Total pressure) และจะลดต่ำลงบริเวณท้ายระบบเนื่องจากความเร็วลดลง ซึ่งทำให้ความดันที่เกิดจากการเคลื่อนที่ (Dynamics pressure) ลดลงด้วย ดังนั้นพลังงานจะมีลดลง เพราะ รถคันหน้าจะดูดซับพลังงานที่เรียกว่า เหดความดัน (Pressure head) และเหดความเร็ว (velocity head) ซึ่งสามารถอธิบายได้จากกฎสมดุลพลังงาน สมการของเบอร์นูลลี่ (Bernoulli's Equation)

$$\left(\frac{p_1}{\rho g} + \frac{v_1^2}{2g} \right)_{Lead_car} = \left(\frac{p_2}{\rho g} + \frac{v_2^2}{2g} \right)_{Trail_car} + h_L \quad (6.2)$$

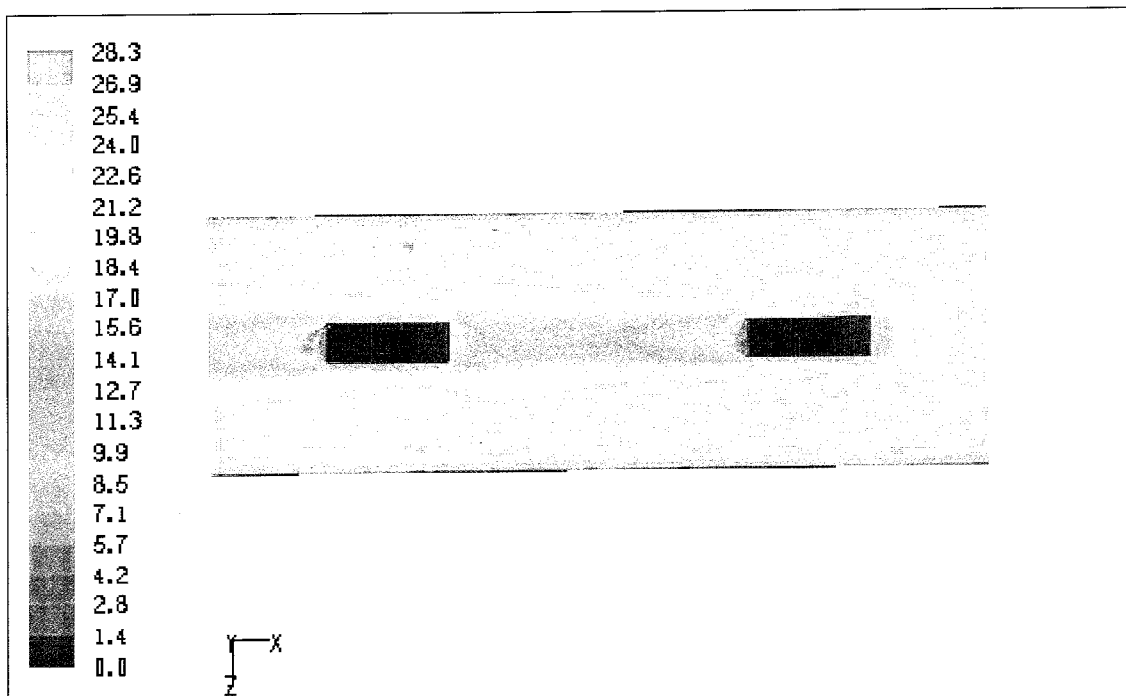
h_L คือการสูญเสียเหดร่วม (Head loss) แทนการสูญเสียพลังงานต่อหน่วยน้ำหนักของของไหล, p_1 คือความดันที่รถคันหน้า, p_2 คือความดันที่รถคันหลัง, v_1 คือความเร็วที่รถคันหน้า, v_2 ความเร็วที่รถคันหลัง, ρ คือความหนาแน่นของอากาศ เท่ากับ 1.225 kg/m^3 , g คืออัตราเร่งจากแรงโน้มถ่วง 9.81 m/s^2 ซึ่งค่า $p_1 > p_2$ และ $v_1 > v_2$ เช่นเดียวกัน

6.2.3 วิเคราะห์ความเร็วที่ลดลงของรถคันหลัง

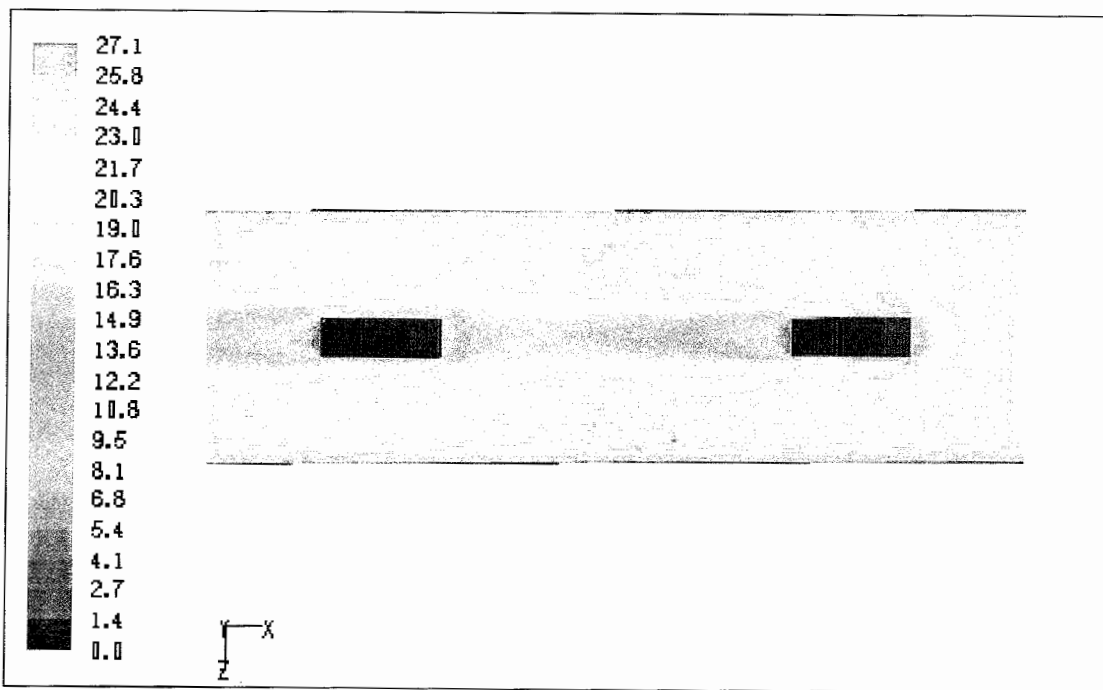
ค่าความเร็วที่เกิดขึ้นของรถคันหน้าและคันหลังมีความแตกต่างกัน ลังเกตจากระดับถนนสีบริเวณด้านหน้าของรถ และงดให้เห็นอย่างชัดเจนว่าไม่เมนตัมที่อากาศกระทำกับรถคันหน้า และคันหลังนั้นมีค่าแตกต่างกัน จากรูปที่ 6.17 ที่ระยะห่างระหว่างรถ 10 m ความเร็วที่เกิดขึ้นบริเวณด้านหน้าของรถคันหลังจะมีค่าเข้าใกล้ศูนย์ และจะเริ่มสูงขึ้นเมื่อเริ่มเข้าสู่ช่วงล่างของรถเนื่องจากอากาศสามารถไหลผ่านช่วงล่างของรถ แต่เมื่อระยะห่างของรถเพิ่มขึ้น ค่าความเร็วบริเวณนี้ก็จะสูงขึ้น แสดงว่ารถคันหลังได้รับโมเมนตัมสูงด้วยเช่นเดียวกัน และค่าความดันก็เช่นเดียวกัน ดังนั้น ที่ระยะห่าง 10 m จึงเป็นระยะห่างที่ได้รับโมเมนตัมน้อยที่สุด จึงทำให้ค่าสัมประสิทธิ์แรงต้านลดลงมากที่สุดด้วย



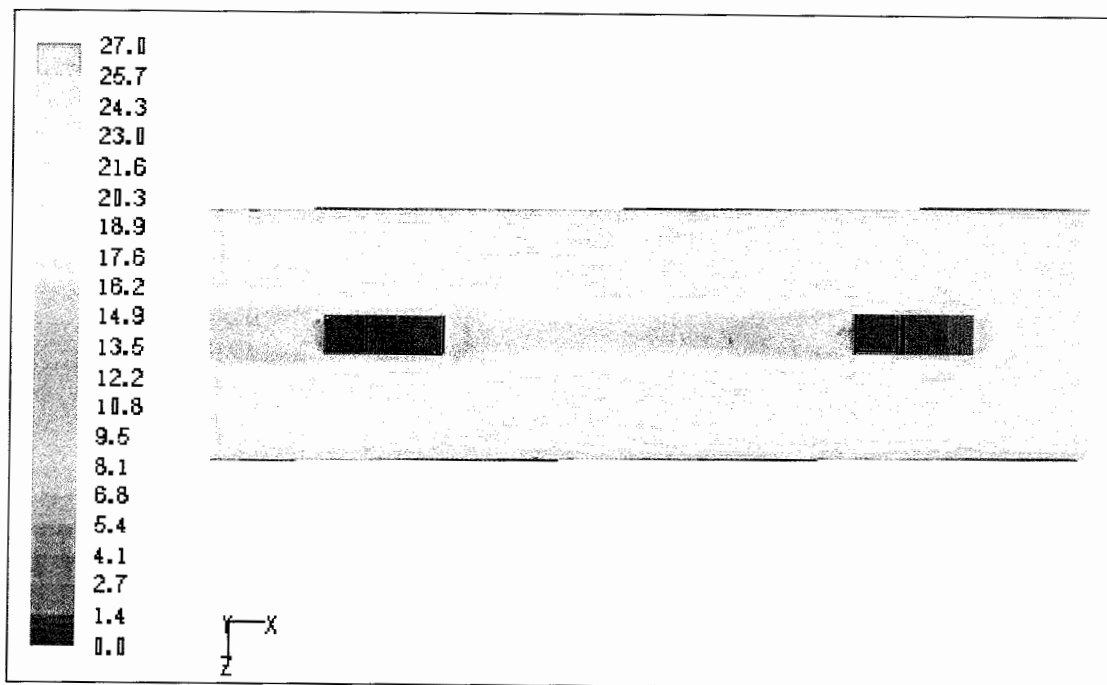
รูปที่ 6.17 ระดับແບບสีความเร็วของอากาศ (m/s) ของรถคันหลังที่ระยะห่าง 10.0 m



รูปที่ 6.18 ระดับແບບสีความเร็วของอากาศ (m/s) ของรถคันหลังที่ระยะห่าง 12.5 m

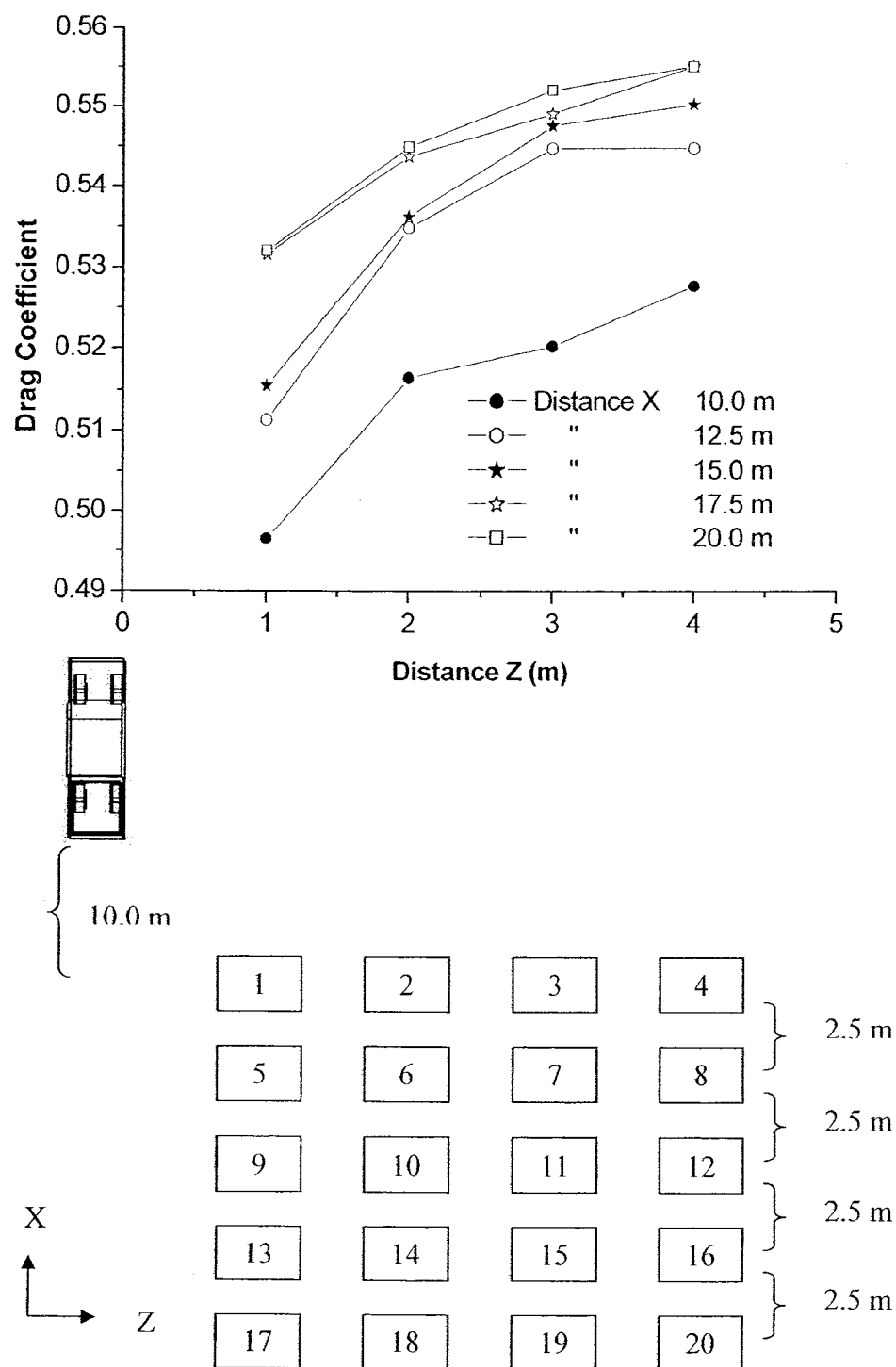


รูปที่ 6.19 ระดับແບບສີຄວາມເຮົວຂອງອາກາສ (m/s) ຂອງຮອດຄັນຫລັງທີ່ຮະຍະໜ່າງ 15.0 m



รูปที่ 6.20 ระดับແບບສີຄວາມເຮົວຂອງອາກາສ (m/s) ຂອງຮອດຄັນຫລັງທີ່ຮະຍະໜ່າງ 17.5

6.3 กรณีรถบรรทุกเล็กวิ่งเยื้องกัน

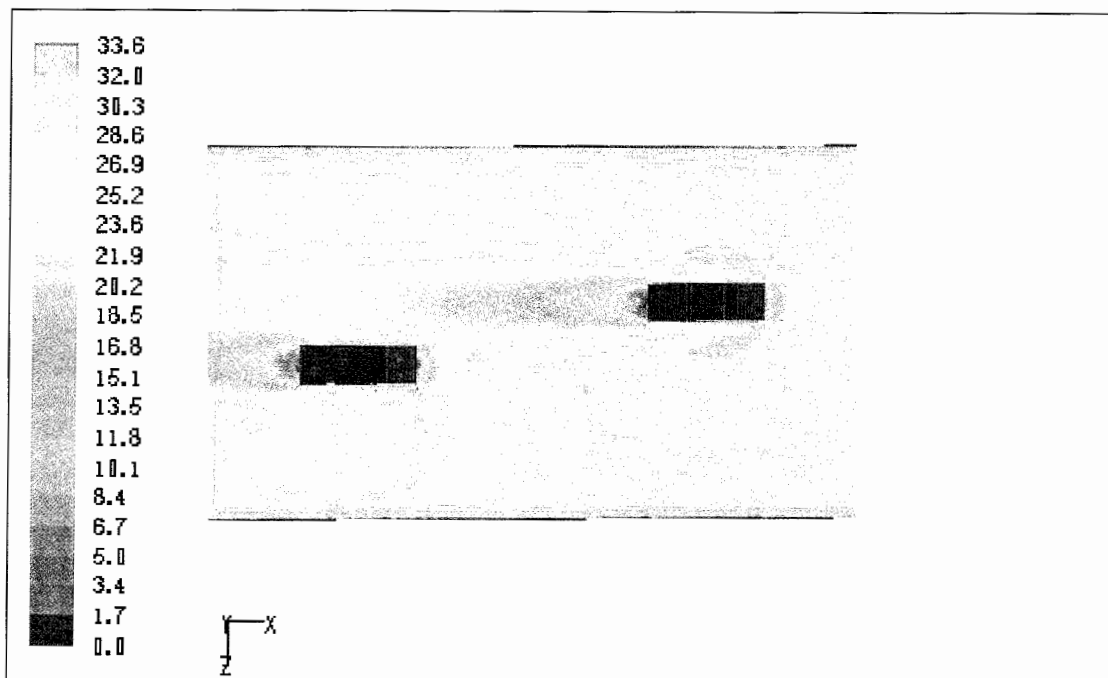


รูปที่ 6.21 สัมประสิทธิ์แรงต้านของรถคันหลังที่ตำแหน่งต่าง ๆ ที่ความเร็ว 90 km/hr

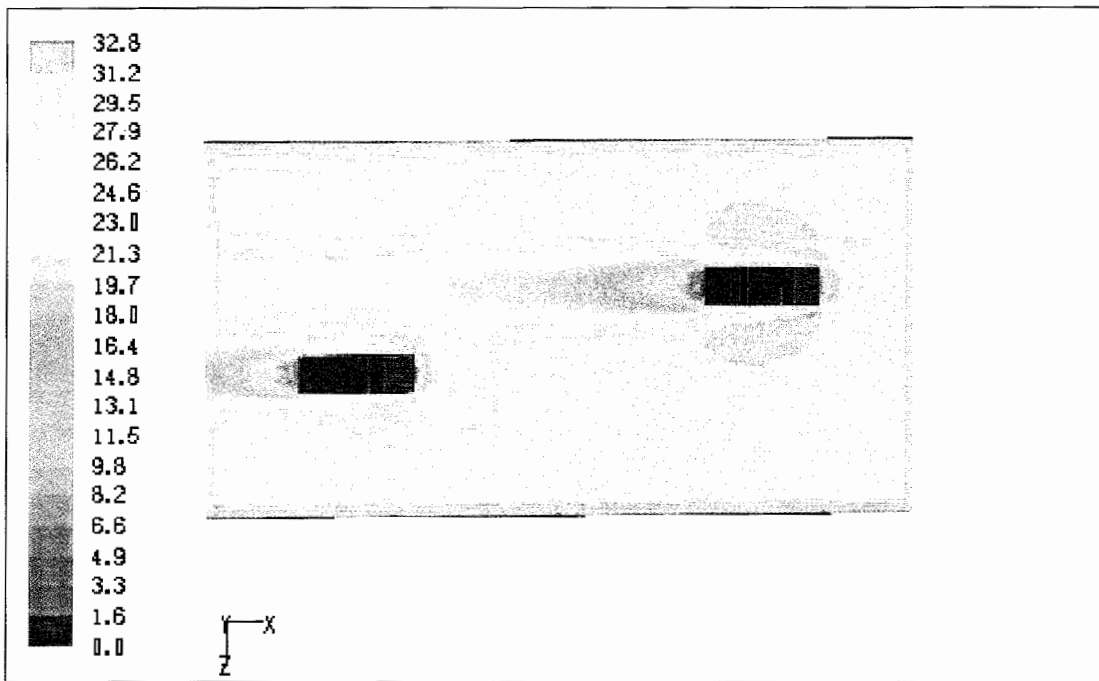
เป็นการจำลองรถขนาดจริง เพื่อตรวจสอบผลสัมประสิทธิ์แรงต้านที่เปลี่ยนไปของรถคันหลัง โดยที่รถหงส์สองอยู่ห่างกันตามแนวยาว (Distance X) ที่ระยะ 10, 12.5, 15, 17.5, และ 20 m และห่างกันตามแนววาง (Distance Z) 1, 2, 3, และ 4 m ซึ่งแต่ละตำแหน่งของรถคันหลังที่ทำการทดสอบจะเรียงลำดับเป็นหมายเลข 1-20 ทดสอบที่ความเร็ว 90 km/hr โดยความเร็วรถหงส์สองเท่ากัน และเงื่อนไข ขอบเขตในการจำลองเหมือนกรณีรถวิ่งตามกันตามแนวยาว ดังรูปที่ 6.21 ซึ่งเป็นการแสดงการเปลี่ยนแปลงของค่าสัมประสิทธิ์แรงต้านตามระยะห่างของรถตามแนวแกน X และแกน Z

ค่าสัมประสิทธิ์แรงต้านของรถคันหลังจะลดลงจากคันหน้า เนื่องรถคันหลังวิ่งเข้าใกล้ สนามการให้แบบปืนปวน ที่เกิดจากอากาศไหลผ่านรถคันหน้า ซึ่งมีเสดความดัน และเสดความเร็วที่ลดลง จึงทำให้ค่าสัมประสิทธิ์แรงต้านของรถคันหลังลดลงด้วย และเมื่อรถคันหลังอยู่ระยะห่างออกไปตามแนวแกน X และแกน Z ค่าเสดความดัน และเสดความเร็วที่รถคันหลังได้รับ จะสูงขึ้นเรื่อยๆ ดังนั้นค่าสัมประสิทธิ์แรงต้านจึงเพิ่มขึ้นตามระยะที่รถคันหลังอยู่ห่างออกไปทั้งตามแนวแกน X และแกน Z แต่จะมีค่าต่ำกว่ารถคันหน้า

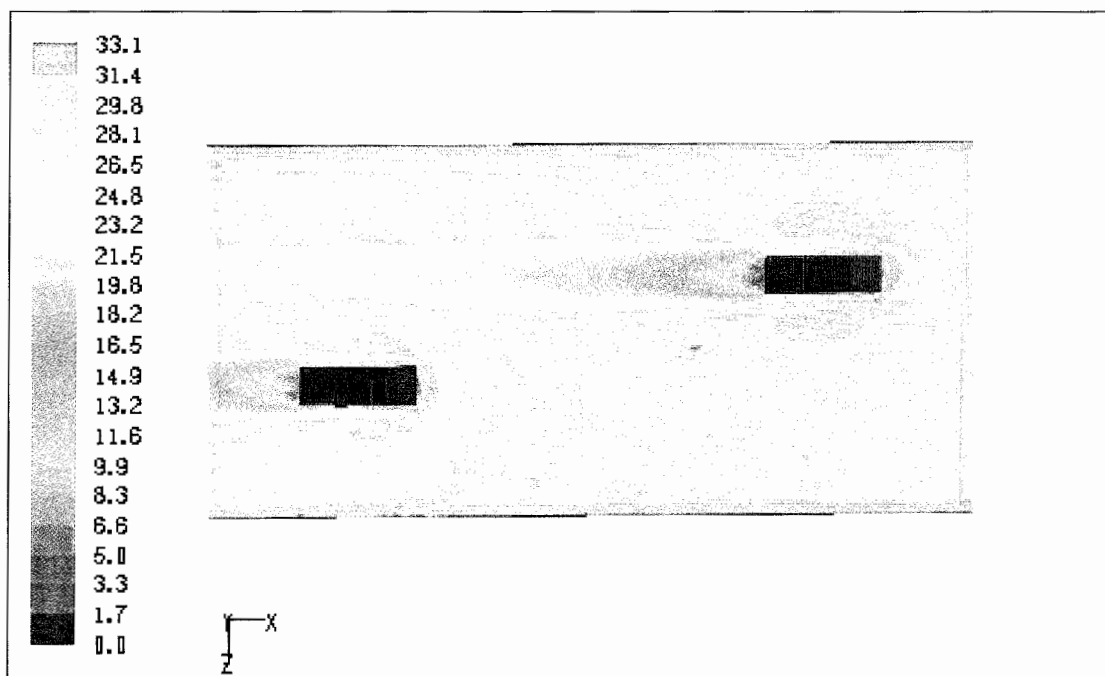
โดยมักพบกรณีแบบนี้ เช่น จังหวะรถวิ่งแซงกัน หรือจังหวะรถวิ่งแยกกันบนถนนทางด่วน ซึ่งแรงต้านก็จะเปลี่ยนแปลงไปตามตำแหน่ง และความเร็วในการวิ่ง ซึ่งจากรูปที่ 6.22 แสดง กระแสการไหลที่แตกต่างกัน ตามตำแหน่งของรถหงส์สองคัน



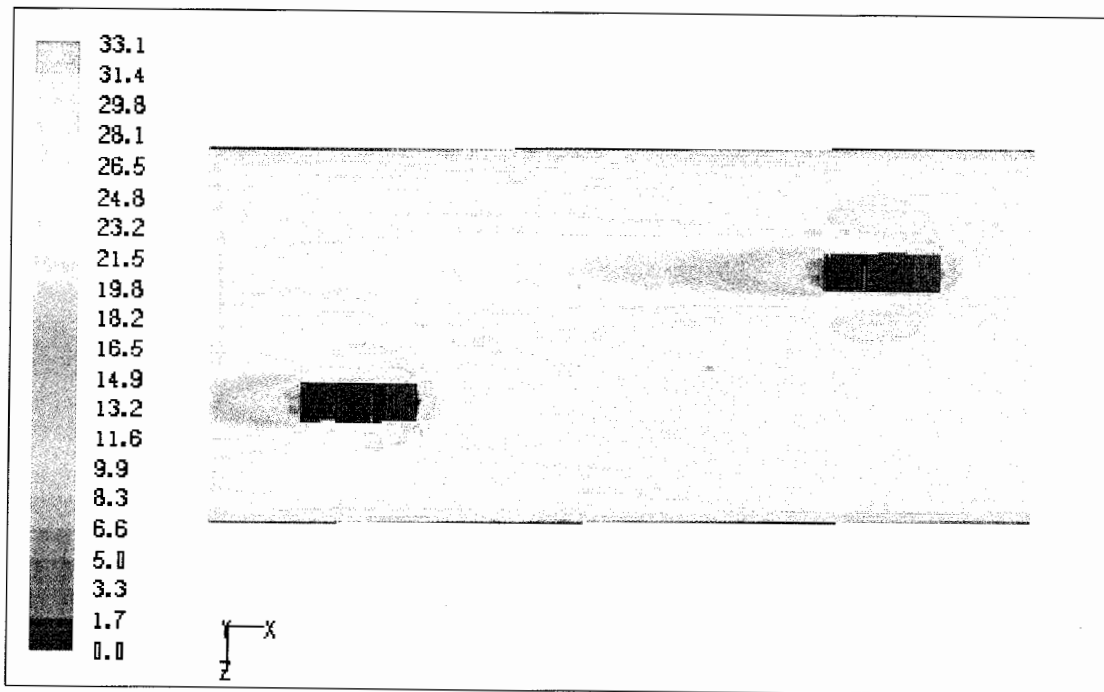
รูปที่ 6.22 ระดับแบบสีความเร็วของอากาศ (m/s) ที่ระยะ X10, Z1



รูปที่ 6.23 ระดับແນບສีความเร็วของอากาศ (m/s) ที่ระยະ X12.5, Z2



รูปที่ 6.24 ระดับແນບສีความเร็วของอากาศ (m/s) ที่ระยະ X15, Z3



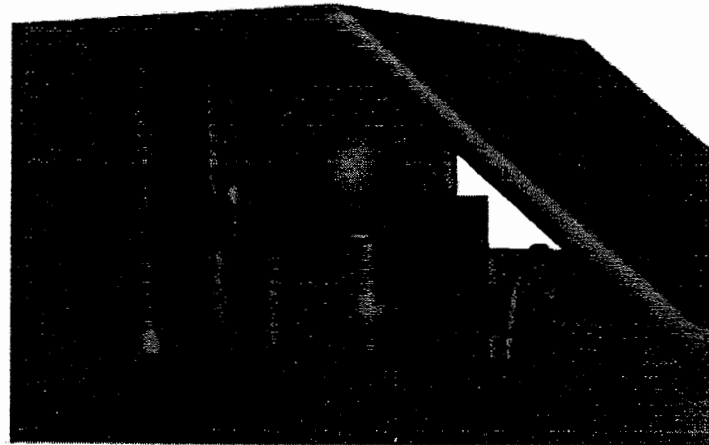
รูปที่ 6.25 ระดับແບບສีความเร็วของอากาศ (m/s) ที่ระยะ X17.5, Z4

6.4 กรณีอื่น ๆ

เป็นการทดสอบสัมประสิทธิ์แรงต้านของกรณีการใช้อุปกรณ์เสริม คือกรณีมีที่วางของล้วนบนห้องผู้โดยสาร (Upper box) กรณีติดหลังคาส่วนท้ายระบบ (Roof pick-up box) และกรณีเปิดกระจกด้านข้างรถ (Open windshield) 100 % 1 ด้าน และ 2 ด้าน ชี้งทดสอบที่ความเร็วทดสอบที่ความเร็ว 36-126 km/hr (Reynolds number $1.2 \times 10^6 - 4.4 \times 10^6$)

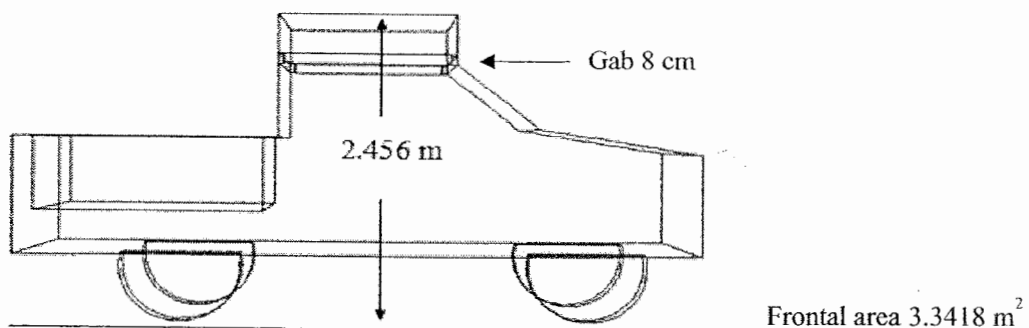
6.4.1 ลักษณะเฉพาะของรูปร่างที่ใช้ในการทดสอบ

ในกรณีของติดหลังคาส่วนท้ายระบบนั้น เป็นกรณีที่ติดตั้งอุปกรณ์เสริมด้านหลัง ชิ่งพื้นที่หน้าตัดของรถจะเท่ากันกับกรณีอื่นที่มีการทดสอบก่อนหน้านี้ โดยพื้นที่หน้าตัด (Frontal area) เท่ากับ 2.68576 m^2 เช่นเดียวกันกับกรณีเปิดกระจกด้านข้างรถ แต่ในกรณีนี้จะมีพื้นที่ว่างภายในห้องผู้โดยสาร และจะมีส่วนประกอบภายในเช่น คนขับ ที่นั่งด้านหน้า ด้านหลัง พวงมาลัย เป็นต้น เพื่อความสมจริงในการทดสอบการไหล และสังเกตการณ์หมุนวนของอากาศภายในรถ ดังรูปที่ 6.26



รูปที่ 6.26 รูปลักษณ์ภายนอกห้องผู้โดยสาร

แต่ในการทดสอบกรณีที่วางของบนห้องผู้โดยสารนั้น จะเป็นอุปกรณ์ที่ยื่นออกจากส่วนบนของตัวรถ ซึ่งจะทำให้พื้นที่หน้าตัดแตกต่างจากกรณีอื่น ๆ โดยเป็นการเพิ่มพื้นที่หน้าตัด (Frontal area) เท่ากับ 3.3418 m^2 ดังรูปที่ 6.27 ซึ่งที่วางของจะมีลักษณะเป็นกล่องสี่เหลี่ยมอยู่เหนือห้องผู้โดยสาร โดยจะมีช่องว่างระหว่างชั้นล้วน (Gap) 8 cm ซึ่งเป็นพื้นที่ว่างโดยที่อากาศสามารถไหลผ่านได้

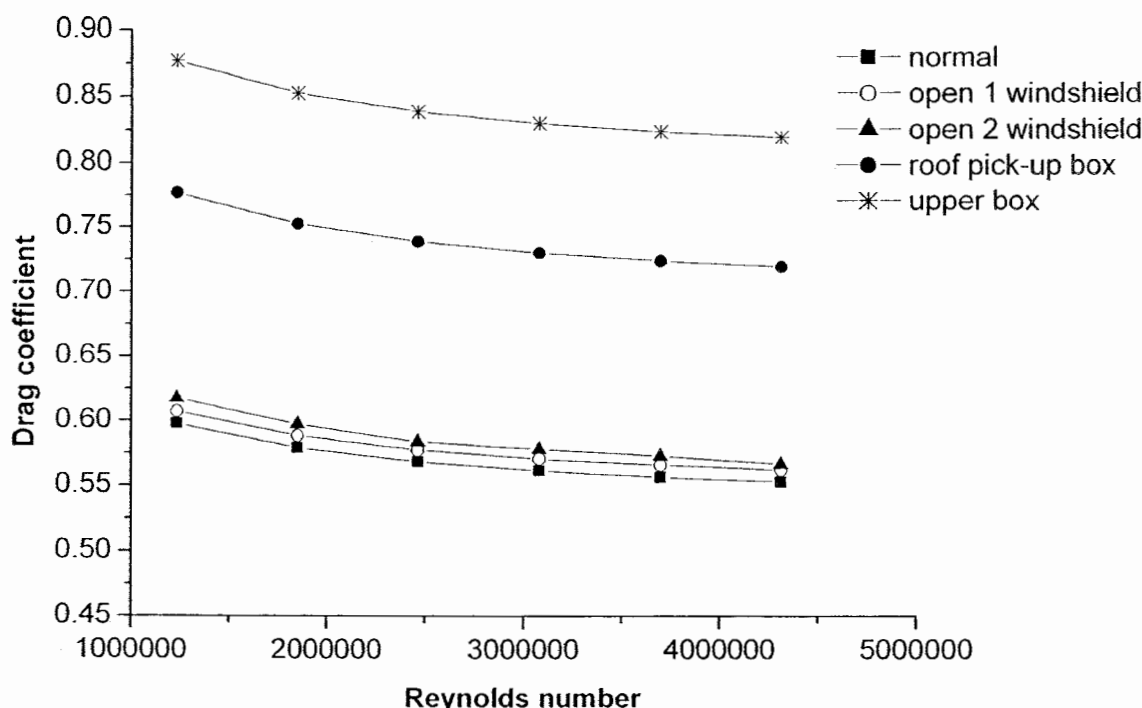


รูปที่ 6.27 กรณีที่วางของบนห้องผู้โดยสาร

6.4.2 สัมประสิทธิ์แรงต้านเทียบของกรณีต่าง ๆ

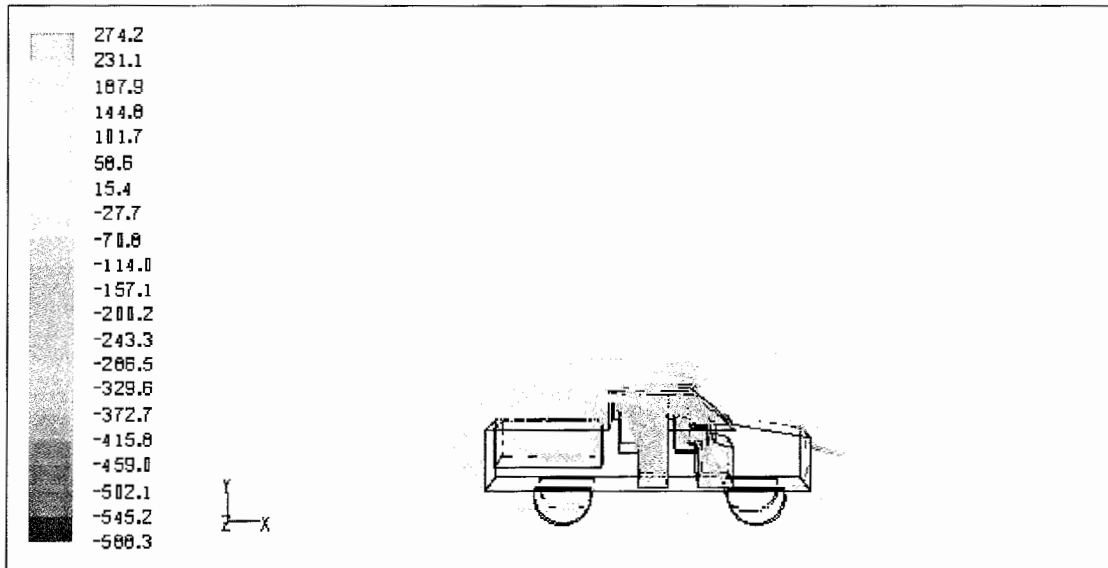
เป็นการเปรียบเทียบสัมประสิทธิ์แรงต้านกับกรณีปกติ โดยค่าสัมประสิทธิ์แรงต้านจะลดลง ตามค่า Reynolds number ที่เพิ่มขึ้น ซึ่งกรณีที่มีการติดตั้งอุปกรณ์เสริม และกรณีเปิดกระจกรถ จะให้สัมประสิทธิ์แรงต้านที่สูงกว่ากรณีปกติทุกกรณี ซึ่งกรณีที่วางของล้วนบนห้องผู้โดยสาร

จะให้ค่าสัมประสิทธิ์แรงต้านสูงสุด และกรณีอื่น ๆ จะลดลงตามรูปที่ 6.28 เนื่องจากอากาศเกิดการปะทะ และเกิดการหมุนวนของอากาศภายในห้องผู้โดยสาร ซึ่งจะทำให้เกิดการสูญเสีย ทำให้ลักษณะของการไหลของอากาศที่ไม่สมดุล ในสภาวะความดันที่ไม่คงที่

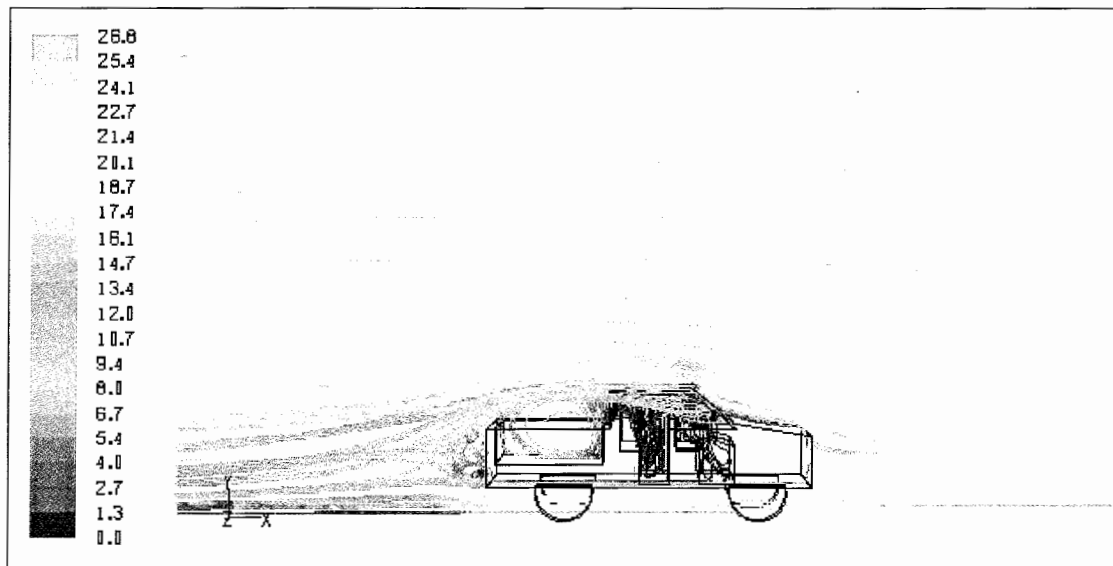


รูปที่ 6.28 แสดงค่าสัมประสิทธิ์แรงต้าน

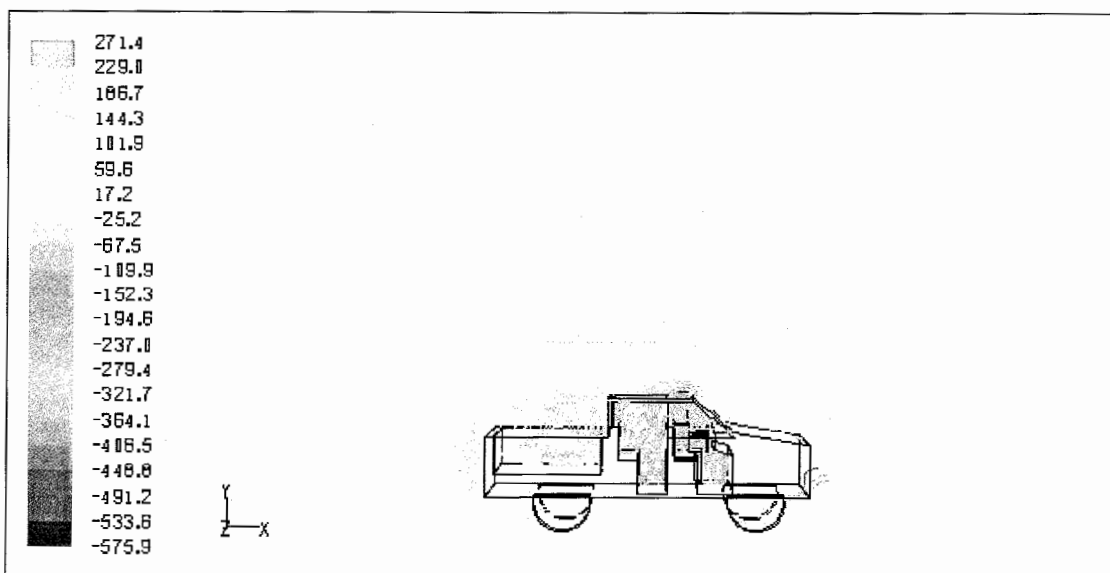
จากรูปที่ 6.29 - 6.36 เป็นการแสดงระดับແบส์ของความเร็ว และความดันที่เกิดขึ้นจากการจำลองในกรณี เปิดกระจกรถ 1 และ 2 ด้าน, กรณีมีหลังคาท้ายระบบ และกรณีมีที่วางของบนห้องผู้โดยสาร โดยแต่ละกรณี ความเร็วและความดันที่เกิดขึ้นมีความแตกต่างกัน โดยระดับสีที่เกิดขึ้นหั้งสองค่า ความเร็วและความดันจะมีระดับสีที่แปรผันผัน กัน เนื่องจากพลังงานเสดความดันที่ลดลงจะเปลี่ยนแปลงเป็นพลังงานในส่วนของเสดความเร็ว ส่วนในกรณีเปิดกระจกรถนั้น จะมีความแตกต่างจากการณีอื่นเนื่องจากอากาศสามารถไหลเข้าไปสู่ภายในห้องผู้โดยสาร ทำให้เกิดการหมุนวนภายในห้องผู้โดยสาร แต่จะมีค่าที่ต่ำกว่าด้านนอก เนื่องจากการไหลเข้าไปสู่ห้องโดยสารทำให้เกิดการสูญเสียจากการชนของอากาศ ความเร็วและความดันที่เกิดขึ้นจึงลดลงอย่างเห็นได้ชัด ส่วนท้ายระบบนั้น ทุกกรณีก็ยังเกิดการหมุนวน และเกิดการปะทะอากาศกับท้ายระบบ แต่ในกรณีมีที่วางของบนห้องผู้โดยสาร จะเกิดการหมุนวนของอากาศจากการปะทะที่รุนแรงกว่ากรณีอื่น



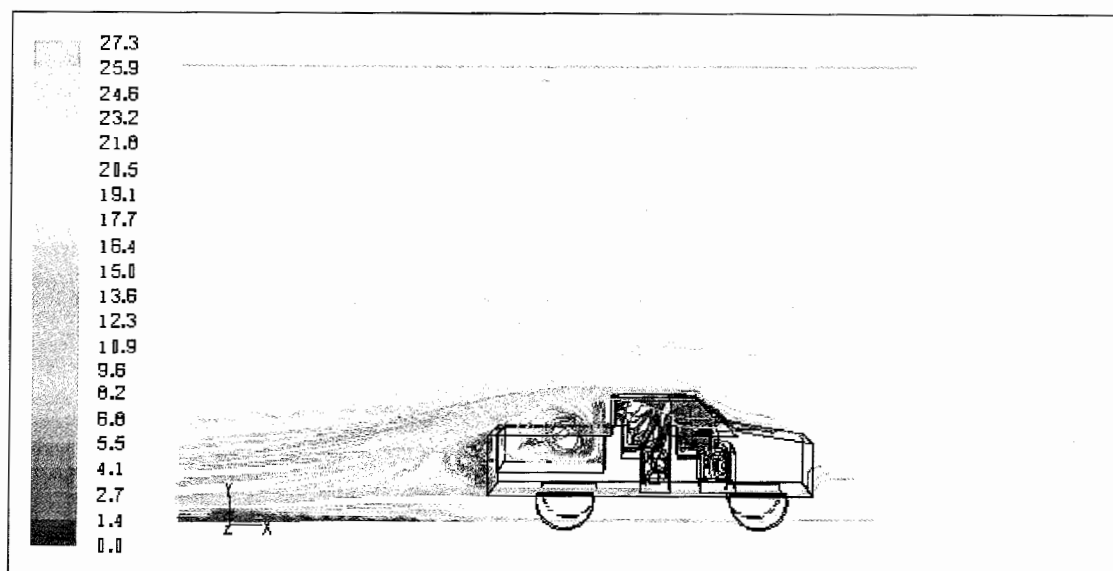
รูปที่ 6.29 เส้นระดับແນບສีความดันສົດ (pascal) ກຽມເປີດກະຈກ 1 ດ້ານ



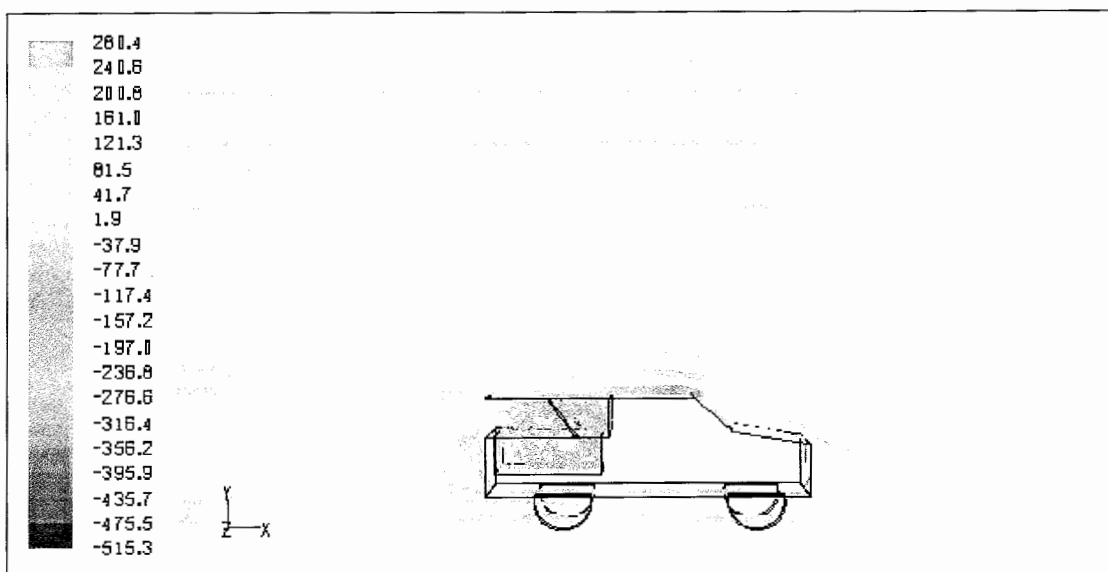
รูปที่ 6.30 เส้นระดับແນບສีความเร็ว (m/s) ກຽມເປີດກະຈກ 1 ດ້ານ



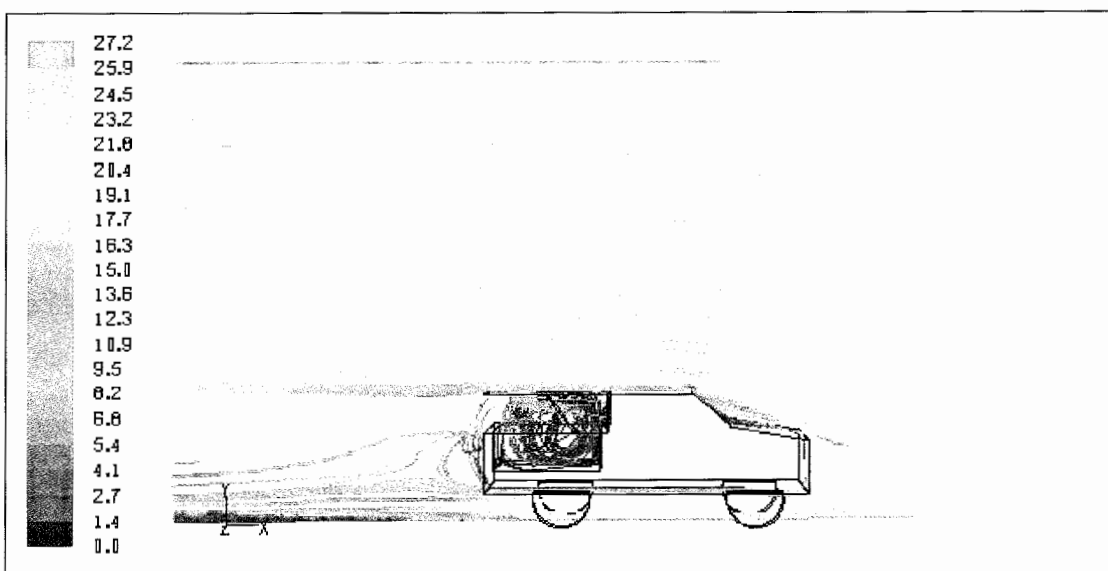
รูปที่ 6.31 เส้นระดับแบบสีความดันสถิต (pascal) กรณีเปิดกระจก 2 ด้าน



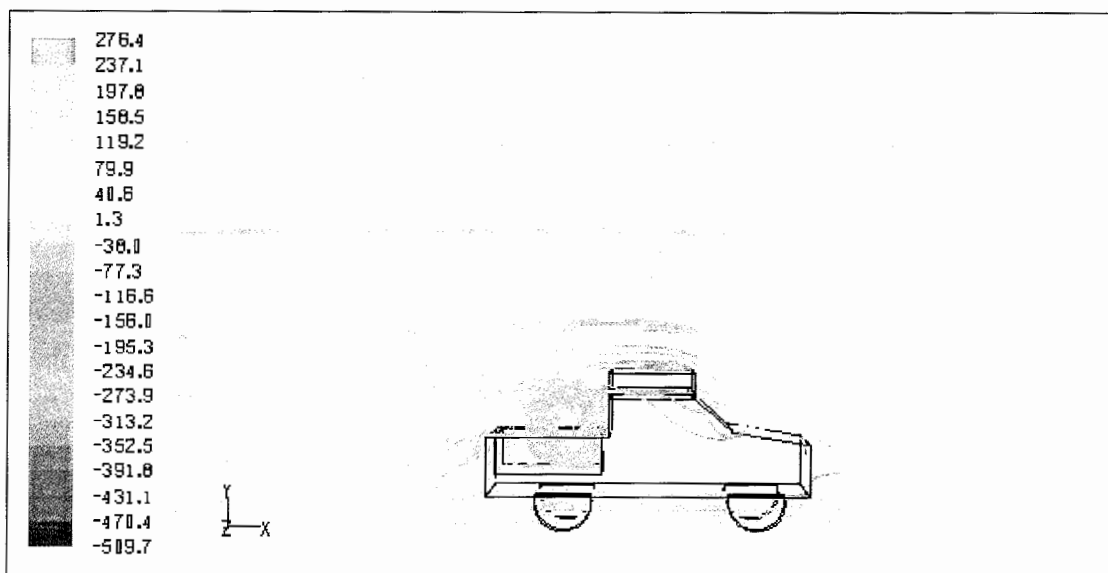
รูปที่ 6.32 เส้นระดับแบบสีความเร็ว (m/s) กรณีเปิดกระจก 2 ด้าน



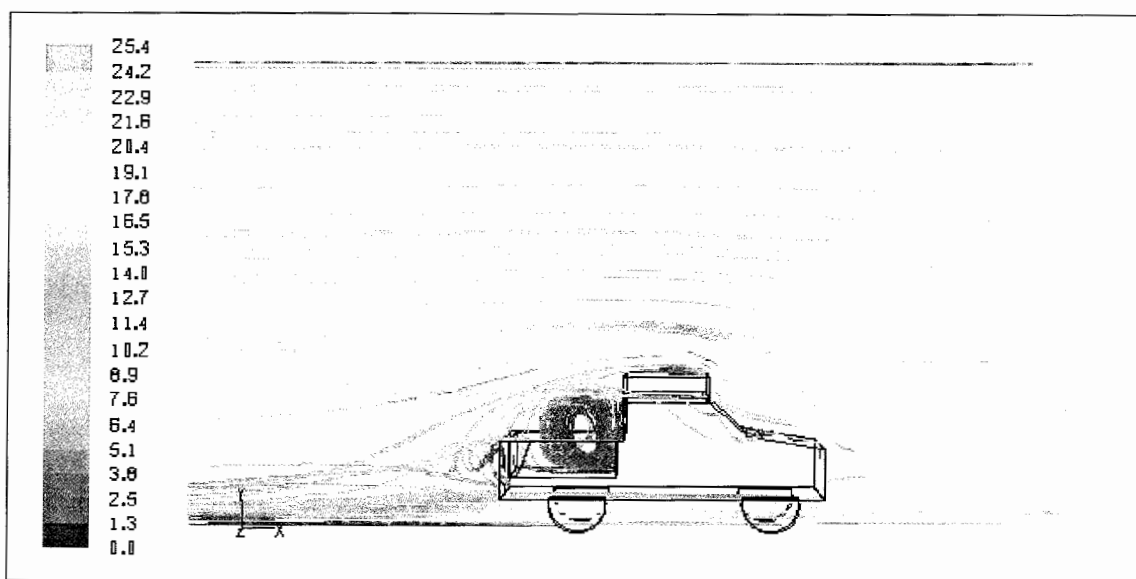
รูปที่ 6.33 เส้นระดับແຄบສีความดันສົດ (pascal) ກຽ່າລັງຄາທ້າຍກະບະ



รูปที่ 6.34 เส้นระดับແຄບສีความเร็ว (m/s) ກຽ່າລັງຄາທ້າຍກະບະ



รูปที่ 6.35 เส้นระดับແນບສีความดันสถิต (pascal) กรณีมีที่วางของส่วนบนห้องผู้โดยสาร



รูปที่ 6.36 เส้นระดับແນບສีความเร็ว (m/s) กรณีมีที่วางของส่วนบนห้องผู้โดยสาร

6.4.3 วิเคราะห์ผลการกระจายตัวของความดัน และความเร็ว

จากการเส้นกระจายความดัน ลักษณะการไหลของแต่ละกรณีมีความแตกต่างกัน โดยที่กรณีเปิดฝ่าห้ายปกติที่ใช้ในการเปรียบเทียบกับกรณีอื่น ๆ ดังที่กล่าวมาแล้วว่ารูปทรงของกรณีปกติ ทำให้อากาศที่ไหลผ่านเกิดการแยกตัว และเกิดการประทะของอากาศที่หมุนวนที่ท้ายระบบซึ่งจะแตกต่างกับกรณี

กรณีเปิดกระจกรด้านข้าง 100 % 1 ด้านโดยจะทำให้อากาศสามารถไหลเข้าสู่ห้องผู้โดยสาร และเกิดการหมุนวนกระจายทั่วห้องผู้โดยสาร เกิดการประทะระหว่างอากาศกับผนังอุปกรณ์ต่าง ๆ รวมทั้งตัวคันขับด้วย ทำให้แรงด้านสูงขึ้นกว่ากรณีที่ไม่เปิดกระจกรด้านข้าง แต่แรงด้านจะเพิ่มขึ้นไม่มาก เนื่องจากอากาศสามารถไหลเข้าห้องผู้โดยสารได้เพียงด้านเดียว ทำให้อากาศมีการระบายออกได้น้อย ดังนั้นอากาศที่ผ่านเข้ามาใหม่ก็จะไหลเข้าได้ไม่มาก

กรณีเปิดกระจกรด้านข้าง 100 % 2 ด้าน ลักษณะการไหลจะคล้ายกับการเปิดกระจกรด 1 ด้าน แต่ปริมาณของอากาศที่เข้าไปในห้องผู้โดยสารจะสูงกว่า เนื่องจากอากาศสามารถเข้าได้ 2 ช่องทาง และมีการระบายอากาศได้ดีกว่า ความแรงของอากาศที่เข้าปะทะ ส่วนประกอบภายในจะรุนแรงมากขึ้น แรงด้านและล้มประลิทอีแรงด้านที่ได้จากการทดสอบจะสูงกว่า ดังนั้นเมื่อเราขับรถหากเราเปิดกระจกร 2 ด้าน จะมีความรู้สึกการถ่ายเทอากาศได้ดี และอากาศที่ประทะร่างกายเรา จะแรงกว่าเปิดกระจกร 1 ด้าน

กรณีติดอุปกรณ์เสริมโดยการติดหลังคาท้ายระบบ ซึ่งจากภาพนั้น อากาศที่ไหลส่วนบนของรถ อากาศส่วนหนึ่งจะไหลข้ามรถเนื่องจากอากาศไม่สามารถไหลลงในส่วนท้ายระบบได้ เนื่องจากติดหลังคา ทำให้เกิดการแยกตัวของอากาศกันสูงมาก และอากาศส่วนหนึ่งจะไหลเข้าไปตรงด้านข้าง ซึ่งจะทำให้เกิดการหมุนวนและเกิดการประทะกับท้ายระบบ เสดความดัน และเสดความเร็ว ของส่วนหน้าและหลังของรถแตกต่างกันสูง ทำให้อากาศที่ไหลผ่านรถเกิดความสมดุลกันยากขึ้น สัมประสิทธิ์แรงด้านจากการทดสอบจึงสูงขึ้น

กรณีมีท่วงของส่วนบนห้องผู้โดยสาร เป็นลักษณะรูปทรงกล่องสี่เหลี่ยมที่ท่วงบนส่วนห้องผู้โดยสาร โดยอากาศที่จะไหลข้ามส่วนบนของรถ จะไปติดที่กล่องสี่เหลี่ยมทำให้เกิดแรงดันสูง และอากาศส่วนหนึ่งจะสามารถไหลออกจากช่องระหว่าง กล่องและส่วนบนของรถ สังเกตจากรูปอากาศที่เข้าปะทะที่ท่วงของแล้วไหลออก จะเป็นแอบระดับสี่ที่ความดันต่ำมาก เกิดการแยกตัวที่ตำแหน่งด้านหลัง และยังเกิดการประทะกับท้ายระบบ ดังนั้นความต่างของความดันจึงมีค่าที่สูง สัมประสิทธิ์แรงด้านที่ได้จากการทดสอบในกรณีนี้จึงสูงที่สุด

ตารางที่ 6.3 สรุปกรณ์ที่ทดสอบ

กรณีปรับปรุงท้ายระบบ (ทดสอบที่ความเร็ว 18, 36, 54, 72, 90, 108, 126 km/hr)
1. เปิดท้ายระบบปกติ
2. เปิดฝ่าท้ายระบบ
3. ไม่มีฝ่าท้ายระบบ
4. ปิดท้ายระบบ
5. ครอบท้ายระบบแบบเฉียง
6. ครอบท้ายระบบแบบตรง
กรณีวิ่งตามกัน (ทดสอบที่ความเร็ว 18, 36, 54, 72, 90, 108, 126 km/hr)
1. วิ่งตามกันที่ระยะห่าง 10 m
2. วิ่งตามกันที่ระยะห่าง 12.5 m
3. วิ่งตามกันที่ระยะห่าง 15 m
4. วิ่งตามกันที่ระยะห่าง 17.5 m
5. วิ่งตามกันที่ระยะห่าง 20 m
กรณีวิ่งเยื้องกัน (ทดสอบที่ความเร็ว 90 km/hr)
1. วิ่งเยื้องกันที่ระยะห่าง 10 m ระยะเยื้อง 1 m
2. วิ่งเยื้องกันที่ระยะห่าง 10 m ระยะเยื้อง 2 m
3. วิ่งเยื้องกันที่ระยะห่าง 10 m ระยะเยื้อง 3 m
4. วิ่งเยื้องกันที่ระยะห่าง 10 m ระยะเยื้อง 4 m
5. วิ่งเยื้องกันที่ระยะห่าง 12.5 m ระยะเยื้อง 1 m
6. วิ่งเยื้องกันที่ระยะห่าง 12.5 m ระยะเยื้อง 2 m
7. วิ่งเยื้องกันที่ระยะห่าง 12.5 m ระยะเยื้อง 3 m
8. วิ่งเยื้องกันที่ระยะห่าง 12.5 m ระยะเยื้อง 4 m
9. วิ่งเยื้องกันที่ระยะห่าง 15 m ระยะเยื้อง 1 m
10. วิ่งเยื้องกันที่ระยะห่าง 15 m ระยะเยื้อง 2 m
11. วิ่งเยื้องกันที่ระยะห่าง 15 m ระยะเยื้อง 3 m
12. วิ่งเยื้องกันที่ระยะห่าง 15 m ระยะเยื้อง 4 m
13. วิ่งเยื้องกันที่ระยะห่าง 17.5 m ระยะเยื้อง 1 m
14. วิ่งเยื้องกันที่ระยะห่าง 17.5 m ระยะเยื้อง 2 m

ตารางที่ 6.3 สรุปกรณ์ที่ทดสอบ (ต่อ)

15. วิ่งเยื้องกันที่ระยะห่าง 17.5 m ระยะเยื่อง 3 m
16. วิ่งเยื้องกันที่ระยะห่าง 20 m ระยะเยื่อง 4 m
17. วิ่งเยื้องกันที่ระยะห่าง 20 m ระยะเยื่อง 1 m
18. วิ่งเยื้องกันที่ระยะห่าง 20 m ระยะเยื่อง 2 m
19. วิ่งเยื้องกันที่ระยะห่าง 20 m ระยะเยื่อง 3 m
20. วิ่งเยื้องกันที่ระยะห่าง 20 m ระยะเยื่อง 4 m
กรณีอื่น ๆ (ทดสอบที่ความเร็ว 18, 36, 54, 72, 90, 108, 126 km/hr)
1. เปิดกระจก 1 ด้าน
2. เปิดกระจก 2 ด้าน
3. มีหลังคาท้ายระบบ
4. มีที่วางของบนห้องผู้โดยสาร

บทนี้เป็นการทดสอบสัมประสิทธิ์แรงต้านของรถบรรทุกเล็กขนาดจริง ซึ่งค่าที่ได้จากการทดสอบจะมีความแตกต่างกัน ขึ้นอยู่กับการเปลี่ยนแปลงรูปทรงของรถ ตำแหน่งหรือพลังงานที่เข้ามากระทบกับรถ ซึ่งการแยกตัวของอากาศจะเป็นตัวชี้วัดการเปลี่ยนแปลงรูปทรงว่าเป็นรูปทรงที่ดูดซับพลังงานของการไหลของอากาศมากน้อยเท่าไร ซึ่งค่าที่บ่งชี้คุณลักษณะของรูปทรงของการต้านอากาศ จะออกมากเป็นค่าของสัมประสิทธิ์แรงต้าน และในการใช้พลังงานในการขับเคลื่อนของรถไม่ใช่เพื่ออาชานะแรงต้านของอากาศเพียงอย่างเดียว แต่จะสูญเสียไปกับการเผาไหม้ของเครื่องยนต์ แรงเสียดทานระหว่างล้อกับพื้นถนน หรือน้ำเอาพลังงานมาใช้ในการปรับอากาศ แสงสว่าง และระบบอัตโนมัติเพื่ออำนวยความสะดวก ซึ่งผลของค่าสัมประสิทธิ์แรงต้านที่ได้ดังตารางที่ 6.3 – 6.6 จะนำผลเพื่อไปหาอัตราการเปลี่ยนแปลงเชื้อเพลิงในบทต่อไป

ตารางที่ 6.4 ผลทดสอบการณ์ปรับปรุงท้ายระบบ

ความเร็ว (V), km/hr	Reynolds number	แรงต้าน (F_D) ต่อส่วนเมตร, N						สัมประสิทธิ์แรงต้าน (C_D)					
		1	2	3	4	5	6	1	2	3	4	5	6
10	1,232,256	98.324	86.246	77.463	75.228	67.507	138.307	0.5977	0.5243	0.4709	0.4573	0.4104	0.8407
15	18,483,84	214,276	187.511	167.842	161.103	144.961	303.919	0.5789	0.5066	0.4535	0.4353	0.3916	0.8211
20	2,464,513	373.958	326.647	291.779	284.434	250.172	533.015	0.5683	0.4964	0.4434	0.4223	0.3801	0.8101
25	30,40,640	577.123	503.331	448.989	422.782	382.849	825.355	0.5613	0.4896	0.4367	0.4112	0.3724	0.8028
30	3,696,769	823.622	717.331	639.277	604.367	542.719	1180.764	0.5563	0.4845	0.4318	0.4082	0.3666	0.7975
35	4,312,898	1113.339	968.511	862.511	808.423	729.658	1599.126	0.5525	0.4806	0.4279	0.4011	0.3621	0.7935

ตารางที่ 6.5 ผลทดสอบการณ์วิ่งตามกํากัน

ความเร็ว (V), km/hr	Reynolds number	F_D ต้นหนาน N	F_D รดับน้ำเสียที่ระบายต่าง ๆ, N			C_D ต้นหนาน	C_D รดับน้ำเสียที่ระบายต่าง ๆ, N				
			10.0m	12.5m	15.0m		10.0m	12.5m	15.0m	17.5m	20.0m
10	1,232,256	98.324	69.480	72.164	74.14	76.795	79.646	0.5977	0.4224	0.4387	0.4507
15	18,483,84	214,276	151.992	157.745	161.95	167.730	173.734	0.5789	0.4106	0.4262	0.4375
20	2,464,513	373.958	268.02e	278.134	285.05	295.775	307.496	0.5683	0.4073	0.4227	0.4332
25	30,40,640	577.123	414.562	429.883	440.46	456.566	474.662	0.5613	0.4032	0.4181	0.4284
30	3,696,769	823.622	596.845	618.985	633.51	657.565	683.613	0.5563	0.4031	0.4181	0.4279
35	4,312,898	1113.339	810.284	840.221	856.46	892.264	931.122	0.5525	0.4021	0.4169	0.425

ตารางที่ 6.6 ผลทดสอบปั๊มน้ำเมืองกัน

ระยะทาง ในแนวแกน X (m)	แรงต้าน (F _D) ที่ความเร็ว 90 km/hr ที่ระยะห่างในแนวแกน Z (m)	ต้มประศักดิ์แรงต้าน (C _D) ที่ความเร็ว 90 km/hr ที่ระยะห่างในแนวแกน Z (m)			
		1	2	3	4
รถต้นหน้า	-	-	-	-	-
10.0	510.473	530.933	534.840	542.448	0.4965
12.5	525.690	549.851	560.029	560.029	0.5113
15.0	530.007	551.290	562.908	565.684	0.5155
17.5	546.560	559.001	564.450	570.619	0.5316
20.0	546.972	560.235	567.534	570.619	0.532

ตารางที่ 6.7 ผลทดสอบปั๊มน้ำเมืองกัน

ความเร็ว (V), km/hr	Reynolds number	แรงต้าน (F _D) แต่ละกรณี, N					ต้มประศักดิ์แรงต้าน (C _D)				
		1	2	3	4	5	1	2	3	4	5
10	1,232,256	98.324	99.887	101.572	127.868	144.323	0.5977	0.6072	0.6174	0.7773	0.8773
15	18,48,384	214.276	217.772	221.068	278.667	315.713	0.5789	0.5884	0.5973	0.7529	0.8529
20	2,464,513	373.958	380	384	486.394	552.226	0.5683	0.5775	0.5836	0.7392	0.8392
25	30,40,640	577.123	586.757	594.417	750.943	853.768	0.5613	0.5707	0.5781	0.7304	0.8304
30	3,696,769	823.622	827.569	847.865	1,072.030	1,220.205	0.5563	0.5657	0.5727	0.7241	0.8241
35	4,312,898	1,113.339	1,132.392	1,141.357	1,449.882	1,651.454	0.5525	0.5619	0.5664	0.7195	0.8195

บทที่ 7

การเปลี่ยนแปลงอัตราการสิ้นเปลืองน้ำมัน

7.1 ทฤษฎีการเปลี่ยนแปลงอัตราการสิ้นเปลืองน้ำมัน

การวัดอัตราการสิ้นเปลืองน้ำมันให้ถูกต้องและแม่นยำโดยทั่วไปแล้วทำได้ค่อนข้างยาก เว้นแต่รถยนต์เพง ๆ ที่จะมีอุปกรณ์การคำนวณอัตราการสิ้นเปลืองน้ำมันติดตั้งที่บีริเวนคอนโซล การที่ได้ทราบถึงอัตราการสิ้นเปลืองน้ำมันทำให้เราสามารถตัดสินใจขับชีรรถเพื่อให้ประหยัดน้ำมันได้อย่างถูกต้อง การวัดอัตราการสิ้นเปลืองน้ำมันทำได้ค่อนข้างยาก เนื่องจากมีตัวแปรเนื่องจากสิ่งแวดล้อมมากมาย จึงมีผู้วิจัยที่คิดค้นวิธีที่จะคำนวณอัตราการสิ้นเปลืองน้ำมันของรถบรรทุกขนาดเล็ก โดย Leuschen and Cooper ได้สร้างสูตรการคำนวณหาการเปลี่ยนแปลงอัตราการสิ้นเปลืองน้ำมัน จากการปรับปรุงด้านอากาศพลศาสตร์ของการติดตั้งอุปกรณ์เสริมของรถบรรทุกขนาดใหญ่ โดยเปรียบเทียบกับรถตันแบบที่ยังไม่มีการเปลี่ยนแปลงรูปทรงแต่อย่างใด ซึ่งจะได้นำหลักการนี้มาใช้ในงานวิจัยนี้

ซึ่งในบทนี้จะเป็นการนำเอาค่าสัมประสิทธิ์แรงต้านที่ได้จากการทดสอบในกรณีต่าง ๆ จากบทที่ผ่านมาหาค่าการเปลี่ยนแปลงอัตราการสิ้นเปลืองน้ำมัน (Fuel consumption) เพื่อที่จะได้ทราบค่าที่จริงของการลดหรือเพิ่มขึ้นของน้ำมัน จากการเปลี่ยนแปลงรูปทรง หรือรูปแบบของการวิ่งบนท้องถนนของรถบรรทุกเล็ก

7.1.1 ค่าการเปลี่ยนแปลงสัมประสิทธิ์แรงต้าน

ผลที่ได้จากการทดสอบหาสัมประสิทธิ์แรงต้านของกรณีต่าง ๆ ที่กล่าวมาสามารถนำมาหาค่าการสิ้นเปลืองน้ำมัน (Fuel consumption) จากทฤษฎีของลูสเซน โดยยึดกรณีที่ 1 ซึ่งเป็นกรณีเปิดระบบปกติ นำมาเป็นกรณีเปรียบเทียบหาค่าการเปลี่ยนแปลงของสัมประสิทธิ์แรงต้าน โดยคำนวณได้จาก

$$\Delta \overline{C}_D(V_t) = \overline{C}_D(V_t)_{baseline} - \overline{C}_D(V_t)_{modified} \quad (7.1)$$

$\Delta \overline{C}_D(V_t)$ คือค่าการเปลี่ยนแปลงของสัมประสิทธิ์แรงต้าน ที่ความเร็วที่ต้องการหา
 $\overline{C}_D(V_t)_{baseline}$ คือสัมประสิทธิ์แรงต้านของรถกรณีปกติ ที่ความเร็วที่ต้องการหา
 $\overline{C}_D(V_t)_{modified}$ คือสัมประสิทธิ์แรงต้านของกรณีที่มีการเปลี่ยนแปลงรูปทรง หรือตัวแหน่งในการวิ่ง ที่ความเร็วที่ต้องการหา

ตารางที่ 7.1 การเปลี่ยนแปลงของสัมประสิทธิ์แรงต้าน กรณีปรับปรุงท้ายระบบ

ความเร็ว (km/hr)	กรณี					
	ปกติ	ปิดฝ่าท้าย ระบบ	ไม่มีฝ่าท้าย ระบบ	ปิดท้าย ระบบ	ครอบ ระบบ แบบเฉียง	ครอบ ระบบ แบบตรง
36	-	0.0734	0.1268	0.1404	0.1873	-0.243
54	-	0.0723	0.1254	0.1436	0.1873	-0.2442
72	-	0.0719	0.1249	0.1359	0.1882	-0.2418
90	-	0.0717	0.1246	0.1521	0.1889	-0.2415
108	-	0.0718	0.1245	0.1481	0.1897	-0.2412
126	-	0.0719	0.1246	0.1514	0.1904	-0.241

ตารางที่ 7.2 การเปลี่ยนแปลงของสัมประสิทธิ์แรงต้าน กรณีวิ่งตามกัน

ความเร็ว (km/hr)	ระยะห่างในแนวแกน X (m) โดยเปรียบเทียบกับรถคันหน้า					
	0 m	10.0 m	12.5 m	15.0 m	17.5 m	20.0 m
36	-	0.1753	0.159	0.147	0.1309	0.1136
54	-	0.1683	0.1527	0.1414	0.1257	0.1095
72	-	0.161	0.1456	0.1351	0.1188	0.101
90	-	0.1581	0.1432	0.1329	0.1172	0.0996
108	-	0.1532	0.1382	0.1284	0.1122	0.0946
126	-	0.1504	0.1356	0.1275	0.1098	0.0905

ส่วนกรณีวิ่งเขียงกันนี้ จะเป็นการทดสอบที่ความเร็ว 90 km/hr ความเร็วเดียว เนื่องจาก เป็นกรณีที่ต้องการทราบแนวโน้มของการขับขี่เขียงจากแนวตรง ซึ่งใช้ขอบเขตที่กว้าง และให้เวลาในการคำนวณนาน ซึ่งจากผลดังตารางที่ 7.3 แนวโน้มจากค่าที่ได้จากการคำนวณไม่แตกต่างกันมาก จากกรณีวิ่งตามกัน

ตารางที่ 7.3 การเปลี่ยนแปลงของสัมประสิทธิ์แรงต้าน กรณีวิ่งเขียงกัน ที่ 90 km/hr

ระยะห่าง ในแนวแกน X	ระยะห่างในแนวแกน Z				
	0	1 m	2 m	3 m	4 m
0	-	-	-	-	-
10.0 m	-	0.0648	0.0449	0.0411	0.0337
12.5 m	-	0.05	0.0265	0.0166	0.0166
15.0 m	-	0.0458	0.0251	0.0138	0.0111
17.5 m	-	0.0297	0.0176	0.0123	0.0063
20.0 m	-	0.0293	0.0164	0.0093	0.0063

ตารางที่ 7.4 การเปลี่ยนแปลงของสัมประสิทธิ์แรงต้าน กรณีอื่น ๆ

ความเร็ว (km/hr)	กรณี				
	ปกติ	เปิดกระจก 1 ด้าน	เปิดกระจก 2 ด้าน	มีที่วางของ	มีหลังคาห้าม กระแส
36	-	-0.0095	-0.0197	-0.2796	-0.1796
54	-	-0.0095	-0.0175	-0.274	-0.174
72	-	-0.0092	-0.0153	-0.2709	-0.1709
90	-	-0.0094	-0.0168	-0.2691	-0.1691
108	-	-0.0094	-0.0164	-0.2678	-0.1678
126	-	-0.0094	-0.0139	-0.267	-0.167

โดยค่าที่ได้จากคำนวณการเปลี่ยนแปลงของสัมประสิทธิ์แรงต้านจากการณีต่าง ๆ ที่คำนวณ
จากตารางที่ 7.1 – 7.4 นำไปหาค่าอัตราการเปลี่ยนแปลงการสิ้นเปลืองน้ำมันจากการ

$$\Delta\mu(V_t) = \frac{\rho \times UCF \times SFC \times V_t^2 \Delta C_p(V_t) A}{0.85} \quad (7.2)$$

$\Delta\mu(V_t)$ คือการเปลี่ยนแปลงอัตราการสิ้นเปลืองน้ำมันที่ความเร็วหนึ่ง (liters/100 km)

ρ คือความหนาแน่นของอากาศ 1.225 kg/m^3

UCF คือค่าแฟคเตอร์ของการเปลี่ยนแปลงหน่วย เท่ากับ 1.072

A คือพื้นที่หน้าตัดของรถ $2.68576 \text{ (m}^2\text{)}$,
 0.85 คือค่าสัมประสิทธิ์การเคลื่อนที่ของรถคิดที่ความเร็วเฉลี่ย
 SFC คืออัตราการสิ้นเปลืองน้ำมันจำเพาะ (liters/kW-h) ซึ่งเป็นค่าที่ต้องคำนวณหาจากหัวขอต่อไป

7.1.2 การคำนวณหาค่าอัตราการสิ้นเปลืองน้ำมันจำเพาะ (SFC)

จากสมการ (6.2) ค่าที่นำไปแทนในสมการนั้นทุกค่าสามารถหาได้ ยกเว้นอัตราการสิ้นเปลืองน้ำมันจำเพาะ สามารถหาได้จากการ

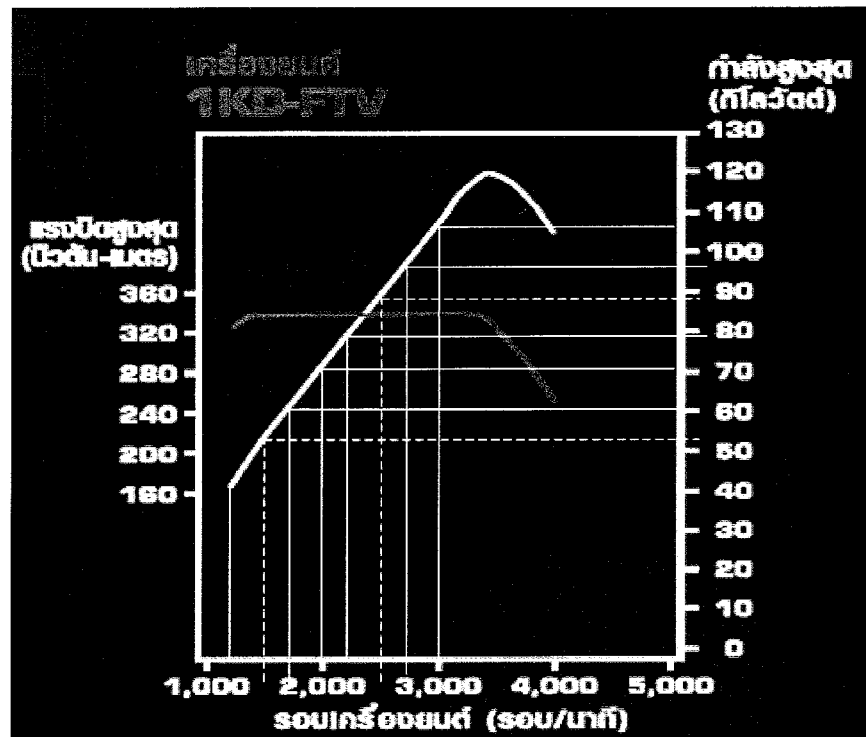
$$SFC = \frac{\rho \times Flowrate}{Horespower} \quad (7.3)$$

SFC คืออัตราการสิ้นเปลืองน้ำมันจำเพาะ (liters/kW-h)
 ρ คือความหนาแน่นของน้ำมันดีเซลเท่ากับ 0.84 kg/liters
 Flow rate คืออัตราการกินน้ำมัน (liters/hr)
 Horespower คือกำลังม้า (kW)

โดยใช้เครื่องยนต์ดีเซล คอมมอนเรลขนาดกระบอกสูบ 3.0 liters ยี่ห้อโตโยต้า วีโก้พรีรันเนอร์ ในการทดสอบ จริงเพื่อหาค่าความสัมพันธ์ระหว่างความเร็วที่ใช้ในการวิ่งกับกำลังม้า เอาไปแทนในสมการ โดยคุณสมบัติของรถบรรทุกเล็ก และเครื่องยนต์ที่ใช้ในการทดสอบดังตารางที่ 7.5

ตารางที่ 7.5 คุณสมบัติของเครื่องยนต์

ขนาดเครื่องยนต์	คอมมอนเรล ขนาด $3.0 \text{ liters DOHC 16 วาล์ว}$
แรงม้าสูงสุด	130 kW
รอบสูงสุด	$3,400 \text{ rev/min}$
แรงบิดสูงสุด	$343 \text{ N-m}/1,400-3,200 \text{ rev/min}$
ความเร็วที่ใช้ในการทดสอบ	$36 - 144 \text{ km/hr}$
ทดเกียร์	ตามรอบ และความเร็วที่เหมาะสม



รูปที่ 7.1 ความสัมพันธ์ระหว่างรอบเครื่องยนต์กับกำลังและแรงบิด

จากรูปที่ 7.1 เป็นกราฟที่ได้จากการทดสอบหากำลังสูงสุดที่ความเร็วต่าง ๆ เพื่อนำค่ามาคำนวณหาค่า อัตราสิ้นเปลืองน้ำมันจำเพาะ (SFC) โดยที่หน้าปัดบนคอนโซลรถจะบอกเป็นรอบของเครื่องยนต์ และการทดสอบนั้นเป็นลักษณะการวิ่งถนนเรียบ ทดสอบเกียร์ตามรอบและความเร็วปกติ

ตารางที่ 7.6 ค่าที่ได้จากการทดสอบ

Gear	Speeds km/hr	rev/min	Flow rate (liters/hr)	Hp (kW)	SFC (kg/kW-hr)	SFC (liters/kW-hr)
2	36	2000	7.89	72	0.0921	0.110
3	54	1600	7.48	55	0.114	0.136
4	72	1500	6.03	53	0.096	0.114
5	90	1800	6.52	65	0.084	0.100
5	108	2200	7.03	75	0.079	0.094
5	126	2600	7.22	90	0.067	0.079
5	144	2800	7.51	100	0.063	0.075

7.1.3 การคำนวณการเปลี่ยนแปลงอัตราการสิ้นเปลืองน้ำมัน

จากค่าที่ได้จากการคำนวณการเปลี่ยนแปลงสัมประสิทธิ์แรงต้าน และการทดสอบหา อัตราการสิ้นเปลืองน้ำมันจำเพาะนั้น ต้องนำมาแทนค่าในสมการที่ 7.2 เพื่อที่จะหาค่าอัตราการสิ้นเปลือง เชื้อเพลิง ในที่นี้จะเป็นการแสดงตัวอย่างการคำนวณหาอัตราการสิ้นเปลืองน้ำมัน ดังนี้คือ

จากรถปีปัจจุบันท้ายระบบโดยครอบท้ายระบบแบบเฉียง วิ่งถนนเรียบที่ความเร็ว 90 km/hr การเปลี่ยนแปลงอัตราการสิ้นเปลืองน้ำมันคือ

จากสมการที่ (7.2)

$$\Delta\mu(V_t) = \frac{\rho \times UCF \times SFC \times V_t^2 \Delta\overline{C}_D(V_t) A}{0.85}$$

จากสมการที่ (7.3)

$$SFC = \frac{\rho \times Flowrate}{Horsepower}$$

ดังนั้น

$$SFC = \frac{0.84 \times 6.52}{65} \quad \frac{(kg/lt) \times (lt/hr)}{kW}$$

$$SFC = 0.084 \quad \frac{kg}{kW - hr}$$

แปลงหน่วย

$$SFC = 0.100 \quad \frac{lt}{kW - hr}$$

จาก

$$\Delta\overline{C}_D(V_{90km/hr}) = 0.1889$$

ρ คือความหนาแน่นของอากาศ 1.225 kg/m^3

UCF คือค่าแฟคเตอร์ของการเปลี่ยนแปลงหน่วย เท่ากับ 1.072

A คือพื้นที่หน้าตัดของรถ $2.68576 (\text{m}^2)$

0.85 คือค่าสัมประสิทธิ์การเคลื่อนที่ของรถคิดที่ความเร็วเฉลี่ย

แทนค่าสมการ (7.2)

$$\Delta\mu(V_{90km/hr}) = \frac{1.225 \times 1.072 \times 0.1 \times 10^{-3} \times 8,100 \times 0.1889 \times 2.68576}{0.85} = 0.6348 (\text{liters}/100 \text{ km})$$

7.1.4 การเปลี่ยนแปลงอัตราการสิ้นเปลืองน้ำมันที่ความเร็วต่าง ๆ

จากตัวอย่างนี้แสดงว่ากรณีการปรับปรุงท้ายระบบ ครอบท้ายระบบแบบเฉียงนั้นสามารถลดอัตราการสิ้นเปลืองน้ำมันจากเดิมได้ 0.6348 (liters/100 km) ซึ่งทุกความเร็วและทุกกรณีได้คำนวณดังต่อไปนี้ โดยกำหนด (ค่าน้ำก็ออล ลับคือเพิ่มจากปกติ)

ตารางที่ 7.7 การเปลี่ยนแปลงอัตราการสิ้นเปลืองน้ำมันที่ความเร็วต่าง ๆ กรณีปรับปรุงท้ายระบบ

ความเร็ว (km/hr)	กรณี					
	ปกติ	ปิดฝาท้าย ระบบ	ไม่นีฝาท้าย ระบบ	ปิดท้าย ระบบ	ครอบ ระบบ แบบเฉียง	ครอบ ระบบ แบบตรง
36	-	0.0434	0.0749	0.0829	0.1108	-0.1437
54	-	0.1221	0.2118	0.2425	0.3163	-0.4091
72	-	0.1763	0.3062	0.3332	0.4615	-0.5929
90	-	0.2409	0.4187	0.5044	0.6348	-0.8116
108	-	0.3266	0.5664	0.6737	0.8629	-1.0972
126	-	0.3741	0.6484	0.7878	0.9908	-1.2541

ตารางที่ 7.8 การเปลี่ยนแปลงอัตราการสิ้นเปลืองน้ำมันที่ความเร็วต่าง ๆ กรณีวิ่งตามกัน

ความเร็ว (km/hr)	ระยะห่างในแนวแกน X (m) เทียบกับรถคันหน้า					
	0 m	10.0 m	12.5 m	15.0 m	17.5 m	20.0 m
36	-	0.1037	0.094	0.0869	0.0774	0.0672
54	-	0.2769	0.2513	0.2327	0.2068	0.1802
72	-	0.395	0.3572	0.3315	0.2915	0.2478
90	-	0.5313	0.4813	0.4466	0.3939	0.4376
108	-	0.6969	0.6287	0.5841	0.5095	0.4303
126	-	0.7827	0.7057	0.6635	0.5714	0.471

จากรถวิ่งเข้าหากัน เป็นกรณีคิดที่ความเร็ว 90 km/hr เพียงความเร็วเดียว ดังนั้นจึงจะข้ามในกรณีก่อน ซึ่งตารางของกรณีวิ่งเข้าหากันจะอยู่หัวข้อถัดไป

ตารางที่ 7.9 การเปลี่ยนแปลงอัตราการสิ้นเปลืองน้ำมันที่ความเร็วต่าง ๆ กรณีอื่น ๆ

ความเร็ว (km/hr)	กรณี				
	ปกติ	เปิดกระจก 1 ด้าน	เปิดกระจก 2 ด้าน	มีที่วางของ	มีหลังคาท้าย ระบบ
36	-	-0.0056	-0.0117	-0.1654	-0.1063
54	-	-0.016	-0.0296	-0.4628	-0.2864
72	-	-0.0226	-0.0375	-0.6642	-0.4191
90	-	-0.0316	-0.0565	-0.9044	-0.5684
108	-	-0.0428	-0.0746	-1.2182	-0.7635
126	-	-0.0489	-0.0723	-1.3894	-0.8692

7.1.5 การเปลี่ยนแปลงอัตราการสิ้นเปลืองน้ำมันที่ความเร็วเฉลี่ย

ในการขับขี่รถบรรทุกเล็กส่วนมากแล้วจะขับขึ้บนถนนทุก ๆ แบบ เนื่องจากการบรรทุกสิ่งของ หรือคนต้องการที่จะไปให้ถึงจุดหมายทุกที่ แม้แต่เส้นทางที่ยากลำบาก แต่จะศึกษาเฉพาะเส้นทางเรียบ และในการวิ่งในเส้นทางเรียบที่ใช้ระยะทางไกล ก็จะวิ่งด้วยความเร็วแตกต่างกัน โดยในหัวข้อนี้ จะเป็นการคำนวณหาการเปลี่ยนแปลงอัตราการสิ้นเปลืองน้ำมันที่ความเร็วเฉลี่ย โดยใช้ค่าการเปลี่ยนแปลงสัมประสิทธิ์แรงด้าน ความเร็วที่ทำการทดสอบ และอัตราการสิ้นเปลืองน้ำมันจำเพาะ นำมาเฉลี่ย และคำนวณหาค่าดังตาราง

ตารางที่ 7.10 การเปลี่ยนแปลงอัตราการสิ้นเปลืองน้ำมันที่ความเร็วเฉลี่ย กรณีปรับปรุงท้ายระบบ

กรณี	ที่ความเร็วเฉลี่ย (L/100 km)	วิ่งระยะทาง 100,000 km (L)	อัตราการสิ้นเปลือง น้ำมัน (%)
ปกติ	-	-	0 %
เปิดฝ่าท้ายระบบ	0.2139	213.9	2.62 %
ไม่มีฝ่าท้ายระบบ	0.3711	371.1	4.55 %
ปิดท้ายระบบ	0.4374	437.4	5.37 %
ครอบท้ายระบบแบบเฉียง	0.5629	562.9	6.91 %
ครอบท้ายระบบแบบตรง	-0.7181	-718.1	-8.81 %

ตารางที่ 7.11 การเปลี่ยนแปลงอัตราการสิ้นเปลืองน้ำมันที่ความเร็วเฉลี่ย กรณีวิ่งตามกัน

ระยะห่างแนวแกน X (m)	ที่ความเร็วเฉลี่ย (L/100 km)	วิ่งระยะทาง 100,000 km (L)	อัตราการสิ้นเปลืองน้ำมัน (%)
รถคันหน้า	-	-	-
10.0 (m)	0.4644	464.4	5.70 %
12.5 (m)	0.4197	479.7	5.15 %
15.0 (m)	0.3903	390.3	4.79 %
17.5 (m)	0.3418	341.8	4.19 %
20.0 (m)	0.2885	288.5	3.54 %

ตารางที่ 7.11 การเปลี่ยนแปลงอัตราการสิ้นเปลืองน้ำมันที่ความเร็วเฉลี่ย กรณีวิ่งเยื้องกัน

ระยะห่างแนวแกน X (m)	อัตราการสิ้นเปลืองที่ความเร็ว 90 km/hr (L/100 km) ที่ระยะห่างแนวแกน Z (m)					วิ่งระยะทาง 100,000 km (L)	อัตราการสิ้นเปลืองน้ำมัน (%)
	1 m	2 m	3 m	4 m	เฉลี่ย		
รถคันหน้า	-	-	-	-	-	-	-
10.0 (m)	0.2178	0.1509	0.1381	0.1133	0.1550	115.0	1.90 %
12.5 (m)	0.1681	0.0891	0.0558	0.0558	0.0922	92.2	1.13 %
15.0 (m)	0.1539	0.0844	0.0464	0.0373	0.0805	80.5	0.99 %
17.5 (m)	0.0998	0.0592	0.0413	0.0212	0.0554	55.4	0.68 %
20.0 (m)	0.0985	0.0551	0.0313	0.0212	0.0515	51.5	0.63 %

ตารางที่ 7.11 การเปลี่ยนแปลงอัตราการสิ้นเปลืองน้ำมันที่ความเร็วเฉลี่ย กรณีอื่น ๆ

กรณี	ที่ความเร็วเฉลี่ย (L/100 km)	วิ่งระยะทาง 100,000 km (L)	อัตราการสิ้นเปลืองน้ำมัน (%)
เปิดกระจก 1 ด้าน	-0.0279	-27.9	-0.34 %
เปิดกระจก 2 ด้าน	-0.0470	-47.9	-0.58 %
มีที่วางของ	-0.8007	-800.7	-9.82 %
มีหลังคาท้ายระบบ	-0.5022	-502.2	-6.12 %

จากค่าของการเปลี่ยนแปลงอัตราการลิ้นเปลืองที่คำนวณบนพื้นฐานทฤษฎีของลูสเซนในหัวข้อนี้ ทำให้ทราบอัตราการลิ้นเปลืองของการปรับปรุงด้านอาชีวศึกษาและความมั่นใจวิธีการขับขี่ที่ถูกต้องที่จะทำให้ประหยัดน้ำมัน และข้อดีอย่างหนึ่งก็คือเป็นข้อมูลที่ประชาชนทั่วสามารถสัมผัสได้จริง ซึ่งต่างจากข้อมูลในห้องทดสอบซึ่งควบคุมสภาวะแวดล้อมได้ แต่อาจจะคลาดเคลื่อนจากการขับขี่สภาวะจริง ผู้จัดจึงได้นำวิธีนี้คำนวณหาอัตราการลิ้นเปลืองเชือเพลิงของรถบรรทุกเล็ก โดยใช้ทฤษฎีดังกล่าว และการวัดจากการทดสอบการวิ่งบนท้องถนนมาประกอบกัน ดังนั้นการคำนวณอัตราการลิ้นเปลืองน้ำมันตามวิธีนี้จะมีความคลาดเคลื่อนจากความเป็นจริงบ้างเล็กน้อย

7.2 การวิเคราะห์ทางเศรษฐศาสตร์ของการปรับปรุงอาชีวศึกษา

การเปลี่ยนแปลงอัตราการลิ้นเปลือgn้ำมัน สามารถทราบถึงอัตราการเพิ่มหรือลดเงินทุนที่จะต้องจ่ายกับน้ำมันที่เราต้องใช้กับรถบรรทุกเล็กว่ามากน้อยเท่าไรขึ้นอยู่กับสภาวะด้านการตลาดของเชื้อข่ายน้ำมัน ซึ่งในปัจจุบันก็ทราบกันดีอยู่แล้วว่า เชือเพลิงที่ใช้กับรถบรรทุกเล็กที่เราใช้อยู่ เป็นเชือเพลิงปีโตรเลียม กำลังจะหมดไปในโลก และยังนับวันก็มีราคาที่สูงขึ้น ซึ่งก็เป็นสิ่งที่ต้องอยู่แล้วว่า หากกรณีที่ทำให้อัตราการลิ้นเปลือgn้ำมันลดลงก็ย่อมเป็นผลดีต่อผู้ที่นำ上来ไปปฏิบัติ แต่ต้องคำนึงก่อนว่า ก่อนที่จะมีการปรับปรุงด้านอาชีวศึกษานั้นจำเป็นต้องมีการเสียเงินทุนกับการซื้ออุปกรณ์เพื่อมาปรับแต่งรูปทรงของรถบรรทุกเล็ก ซึ่งอุปกรณ์แต่ละชิ้น แต่ละยี่ห้อก็ย่อมมีราคาที่แตกต่างกันแล้วแต่ละบุคคลที่จะนำมาใช้ โดยบางครั้งราคาที่เราซื้ออุปกรณ์เสริม หรืออุปกรณ์แต่งรถบรรทุกเล็กนั้นมา ซึ่งเชื่อว่าสามารถประหยัดค่าใช้จ่ายได้จริง แต่ในบางครั้งอายุของรถก็อาจจะหมดก่อนเวลาที่จะคุ้มทุน ดังนั้นจากข้อมูลอัตราการลิ้นเปลือgn้ำมันที่ทราบแล้วจากหัวข้อที่ผ่านมา จำเป็นต้องมาคำนวณหาราคาที่ต้องจ่ายกับค่าน้ำมัน

ซึ่งในหัวข้อนี้จะเป็นการวิเคราะห์ทางเศรษฐศาสตร์ ของการคำนวณราคาน้ำมันที่ลดหรือเพิ่มจากราคาเดิมที่ต้องจ่ายจากการณ์ปกติ ที่ไม่ได้มีการปรับปรุงด้านอาชีวศึกษา เพื่อเปรียบเทียบกับราคาอุปกรณ์ที่นำมาปรับปรุงอาชีวศึกษามาก่อน หาระยะเวลาในการคืนทุน โดยกำหนดที่ระยะเวลา 1 เดือน การใช้งานของรถบรรทุกเล็กในประเทศไทยโดยเฉลี่ยจะอยู่ที่ 3,000 km และราคาของน้ำมันดีเซล ราคาลิตรละ 42 บาท (อ้างอิงจาก กรกฎาคม 2551) ราคาอุปกรณ์เสริมที่ต้องจ่ายคิดที่ราคาท้องตลาด และเป็นอุปกรณ์ที่มีราคาถูก ดังภาพ 6.1 ความเร็วของรถที่ใช้งานคิดที่ความเร็วเฉลี่ยโดยใช้ข้อมูลจากตารางที่ 7.10 มาใช้ในการคำนวณ

ตารางที่ 7.12 การวิเคราะห์ทางเศรษฐศาสตร์ กรณีปรับปรุงท้ายระบบ

กรณี	ราคาน้ำมันจากปกติ 1 เดือน (บาท)	ราคาก่อภารณ์เสริม (บาท)	ระยะเวลาคุ้มทุน (เดือน)
ปกติ	-	-	-
เปิดฝ่าท้ายระบบ	ลด 270	-	-
ไม่มีฝ่าท้ายระบบ	ลด 468	-	-
ปิดท้ายระบบ	ลด 551	2,000	4
ครอบท้ายระบบแบบเฉียง	ลด 709	25,000	35
ครอบท้ายระบบแบบตรง	เพิ่ม 905	30,000	-



รูปที่ 7.2 ตัวอย่างของลักษณะอุปกรณ์ที่นำมาปรับปรุงด้านอากาศพลศาสตร์

บทที่ 8

สรุปผล และข้อเสนอแนะ

การปรับปรุงด้านอากาศพลศาสตร์ (Aerodynamics) มีความสำคัญอย่างหนึ่งต่อการอนุรักษ์ พลังงานของรถยนต์ในปัจจุบัน เพราะการออกแบบรถยนต์ส่วนใหญ่จะเน้นความสวยงาม ทันสมัย แต่ การอนุรักษ์พลังงานในด้านรูปร่างของรถยนต์นั้น ยังมีการศึกษาและปรับปรุงน้อยกว่าในด้าน เครื่องยนต์และกลไก โดยรูปร่างของรถเป็นปัจจัยโดยตรงต่อการเพิ่มหรือลดลงของสัมประสิทธิ์แรงต้าน (Drag coefficient) เพราะฉะนั้น หากการออกแบบรูปร่างและการปรับปรุงรูปร่างรถให้มี สัมประสิทธิ์แรงต้านที่ต่ำ ก็จะช่วยลดพลังงานในการขับเคลื่อนด้วยอัตราเร็วที่นี้ อีกทั้งประเทศไทยเป็น ประเทศที่กำลังพัฒนา มีการใช้รถยนต์เป็นจำนวนมาก และยังต้องการใช้สอยประโยชน์ในการบรรทุก สิ่งของเพื่อทำการค้าและคมนาคม รถบรรทุกเล็กหรือที่รู้จักกันคือรถปิกอัพ จึงเป็นที่นิยมในประเทศไทย ดังนั้นการพัฒนาองค์ความรู้ด้านอากาศพลศาสตร์ โดยการทดลองจึงเป็นสิ่งจำเป็น รถบรรทุกเล็กที่ใช้ กันอยู่ในประเทศไทย ถึงแม้จะมีการออกแบบที่ดี พลควรแล้ว แต่ก็อาจจะสามารถปรับปรุง หรือ ดัดแปลงให้มีแรงต้านอากาศที่ต่ำลงได้อีก เพื่อช่วยในการประหยัดพลังงาน และในการใช้งานจริง ผู้ใช้งานมักจะติดตั้งอุปกรณ์เสริมเพื่อประโยชน์อย่างอื่นหรือเพื่อความสวยงามทำให้มีการ ใช้งานที่ผิดไปจากต้นแบบอยู่เสมอ ก่อให้เกิดแรงต้านของอากาศสูง ดังนั้นจึงนำความรู้เรื่องอากาศพลศาสตร์มา ศึกษาและปรับปรุงสัมประสิทธิ์แรงต้าน โดยมีการเปลี่ยนแปลงรูปรถกษณ์ของรถ รวมไปถึงการศึกษา ปัญหา ข้อดีข้อเสีย ของการติดตั้งอุปกรณ์เสริม โดยจะทำการศึกษาทั้งด้านการทดลองโดยใช้อุโมงค์ลม แต่จะเน้นทางด้านการใช้โปรแกรม การคำนวณเชิงตัวเลขของของไหลพลศาสตร์ (Computational fluid dynamics: CFD)

8.1 สรุปผลการศึกษา

ในการทดสอบใช้อุโมงค์ลมแบบเปิด โดยอากาศไหลเข้าที่ปลายข้างหนึ่งผ่านส่วนทดสอบ แบบจำลอง (Test section) และไหลออกปลายอีกข้างหนึ่ง อาศัยมีความดันเท่ากับความดันบรรยากาศ โดยใช้พัดลมดูดอากาศที่ติดกับมอเตอร์ ขนาด 5.5 hp มีเครื่องมือควบคุมมอเตอร์ (Invertor) เพื่อปรับ ความเร็วอากาศที่ไหลผ่านส่วนทดสอบแบบจำลอง มีความเร็วที่ 5-10 m/s (18 - 36 km/hr) ใช้บาร์โรมิเตอร์ (Barometer) เป็นเครื่องมือวัดความดันและความเร็ว ใช้ทดสอบแบบจำลอง ที่ติดกับเครื่องมือ วัดแรงต้าน (Load cell) ซึ่งจะเป็นแรงที่อากาศกระทำกับวัตถุทรงกลม นำมาคำนวณหาสัมประสิทธิ์แรงต้าน จากสมการ

$$C_D = \frac{F_D}{\frac{1}{2} \rho V^2 A} \quad (8.1)$$

โดยที่ C_D คือสัมประสิทธิ์แรงต้านรวม, F_D คือแรงต้านรวมที่กระทำต่อวัตถุ (N), ρ คือความหนาแน่นของอากาศ (kg/m^3) และ A คือพื้นที่ที่ตั้งจากกับพื้นที่ทางการไหล (m^2) โดยนำผลที่ได้นำมาเปรียบเทียบกับผลทดสอบด้วยวิธีจำลองเชิงตัวเลข ซึ่งใช้สมการการคำนวณการไหล k-epsilon จำลองที่ขนาดและสภาพแวดล้อมกับการทดสอบในอุโมงค์ลม ซึ่งจากการทดสอบ สัมประสิทธิ์แรงต้านโดยอุโมงค์ลมและวิธีจำลองเชิงตัวเลข ค่าสัมประสิทธิ์แรงต้านมีค่าใกล้เคียงกัน โดยค่าที่ได้จากการทดสอบด้วยอุโมงค์ลม จะให้ผลต่างที่มีค่าสูงกว่าวิธีจำลองเชิงตัวเลข 5 % (โดยเฉลี่ย) ซึ่งได้ใช้เงื่อนไขการคำนวณ CFD ดังนี้คือ

ตารางที่ 8.1 เงื่อนไขการคำนวณ CFD

โปรแกรม GAMBIT	
ขอบเขตทางด้านเข้า (Inlet boundary condition)	Velocity inlet
ขอบเขตทางด้านออก (Outlet boundary condition)	Pressure outlet
จำนวนคริล (รูปพิรัมิด)	ประมาณ 728,644 cell
โปรแกรม FLUENT	
ระเบียบการแก้ปัญหา (Solver)	Segregated Solver
ระเบียบวิธีคำนวณ (Linearization)	Implicit method
แบบจำลองความปั่นป่วน (Turbulent model)	Standard k-epsilon (2eqn)
ระเบียบวิธีการแก้ปัญหาการไหลบริเวณใกล้ผนัง (Near-wall treatment method)	Near-wall model

โดยได้ใช้เงื่อนไขการคำนวณ นำมาจำลองการไหลของอากาศผ่านรถบรรทุกเล็ก 4 กรณีหลัก ดังนี้คือ

กรณีปรับปรุงท้ายระบบ เป็นการทดสอบแบบจำลองรถบรรทุกเล็กขนาดจริง มีขนาดพื้นที่หน้าตัด (Frontal area) เท่ากับ 2.68576 m^2 ทดสอบที่ความเร็ว 36-126 km/hr (Reynolds number $12 \times 10^6 - 4.4 \times 10^6$) โดยทดสอบรถบรรทุกเล็กที่มีการเปลี่ยนแปลงรูปร่างท้ายระบบ 6 กรณีคือ เปิดท้ายระบบปกติ (Normal pick-up box), เปิดฝ่าท้ายระบบ (Tailgate down), ไม่มีฝ่าท้ายระบบ (Tailgate off), ปิดท้ายระบบ (Covered pick-up box), ครอบท้ายระบบแบบเฉียง (Slope rear box), และครอบท้ายระบบแบบตรง (Van) โดยที่พื้นที่หน้าตัดของรถเดียวกัน จากผลการทดสอบนั้น สัมประสิทธิ์แรงต้านจะลดลงและเพิ่มขึ้นกับการเปลี่ยนแปลงการกระจายตัวของความดันด้านหน้า

และด้านท้ายกระบวนการของรถ โดยปัจจัยหลักของการออกแบบ คือเพื่อลดความดันด้านหน้า และเพิ่มความดันในด้านท้ายของรถ ดังสมการ

$$F_D = \int_{front} p \cos \theta dA - \int_{back} p \cos \theta dA \quad (8.2)$$

พบว่า กรณีครอบท้ายกระบวนการแบบเฉียง ลักษณะการไหลมีความสมดุลกันมากขึ้น จากรูปร่างท้ายกระบวนการเป็นลักษณะเปรี้ยวลม จะเกิดการแยกตัวของอากาศน้อย ทำให้การไหลด้านบน และด้านล่างมีความสมดุลกัน ทำให้มีประสิทธิ์แรงต้านลดลงและต่ำกว่าทุกกรณีข้างต้น

ตารางที่ 8.2 กรณีปรับปรุงท้ายกระบวนการ ที่ความเร็วเฉลี่ย

กรณี	อัตราการสิ้นเปลืองน้ำมัน (%)
ปกติ	0 %
เปิดฝ่าท้ายกระบวนการ	2.62 %
ไม่มีฝ่าท้ายกระบวนการ	4.55 %
ปิดท้ายกระบวนการ	5.37 %
ครอบท้ายกระบวนการแบบเฉียง	6.91 %
ครอบท้ายกระบวนการแบบตรง	-8.81 %

กรณีครอบบรรทุกเล็กวิ่งตามกัน เพื่อตรวจสอบผลสัมประสิทธิ์แรงต้านที่เปลี่ยนไปของรถคันหลัง ที่มีการเปลี่ยนแปลงความเร็ว โดยรถทั้งสองคันอยู่ห่างกันตามแนวยาว (แนวแกน X) ที่ระยะ 10, 12.5, 15, 17.5, 20 m ทดสอบที่ความเร็ว 36, 54, 72, 90, 108, และ 126 km/hr (Reynolds number 12×10^6 - 4.4×10^6) โดยความเร็วรถทั้งสองเท่ากัน โดยได้ขยายขนาดความกว้าง และความสูง ของผนังด้านข้างและด้านบนของส่วนทดสอบ เพื่อไม่ใช้มีผลกันสัมประสิทธิ์แรงต้านของรถที่ใช้ทดสอบ พบว่า ที่ระยะห่างระหว่างรถ 10 m ความเร็วที่เกิดขึ้นบริเวณด้านหน้าของรถคันหลังจะมีค่าเข้าใกล้ศูนย์ และจะเริ่มสูงขึ้นเมื่อเริ่มเข้าสู่ช่วงล่างของรถเนื่องจากความสามารถในการ抵抗แรงต้านของรถ แต่เมื่อระยะห่างของรถเพิ่มขึ้น ค่าความเร็วบริเวณนี้ก็จะสูงขึ้น แสดงว่ารถคันหลังได้รับโมเมนตัมสูงด้วยเช่นเดียวกัน และค่าความดันก็เช่นเดียวกัน ดังนั้นที่ระยะห่าง 10 m จึงเป็นระยะห่างที่ได้รับโมเมนตัมน้อยที่สุด จึงทำให้ค่าสัมประสิทธิ์แรงต้านลดลงมากที่สุดด้วย

ตารางที่ 8.3 กรณีรถบรรทุกเล็กวิ่งตามกันที่ความเร็วเฉลี่ย

ระยะห่าง	อัตราการสิ้นเปลืองน้ำมัน (%) คันหลัง
10.0 (m)	5.70 %
12.5 (m)	5.15 %
15.0 (m)	4.79 %
17.5 (m)	4.19 %
20.0 (m)	3.54 %

กรณีรถบรรทุกเล็กวิ่งเข้าหากัน เพื่อตรวจสอบผลลัมป์ประสิทธิ์แรงต้านที่เปลี่ยนไปของรถคันหลัง โดยที่รถทั้งสองอยู่ห่างกันตามแนวยาว (Distance X) ที่ระยะ 10, 12.5, 15, 17.5, และ 20 m และห่างกันตามแนวขวาง (Distance Z) 1, 2, 3, และ 4 m ทดสอบที่ความเร็ว 90 km/hr โดยความเร็วรถทั้งสองเท่ากัน และเนื่องใน ขอบเขตในการจำลองเหมือนกรณีรถวิ่งตามกันตามกัน พบร่วม ค่าลัมป์ประสิทธิ์แรงต้านเจ้มเพิ่มขึ้นตามระยะที่รถคันหลังอยู่ห่างออกไปทั้งตามแนวแกน X และแกน Z แต่จะมีค่าต่ำกว่ารถคันหน้า

ตารางที่ 8.4 กรณีรถบรรทุกเล็กวิ่งเข้าหากันที่ความเร็วเฉลี่ย

ระยะห่าง	อัตราการสิ้นเปลืองน้ำมัน (%) คันหลัง
10.0 (m)	1.90 %
12.5 (m)	1.13 %
15.0 (m)	0.99 %
17.5 (m)	0.68 %
20.0 (m)	0.63 %

กรณีอื่น ๆ เป็นการทดสอบลัมป์ประสิทธิ์แรงต้านของกรณีการใช้อุปกรณ์เสริม คือกรณีมีทวารของส่วนบนห้องผู้โดยสาร (Upper box) กรณีติดหลังคาส่วนห้ายกระดับ (Roof pick-up box) และกรณีเปิดกระจกด้านข้างรถ (Open windshield) 100 % 1 ด้าน และ 2 ด้าน ซึ่งทดสอบที่ความเร็ว ทดสอบที่ความเร็ว 36-126 km/hr (Reynolds number 1.2×10^6 - 4.4×10^6) ซึ่งกรณีที่มีการติดตั้งอุปกรณ์เสริม และกรณีเปิดกระจกด้านข้างรถ จะให้ลัมป์ประสิทธิ์แรงต้านที่สูงกว่ากรณีปกติทุกกรณี ซึ่งกรณีมีทวารของส่วนบนห้องผู้โดยสารจะให้ค่าลัมป์ประสิทธิ์แรงต้านสูงสุด และกรณีอื่น ๆ จะลดลง เนื่องจากอากาศเกิด

การปะทะ และเกิดการหมุนวนของอากาศภายในห้องผู้โดยสาร ซึ่งจะทำให้เกิดการสูญเสีย ทำให้ลักษณะของการไหลของอากาศที่ไม่สมดุล ในสภาวะความดันที่ไม่คงที่

ตารางที่ 8.5 กรณีอื่น ๆ ที่ความเร็วเฉลี่ย

กรณี	อัตราการสิ้นเปลืองน้ำมัน (%)
เปิดกระจก 1 ด้าน	-0.34 %
เปิดกระจก 2 ด้าน	-0.58 %
มีที่วางของ	-9.82 %
มีหลังคาท้ายระบบ	-6.12 %

8.2 ข้อเสนอแนะ

จากการวิจัยนี้ มีปัจจัยหลายอย่างที่ทำให้ผลการทดลองนั้นมีความคลาดเคลื่อน เนื่องจาก สภาวะในการทดสอบสัมประสิทธิ์แรงต้านของรอบรุ่กเล็กนั้นไม่สามารถกำหนดให้เหมือนสภาวะจริงได้ทุกเงื่อนไข ทั้งในการทดสอบสัมประสิทธิ์แรงต้านในอุโมงค์ลม หรือ CFD ดังนั้นในหัวข้อนี้จึง เป็นการเสนอแนวทางการแก้ไขปัญหา เพื่อให้มีการพัฒนา หรือนำปัญหาเพื่อนำไปประยุกต์ใช้ใน งานวิจัยอื่นที่เกี่ยวข้องกับด้านอากาศพลศาสตร์ ซึ่งปัญหาที่เกิดขึ้นและข้อเสนอแนะกับงานวิจัยนี้ มี ดังนี้

ปัญหาจากอุโมงค์ลม เนื่องจากอุโมงค์ลมที่ใช้ในงานวิจัยนี้ ความเร็วที่ใช้ทดสอบค่อนข้างต่ำ ซึ่งไม่สามารถที่จะเปรียบเทียบ เพื่อยืนยันความถูกต้องกับผลที่ได้จาก CFD ที่ความเร็วสูงได้ ซึ่งอาจจะ มีผลที่แตกต่างกัน เนื่องจากผนังของอุโมงค์ลม กับผนังจำลองของ CFD ไม่สามารถกำหนดให้แน่ชัด ได้ว่ามีความคล้ายคลึงกันมากเท่าไร ซึ่งอาจมีการเปลี่ยนแปลงที่ต่างกันในสภาวะที่ความเร็วของอากาศ สูงขึ้น ดังนั้นจึงต้องมีการสร้างอุโมงค์ลม ขนาด ส่วนกำลังที่ใช้ดูดอากาศที่สูงขึ้น เพื่อยืนยันความถูกต้องที่ulatory ฯ สภาวะ

ปัญหาของคอมพิวเตอร์ ซึ่งเป็นปัญหานี้ที่เกี่ยวข้องกับการคำนวณของ CFD ในกรณีการกำหนดขอบเขต และเงื่อนไขที่มีโดเมนขนาดใหญ่ และต้องการกริดที่มีความละเอียดสูง โดย คอมพิวเตอร์ที่ใช้ในงานวิจัยนี้มีค่าหน่วยความจำที่ค่อนข้างสูง แต่ก็ยังเป็นปัญหาในเรื่องของเวลาที่ใช้ ในการคำนวณค่อนข้างสูง และเป็นข้อจำกัดของการกำหนดโดเมนที่ใหญ่ขึ้น ดังนั้นในการแก้ปัญหา ควรใช้คอมพิวเตอร์ที่มีหน่วยความจำที่สูงขึ้น ซึ่งสามารถลดปัญหาที่เกิดขึ้นนี้ได้

การกำหนดขอบเขตและเงื่อนไขของ CFD ให้มีสภาวะให้เหมือนจริง 100 % นั้นเป็นสิ่งที่ เป็นไปได้ยาก โดยเฉพาะสภาวะที่มีการเปลี่ยนแปลงตามเวลาของ ความดัน อุณหภูมิ ความเร็วของ อากาศ หรือทิศทางของอากาศ ดังนั้นจำเป็นต้องมีการกำหนดเงื่อนไขเพื่อใช้ในการจำลองulatory ฯ กรณี ที่สภาวะต่างกัน เพื่อค่าที่ได้เพื่อให้ในกรณีเคราะห์จะมีความถูกต้องมากขึ้น

ความละเอียดของรูปร่างแบบจำลอง เป็นสิ่งที่ต้องคำนึง เนื่องจากแบบจำลองที่ใช้ในการจำลองนั้น รูปร่างย่อมไม่มีความแม่นยำจริงได้ 100 % ซึ่งจะทำให้ค่าที่ได้ มีความคลาดเคลื่อน ดังนั้น จึงต้องมีการสร้างแบบจำลองให้แม่นยำจริงและถูกต้องให้มากที่สุด

เอกสารอ้างอิง

- [1] กรมธุรกิจพลังงาน การนำเข้านำส่งน้ำมันดิบ พ.ศ. 2551, <http://www.doeb.go.th/information>, 21 กรกฎาคม 2551.
- [2] วินัย ศรีคำพร. กลศาสตร์ของไฟล, 2541, คณะวิศวกรรมศาสตร์ มหาวิทยาลัยขอนแก่น
- [3] D. Alexander, “Reducing drag in future vehicles”, Journal of Wind Engineering and Industrial Aerodynamics, 2000, Vol. 88, pp.120-144
- [4] W.H. Hucho, “Aerodynamics of road vehicles”, Journal of Wind Engineering and Industrial Aerodynamics, 2006, Vol. 94, pp.334-361
- [5] S.R. Ahmed, and Baumert W. “The structure of wake flow behind road vehicles”, ASME Journal of Fluids Engineering, 1979, Vol. 101, pp.201-220
- [6] S.R. Ahmed, “Influence of base slant on wake structure and drag of road vehicles”, ASME Journal of Fluids Engineering, 1983, Vol. 105, pp.429-434
- [7] A.J. Scibor, “Road vehicle aerodynamics”, 2nd Edition Pentech Press Limited ISBN-07273-1805-5, 1984.
- [8] W.H. Hucho, “Aerodynamics of road vehicles state of the art and tasks for the future”, Automotive dynamics stability and controls conference and exhibition, 2006.
- [9] F.R. Grosse, and Meier G.E.A. “Research at DLR Gottingen on bluff body aerodynamics drag reduction by wake ventilation and active flow control”, Journal of Wind Engineering and Industrial Aerodynamics, 2001, Vol. 89, pp.1201-1218
- [10] A. Prasad, and Williamson C.H.K. “A method for the reduction of bluff body drag”, Journal of Wind Engineering and Industrial Aerodynamics, 1997, Vol. 69-71, pp.155-167
- [11] C. P. Van Dam, “Recent experience with different methods of drag prediction”, Progress in Aerospace Sciences, 1999, Vol. 35, pp.751-798
- [12] H. Kwon, Park Y. Lee D. and Kim M. “Wind tunnel experiments on Korean high-speed trains using various ground simulation techniques”, Journal of Wind Engineering and Industrial Aerodynamics, 2001, Vol. 89, pp.1179-1195
- [13] B.L. Storms, “A study of Reynolds number effects and drag reduction concepts on a generic tractor trailer”, 34th AIAA Fluid Dynamics Conference and Exhibit, 2004.
- [14] J. Leuschen, and Cooper K.R. “Full-Scale Wind Tunnel Tests of Production and Prototype Second-Generation Aerodynamic Drag-Reducing Devices for Tractor-Trailers”, 2006 SAE

International, 2006, 06CV-222.

- [15] W. Kieffer, Moujaes S. and Armbya N. "CFD study of section characteristics of Formula Mazda race car wings", Mathematical and Computer Modelling, 2006, Vol. 43, pp.1275-1287
- [16] M. Tomiyama, Maeda K. and Nakamura F. "The development of a method to obtain the optimum lift coefficient using the vehicle dynamic analysis", JSAE Review, 2002, Vol. 23, pp.69-74
- [17] อาทิตย์ ฤทธิเลื่อน และ อุดมเกียรติ นนท์แก้ว. "การวิเคราะห์การไหลของอากาศรอบรถยนต์นั่ง", วารสารวิชาการประจำมหาวิทยาลัยเทคโนโลยีพระจอมเกล้าฯ พระนครเหนือ, 2546, ปีที่ 13, ฉบับที่ 2
- [18] H. Fukuda, Yanagimoto K, China H. and Nakagawa K. 1995. "Improvement of vehicle aerodynamics by wake control", JSAE Review, 1995, Vol. 16, pp.151-155
- [19] ก้อง อุทัยภาค และวงศ์รัตน์ จันทสาโร. "การพัฒนาโปรแกรมคอมพิวเตอร์สำหรับการไหลผ่านลิ้นกีดขวาง", วิศวกรรมศาสตร์ มหาวิทยาลัยเชียงใหม่, 2546, ปีที่ 10, ฉบับที่ 4
- [20] P.R. Spalart, "Strategies for turbulence modeling and simulation", International Journal of Heat and Fluid Flow, 2002, Vol. 21, pp.252-263
- [21] M. Wang, Catalano P and Laccarino G. "Prediction of high Reynolds number flow over a circular cylinder using LES with wall modeling", Center for Turbulence Research Annual Research Briefs, 2001.
- [22] S. Perzo, and Davidson L. "On CFD and transient flow in vehicle aerodynamic", SAE Technical paper, 2000, Vol. 25, pp.125-139
- [23] N. Horinouchi, "Numerical Investigation of Vehicle Aerodynamics with Overlaid Grid System", SAE 950628, 1995.
- [24] F. Muyl, Dumsa L. and Herbert V. "Hybrid method for aerodynamic shape optimization in automotive industry", Computers & Fluids, 2004, Vol. 33, pp.849-858
- [25] H. Ozawa, Nishikawa S. and Higashida D. "Development of aerodynamics for a solar race car", JSAE Review, 1998, Vol. 19, pp.343-349
- [26] S. N. Singh, Rai L. and Bhatnagar A. "Effect of moving surface on the aerodynamic drag of road vehicles", Proc. KMechE, 2002, 219: Part D
- [27] W. Simon, and Gioacchino V. "The effect of vehicle spacing on the aerodynamics of a representative car shape", Journal of Wind Engineering and Industrial Aerodynamics, 1999, Vol. 90, pp.89 – 99
- [28] K.R. Cooper, "Pickup truck aerodynamics", Journal of Wind Engineering and Industrial Aerodynamics, 2004, Vol. 92, pp.342-256

- [29] F. Browond, “Reducing aerodynamics drag and fuel consumption”, Advanced Transportation Workshop Stanford University, 2005
- [30] S. Yamamoto, Yanagimoto S. Fukuda K. China H. and Nakagawa K. “Aerodynamic influence of a passing vehicle on the stability of the other vehicles”, JSAA Review, 1997, Vol. 18, pp.39-44
- [31] จินดา เจริญพรพาณิชย์ และพงษ์ศักดิ์ คำนูล. “อัตราการลื่นเปลืองเชื้อเพลิงของรถยนต์ขนาดต่างๆ ที่วิ่งด้วยความเร็วคงที่”, การประชุมวิชาการเครือข่ายวิศวกรรมเครื่องกลแห่งประเทศไทย ครั้งที่ 19, 2548, TFM054
- [32] ปราโมทย์ เเดชะอ่าไฟ. “ระบบเบียนบีฟไนต์เอลิเม้นต์เพื่อการคำนวณพลศาสตร์ของไฟล”, สำนักพิมพ์จุฬาลงกรณ์มหาวิทยาลัย, 2545.
- [33] J. Bettle, Holloway A.G.L. and Venart J.E.S. “A computational study of the aerodynamic forces acting on a tractor-trailer vehicle on a bridge in cross-wind”, Journal of Wind Engineering and Industrial Aerodynamics, 2003, Vol. 91, pp.573
- [34] M.S. Kim, and Geropp D. “Experimental investigation of the ground effect on the flow around some tow-dimensional bluff bodies with moving-belt technique”, Journal of wind Engineering and Industrial Aerodynamics, 1998, Vol. 74-76, pp.511-519
- [35] J.P. Pinelli, Subramanian C. and Plamondon M. “Wind effects on emergency vehicles”, Journal of Wind Engineering and Industrial Aerodynamics, 2004, Vol. 92, pp.663-685
- [36] J. Robert, “Development of pneumatic aerodynamic devices to improve the performance economic and safety of heavy vehicles”, SAE Technical paper series, 2001, Vol. 90, pp.120-139
- [37] T. Nouzawa, “Unsteady-wake analysis of the aerodynamic drag of a notchback model with critical afterbody geometry”, SAE-92020, 1992.

ภาคผนวก

ภาคผนวก

ผลงานตีพิมพ์ที่เกี่ยวข้องกับงานวิจัย

- กุลเชษฐ์ เพียรทอง, ปรัชญา มุขดา และวิระพันธ์ สีหานาม. “การลดลงของสัมประสิทธิ์แรงด้านของรถบรรทุกเล็กกรณีวิ่งตามกัน,” วารสาร ม.อบ. 11(1) : มกราคม-เมษายน, 2552.
- ปรัชญา มุขดา, กุลเชษฐ์ เพียรทอง และวิระพันธ์ สีหานาม. “อาณาค พลศาสตร์เพื่อการประหยัดพลังงานสำหรับรถยนต์บรรทุกขนาดเล็กโดยวิธีจำลองเชิงตัวเลข,” ใน การประชุมวิชาการเครือข่ายวิศวกรรมเคมีและเคมีภัณฑ์แห่งประเทศไทย ครั้งที่ 21. น.231-237. โรงเรียนนายเรืออากาศ, 2550.
- ปรัชญา มุขดา, กุลเชษฐ์ เพียรทอง และวิระพันธ์ สีหานาม. “อาณาค พลศาสตร์ของรถบรรทุกเล็กโดยวิธีจำลองเชิงตัวเลข,” ใน การประชุมวิชาการระดับบัณฑิตศึกษา คณะวิศวกรรมศาสตร์ ครั้งที่ 1. น.87-95. มหาวิทยาลัยอุบลราชธานี, 2551.
- ปรัชญา มุขดา, กุลเชษฐ์ เพียรทอง และวิระพันธ์ สีหานาม. “อาณาค พลศาสตร์ของรถบรรทุกเพื่อการประหยัดพลังงานโดยวิธีจำลองเชิงตัวเลข,” ใน การประชุมวิชาการเครือข่ายพลังงานแห่งประเทศไทย ครั้งที่ 4. น.543-553. มหาวิทยาลัยศิลปากร, 2551.
- ปรัชญา มุขดา, กุลเชษฐ์ เพียรทอง และวิระพันธ์ สีหานาม. “การลดลงของสัมประสิทธิ์แรงด้านกรณีวิ่งตามกันของรถบรรทุกเล็กโดยวิธีจำลองเชิงตัวเลข,” ใน การประชุมวิชาการเครือข่ายวิศวกรรมเคมีและเคมีภัณฑ์แห่งประเทศไทย ครั้งที่ 22. น.225-237. มหาวิทยาลัยธรรมศาสตร์, 2551.
- ปรัชญา มุขดา และกุลเชษฐ์ เพียรทอง. “การศึกษาอาณาค พลศาสตร์ของรถยนต์บรรทุกเล็กโดยการจำลองเชิงตัวเลข,” ใน การประชุมวิชาการวิศวกรรมยานยนต์แห่งประเทศไทย ครั้งที่ 3. น.129-137. ศูนย์นิทรรศการและการประชุมไป因地, 2550.

การลดลงของสัมประสิทธิ์แรงต้าน ในกรณีวิ่งตามกันของรถบรรทุกเล็ก

Reduction of drag coefficient of the trail pick-up truck

กุลเชษฐ์ เพียรทอง ปรัชญา มุขดา และวิระพันธ์ สีหานาม

คณะวิศวกรรมศาสตร์ มหาวิทยาลัยอุบลราชธานี

Kulachate Pianthong Prachya Mukda and Wirapan Seehanam

Faculty of Engineering, Ubon Ratchathani University.

บทคัดย่อ

งานวิจัยนี้เป็นการศึกษาจากศาสตราจารย์ ในการวิ่งตามกันของรถบรรทุกเล็กห้องผู้โดยสาร 2 ตัน เพื่อศึกษาการลดลงของสัมประสิทธิ์แรงต้าน (C_D) โดยวิธีคำนวณของไอลพลดศาสตร์ (CFD) ใช้ซอฟแวร์ Fluent จำลองแบบ 3 มิติ ในการศึกษาขั้นต้น ใช้อุโมงค์ลมความเร็วต่ำร่วมกับ CFD ทดสอบแบบจำลองรถบรรทุกเล็ก ที่ความเร็วระหว่าง 18 - 43 km/hr เพื่อเปรียบเทียบและยืนยันผล ก่อนที่จะทดสอบรถขนาดจริงด้วยวิธีจำลองเชิงตัวเลข ที่ความเร็ว 36 – 126 km/hr เพื่อศึกษาการลดลงของสัมประสิทธิ์ต้าน ของรถคันหลังที่วิ่งห่างจากคันหน้าที่ระยะห่างต่างกัน พบว่า ที่ระยะห่าง 10 m อัตราการสิ้นเปลืองเชื้อเพลิงลดลงจากวิ่งปกติคันเดียว 6.52 % (ที่ความเร็วเฉลี่ย) และกรณีรถวิ่งเขียงกันพบว่า รถคันหลังที่วิ่งห่างที่ระยะ 10 m และเขียง 1 m อัตราการสิ้นเปลืองเชื้อเพลิงของรถคันหลังลดลง 1.90 % (ที่ความเร็วเฉลี่ย)

คำสำคัญ สัมประสิทธิ์แรงต้าน รถบรรทุกเล็ก คำนวณของไอลพลดศาสตร์

Abstract

This research aims to investigate the aerodynamic of the trailing cab pick-up truck. The drag coefficient (C_D) is the main focus by using Computational Fluid Dynamics (CFD) technique. The commercial software, FLUENT, is employed in three dimensional (3D) model. The low speed wind tunnel was used to test to model of pick-up truck at velocity between 18 – 43 km/hr, the results was then validated with CFD simulation. Then the full size of pick-up truck was simulated by CFD at velocity between 36 – 126 km/hr. In this study, the C_D of the trail car at different distance is investigated. It was found that, at the trailing distance of 10 m, the fuel consumption trail car can be reduced by 6.52 % averagely. In another case, when the trail car is running accentricly, the traily distance of 10 m and accentric distance of 1 m, gives the result which the fuel consumption can be reduced by 1.90 %.

Keywords: drag coefficient, pick-up truck, computational fluid dynamic

บทนำ

การออกแบบรูปร่างรถยนต์ให้เหมาะสม เป็นการทำให้รถยนต์วิ่งผ่านอากาศด้วยแรงต้านลดลง การประกอบชิ้นส่วนที่มีส่วนสำคัญ เช่น การประกอบหน้าต่างและขอบที่แนบสนิทพอดี รวมถึงการติดตั้งอุปกรณ์เสริมรถ เช่น อุปกรณ์ควบคุมกระแสลม (Spoiler) ด้านหลังล้อหน้าและล้อหลัง แผ่นกันได้ท้องรถที่ทำให้ส่วนประกอบของโครงสร้างไม่ขวางการไหลของอากาศ แม้แต่ อุปกรณ์ควบคุมกระแสลมหลัง เพื่อลดความปั่นป่วนเมื่ออากาศวิ่งผ่าน อุปกรณ์เหล่านี้สามารถลดแรงต้านอากาศ โดยใช้องค์ความรู้ด้านอากาศพลศาสตร์ หรือ Aerodynamics ซึ่งเป็นสิ่งสำคัญของการออกแบบรถยนต์ ใน การทดสอบ คันกว่า และการวิจัย จะต้องมีการนำโมเดลทั้งแบบจำลองและแบบขนาดจริง เข้าไปทดสอบในอุโมงค์ลมเพื่อตรวจสอบหาค่าต่างๆ ซึ่งเป็นการสืบเปลืองทุน อุปกรณ์ และเวลาในการทดสอบ ปัจจุบันได้มีการใช้วิธีคำนวณเชิงตัวเลขของไอลพลศาสตร์ หรือ CFD (Computation Fluid Dynamic) ซึ่งเป็นเครื่องมือที่สามารถแสดงผลได้แบบ 3 มิติ ช่วยให้เห็นภาพการเคลื่อนที่ของกระแสอากาศ และผลที่เกิดกับรถยนต์ได้ชัดเจน

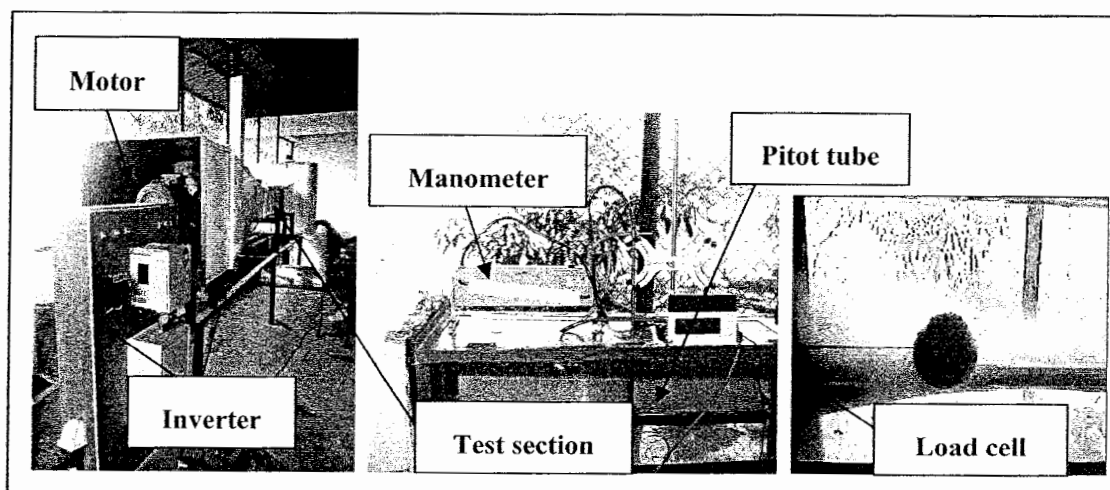
Spalart (2000) กล่าวว่า การคำนวณของไอลพลศาสตร์ หรือวิธีจำลองเชิงตัวเลข นิยมใช้ซอฟต์แวร์ FLUENT สำหรับการจำลองการไอลแบบรานเรียนอัดตัวไม่ได้ โดยวิธีปริมาตรจำกัด (Finite volume) เริ่มต้นจากการทดสอบไอลผ่านแบบจำลองใน 2 มิติ ซึ่งผลที่ได้จากการจำลอง มีแนวโน้มการเกิดการแยกตัวของอากาศบริเวณส่วนหลังของแบบจำลอง ใกล้เคียงกับผลการทดสอบในอุโมงค์ลมที่ Reynolds number ต่ำ แต่เมื่อ Reynolds number ที่ใช้ในการจำลองมีค่ามากขึ้น ค่าที่ได้จากการคำนวณมีความคลาดเคลื่อนจากการทดสอบในอุโมงค์ลม เนื่องจากการทดสอบในอุโมงค์ลมมีลักษณะการไอลเป็น 3 มิติ จึงได้มีการพัฒนาการจำลองการไอลแบบ 3 มิติ Horinouchi (1995) และ Van Dam (1999) ได้นำแบบจำลองเพื่อทดสอบสัมประสิทธิ์แรงด้านของการติดตั้งอุปกรณ์เสริมของรถยนต์ ใช้ศึกษาความล้าดเฉียงด้านข้างของรูปทรงท้ายรถยนต์ และชายหน้า ที่ติดใต้บังโคลน ใช้สมการนาเวียร์-สโตค สำหรับการไอลแบบรานเรียน ผลที่ได้สอดคล้องกับการทดสอบในอุโมงค์ลม ซึ่งค่าสัมประสิทธิ์แรงด้านจะลดลงเมื่อค่าความล้าดเฉียงเพิ่มขึ้น เนื่องจากความดันที่ส่วนหลังของแบบจำลองมีค่าสูงขึ้น และค่าสัมประสิทธิ์แรงด้านจะลดลงเช่นกันเมื่อมีการติดชายหน้า ซึ่งเป็นอุปกรณ์ที่นำไปสู่การไอลแบบรานเรียน Prasad et al. (1997) พบว่า แรงด้านส่วนใหญ่ของตัวรถ มาจากเทอมของความดันที่แยกตัวออกจากผิวนอก สัมประสิทธิ์แรงด้าน 40 เปอร์เซ็นต์ จะเพิ่มอยู่กับรูปทรงภายนอกและส่วนใหญ่จะเกิดขึ้นที่ท้ายรถ โดยสัมประสิทธิ์แรงด้านจะไม่มีผลจากรูปร่างหน้ารถ แต่แรงด้านส่วนใหญ่จะมาจากการไอลปื้นป่วนด้านท้าย Muyl et al. (2004) และ Grosche (2001) กล่าวว่า ในรถยนต์ทุกชนิดในปัจจุบันนี้ เป็นไปไม่ได้เลยที่จะไม่ใช้เกิดการไอลปื้นป่วนด้านท้าย โดยเฉพาะรถบรรทุกที่มีขนาดใหญ่ เพราะรูปทรงมีพื้นที่หน้าตัดขนาดใหญ่ และไม่มีลักษณะลุ่ม จะทำให้อากาศเกิดการแยกตัว เกิดการไอลแบบปื้นป่วนด้านท้ายมาก ซึ่งทำให้ค่าแรงด้านสูง แต่อากาศด้านท้ายที่เกิดจากการแยกตัวนี้ ความดันที่เกิดจากการเคลื่อนที่ (Dynamics Pressure) จะลดลง จึงได้มีการทดสอบให้รถบรรทุกขนาดใหญ่ 2 คัน วิ่งตามกัน โดย Browand (2005) พบว่า อัตราการสิ้นเปลืองเชื้อเพลิงของรถคันหลังลดลงกว่าคันหน้า และในการทดสอบรถแข่งของการจำลอง CFD บังสนารถจำลองสิ่งที่เกิดขึ้นกับด้านท้ายของรถคันหน้า ซึ่งการอาศัยองค์ความรู้ด้านอากาศพลศาสตร์ น่าวิเคราะห์ สามารถเห็นประযุชน์ที่รถคันหลังได้รับอย่างชัดเจน เพราะแรงด้านของอากาศของรถคันหลังจะลดลง โดยกระแสอากาศที่ไอลผ่านได้ท้องรถคันหลังจะลดลง ประการสำคัญแรงดูดของกระแสลมด้านท้ายของรถคันหน้าจะทำให้รถคันตามมีความเร็วเพิ่มขึ้น

จึงได้นำหลักการที่กล่าวมา มาประยุกต์ใช้กับงานวิจัยนี้ โดยเป็นการทดสอบรถบรรทุกเล็กห้องผู้โดยสาร 2 ตอน ซึ่งเป็น yanพาหนะที่นิยมใช้มากที่สุดในประเทศไทย มาทดสอบเพื่อเปรียบเทียบสัมประสิทธิ์แรงด้าน ในกรณีวิ่งตามกัน โดยรถทั้งสองคัน วิ่งตามกันแนวยาว และแนวเยื้อง ที่

ระยะห่างต่าง ๆ โดยใช้ CFD เป็นเครื่องมือในการทดสอบ เพื่อเป็นแนวทางในการลดค่าสัมประสิทธิ์แรงต้าน และลดอัตราการสิ้นเปลืองเชื้อเพลิง โดยใช้ทฤษฎีของ Leuschen (2006) เพื่อหาจากการเปลี่ยนแปลงของสัมประสิทธิ์แรงต้านจากกรณีปกติ ที่ความเร็วต่าง ๆ ที่ได้จากการทดสอบในอุโมงค์ลม พร้อมทั้งเสนอแนวทางแก้ไข วิธีการขับขี่ที่เหมาะสม

วิธีดำเนินการวิจัย

1. เปรียบเทียบสัมประสิทธิ์แรงต้านของทรงกลม โดยการทดสอบในอุโมงค์ลม และ CFD

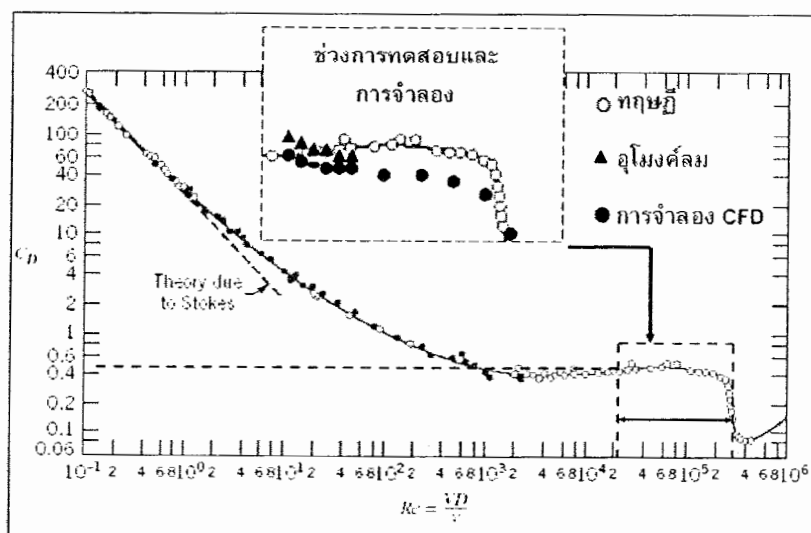


รูปที่ 1 ชุดทดสอบสัมประสิทธิ์แรงต้าน (อุโมงค์ลม)

ในการทดสอบใช้อุโมงค์ลมแบบเปิด โดยอากาศไหลเข้าที่ปลายข้างหนึ่งผ่านส่วนทดสอบแบบจำลอง (Test section) แล้วไหลออกปลายอีกข้างหนึ่ง อาคารมีความดันเท่ากับความดันบรรยายอากาศ โดยใช้พัดลมดูดอากาศที่ติดกับมอเตอร์ ขนาด 5.5 hp มีเครื่องมือควบคุมมอเตอร์ (Inverter) เพื่อปรับความเร็วอากาศที่ไหลผ่านส่วนทดสอบแบบจำลอง มีความเร็วที่ 5 ถึง 10 m/s (18 - 36 km/hr) ใช้маномิเตอร์ (Manometer) เป็นเครื่องมือวัดความดันและความเร็วอากาศ แสดงในรูปที่ 1 ซึ่งใช้ทดสอบสัมประสิทธิ์แรงต้านของวัตถุทรงกลม เส้นผ่านศูนย์กลาง 0.1 m ที่ติดกับเครื่องมือวัดแรงต้าน (Load cell) ซึ่งจะเป็นแรงที่อากาศกระทำกับวัตถุทรงกลม นำมาคำนวณหาสัมประสิทธิ์แรงต้าน จากสมการ

$$C_D = \frac{F_D}{\frac{1}{2} \rho V^2 A} \quad (1)$$

โดยที่ C_D คือสัมประสิทธิ์แรงต้านรวม, F_D คือแรงต้านรวมที่กระทำต่อวัสดุ (N), ρ คือความหนาแน่นของอากาศ 1.225 kg/m^3 และ A คือพื้นที่ที่ตั้งจากกันทิศทางการไหล (m^2) โดยผลที่ได้นำมาเปรียบเทียบกับผลทดสอบด้วยวิธีจำลองเชิง จำลองที่ขนาดและสภาพแวดล้อมกับการทดสอบในอุโมงค์ลม ซึ่งจากการทดสอบสัมประสิทธิ์แรงต้านโดยอุโมงค์ลมและวิธีจำลองเชิงตัวเลข ค่าสัมประสิทธิ์แรงต้านมีค่าใกล้เคียงกัน โดยค่าที่ได้จากการทดสอบด้วยอุโมงค์ลม จะให้ผลต่างที่มีค่าสูงกว่าวิธีจำลองเชิงตัวเลขประมาณ 5 เท่า (โดยเฉลี่ย) ซึ่งจะแสดงค่าสัมประสิทธิ์แรงต้านจากการทดสอบทั้งสองแบบ และเปรียบเทียบกับทฤษฎี แสดงในรูปที่ 2

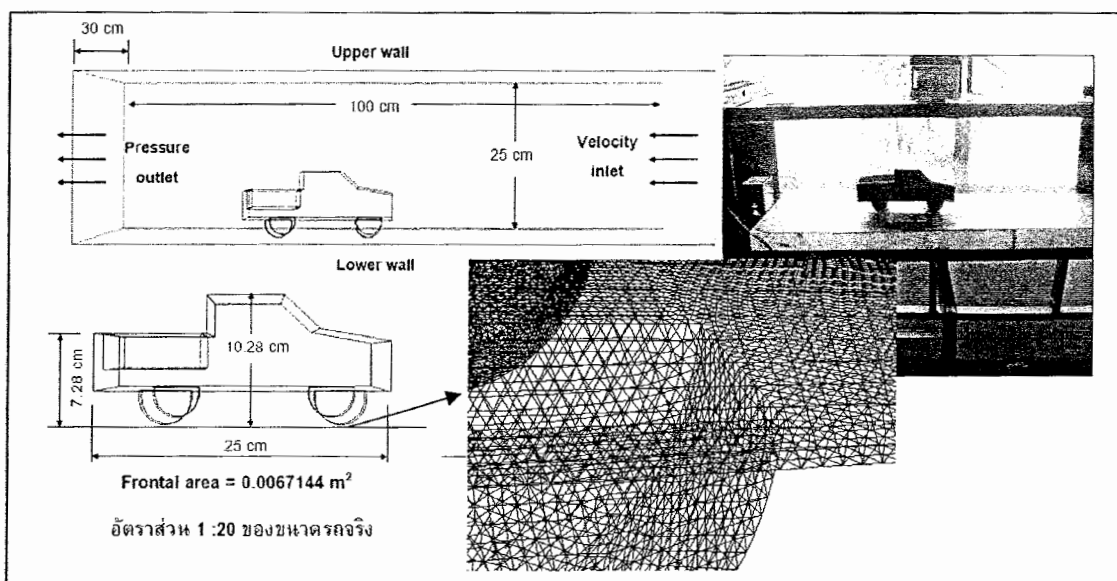


รูปที่ 2 การเปรียบเทียบผลทดสอบสัมประสิทธิ์แรงต้าน (C_D)

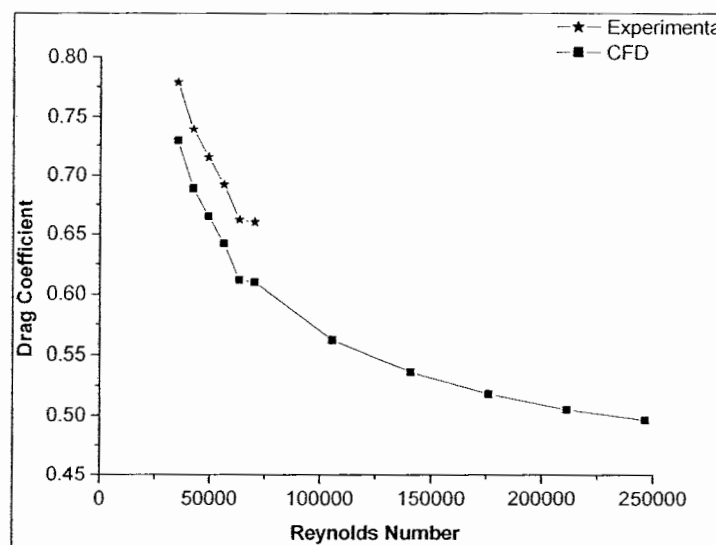
จากรูปที่ 2 เป็นการทดสอบสัมประสิทธิ์แรงต้านของทรงกลมในอุโมงค์ลม และ CFD เปรียบเทียบกับทฤษฎีอยู่ในช่วง Reynolds number เท่ากับ $2.2 \times 10^4 - 3.0 \times 10^5$ ซึ่งค่าสัมประสิทธิ์แรงต้านจะลดลง เมื่อ Reynolds number สูงขึ้น เนื่องจากอิทธิพลของความหนืดที่ผิวทรงกลมกับอากาศ ลดลง ผิวทรงกลมจะได้รับผลจากความดันอากาศเพิ่มขึ้น โดยการทดสอบทั้งสองแบบมีค่าใกล้เคียงกัน กับทฤษฎี ซึ่งสามารถนำสภาวะการไหล สมการการคำนวณ ชนิดและจำนวนคริติก ไปทดสอบแบบจำลองระบบ流体ทุกเล็กเพื่อตรวจสอบสัมประสิทธิ์แรงต้านต่อไป

2. การทดสอบสัมประสิทธิ์แรงด้าน รอบรุกทุกเล็กแบบจำลอง

การทดสอบแบบจำลองในอุโมงค์ลม ใช้วัสดุทำจากโฟม แบบจำลองมีอัตราส่วน 1:20 ของขนาดจริง มีขนาดพื้นที่หน้าตัด (Frontal area) เท่ากับ 0.0067144 m^2 ทดสอบที่ความเร็ว 18 - 36 km/hr โดยทดสอบความถูกต้องวิธีจำลองเชิงตัวเลข โดยใช้ขนาดแบบจำลอง และ Test section เท่ากัน เพื่อเปรียบเทียบผลก่อนที่จะทดสอบขนาดจริงด้วยวิธีจำลองเชิงตัวเลข ดังรูปที่ 3



รูปที่ 3 ขนาดของแบบจำลอง กริด และลักษณะการทดสอบในอุโมงค์ลม และ CFD



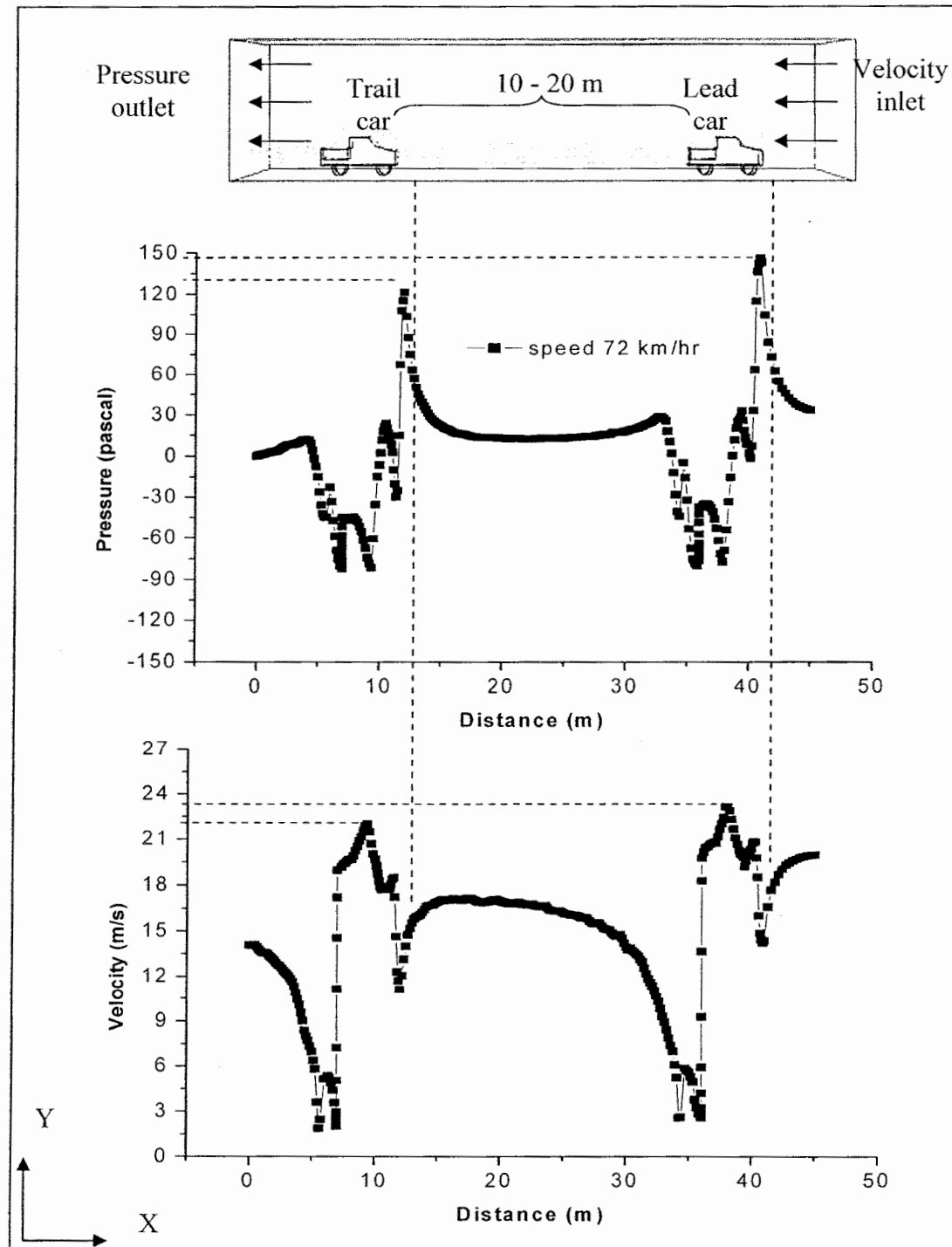
รูปที่ 4 สัมประสิทธิ์แรงต้านของแบบจำลองระบบราชทวีศึก ในอุโมงค์ลม และ CFD

รูปที่ 4 เป็นค่าสัมประสิทธิ์แรงด้านของแบบจำลองของร牋ทุกเล็ก ซึ่งสัมประสิทธิ์แรงด้าน จะลดลงเมื่อค่าความเร็วหรือ Reynolds number เพิ่มขึ้น เมื่อเทียบกับการทดสอบวัตถุทรงกลม โดยค่าที่ได้จากการทดสอบในอุโมงค์ลมจะมีค่าสูงกว่าวิธีจำลองเชิงตัวเลข ซึ่งมีความแตกต่างไม่เกิน 5 เปอร์เซ็นต์ เนื่องจากความกว้างของ Test section ในอุโมงค์ลม ทำให้สภาวะการไหลไม่คงที่ เช่น ความเร็ว ความดัน ความหนืด เมื่ออากาศไหลผ่านช่วงการทดสอบแบบจำลอง จะให้ความเร็วสูงขึ้น ความหนืดของอากาศมีผลกับผนังของส่วนทดสอบ ทำให้สัมประสิทธิ์แรงด้านที่ใช้อุโมงค์ลมสูงกว่าวิธีจำลองเชิงตัวเลข ซึ่งเป็นค่าที่ยอมรับได้ ที่จะนำข้อมูลและเงื่อนไขในการจำลองมาใช้ในการทดสอบสัมประสิทธิ์แรงด้าน ในการทดสอบขนาดจริง กรณีร牋ทุกเล็กวิจัยความกันตามแนวways (แกน X)

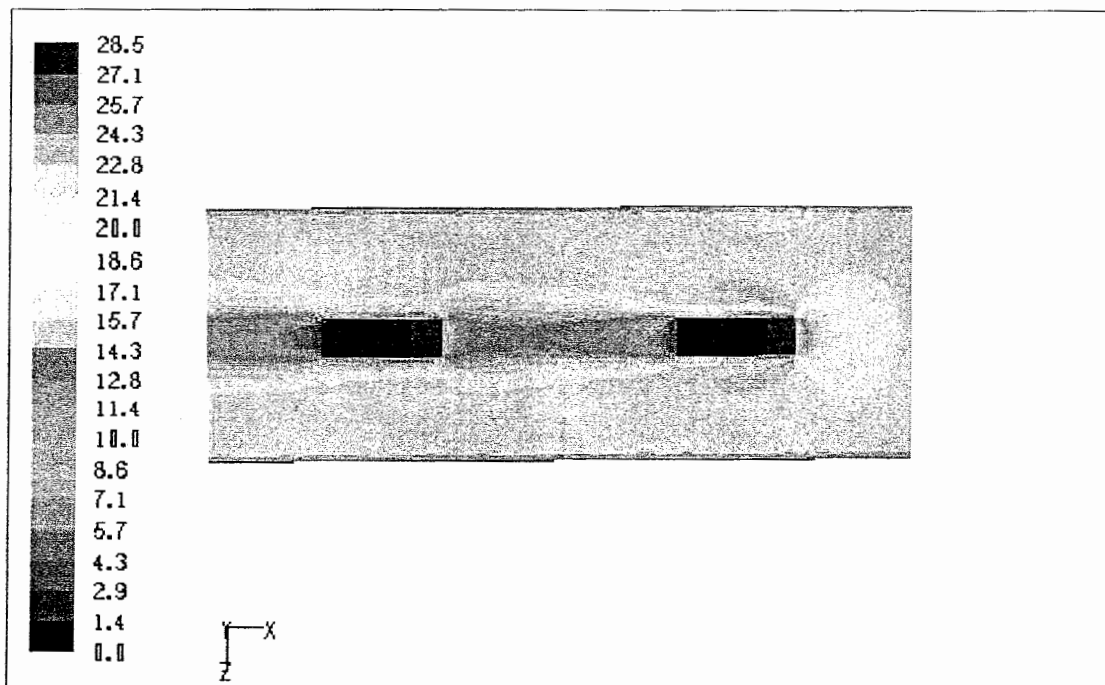
เนื่องไปในการคำนวณไปใช้จำลองขนาดจริง แสดงในตารางที่ 1 โดยวิธีจำลองเชิงตัวเลข 3 มิติ เพื่อตรวจสอบผลสัมประสิทธิ์แรงด้านที่เปลี่ยนไปของร牋กันหลัง ที่มีการเปลี่ยนแปลงความเร็ว โดยร牋ทั้งสองคันอยู่ห่างกันตามแนวways (แกน x) ที่ระยะ 10, 12.5, 15, 17.5, 20 m ดังแสดงในรูปที่ 5 และทดสอบที่ความเร็ว 36, 54, 72, 90, 108, และ 126 km/hr หรือ (Reynolds number $1.2 \times 10^6 - 4.4 \times 10^6$) โดยความเร็วลดทั้งสองเท่ากัน โดยได้ข่ายขนาดความกว้าง และความสูง ของผนังด้านข้างและด้านบนของส่วนทดสอบ เพื่อไม่ให้มีผลกับสัมประสิทธิ์แรงด้านของร牋ที่ใช้ทดสอบ

ตารางที่ 1 เนื่องไปการคำนวณ CFD

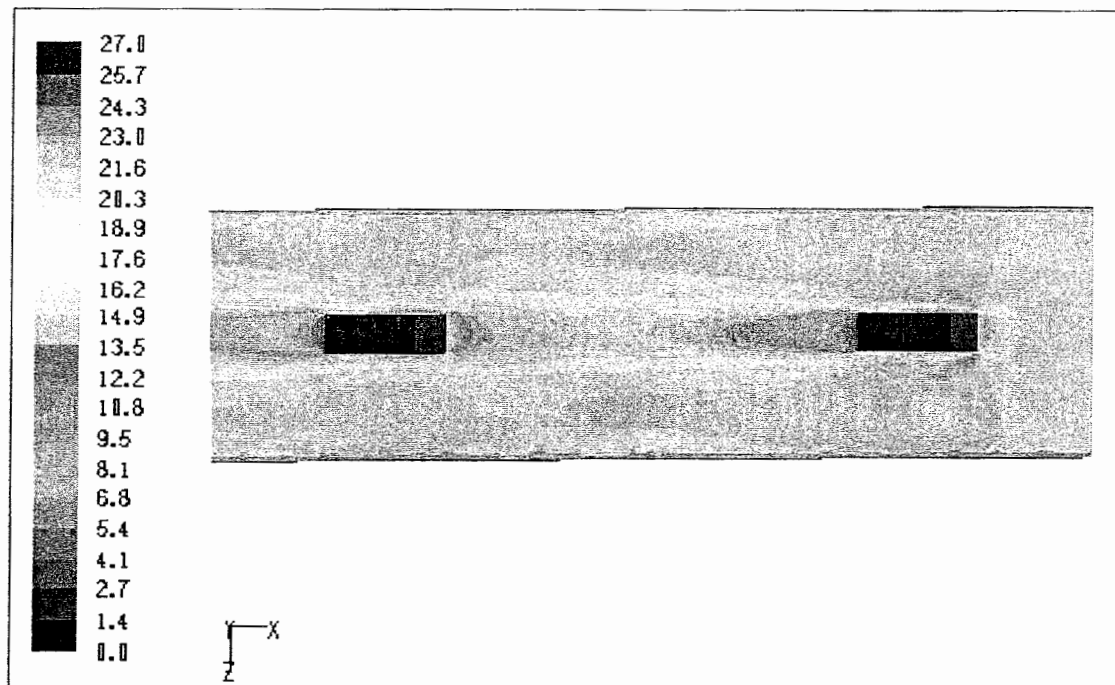
โปรแกรม GAMBIT	
ขอบเขตทางด้านเข้า (Inlet boundary condition)	Velocity inlet
ขอบเขตทางด้านออก (Outlet boundary condition)	Pressure outlet
จำนวน Grid	ประมาณ 728,644 cell
โปรแกรม FLUENT	
ระเบียนการแก้ปัญหา (Solver)	Segregated Solver
ระเบียนวิธีคำนวณ (Linearization)	Implicit method
แบบจำลองความปั่นป่วน (Turbulent model)	Standard k-epsilon
ระเบียนวิธีการแก้ปัญหาการไหลบริเวณใกล้ผนัง (Near-wall treatment method)	Standard wall function



រូបទី 5 ការបែងចាយរបៀបនៃការណើនុយក និងការណើនុយកដែលកើតឡើងជាបន្ទីររវាងរំពោងគោលរក្សាទី (Lead car) និងរំពោងគោលរក្សាទី (Trailing car) ទៅក្នុងការរឿងធម្មាននៃរំពោងទូទៅ



รูปที่ 6 ระดับແນບສีความเร็วของอากาศ (m/s) ที่ระยะกันหลัง X 10

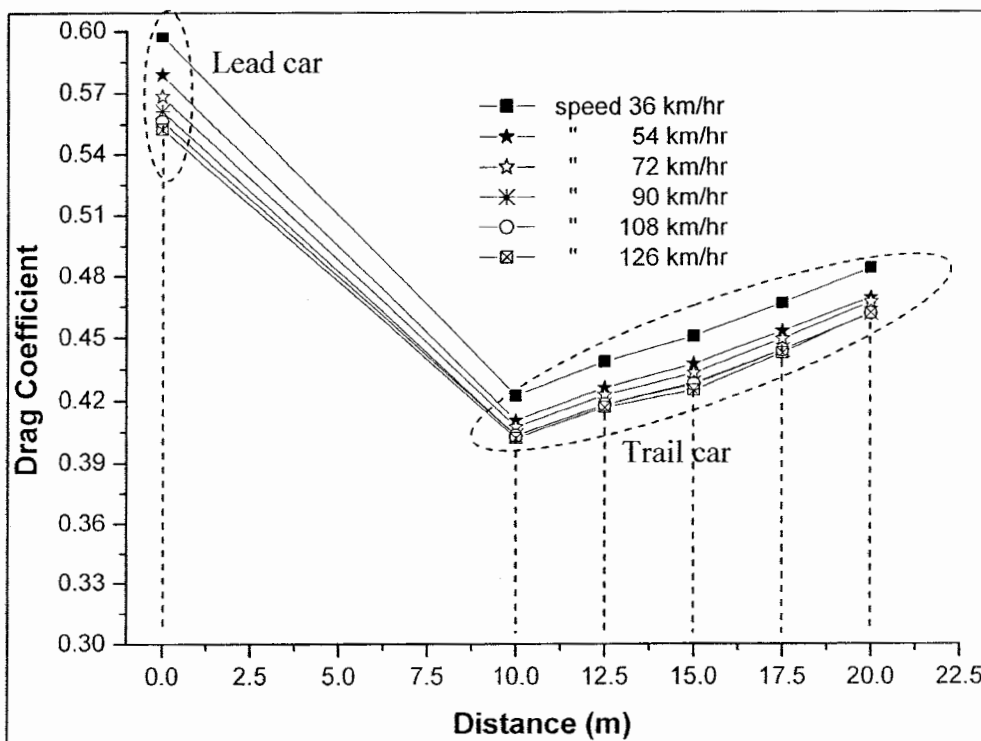


รูปที่ 7 ระดับແນບສีความเร็วของอากาศ (m/s) ที่ระยะกันหลัง X 17.5

การเปลี่ยนแปลงความดัน และความเร็วของอากาศที่กระทำกับรถคันหน้ามีค่าสูงกว่าที่กระทำกับรถคันหลัง เพราะอากาศที่ปะทะกับด้านหน้าของรถ ความเร็วจะลดลง เนื่องจากเข้าใกล้จุดหยุดนิ่ง (Stagnation point) ซึ่งจะมีความดันมากกว่าความดันก่อนที่จะเริ่มเข้าปะทะกับด้านหน้ารถ หรือความดันในระบบ (Total pressure) และจะลดต่ำลงบริเวณท้ายระบบเนื่องจากความเร็วลดลง ทำให้ความดันที่เกิดจากการเคลื่อนที่ (Dynamics pressure) ลดลงด้วย ดังนั้นพลังงานจะมีค่าลดลง เพราะ รถคันหน้าจะคุ้ดชับพลังงานที่เรียกว่า เหดความดัน (Pressure head) และเหดความเร็ว (Velocity head) ซึ่งสามารถอธิบายได้จากกฎสมดุลพลังงาน สมการของเบอร์นูลลี่ (Bernoulli's Equation)

$$\left(\frac{P_1}{\rho g} + \frac{v_1^2}{2g} \right)_{Lead_car} = \left(\frac{P_2}{\rho g} + \frac{v_2^2}{2g} \right)_{Trail_car} + h_L \quad (2)$$

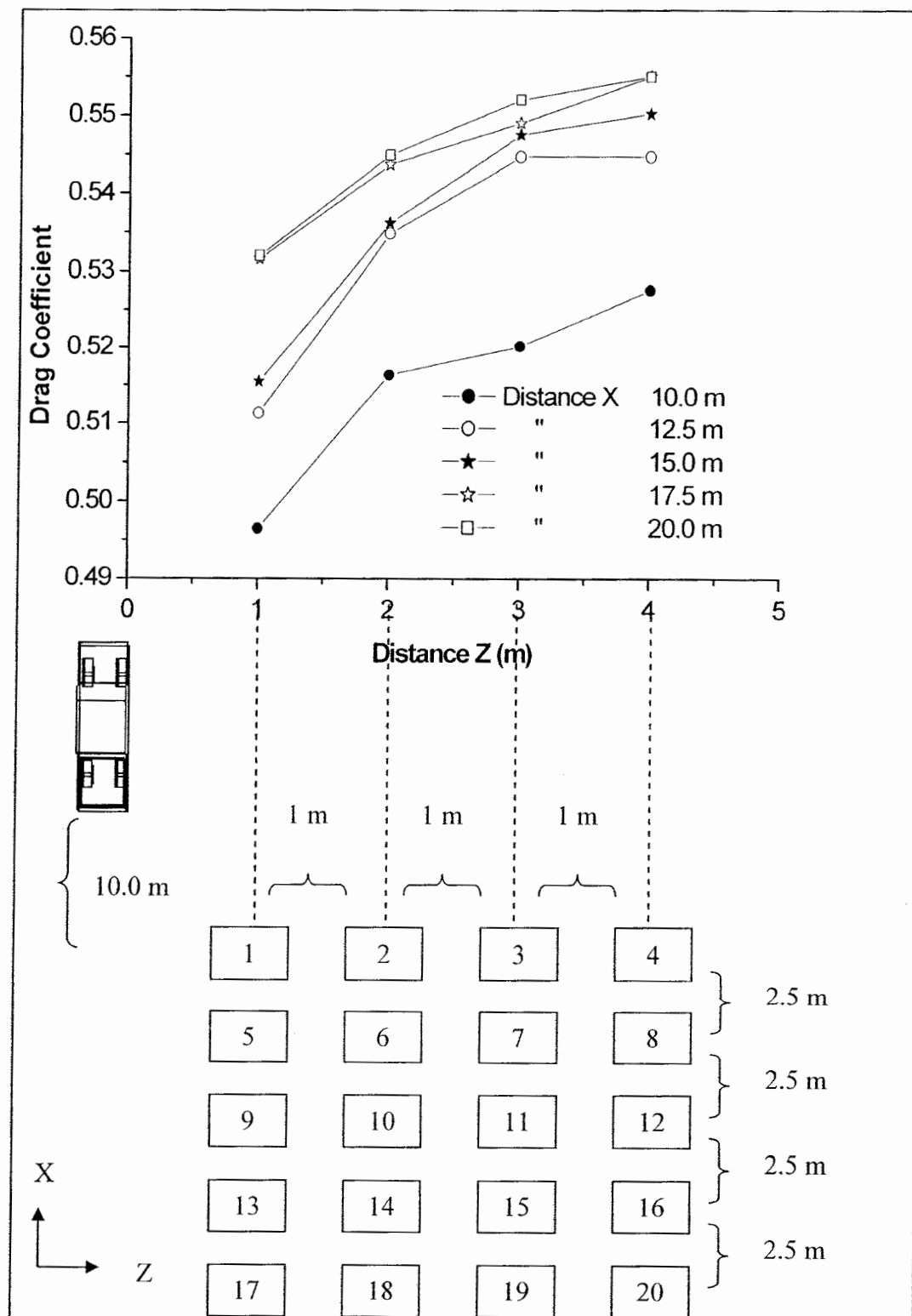
h_L คือการสูญเสียเหดร่วม (head loss) แทนการสูญเสียพลังงานต่อหน่วยน้ำหนักของของไอล, p_1 คือความดันที่รถคันหน้า, p_2 คือความดันที่รถคันหลัง, v_1 คือความเร็วที่รถคันหน้า, v_2 ความเร็วที่รถคันหลัง, ρ คือความหนาแน่นของอากาศเท่ากับ 1.225 kg/m^3 , g คืออัตราเร่งจากแรงโน้มถ่วง 9.81 m/s^2 ซึ่งค่า $p_1 > p_2$ และ $v_1 > v_2$ เมื่อในกรณีที่ทำการทดสอบ ถ้าสัมประสิทธิ์แรงด้านของรถทั้งสองคัน โดยคันหน้าค่า C_D จะเปลี่ยนแปลงตามความเร็วหรือ Reynolds number เมื่อความเร็วเพิ่มขึ้น Reynolds number จะเพิ่มขึ้นตามไปด้วย จึงทำให้ C_D ลดลง แต่จะไม่มีผลกับการเปลี่ยนแปลงระยะห่างของรถคันหลัง ส่วนรถคันหลังค่า C_D จะลดลงหากรถคันหน้า และเพิ่มขึ้นเรื่อยๆ เมื่อรถคันหลังมีระยะห่างเพิ่มขึ้น เนื่องจาก เหดความดัน และเหดความเร็วที่รถคันหลัง ได้รับ จากอิทธิพลของอากาศที่ปะทะรถคันหน้าจะลดลงตามระยะห่างที่มากเพิ่มขึ้น อีกอย่างหนึ่งคือความเร็วหรือ Reynolds number ที่สูงขึ้น อิทธิพลของอากาศไอลส่วนทิศทางข้อนกลับตามรูปทรงของรถ ทำให้เกิดการแยกตัว (Separation) ที่สูงขึ้น และในส่วนที่แยกนี้จะเกิดการไอลแบบปั่นป่วน หรือเรียกว่า เกิดคลื่นวน (Wake) ที่เกิดจากอากาศไอลผ่านรถคันหน้า ทำให้ Reynolds number สูงขึ้น จึงมีส่วนทำให้ค่า C_D ลดลงด้วย เช่นกัน



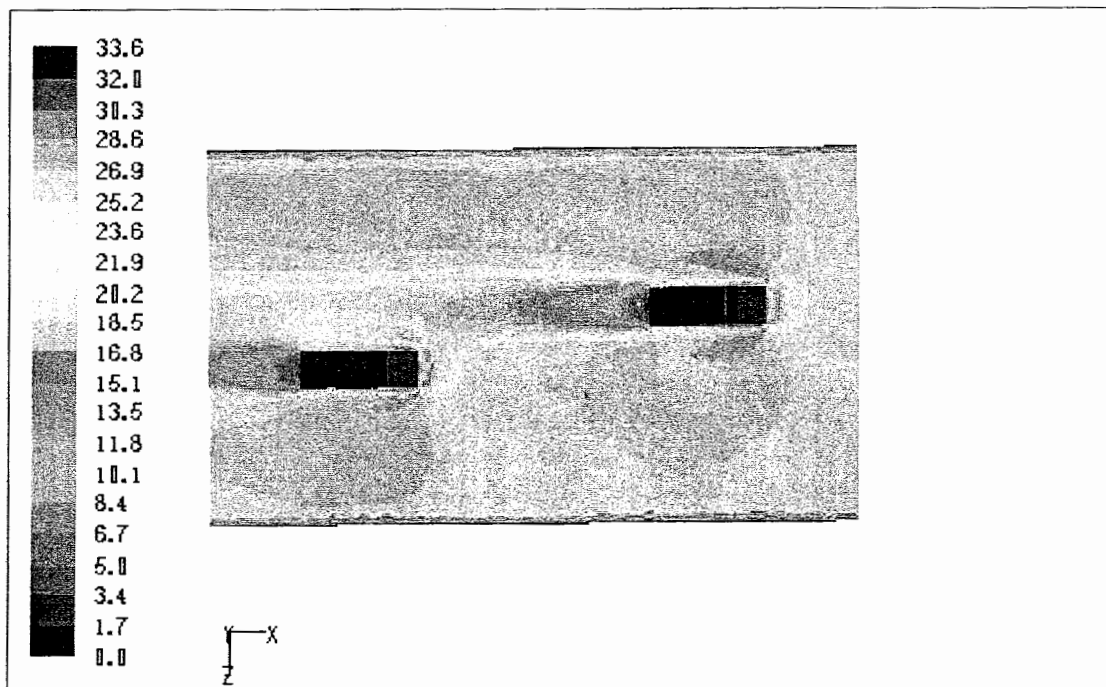
รูปที่ 8 ค่าสัมประสิทธิ์แรงต้านของรถคันหลัง ที่ความเร็วและระยะห่างที่ต่างกัน

4. การทดสอบสัมประสิทธิ์แรงต้านของรถบรรทุกเล็กขนาดจริง กรณีรถบรรทุกเล็กวิ่งตามกันเมื่อยื่องกัน

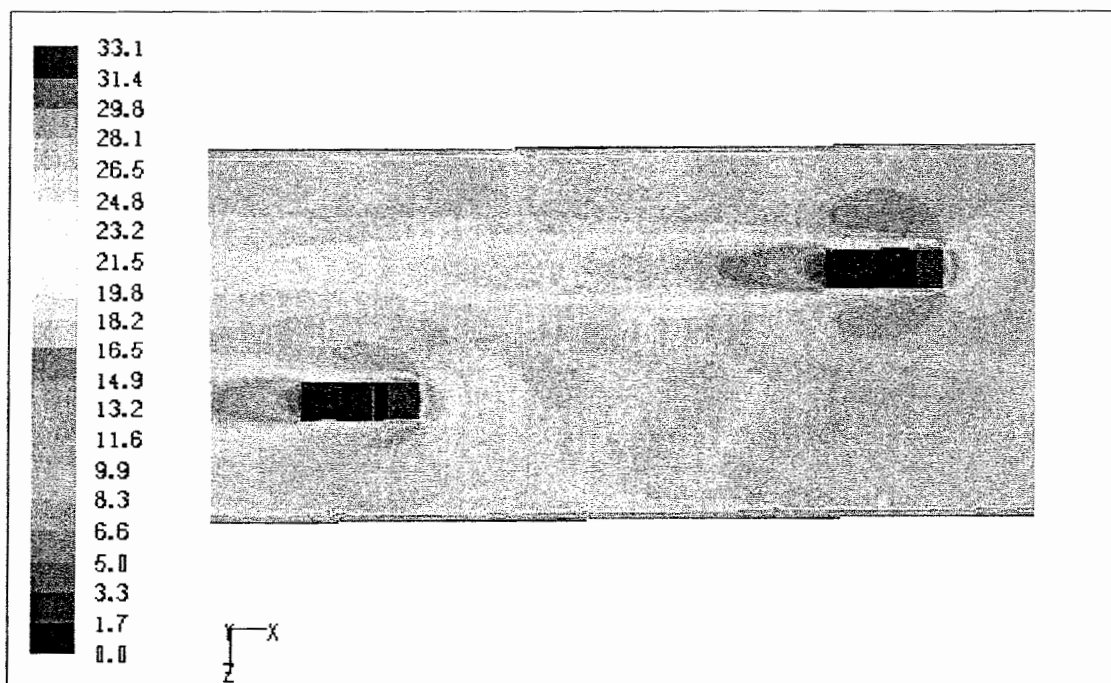
เป็นการจำลองรถขนาดจริง เพื่อตรวจสอบผลสัมประสิทธิ์แรงต้านที่เปลี่ยนไปของรถคันหลัง โดยที่รถทั้งสองอยู่ห่างกันตามแนวยาว (Distance X) ที่ระยะ 10, 12.5, 15, 17.5, และ 20 m และห่างกันตามแนวขวาง (Distance Z) 1, 2, 3, และ 4 m ซึ่งแต่ละตำแหน่งของรถคันหลังที่ทำการทดสอบจะเรียงลำดับเป็นหมายเลข 1 - 20 ทดสอบที่ความเร็ว 90 km/hr ความเร็วรถทั้งสองเท่ากัน ขอบเขตและเงื่อนไขในการจำลองเหมือนกรณีวิ่งตามกันตามแนวยาว ดังรูปที่ 7 ซึ่งเป็นการแสดงการเปลี่ยนแปลงของค่าสัมประสิทธิ์แรงต้าน ที่ระยะห่างของรถตามแนวแกน X และ แกน Z โดยค่าสัมประสิทธิ์แรงต้านของรถคันหลังจะลดลงจากคันหน้า เนื่องจากรถคันหลังวิ่งเข้าใกล้สนามการไอล แบบปั่นป่วน ที่เกิดจากอากาศไอลผ่านรถคันหน้า ซึ่งมี效应ความดัน และ效应ความเร็วที่ลดลง จึงทำให้ค่าสัมประสิทธิ์แรงต้านของรถคันหลังลดลงด้วย และเมื่อรถคันหลังอยู่ระยะห่างออกไปตามแนวแกน X และแกน Z ก่า效应ความดันและ效应ความเร็วที่รถคันหลังได้รับจะสูงขึ้นเรื่อยๆ ดังนั้นค่าสัมประสิทธิ์แรงต้านจึงเพิ่มขึ้นตามระยะที่รถคันหลังอยู่ห่างออกไปทั้งตามแนวแกน X และแกน Z



รูปที่ 9 สัมประสิทธิ์แรงต้านของรถคันหลังที่ระยะห่าง ระยะเยื่องต่างๆ ที่ความเร็ว 90 km/hr



รูปที่ 10 ระดับແນບສີຄວາມເຮົວຂອງອາກາສ (m/s) ທີ່ຮະບະຄັນຫລັງ X 10, Z 1



รูปที่ 11 ระດັບແນບສີຄວາມເຮົວຂອງອາກາສ (m/s) ທີ່ຮະບະຄັນຫລັງ X 17.5, Z 2

5. อัตราการสิ้นเปลืองน้ำมันของการเปลี่ยนแปลงสัมประสิทธิ์แรงต้าน

ผลที่ได้จากการทดสอบหาสัมประสิทธิ์แรงต้านของรถคันต่าง ๆ ที่กล่าวมาสามารถนำมาคำนวณได้จากสิ้นเปลืองน้ำมัน (Fuel consumption) โดยยึดรถคันหน้านำมาเป็นกรณีเปรียบเทียบ หากลดต่างของสัมประสิทธิ์แรงต้าน โดยคำนวณได้จาก

$$\Delta \overline{C}_D(V_t) = \overline{C}_D(V_t)_{baseline} - \overline{C}_D(V_t)_{modified} \quad (3)$$

$\Delta \overline{C}_D(V_t)$ คือค่าผลต่างของสัมประสิทธิ์แรงต้านที่ความเร็วเดียวกัน โดยยึดรถคันหน้าเป็นมาตรฐาน โดยค่าที่ได้ นำไปหาค่าการสิ้นเปลืองน้ำมันได้จากสมการ

$$\Delta\mu(V_t) = \frac{\rho \times ucf \times sfc \times V_t^2 \Delta \overline{C}_D(V_t) A}{0.85} \quad (4)$$

$\Delta\mu(V_t)$ = อัตราการเปลี่ยนแปลงอัตราการสิ้นเปลืองน้ำมันที่ความเร็วกำหนด (L/100 km), ρ = ความหนาแน่นของอากาศ 1.225 kg/m^3 , ucf = ค่าแฟคเตอร์ของการเปลี่ยนแปลงหน่วย เท่ากับ 1.072 , sfc = อัตราการสิ้นเปลืองน้ำมันจำเพาะ (liters/kW-h) โดยใช้เครื่องยนต์ดีเซล คอมมอนเรล ขนาดกระบอกสูบ 3 ลิตร ยี่ห้อโตโยต้า วีโก้พรีรันเนอร์ทดสอบ, A = พื้นที่หน้าตัดของรถ (m^2), 0.85 = ค่าสัมประสิทธิ์การเคลื่อนที่ของรถ โดยคิดที่ความเร็วเฉลี่ย และเทียบกับระยะทางวิ่งที่ $100,000 \text{ km}$ ค่าเป็นบวกแสดงว่าลดอัตราการสิ้นเปลืองเชื้อเพลิง

ตารางที่ 2 ค่าอัตราการสิ้นเปลืองน้ำมัน กรณีวิ่งตามกัน (ที่ความเร็วเฉลี่ย)

ระยะห่างแนวแกน (X) (m)	ที่ความเร็วเฉลี่ย (ลิตร/100 km)	วิ่งระยะทาง $100,000 \text{ km}$ (ลิตร)	ลดอัตราการ สิ้นเปลืองน้ำมันเฉลี่ย (%)
รถคันหน้า	-	-	-
10.0	0.4644	464.4	5.70 %
12.5	0.4197	479.7	5.15 %
15.0	0.3903	390.3	4.79 %
17.5	0.3418	341.8	4.19 %
20.0	0.2885	288.5	3.54 %

ตารางที่ 3 ค่าอัตราการสิ้นเปลืองน้ำมัน กรณีวิ่งตามกัน ที่ความเร็ว 90 km/hr

ระยะห่างแนวแกน (X) (m)	ที่ความเร็ว 90 km/hr (ลิตร/100 km)	วิ่งระยะทาง 100,000 km (ลิตร)	ลดอัตราการ สิ้นเปลืองน้ำมัน
รถคันหน้า	-	-	-
10.0	0.5313	531.3	6.52 %
12.5	0.4813	481.3	5.91 %
15.0	0.4466	446.6	5.48 %
17.5	0.3939	393.9	4.83 %
20.0	0.3347	334.7	4.11 %

ตารางที่ 4 ค่าอัตราการสิ้นเปลืองน้ำมัน กรณีวิ่งเชือกกัน ที่ความเร็ว 90 km/hr

ระยะห่าง แนวแกน (X) (m)	อัตราการสิ้นเปลืองที่ 90 km/hr (ลิตร/100 km) ที่ระยะเชือกต่าง ๆ แนวแกน (Z)					วิ่งระยะทาง 100,000 km (ลิตร)	ลดอัตรา การ สิ้นเปลือง น้ำมันเฉลี่ย
	1 m	2 m	3 m	4 m	เฉลี่ย		
รถคันหน้า	-	-	-	-	-	-	-
10.0	0.2178	0.1509	0.1381	0.1133	0.1550	115.0	1.90 %
12.5	0.1681	0.0891	0.0558	0.0558	0.0922	92.2	1.13 %
15.0	0.1539	0.0844	0.0464	0.0373	0.0805	80.5	0.99 %
17.5	0.0998	0.0592	0.0413	0.0212	0.0554	55.4	0.68 %
20.0	0.0985	0.0551	0.0313	0.0212	0.0515	51.5	0.63 %

ตารางที่ 3 และตารางที่ 4 เป็นการคำนวณคำนวณที่ความเร็ว 90 km/hr ซึ่งเป็นความเร็วที่ใช้วิ่งในสภาวะปกติ โดยผลของการคำนวณอัตราการสิ้นเปลืองน้ำมัน แสดงให้เห็นว่า เมื่อรถคันหลัง วิ่งเข้าใกล้รถคันหน้ามากขึ้น ค่าสัมประสิทธิ์แรงต้านที่เกิดจาก สนานการ ไฟลท์มีค่าเฉลี่ยลดลงที่ต่ำกว่าจะมีผลกระทบกับรถคันหลังมากที่สุด แต่ระยะห่างที่ใกล้เกินไปก็มีผลกระทบความปลดปลั้งงานที่ต่ำกว่าจะไม่สามารถนำหลักการนี้มาประยุกต์ และวิธีการขับขี่ เพื่อลดอัตราการสิ้นเปลืองน้ำมัน

สรุปและข้อเสนอแนะ

ความพยายามที่จะลดแรงต้านที่กระทำกับรถยกได้ดำเนินมาอย่างต่อเนื่อง โดยพยายามที่จะลดค่าสัมประสิทธิ์แรงต้านให้เหลือน้อยที่สุดด้วยการปรับรูปทรงของรถให้มีลักษณะเพรียวลม แต่วิธีการขึ้นชี้โดยการวิ่งตามรถคันหน้า ที่เป็นวิธีหนึ่งซึ่งสามารถลดอัตราการสิ้นเปลือง ซึ่งจากการทดสอบที่ระยะห่าง 10 m อัตราการสิ้นเปลืองเชื้อเพลิงของรถคันหลังลดลงจากคันหน้า 6.52 % (ที่ความเร็วเฉลี่ย) ในกรณีที่ 2 โดยรถคันหลังวิ่งเยื่องกัน ที่ระยะห่าง 10 m และระยะเยื่อง 1 เมตร อัตราการสิ้นเปลืองน้ำมันของรถคันหลังลดลงจากคันหน้า 1.90 % จากงานวิจัยนี้สรุปว่า รถคันหลังที่วิ่งเข้าใกล้รถคันหน้าทั้งแนวยาวและแนววางมากขึ้น จะทำให้สัมประสิทธิ์แรงต้านของรถคันหลังลดลงเท่านั้น เนื่องจากความดันที่เกิดจากการเคลื่อนที่ (Dynamics Pressure) จะลดลงเมื่อเข้าใกล้คันหน้า ซึ่งสามารถเป็นแนวทางในการลดอัตราการสิ้นเปลืองเชื้อเพลิงของรถยกได้อีกวิธีหนึ่ง

ค่าที่ได้จากการทดสอบอาจเกิดความคลาดเคลื่อนจาก CFD ไม่สามารถที่จะกำหนดสภาวะคุณสมบัติได้เหมือนจริงทุกประการ และการวัดอัตราการสิ้นเปลืองน้ำมันให้แม่นยำนั้นทำได้ค่อนข้างยาก ถึงแม้จะควบคุมสภาวะการขับขี่ให้ใกล้เคียงกับการใช้งานจริงมากที่สุด

กิตติกรรมประกาศ

ผู้เขียนได้ขอขอบคุณ สำนักงานคณะกรรมการวิจัยแห่งชาติ และมหาวิทยาลัยอุบลราชธานี ที่สนับสนุนงานวิจัย ประจำปี 2550

บรรณานุกรม

- Spalart, P.R. 2000. "Strategies for turbulence modeling and simulation". *International Journal of Heat and Fluid Flow*. (21): 252-263.
- Horinouchi, N. 1995. "Numerical Investigation of Vehicle Aerodynamics with Overlaid Grid System". SAE 950628.
- Van Dam, C. P. 1999. "Recent experience with different methods of drag prediction". *Progress in Aerospace Sciences*. (35): 751-798.
- Prasad, A. and Williamson, C.H.K. 1997. "A method for the reduction of bluff body drag". *Journal of Wind Engineering and Industrial Aerodynamics*. (69-71): 155-167.

- Grosche, F.R. and Meier, G.E.A. 2001. "Research at DLR Gottingen on bluff body aerodynamics drag reduction by wake ventilation and active flow control". *Journal of Wind Engineering and Industrial Aerodynamics.* (89): 1201-1218.
- Muyl, F., Dumsa, L. and Herbert, V. 2004. "Hybrid method for aerodynamic shape optimization in automotive industry". *Computers & Fluids.* (33): 849-858
- Browond, F. 2005. "Reducing aerodynamics drag and fuel consumption". *Advanced Transportation Workshop Stanford University.*
- Leuschen, J. and Cooper, K.R. 2006. "Full-Scale Wind Tunnel Tests of Production and Prototype, Second-Generation Aerodynamic Drag-Reducing Devices for Tractor-Trailers". *2006 SAE International.* 06CV-222.

อาคารพลศาสตร์เพื่อการประหยัดพลังงานสำหรับรถยนต์บรรทุกขนาดเล็กโดยวิธีจำลองเชิงตัวเลข

Aerodynamics for Energy Economy in Small Utility Truck By Computational Fluid Dynamics

ปรัชญา มุขดา^{1*} กุลเชษฐ์ เพียรทอง¹ วิระพันธ์ สีหานาม¹

¹ สาขาวิชาวิศวกรรมเครื่องกล คณะวิศวกรรมศาสตร์ มหาวิทยาลัยอุบลราชธานี อ.วารินชำราบ จ.อุบลราชธานี 34190

โทรศัพท์ 0-8687-44606 โทรสาร 0-45353-380 *อีเมล: mukdaen@hotmail.com

Prachya Mukda^{1*}, Kulachate Pianthong¹, Wirapan Seehanam¹

¹ Department of Mechanical Engineering, Faculty of Engineering, Ubon Ratchatani University, Ubon Ratchatani, 34190, Thailand. Tel: 0-8687-44606 Ext. 3382, Fax: 0-45353-380 *E-mail: mukdaen@hotmail.com

บทคัดย่อ

รู้ปร่างของรถยนต์ มีผลกระแทบโดยตรงต่อสัมประสิทธิ์แรงต้าน เนื่องจากรู้ปร่างของรถยนต์เป็นสาเหตุที่ทำให้เกิดแรงและโมเมนต์ที่กระทำต่อบรรยณ์ งานวิจัยนี้เป็นการศึกษาคุณลักษณะทางอากาศ พลศาสตร์ ของรถยนต์บรรทุกขนาดเล็กมีที่นั่งด้านหน้าสองตอน ในกรณีต่าง ๆ เช่น การปรับปรุงส่วนกระเบนของรถ การต่อเติม อุปกรณ์เสริมของรถที่มีรู้ปร่างแตกต่างจากเดิม ซึ่งเป็นที่หน้าด้านของรถ เท่ากัน และศึกษาการผนวกตัวของรถที่มีรู้ปร่างต่างๆ ตามกัน ในระหว่าง และความเร็วที่ต่างกัน โดยตรวจสอบผ่านทางการจำลองเชิงตัวเลข (computational fluid dynamics) โดยใช้ซอฟต์แวร์ Fluent จำลองแบบ 3 มิติ ในกำกับของความเร็วระหว่าง 10 – 120 กิโลเมตรต่อชั่วโมง ค่าเรียนดูล์ค่าประมาณ $10^4 - 10^7$ เพื่อตรวจสอบกลไกการลดแรงต้าน และพิจารณาการเปลี่ยนแปลงสมการไหล จากการศึกษานี้ สามารถนำความเข้าใจเกี่ยวกับอาคารพลศาสตร์ของรถยนต์บรรทุกขนาดเล็ก มาใช้ในการลดสัมประสิทธิ์แรงต้าน เพื่อประหยัดพลังงานในการขับเคลื่อน

Abstract

Configuration of car usually affects directly to the drag coefficient, because car configuration is an important factor generating the different flow field. This flow field causes different force and moment reacted to the car. This study aims to investigate the aerodynamic characteristic of the cab pick-up truck. The pick-up box of the car has been modified while the frontal area is kept constant. Also, the aerodynamics of the tailed

car at various speeds and distances have been investigated. The investigation has been carried out by using 3 dimensional computational fluid dynamic technique (Fluent). The car speed are between 10 – 120 km/hr or Reynolds number of $10^4 - 10^7$. From the study, the understand on the aerodynamic of the pick-up car be obtained and is useful to reduce to drag coefficient in order to save the driving energy.

1. บทนำ

ปัจจุบันการศึกษาด้านอาคารพลศาสตร์ ยังคงเป็นที่น้อยของสมการ Reynolds-averaged Navier-Stokes ซึ่งเป็นพื้นฐานในการศึกษา วิธีการจำลองเชิงตัวเลข โดยนำมาเปรียบเทียบกับการทดสอบใน อุโมงค์ลม และแบบจำลองการไหลแบบบันทึก นำมาใช้ในการจำลองเพื่อหาแรงต้านของยานพาหนะชนิดต่าง ๆ เช่น เครื่องบิน รถไฟ รถยนต์ ซึ่งเป็นพื้นฐานในการประยุกต์การจำลองเพื่อลดแรงต้าน ของยานพาหนะ [1,2] โดยใช้หลักการเดียวกันกับการศึกษาการลดแรงต้านของวัตถุเพรียล (bluff body) เพื่อที่จะทำให้ผลต่างของแรงดัน และจุดแยกตัวของอากาศ (separation point) ที่ไหลผ่านวัตถุกิดน้อย ที่สุด [3] ได้นำหลักการนี้มาปรับปรุงรู้ปร่างของรถยนต์ประเภทต่าง ๆ เพื่อลดแรงต้าน และเพิ่มความเร็วในการขับเคลื่อนของรถแข่ง [4] สามารถนำความรู้ด้านศึกษาอากาศพลศาสตร์ออกแบบรถยนต์แบบใหม่ในอนาคต เพื่อการออกแบบการทดสอบในอุตสาหกรรมการผลิต รถยนต์ มีการทดสอบในวิธีจำลองเชิงตัวเลข ผลกระทบของอุโมงค์ลม ในการทดสอบ องค์ประกอบที่มีผลต่อรู้ปร่างของรถ เพื่อการผลิต อุปกรณ์การทดสอบใช้เวลาน้อย และมีคุณภาพ [5] ได้นำความรู้มาใช้

ในการวางแผนในการขับขี่เพื่อการประหยัดพลังงาน และความปลอดภัย ในกรณีของรถยนต์ขนาดเล็ก และรถบรรทุกขนาดเล็ก เช่น เพื่อที่จะนำค่าแรงดัน แรงดัน ที่เกิดขึ้นมาวิเคราะห์ผลที่เกิดขึ้นกับรถยนต์ขนาดเล็ก เพื่อการออกแบบโครงสร้างการควบคุมของรถให้มีเสถียรภาพการขับขี่สูงสุด [6] อย่างไรก็ตาม การศึกษาอากาศพลศาสตร์ของรถยนต์บรรทุกขนาดเล็กที่ใช้ในเมืองไทยในปัจจุบัน ถือแม้จะมีการออกแบบเพื่อลดแรงดันที่ดื่อยแล้ว แต่ก็สามารถที่จะปรับปรุงรูปทรงของรถ ให้ลดแรงด้านลดลงอีกด้วย

การศึกษานี้ จะนำความรู้ด้านอากาศพลศาสตร์ มาศึกษารถยนต์บรรทุกขนาดเล็กที่ใช้ในที่ไปในประเทศไทย โดยการปรับปรุงรูปทรงของระบบของรถ ศึกษากรณีของรถวิ่งตามกันที่ระยะห่าง และความเร็วที่ต่างกัน ทดสอบโดยวิธีจำลองเชิงตัวเลข (computational fluid dynamics) เพื่อที่จะนำผลที่ได้มาประยุกต์ในการออกแบบรูปทรงของรูปทรงระบบ และการวางแผนในการขับขี่ เพื่อประหยัดพลังงาน

2. ทฤษฎี

แรงรวมของหน่วยแรงเฉือน และความดันที่กระเจียดหัวพื้นผิวของวัสดุสามารถหาได้จากการอินทิเกรตแรงทั้งสองครอบคลุมพื้นที่ผิวของวัสดุ โดยมีแรงย่อยในแนวแกน x และ y ของแรงรวมกระทำบนพื้นที่เล็ก ๆ dA คือ

$$dF_x = (pdA)\cos\theta + (\tau_w dA)\sin\theta \quad (1)$$

$$dF_y = -(pdA)\sin\theta + (\tau_w dA)\cos\theta \quad (2)$$

เมื่อ τ_w คือแรงเฉือนที่ผิววัสดุ (wall shear stress), P คือความดันที่เกิดขึ้นทางด้านหน้าของวัสดุเนื่องจากความดัน ดังนั้นจึงสามารถหาแรงรวมในแนวแกน x และ y ที่กระทำต่อวัสดุได้จาก

$$F_D = \int dF_x = \int p \cos\theta dA + \int \tau_w \sin\theta dA \quad (3)$$

$$F_L = \int dF_y = - \int p \sin\theta dA + \int \tau_w \cos\theta dA \quad (4)$$

เมื่อ F_D คือแรงรวมที่กระทำต่อวัสดุในทิศทางตั้งฉากกับทิศทางการไหล (Drag), F_L คือแรงรวมที่กระทำต่อวัสดุในทิศทางตั้งฉากกับทิศทางการไหล (Lift) ทำการออกแบบเพื่อลดแรงด้านโดยพิจารณาเฉพาะ pressure drag

$$F_D = \int_{front} p \cos\theta dA - \int_{back} p \cos\theta dA \quad (5)$$

ซึ่งลักษณะการไหลที่นำมาวิเคราะห์ คือการไหลแบบบันปวนอัคติว ไม่ได้ จะขึ้นอยู่กับรูปทรงของวัสดุและค่า Reynolds number คือสัดส่วนของแรงเนื่องจากความเฉื่อยต่อแรงเนื่องจากความหนืด สามารถเขียนสมการได้ว่า

$$R = \frac{\rho VL}{\mu} \quad (6)$$

โดย R คือ Reynolds number, ρ คือความหนาแน่นของอากาศ, V คือความเร็วของอากาศที่ไหลผ่านวัสดุ, L คือความยาวของวัสดุที่มีผลต่อสภาพการไหล และ μ คือค่าความหนืดของอากาศ

ในการศึกษาค่า Reynolds number จะอยู่ในช่วง $10^4 - 10^7$ ซึ่งสภาพการไหลจะมีผลโดยตรงมาจากการเฉื่อยเป็นหลัก โดยแรงหลักที่กระทำกับวัสดุคือแรงด้านเนื่องจากความดัน (pressure drag; F_p) สามารถเขียนสมการของแรงด้านเนื่องจากความดันคือ

$$F_p = C_p \rho \frac{V^2}{2} A \quad (7)$$

โดย V คือความเร็วเฉลี่ยของของไหลที่เคลื่อนที่ผ่านวัสดุ, A คือพื้นที่ทابบนระหว่างที่ตั้งจากกับทิศทางการไหล, C_p คือสัมประสิทธิ์แรงด้านเนื่องจากความดัน (pressure drag coefficient) และแรงด้านเนื่องจากความเฉื่อยด้านซึ่งมีค่าเท่ากับผลรวมของหน่วยแรงเฉือน ($\text{shear stress}; F_f$) สามารถเขียนสมการของแรงด้านเนื่องจากความเฉื่อยด้านคือ

$$F_f = C_f \rho \frac{V^2}{2} BL \quad (8)$$

โดย C_f คือสัมประสิทธิ์แรงด้านเนื่องจากความเฉื่อยด้านซึ่งขึ้นอยู่กับความหนืด, L คือความยาวของพื้นผิวในแนวนานกับทิศทางการไหล และ B คือความกว้างของพื้นผิว

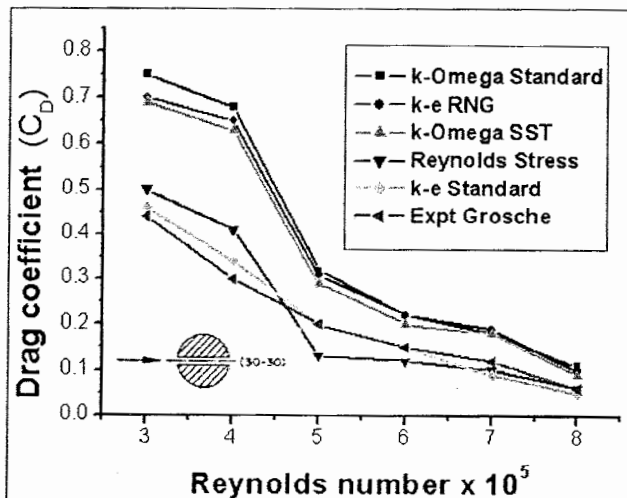
สมการหาสัมประสิทธิ์แรงด้าน

$$C_D = \frac{F_D}{\frac{1}{2} \rho V^2 A} \quad (9)$$

โดยที่ C_D คือสัมประสิทธิ์แรงด้านรวม, F_D คือแรงด้านรวมที่กระทำต่อวัสดุ, ρ คือความหนาแน่นของอากาศ, และ A คือพื้นที่ที่ตั้งจากกับทิศทางการไหล

3. การคำนวณเชิงตัวเลขและการตรวจสอบสัมประสิทธิ์แรงด้าน

การศึกษาขั้นต้น ได้ตรวจสอบการจำลองการไหลแบบบันปวนประเภทต่าง ๆ โดยตรวจสอบผ่านทางการจำลองเชิงตัวเลข ซึ่งใช้ซอฟต์แวร์ Fluent เทียบกับการศึกษาของ Grosche [3] ซึ่งเป็นการศึกษาสัมประสิทธิ์แรงด้านของอากาศของวัสดุทรงกลม เจาะรูตรงกลาง โดยใช้คุณค่าเป็นเครื่องมือในการทดสอบ ซึ่งผลได้แสดงในรูปที่ 1

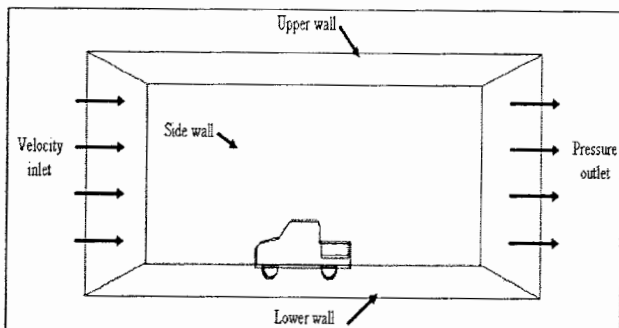


รูปที่ 1 เปรียบเทียบแบบจำลองการไหลแบบบีบปานต่าง ๆ กับผลการทดสอบของ Grosche [3]

จากการเปรียบเทียบ จึงเลือกใช้แบบการจำลองการไหลแบบบีบปานมาตรฐาน k-e ซึ่งให้ค่าใกล้เคียงกับผลการทดสอบในอุโมงค์ลมของ Grosche [3] มากที่สุด โดยใช้จำนวนของ กวิด (Grid) 355,000 เอลิเมนท์ เป็น Mesh แบบ Tri/Tet (กริดรูปผีระมิด) ซึ่งจะใช้ในการจำลองของรถบรรทุกขนาดเล็ก

3.1 การตรวจสอบประสิทธิ์แรงดัน กรณีปรับปรุงท้ายระบบ

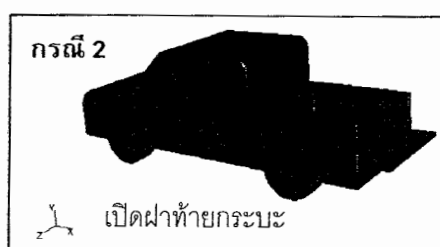
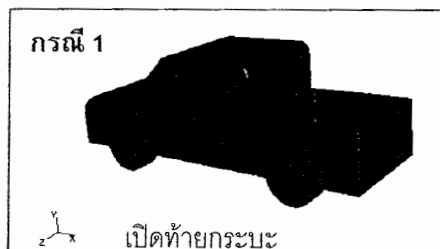
กำหนดแบบของเขตการจำลองที่ใช้ในการวิเคราะห์ โดยกำหนดเป็นกล่องสี่เหลี่ยม เสมือนเป็นบรรยากาศล้อมรอบรถบรรทุกขนาดเล็ก ที่ใช้ในการทดสอบ ดังแสดงในรูปที่ 2 เป็นการศึกษาดูรถบรรทุกขนาดเล็กที่นั่งด้านหน้าสองตอน ในการถีกกระแสหลังเป็นลักษณะเปิดท้าย กระบวนการปกติ, เปิดฝ่าท้ายระบบ, ปิดท้ายระบบ และครอบส่วนหลังห้องหมุด ซึ่งพื้นที่หน้าด้านของรถเท่ากัน ใช้แบบการจำลองการไหลแบบบีบปานมาตรฐาน k-e จำนวนของกัวด (Grid) 355,000 เอลิเมนท์ เป็น Mesh แบบ Tri/Tet (กริดรูปผีระมิด) โดยทดสอบที่ความเร็ว 10, 15, 20, 25, 30, 35 เมตรต่อวินาที ค่าเรย์โนลต์ประมาณ ($10^4 - 10^7$) เพื่อที่จะศึกษาอาการพลศาสตร์และตรวจสอบสมบัติที่แรงดันที่เกิดจากการปรับปรุงรูปร่างของท้ายระบบ เพื่อที่จะนำมาปรับปรุงเพื่อลดสมบัติที่แรงดันด้านดีไป



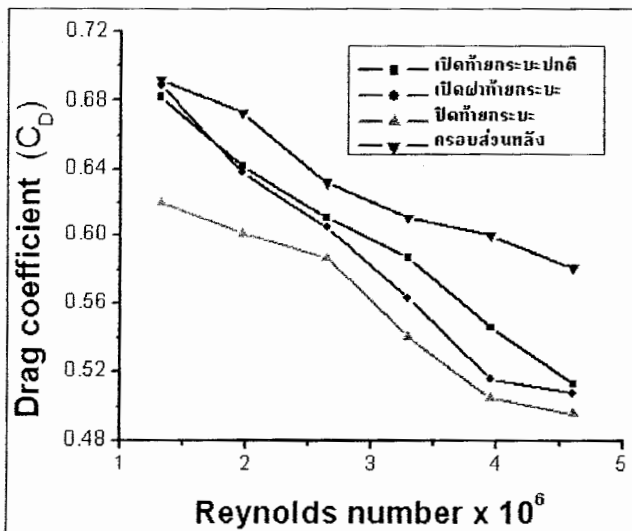
รูปที่ 2 ขอบเขตและเงื่อนไขที่ใช้ในการจำลอง

เงื่อนไขขอบเขต (Boundary condition) สำหรับแบบจำลองที่ใช้ในการคำนวณดังนี้ 2 สามารถอธิบายได้ดังนี้

- ความเร็วสัมพัทธ์ของอากาศที่ผิวนอกเป็นศูนย์ เนื่องจากอิทธิพลของความหนืด
- สมมุติให้ความเร็วรอยกที่และคงด้วย
- ความดันในสนามความเร็วที่ทางออก (Pressure outlet) ไม่ถูก约束จากรูปร่างของรถ และให้มีค่าเท่ากับความดันบรรยากาศ
- การศึกษานี้สมมุติให้เป็นการไหลที่ไม่มีลักษณะด้านข้าง

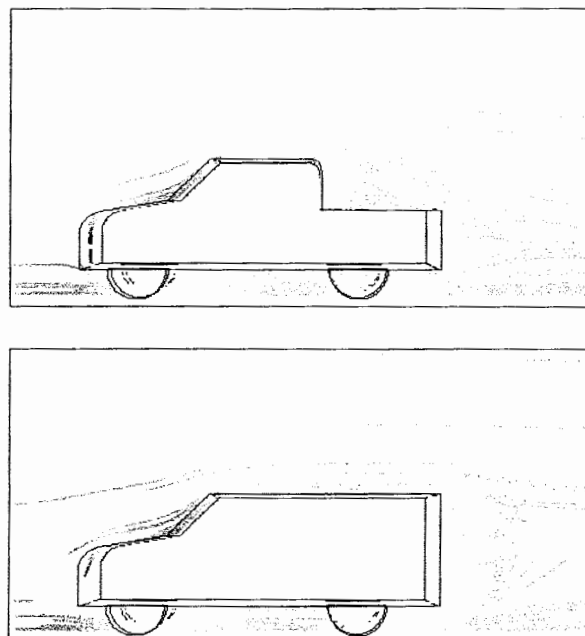
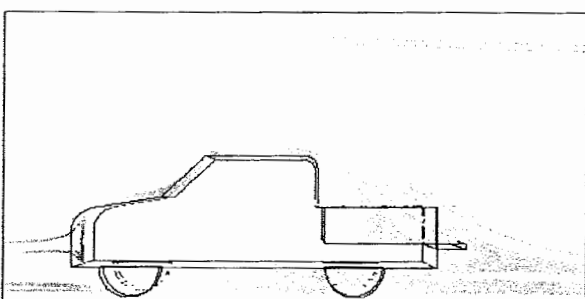
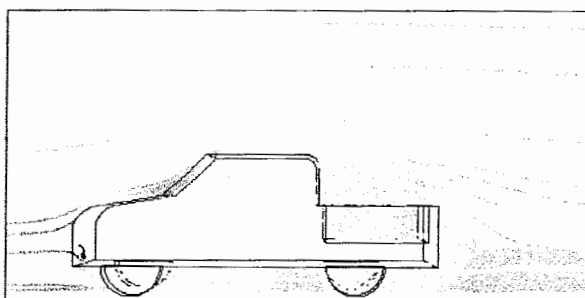


รูปที่ 3 แบบจำลองที่ใช้ในการวิเคราะห์



รูปที่ 4 สัมประสิทธิ์แรงต้านกับค่า Reynolds number ของกรณีที่ใช้ใน การจำลอง

จากการจำลองนั้น สัมประสิทธิ์แรงต้านจะลดลงและเพิ่มขึ้นกับ การเปลี่ยนแปลงการกระจายตัวของความดันด้านหน้าและด้านท้าย กระบวนการรถ โดยปัจจัยหลักของการออกแบบเพื่อลดความดันใน ด้านหน้าหรือเพิ่มความดันในด้านหลังของรถ ซึ่งจะสังเกตได้ว่าเมื่อ การปรับปรุงกระบวนการโดยที่ทำให้การไหลรวมเรียบมากขึ้น จะช่วย ให้แรงด้านลดลง ซึ่งสามารถพิจารณาได้จากเส้นแสดงระดับความดัน ในรูปที่ 5



รูปที่ 5 Path line colored by static pressure (pascal)

กรณีที่ 1 ซึ่งเป็นกรณีที่มีการเปิดกระโปรงด้านหน้าของแรงด้านนั้น จะขึ้นอยู่กับความแตกต่างของความดันระหว่างด้านหน้าและด้านหลัง ของรถ โดยแบ่งความแตกต่างออกได้เป็น 3 บริเวณความดันคือ บริเวณที่ 1 บริเวณห้องโดยสาร, 2 บริเวณกระเบน, 3 บริเวณท้ายรถทั้ง ด้านบนและด้านล่าง

ที่engที่ 3 บริเวณ มีความแตกต่างกันของความดัน ซึ่งบริเวณห้อง โดยสารนั้นจะมีความดันสูงเนื่องจาก โมเมนตัมของอากาศ และลดลง เมื่อเข้าสูงตามแน่นบริเวณกระเบน ซึ่งหากพิจารณาจากรูปที่ 5 ซึ่งเป็น ตำแหน่งระหว่างห้องผู้โดยสารกับบริเวณกระเบน จะเกิดการไหล ย้อนกลับเรียกว่าเกิดการแยกตัว (separation) และภายในส่วนนี้จะเกิด การไหลแบบปวนป่วนที่เรียกว่าอากาศหมุนวน (wake) ซึ่งก็คือการเกิด การสูญเสีย (loss) ในทางของไฟลพลาสต์ อากาศที่หมุนวนนี้เมื่อ ประทับกับกระเบนท้าย จะทำให้เกิดแรงด้านในระดับหนึ่ง ซึ่งการเกิดการ แยกตัวนั้น เมื่อนำมาสมการเบอร์นูลลี่มาวิเคราะห์ จะพบว่า การไหลของ ชั้นนอกมีความเร่งมากกว่าการไหลของชั้นใน เพราะของไฟลที่อยู่ชั้นใน ได้รับอิทธิพลของความหนืด (viscosity, μ) เกิดแรงเนื้อด้านการ ไฟลชั้นนอกและความดันที่กดทับจากภายนอก ซึ่งทำให้การไหลของ ชั้นในมีโมเมนตัมน้อย จึงทำให้ไฟลผ่านความดันสูง ๆ ได้ยาก จึงทำให้ เกิดการหมุนวน ทำให้ความดันบนบริเวณกระเบนลดลง ส่วนในบริเวณท้าย รถทั้งด้านบนและด้านล่างนั้น ความเร็วของอากาศด้านล่างของรถสูง กว่าด้านบน (พิจารณาจากสมการเบอร์นูลลี่) เนื่องจากพลังงานจลน์จาก ภายนอก ส่งถ่ายเข้าสู่ยานภายในมากขึ้น ทำให้เพิ่มโมเมนตัมในการ เอาชนะความหนดได้สูงขึ้น ทำให้เกิดความดันท้ายรถด้านบนและ

ด้านหลัง มีความแตกต่างกัน จึงเกิดการหมุนวนของอากาศและความตันจะลดลงจากบริเวณกระเบน ดังนั้นแรงดันทึ้ง 3 บริเวณมีความแตกต่างกัน จึงทำให้เกิดแรงด้าน ดังสมการที่ (5) ดังที่กล่าวมา

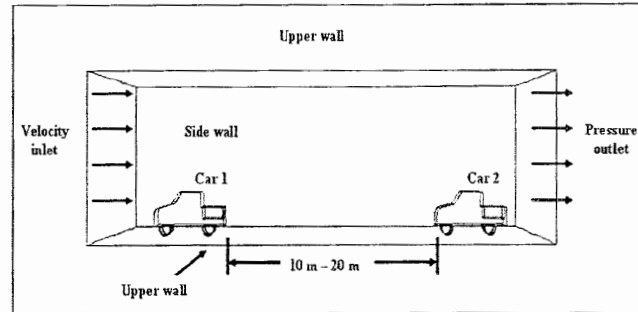
กรณีที่ 2 มีการเปลี่ยนแปลงรูปร่างโดยมีลักษณะเปิดฝ่าท้ายกระเบนนั้น ซึ่งสัมประสิทธิ์แรงด้านมีการลดลงน้อยมาก โดยใกล้เคียงกันกับในกรณีที่ 1 ซึ่งในกรณีที่ 2 นั้นการประทະของอากาศกับฝ่าท้ายกระเบนจะลดลง เนื่องจากเปลี่ยนแนวการติดตั้งฝ่าท้ายกระเบนไปทิศทางแนวนอนกับการไหล ซึ่งเปรียบเสมือนกันยกกระดับของพื้นท้ายรูปสูงขึ้น ซึ่งจะส่งผลให้ค่าสัมประสิทธิ์แรงด้านลดลง และค่าสัมประสิทธิ์แรงยกมีค่าลดลง เช่นกัน (แรงดันเพิ่มขึ้น) แต่มีผลกระทบกับการลดลงของสัมประสิทธิ์แรงยก มากกว่าการลดลงของสัมประสิทธิ์แรงด้าน ซึ่งการยกกระดับพื้นท้ายรูปจะมีผลต่อการกระจายตัวความดันที่ผิวนอกของรถน้อยมาก แต่ความดันเพิ่มรูปในกรณีที่ 1 จะสูงกว่าในกรณีที่ 2 เนื่องจากการเปิดฝ่าท้ายกระเบนบังคับให้เกิดการหักด้วงของการไหล ซึ่งต้องใช้แรง (โมเมนตัม) เป็นอย่างมาก ทำให้ความดันต่ำกว่าและเป็นเหตุให้แรงด้านและแรงยกลดลงในระดับหนึ่ง

กรณีที่ 3 มีการเปลี่ยนแปลงรูปร่างโดยปิดครอบกระเบนรถ โดยการกระจายของความดันจากรูปที่ 5 กรณีที่ 3 เป็นการลดลงของการหมุนวนของอากาศ เนื่องจากไม่มีการประทະของฝ่าท้าย ช่วยการหมุนวนของอากาศก็ลดน้อยลง เนื่องจากความหนาของบริเวณห้องโดยสารค่อนข้างลดลงมากบริเวณกระเบน จนมาถึงบริเวณท้ายกระเบน จึงมีความดันย้อนกลับน้อย ดังนั้นจุดแยกตัวจะเกิดขึ้นน้อยเดียวเท่านั้น ทำให้ความดันด้านหลังของรถมีค่าที่สูงขึ้น และสัมประสิทธิ์แรงด้านก็ลดลงกว่ากรณีที่ 1 และ 2

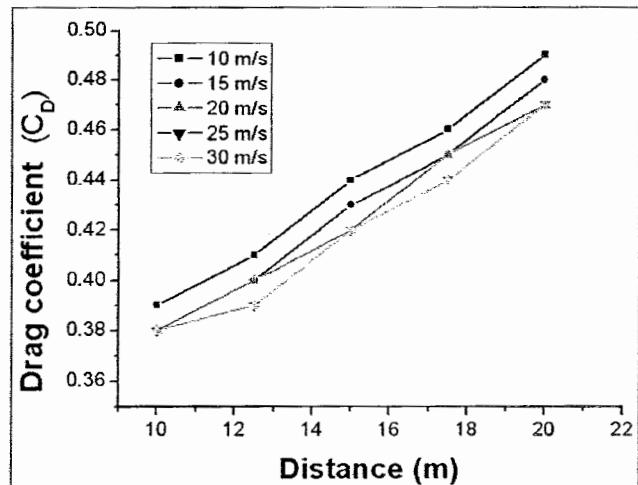
กรณีที่ 4 มีการเปลี่ยนแปลงรูปร่างโดยครอบหลังของกระเบนหัวรถ วิเคราะห์จากรูปที่ 5 กรณีที่ 4 ความหนาของบริเวณห้องโดยสารและบริเวณกระเบนที่เท่ากัน แต่ส่วนบริเวณท้ายรถตั้งด้านบนและล่างมีลักษณะเป็นสี่เหลี่ยมตัดตรง ซึ่งเป็นรูปทรงด้านท้ายที่ก่อให้เกิดแรงด้านมากที่สุด และเรียกว่ารูปทรงนี้ว่า รูปทรงท้ายวิกฤต (Critical After body Geometry) โดยจากรูป พบว่ารูปทรงด้านท้ายได้มีการเปลี่ยนแปลงจนกระทั่งถึงรูปทรงท้ายวิกฤต จะทำให้เกิดการเปลี่ยนแปลงการไหลอย่างฉับพลัน มีความดันย้อนกลับสูง จึงทำให้เกิดแรงด้านสูงกว่าทุกรูป

3.2 การตรวจสอบประสิทธิ์แรงด้าน กรณีว่างตามกัน

จากการศึกษาเมื่อดัน เป็นการทำการกำหนดแบบของนวนเขตการจำลองที่ใช้ในการวิเคราะห์ โดยกำหนดเป็นกล่องสี่เหลี่ยม ลักษณะเดียวกันกับกรณีปัจจุบันท้ายกระเบน ดังแสดงในรูปที่ 6 ซึ่งเป็นการศึกษารถบรรทุกขนาดเล็กว่างตามกัน ในระยะห่างต่างกัน โดยจำลองที่ความเร็วห่างๆ จำนวนของกริด (Grid) 750,000 เอลิเมนท์ เป็น Mesh แบบ Tria/Tet (กริดรูปพีระมิด) โดยทดสอบระยะห่าง 10 – 20 เมตร ที่ความเร็ว 10, 15, 20, 25, 30 เมตรต่อวินาที เพื่อศึกษาอากาศพลศาสตร์และตรวจสอบ สัมประสิทธิ์แรงด้านที่ระยะห่าง และที่ระดับความเร็วต่างๆ ของรถที่ว่างตามหลัง

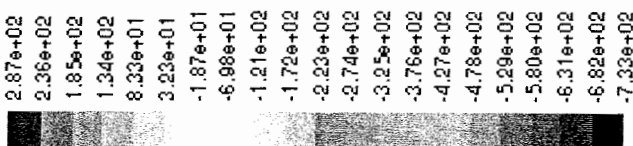
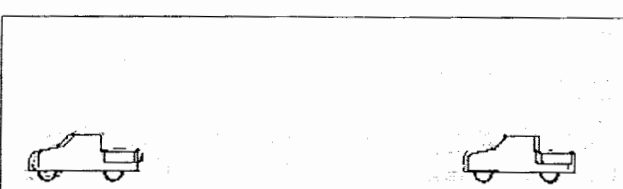
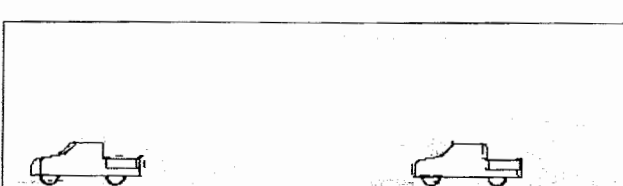
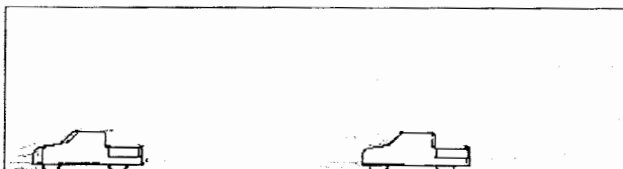
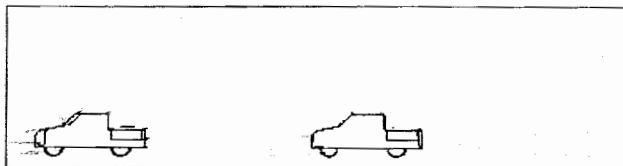
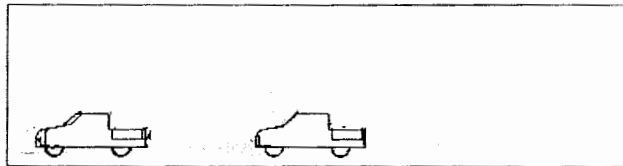


รูปที่ 6 ขอบเขตและเงื่อนไขที่ใช้ในการจำลอง



รูปที่ 7 แสดงค่าสัมประสิทธิ์แรงด้านของรถคันที่ 2 ที่ระยะห่างและระดับความเร็วต่าง ๆ

จากรูปที่ 7 เป็นค่าสัมประสิทธิ์แรงด้านของรถคันที่ 2 โดยค่าสัมประสิทธิ์แรงด้านของรถคันที่ 2 จะปรับผันต่างกับระยะห่างกับรถคันที่ 1 เมื่อระยะห่างมาก ค่าสัมประสิทธิ์แรงด้านจะมากตาม เนื่องจากอิทธิพลของอากาศที่หล่นทิศทางย้อนกลับตามรูปทรงของรถ ทำให้เกิดการแยกตัว (Separation) และในส่วนที่แยกนี้จะเกิดการไหลแบบปั่นป่วน หรือเรียกว่าเกิดคลื่นวน (wake) ที่เกิดจากอากาศไหลผ่านรถ คันที่ 1 ซึ่งทำให้ค่าเรย์โนล์ดสูงขึ้น จึงทำให้ค่าสัมประสิทธิ์แรงด้านต่ำลง และเมื่อระยะห่างมากขึ้น อิทธิพลของคลื่น ระลอกของรถคันที่ 1 ก็ต่ำลง ทำให้สัมประสิทธิ์แรงด้านของรถคันที่ 2 สูงขึ้น สามารถอภิบายได้จาก รูปที่ 8 ซึ่งแสดงเส้นระดับความดันและทิศทางการไหล ในระยะห่างต่าง ๆ กัน โดยความดันที่เกิดขึ้นของรถคันที่ 2 จะลดลงอย่างเห็นได้ชัด ทำให้แรงด้านเนื่องจากความดันลดลง สัมประสิทธิ์แรงด้านจึงต่ำลง



รูปที่ 8 Path line colored by static pressure (pascal)

4. สรุปผลและเสนอแนะ

4.1 กรณีปรับปรุงท้ายระบบ

จากการวิเคราะห์ผลจากการตรวจสอบค่าสัมประสิทธิ์แรงด้าน (จากการจำลองรถบรรทุกขนาดเล็ก 3 มิติ) ที่ความเร็วต่าง ๆ ของทั้ง 4 กรณีนั้น ซึ่งจากการปรับปรุง สามารถตรวจสอบการลดลงและเพิ่มขึ้นของสัมประสิทธิ์แรงด้านได้จากการเปรียบเทียบกับกรณีที่ 1 เปิดท้ายระบบ ซึ่งเป็นกรณีที่มีการใช้งานของรถโดยปกติ ในการนี้ที่ 2 เปิดฝาท้ายระบบสามารถลดสัมประสิทธิ์แรงด้านโดยเฉลี่ย 1.73%, กรณีที่ 3 ปิดครอบระบบ สามารถลดสัมประสิทธิ์แรงด้านโดยเฉลี่ย 6.45%, กรณีที่ 4 โดยครอบท้ายระบบหันหลัง กรณีนี้จากการเปลี่ยนแปลงรูปทรงของระบบ ทำให้สัมประสิทธิ์แรงด้านโดยเฉลี่ยเพิ่มขึ้นเป็น 5.60% จากค่าเฉลี่ยของสัมประสิทธิ์แรงด้าน กรณีปิดท้ายระบบจะให้ค่าเฉลี่ยที่ต่ำที่สุด เพราะฉะนั้นการพยายามที่จะลดค่าสัมประสิทธิ์แรงด้านที่ระบบ

กับรถบรรทุกขนาดเล็กให้เหลือน้อยที่สุด ด้วยการปรับรูปทรงให้มีลักษณะเพรียวลม นอกจากนี้การลดขนาดของแร้งด้านก็ต้องพิจารณาถึงการลดพื้นที่ท้ายในแนวทิศทางตั้งจากกับทิศทางของการเคลื่อนที่หรือกล่าวคือ ออกแบบเพื่อลดความดันในด้านหน้าหรือเพิ่มความดันในด้านหลังของรถ

4.2 กรณีร่วมกัน

ตารางที่ 1 การลดลงโดยเฉลี่ยของ (C_D) รถคันที่ 2 ที่ความเร็วต่าง ๆ

ระยะห่าง (m)	(C_D) คันที่ 1	(C_D) ที่ลดลงคันที่ 2
10.0	0.65	30.14%
12.5	0.65	27.83%
15.0	0.65	19.08%
17.5	0.65	14.38%
20.0	0.65	8.57%

จากการเมื่อระยะห่างของรถสูงขึ้น ค่าสัมประสิทธิ์แรงด้านโดยเฉลี่ยของรถคันที่ 2 จะสูงขึ้นเนื่องจากแรงดันที่กระทำ เนื่องจากอิทธิพลของการแยกตัวจากการไหลผ่านรถคันที่ 1 ต่ำลง ดังนั้นกรณีการขับรถยนต์เพื่อที่จะให้แรงดันของรถต่อ กีวิตรที่จะขับรถให้ใกล้กับรถยนต์คันหน้าให้มากที่สุด แต่ก็ต้องคำนึงถึงความปลอดภัยและความข้อที่กฎหมายกำหนด โดยจะมีการปั้นปูรุ่งและศึกษาต่อไป ซึ่งจะทำให้เกิดการลดลงของสัมประสิทธิ์แรงด้าน สามารถช่วยให้การขับเคลื่อนรถด้วยความเร็วที่สูงขึ้น ในขณะที่อัตราการสิ้นเปลืองน้ำมันเชื้อเพลิงลดลง

สำหรับความคลาดเคลื่อนที่เกิดขึ้นนั้น เป็นผลมาจากการขาดแคลนข้อมูลที่ใช้ได้ถูกต้องด้วยกันดังนี้ คือความไม่ถูกต้องของแบบจำลองของความปั้นปูรุ่น ความผิดพลาดของการแสดงเค้าโครงรถ จำนวนกิริยาที่น้อยเกินไป และการกำหนดเงื่อนไขและขอบเขต

เอกสารอ้างอิง

- [1] C.P. van Dam. Recent experience with different methods of drag prediction. Progress in Aerospace Sciences, 35 (1999), 751-798
- [2] S N Singh, L Rai, P Puri, and A Bhatnagar. Effect of moving surface on the aerodynamic drag of road vehicles Proc. KMechE. Automobile Engineering, 219(2000), 98-114
- [3] F.R. Grosche, G.E.A. Meier. Research at DLR Gottingen on bluff body aerodynamics drag reduction by wake ventilation and active flow control. Journal of Wind Engineering and Industrial Aerodynamics, 89 (2001), 1201-1218
- [4] H. Fukuda, K. Yanaginoto, H. China, and K. Nakagawa. Improvenent of vehicle aerodynamics by wake control. SAE Review, 16 (1995), 151-155
- [5] F. Muyl, L. Dumas, and V. Herbert. Hybrid method for aerodynamic shape optimization in automotive industry. Computers & Fluids, 33 (2004) 849-858

- [6] M.Tomiyama, K. maeda, and F. Nakamura. The development of a method to obtain the optimum lift coefficient using the vehicle dynamic analysis. JSAE Review, 23 (2002), 69-74
- [7] S. Yamamoto, K. Yanagimoto. H. Fukuda, H. China, and K. Nakagawa. Aerodynamic influence of a passing vehicle on the stability of the other vehicles. JSAE Review, 18 (1997), 39-44
- [8] อาทิตย์ ฤทธิเลื่อน และ อุดมเกียรติ นนท์แก้ว. การวิเคราะห์การไหลของอากาศรอบรถยนต์เมื่อวารสารวิชาการพระจอมเกล้าฯ พระนคร เนื้อ. ปีที่ 13, ฉบับที่ 2 เม.ย.-มิ.ย. 2546

อากาศพลศาสตร์ของรถบรรทุกขนาดเล็ก โดยวิธีจำลองเชิงตัวเลข

Aerodynamics Utility Truck By Computational Fluid Dynamics

ปรัชญา มุขดา^{1*}, วิรพันธ์ สีหานาม² และ กุลเรชฐ์ เพียรทอง³

นักศึกษาระดับมหาบัณฑิต¹ นักศึกษาระดับปรัชญาบัณฑิต² ผู้ช่วยศาสตราจารย์ สาขาวิชาภารมเครื่องกล คณะวิศวกรรมศาสตร์ มหาวิทยาลัยอุบลราชธานี อ.วารินชำราบ ช.อุบลราชธานี 34190 โทรศัพท์ 0833662686 โทรสาร 045353380 อีเมลล์ mukdaen@hotmail.com

P. Mukda^{1*}, W. Seehanam² and K. Pianthong³

Master Degree Student¹ PhD Candidate² Assistant Professor, Mechanical Engineering, Faculty of Engineering, Ubon Ratchathani University, Warin Chamrab, Ubon Ratchathani, Thailand 34190 Tel 0833662686 Fax 045353380 email: mukdaen@hotmail.com

บทคัดย่อ—งานวิจัยนี้ เป็นการศึกษาอากาศพลศาสตร์ที่เกิดขึ้นกับรูปทรงท้ายระบบของรถอนต์บรรทุกขนาดเล็ก ห้องผู้โดยสารสอง 2 ตอน โดยมีการรับเปลี่ยนอุปกรณ์ท้ายระบบ หรือการติดตั้งอุปกรณ์เสริม และศึกผลกระทบจากการให้ของอากาศเข้าสู่ภายในห้องผู้โดยสาร เพื่อทดสอบและปรับเปลี่ยน ประสิทธิ์แรงด้าน โดยใช้อุปกรณ์คอมความเร็วต่ำ และวิธีจำลองเชิงตัวเลข ซอฟต์แวร์ Fluent จำลองแบบ 3 มิติ ใช้สมการคำนวณการไหลตามมาตรฐาน k-E ทดสอบแบบจำลองรถบรรทุกขนาดเล็ก ที่ความเร็ว 18 – 43 km/hr เพื่อเรียนเที่ยบและยืนยันผลก่อนการทดสอบขนาดจริง ด้วยวิธีจำลองเชิงตัว ที่ความเร็ว 36 – 126 km/hr ทดสอบหาสัมประสิทธิ์แรงด้าน กรณีเปิดระบบ กติ ซึ่งเป็นกรณีเปรียบเทียบกับกรณีดังๆ คือ เปิดฝ้าท้ายระบบ, ไม่มีฝ้าท้ายระบบ, ปิดระบบ, ครอบท้ายระบบแบบปิด, ครอบท้ายระบบแบบตรง, ลักษณะเปิดกระเจรจารวม 100 เปอร์เซ็นต์ 1 ด้านและ 2 ด้าน ที่ความเร็วและน้ำหน้าดัดของรถเดียวกัน จากการทดสอบพบว่า กรณีเปลี่ยนรูปทรงท้ายระบบ ครอบท้ายระบบแบบปิด นิ่มสัมประสิทธิ์แรงด้านต่ำสุดคือ 0.4 (ที่ความเร็วคงเดิม) ลดอัตราการสิ้นเปลืองเชื้อเพลิงได้ 6.91 เปอร์เซ็นต์ กรณีครอบท้ายระบบแบบตรง นิ่มสัมประสิทธิ์แรงด้านสูงสุดคือ 0.75 เพิ่มอัตราการน้ำเปลืองเชื้อเพลิง 8.81 เปอร์เซ็นต์ และกรณีเปิดกระเจรจารวม 1 ด้าน และ 2 ด้านจะเพิ่มอัตราการสิ้นเปลืองเชื้อเพลิงเป็น 0.34 และ 0.58 เปอร์เซ็นต์ สรุคณ์ยืนยันว่า การลดการให้เข้าห้องผู้โดยสาร หรือลดการหมุนวนของอากาศที่เกิดจากรูปทรงท้ายระบบ และการเปลี่ยนรูปทรงท้ายระบบใหม่ ภัยภัยเพรียวลม ก็จะสามารถลดพลังงานในการขับเคลื่อนได้ดีที่สุด

คำสำคัญ—อากาศพลศาสตร์, รถอนต์บรรทุกขนาดเล็ก, จำลองเชิงตัวเลข

Abstract— This study aims to investigate the aerodynamic characteristic of the cab pick-up truck. The pick-up box of the car has been modified and tested for drag coefficient by using low speed wind tunnel and using 3 dimensional computational fluid dynamic (CFD) technique (FLUENT). Models are tested at speed between 18 – 43 km/hr in the wind tunnel, before all dimension tested at speed between 36 – 126 km/hr in CFD. Six car models

which are (1) normal pick-up box, (2) tailgate down, (3) tailgate off (4) covered pick-up box, (5) slope rear box, (6) van. All models have the same frontal area, only aft bodies are different. And open windshield 100 percentage 1 side and 2 side cases are also studied. In this study, the main focus is to investigate the aerodynamic characteristics to reduce the coefficient of drag, (C_D) due to the wake at the rear body of the pick-up car. When the slope rear box is used the C_D is reduced from 0.52 to be 0.4 (speed average), fuel consumption reduce by 6.91 percentage. When van case is used, the C_D increase by 0.75, the fuel consumption increase by 8.81 percentage, and open windshield 1 side and 2 side increase fuel consumption by 0.34 and 0.58. This study confirms that reduction of internal flow in to the cab or reduce wake by the geometry at the rear body of the pick-up car can significantly affect the C_D , hence the energy economy.

Keywords—aerodynamic, utility truck, computation fluid dynamic.

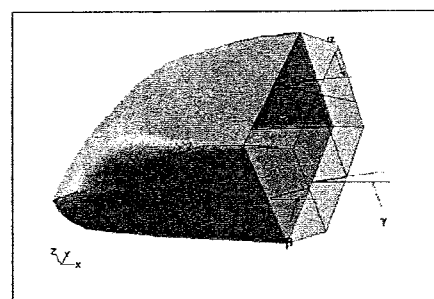
I. บทนำ

ปัจจุบัน ประเทศไทยได้ยกอุดสาحرมนายนต์เป็นอุดสาحرมนักดักของประเทศไทย โดยจะผลักดันให้เป็น “ศีกรอยต์แห่งเอเชีย” ใน การผลิตรถบรรทุกเล็กขนาด 1 ดัน หรือ รถปิกอัพ ที่มีอัตราการผลิตสูงที่สุด และประเทศไทยยังมีการใช้รถบรรทุกเล็กมากที่สุดในโลก แต่อย่างไรก็ตาม ถึงแม้จะมีการออกแบบรถบรรทุกเล็กให้มีนิ่มสัมประสิทธิ์แรงด้านที่ต่ำอยู่แล้ว แต่ก็สามารถนำองค์ความรู้ด้านอากาศพลศาสตร์มาปรับปรุงให้กับนิ่มสัมประสิทธิ์แรงด้านนี้ได้ต่ำกว่าที่เป็นอยู่ได้อีก เพื่อช่วยในการประหยัดพลังงาน และการใช้งานจริง ผู้ใช้งานบางส่วนมีการติดตั้งอุปกรณ์เสริม ทำให้กับนิ่มสัมประสิทธิ์แรงด้านเปลี่ยนแปลงจากรถที่ผลิตจากโรงงาน ซึ่งอาจทำให้เกิดการสิ้นเปลืองพลังงานโดยไม่จำเป็น ดังนั้นจึงเป็นอย่างยิ่งที่จะต้องมีการศึกษาองค์ความรู้ด้านอากาศพลศาสตร์มาพัฒนาปรับปรุงรูปทรงท้ายระบบ หรือการใช้งานอุปกรณ์เสริมของรถบรรทุกเล็กให้ลูกค้า

เรทคสอบสัมประสิทธิ์แรงด้านโดยอุโมงค์ลม

ชี้วิธีการศึกษาด้วยวิธีการทดลอง (wind tunnel) เป็นอุปกรณ์ที่สำคัญในการศึกษาในอากาศพลศาสตร์ ใช้ทดสอบแรงด้านของวัตถุรูปทรงต่างๆ และใช้วิเคราะห์น้ำการไหลที่เกิดจากการแยกตัวของอากาศ (separation) ซึ่งจะเกิดการแยกตัวเมื่อวัตถุเป็นรูปร่างไม่มีลักษณะเพรียวน (buff body) นี้องจากความแตกต่างของความดันที่จุดแยกตัวมีค่านานา ทำให้ค่าสัมประสิทธิ์แรงด้านมีค่าที่สูงตามด้วย [1] โดยได้นำมาหลักการนี้มาปรับปรุงรูปทรงของร่องรอยด้วยตัวเอง ซึ่งในการทดสอบในอุโมงค์ลมขนาดเล็ก ใช้รูปแบบจำลองในการทดสอบ แต่จะเกิดความคลาดเคลื่อนของค่าสัมประสิทธิ์แรงด้านที่วัดได้จากการทดสอบมีต่างกับค่าที่เกิดขึ้นกับร่องรอยตัวจริง เนื่องจากรายละเอียดรูปทรงจำลอง ไม่สามารถสร้างเหมือนจริงทุกรายละเอียด ซึ่งก็ได้ใช้อุโมงค์ลมขนาดใหญ่ที่สามารถทดสอบร่องรอยตัวจริงได้ โดยสามารถทดสอบร่องรอยตัวจริงด้วยตัวเอง และวิเคราะห์สถานการณ์ให้ที่เกิดขึ้นได้อย่างชัดเจน [2] แต่ปัจจุบันรูปทรงของร่องรอยตัวจริงของยานเสื้อเชือกที่มีผลกับค่าสัมประสิทธิ์แรงด้านได้ถูกต้อง และวิเคราะห์สถานการณ์ให้ที่เกิดขึ้นได้อย่างชัดเจน [2] แต่ปัจจุบันรูปทรงของร่องรอยตัวจริงของยานเสื้อเชือกที่มีผลกับค่าสัมประสิทธิ์แรงด้าน แม้แต่ปีกจะต้อง หรืออุปกรณ์เสริมเพื่ออำนวยความสะดวกในการใช้งาน ก็มีผลให้สัมประสิทธิ์แรงด้านเพิ่มขึ้น โดยเฉพาะอุปกรณ์เสริมที่ติดตั้งอยู่กับตัวเครื่อง การให้ร่องรอยตัวจริงและชั้นนอกจากตัวเครื่อง ซึ่งเป็นอุปกรณ์ที่ทำให้เกิดการสูญเสีย (loss) โดยอุปกรณ์เหล่านี้จะลดชั้บพลังงานส่วนของความดัน (pressure load) และลดความเร็ว (velocity head) ของอากาศเมื่อปะทะกับร่อง ชั้นนอก ยานเสื้อเชือก อุปกรณ์นั้นจะส่งผลต่อค่าด้านข้างกระดาษ อุปกรณ์สำหรับวัดของบนหลังคาในด้านซึ่งเพิ่มอัตราการลื่นแปลงเรือเพลิง 4 ถึง 6 เปลอร์เซ็นต์ แต่ก็มีอุปกรณ์เสริมที่ช่วยลดร่องรอยตัวจริงด้านซึ่งเป็นอุปกรณ์ที่ช่วยในลดการหมุนเวียนของอากาศ (vortex or recirculation) เช่น ที่บังอ้อ เป็นต้น ซึ่งลดอัตราการแปลงเรือเพลิง 5 ถึง 7 เปลอร์เซ็นต์ [3] ซึ่งเป็นการลดอัตราการสูญเสียโดยรวมลดการหมุนเวียนของอากาศ ที่เกิดขึ้นกับชั้นนอกตัวเครื่องนั้น ซึ่งมีการสูญเสียในร่องรอย (internal flow loss) ของอากาศสามารถให้เข้าผ่านช่องว่างระหว่างส่วนประกอบของชั้นส่วนภายนอก (gab) ทำให้เกิดการหมุนเวียนภายใน ซึ่งมักจะเกิดขึ้นกับช่วงหัวระหัวหางระหว่างองค์ประกอบต่างๆ โดยการกัดตัวเองที่ชั้นภายนอก ทำให้เกิดการหมุนเวียนภายในร่องรอย โดยสามารถลดการสูญเสียที่เกิดขึ้นโดยการติดตั้งอุปกรณ์เพื่อปิดหรือลดการให้เข้าสู่ช่องว่าง แต่การทดสอบในอุโมงค์ลมก็มีข้อจำกัดของการวัดค่าสัมประสิทธิ์แรงด้าน ในกรณีที่การปรับเปลี่ยนขนาดหรือรูปทรงของอุปกรณ์เสริมที่มีความละเอียด เช่นการติดตั้งค่าสัมประสิทธิ์แรงด้านของการปรับเปลี่ยนของสปอร์เซอร์ของร่องรอยแบบนี้ ซึ่งค่าที่วัดได้จากการทดสอบในอุโมงค์ลมไม่สามารถวิเคราะห์ผลได้อย่างถูกต้อง ไม่มีความละเอียดพอ และข้อจำกัดของสภาพอากาศของการทดสอบ คือความเร็ว ความดัน อุณหภูมิของอากาศ เป็นต้น โดยการทดสอบส่วนใหญ่จะจำกัดอยู่ในสภาพอากาศแวดล้อม ซึ่งในปัจจุบันได้มีวิธีการทดสอบแบบร่องรอยอุปกรณ์เสริมโดยไม่ต้องเปลี่ยนเงินทุน และเวลาในการทดสอบ [4]

การทดสอบสัมประสิทธิ์แรงต้าน โดยวิธีจำลองเชิงคัวเลข



รูปที่ 1 แสดงมุม (α , β , γ)

รูปที่ 3 เปรียบเทียบ turbulent model จำลองการไหล กับผลการ

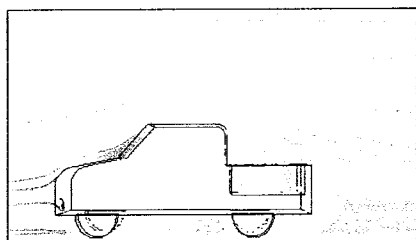
ทดสอบของ Grosche

การเบริยบเทียบสัมประสิทธิ์แรงด้านของทรงกลม โดยการทดสอบในอุโมงค์ลม และ CFD

ในการทดสอบใช้อุโมงค์ลมแบบเปิด โดยอากาศไหลเข้าที่ปลายข้างหนึ่งผ่านส่วนทดสอบแบบจำลอง (Test section) แล้วไหลออกไปทางอีกข้างหนึ่ง อากาศมีความดันเท่ากับความดันบรรยายอากาศ โดยใช้พัดลมดูดอากาศที่ติดกับบนอเตอร์ (Motor) ขนาด 5.5 hp มีเครื่องมือความถ่วงคงมอเตอร์ (Inverter) ให้อากาศที่ไหลผ่านส่วนปั๊บดิน มีความเร็วที่ 5 ฟิ้นท์ 10 m/s (18 - 36 km/hr) ใช้บาร์โรมานิเตอร์ (Barometer) เป็นเครื่องมือวัดความดันและความเร็วอากาศ แสดงในรูปที่ 4 ใช้ทดสอบสัมประสิทธิ์แรงด้านของวัตถุทรงกลม เส้นผ่าศูนย์กลาง 0.1 m ที่ติดกับเครื่องมือวัดแรงด้าน (Load cell) ซึ่งจะเป็นแรงที่อากาศกระทำกับวัตถุทรงกลม นำมาคำนวณหาสัมประสิทธิ์แรงด้าน จากสมการ

$$C_D = \frac{F_D}{\frac{1}{2} \rho V^2 A} \quad (1)$$

โดยที่ C_D คือสัมประสิทธิ์แรงด้านรวม, F_D คือแรงด้านรวมที่กระทำต่อวัตถุ (N), ρ คือความหนาแน่นของอากาศ (kg/m^3) และ A คือพื้นที่ที่ตั้งจากกับพื้นที่ทางการไหล (m^2) โดยนำผลที่ได้มาเปรียบเทียบกับผลทดสอบด้วยวิธีจำลอง เชิงตัวเลข ซึ่งใช้สมการการคำนวณการ ไฟล์ k-E ที่ได้ยืนยันความถูกต้องแล้ว จำลองที่ขนาดและสภาพเดียวกันกับการทดสอบในอุโมงค์ลม ซึ่งจากการทดสอบนี้ สัมประสิทธิ์แรงด้านโดยอุโมงค์ลมและวิธีจำลองเชิงตัวเลขนี้ ค่าสัมประสิทธิ์แรงด้านนี้ค่าใกล้เคียงกัน โดยค่าที่ได้จากการทดสอบด้วยอุโมงค์ลม จะให้ผลต่างที่มีค่าสูงกว่าวิธีจำลองเชิงตัวเลข 5 เปอร์เซ็นต์ (โดยเฉลี่ย) ซึ่งจะแสดงค่าสัมประสิทธิ์แรงด้านจากการทดสอบห้องสองแบบ และเปรียบเทียบกับทฤษฎี แสดงในรูปที่ 5



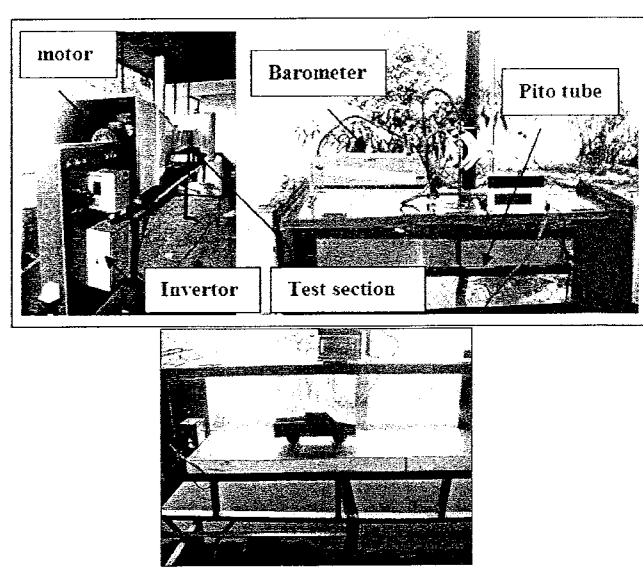
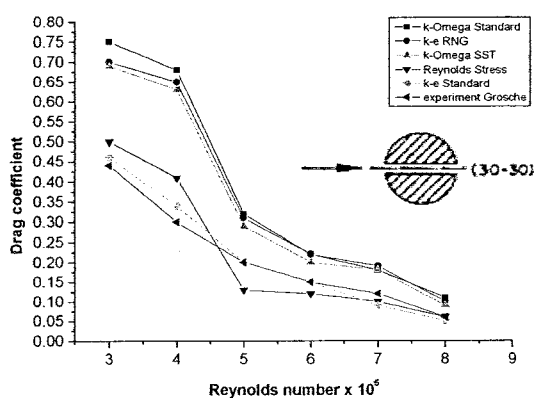
รูปที่ 2 แสดงการไหลผ่านรถบรรทุกเล็ก

ดังนั้นโดยทั่วไปค่าสัมประสิทธิ์แรงด้านของรถบรรทุกเล็กจะสูง เนื่องจากปัจจัยที่ระบุนั้นทำให้อากาศแยกตัว เกิดการหมุนวน (wake) ของอากาศที่หลังจากน้ำหนัก เนื่องจากความต่างของความดัน ระหว่างด้านหน้าและท้ายระบบ และอากาศที่หมุนวนจะปะทะกับท้ายระบบ ตามรูปที่ 2 จะทำให้เกิดแรงด้าน และแรงการไห้กับเครื่องยนต์ ที่ไห้เครื่องยนต์ใช้พลังงานสัมประสิทธิ์มากขึ้น ดังนั้นแนวโน้มนี้เป็นการปรับปรุงด้านอาชีวศึกษาศาสตร์ของรูปที่ 4 ที่หมุนวนของระบบรถบรรทุกเล็กเพื่อให้สัมประสิทธิ์แรงด้านลดลง โดยใช้อุโมงค์ลมเป็นเครื่องมือในการทดสอบ ควบคู่กับการใช้ที่การคำนวณเชิงตัวเลขของไฟล์พลศาสตร์ computational fluid dynamics และสรุปข้อบ่งชี้ของการใช้งานในปัจจุบัน ร่องที่แสดงแนวทางแก้ไข หรือวิธีการใช้งานที่เหมาะสมที่สุด เพื่อลดการเปลี่ยนแปลงงานให้นำมากที่สุด

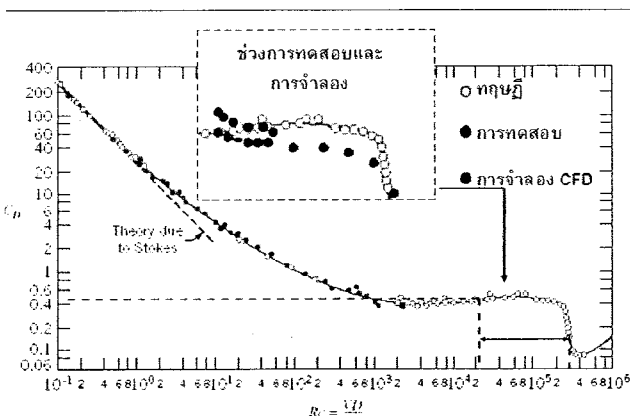
II. ระเบียบการวิจัย

การทดสอบสมการจำลองการไหลชนิดต่างๆ

การศึกษาขั้นต้น เป็นการใช้วิธีจำลองเชิงตัวเลข เพื่อการทดสอบสมการการคำนวณการไหลชนิดต่างๆ เพื่อเปรียบเทียบและยืนยันผลว่า สมการชนิดใดนิ่ว ความถูกต้องกับลักษณะการจำลอง โดยใช้ซอฟต์แวร์ FLUENT จำนวน กริด (grid) 355,000 เอลิเมนต์ mesh ที่ใช้เป็นแบบ Tri/Tet (กว้างใหญ่กว้างน้อย) เพื่อบันทึกศึกษาของ Grosche et al., (2001) ซึ่งเป็นการทดสอบสัมประสิทธิ์แรงด้าน วัตถุทรงกลม เจาะรูทรงกลด โดยใช้อุโมงค์ลมเป็นเครื่องมือในการทดสอบ โดยสมการการคำนวณการไหล ชนิดมาตรฐาน k-E ให้ผลใกล้เคียงกับผลการทดสอบในอุโมงค์ลมของ Grosche มากที่สุด ซึ่งผลได้แสดงในรูปที่ 3



รูปที่ 4 ชุดทดสอบสัมประสิทธิ์แรงด้าน (อุโมงค์ลม)

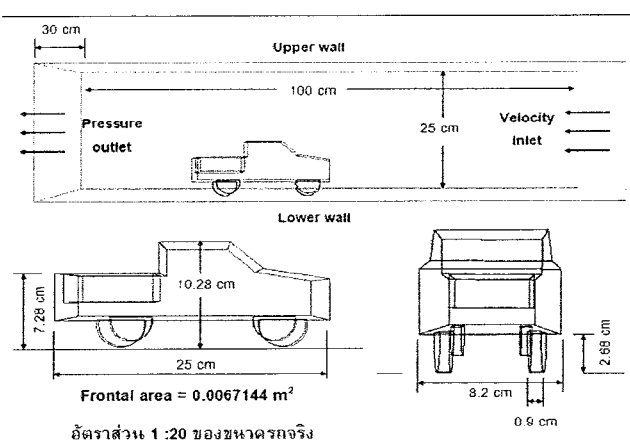


รูปที่ 5 แสดงการเปรียบเทียบผลทดสอบสัมประสิทธิ์แรงต้าน (C_D)

จากรูปที่ 5 เป็นการทดสอบสัมประสิทธิ์แรงต้านของทรงกลมในอุโมงค์ลม ด้วยวิธีจำลองเชิงตัวเลข เปรียบเทียบกับทฤษฎีอูในช่วงค่าเรย์โนลต์ เท่ากับ $2 \times 10^4 - 3.0 \times 10^5$ ซึ่งค่าสัมประสิทธิ์แรงต้านจะลดลง เมื่อค่าเรย์โนลต์สูงขึ้น อย่างจากอัพพลิเคชันความหนืดที่ผิวทรงกลมกับอาศาลดลง ผิวทรงกลมจะหักบends ลดลงตามความดันอากาศเพิ่มขึ้น โดยการทดสอบห้องส่องแบบนี้ค่าไกล์เดียว นับทฤษฎี อู ซึ่งสามารถนำสภาวะการไหล สมการการคำนวณ ชนิดและแนวกริด ไปทดสอบแบบจำลองรถบรรทุกเล็กเพื่อตรวจสอบสัมประสิทธิ์แรงต้านต่อไป

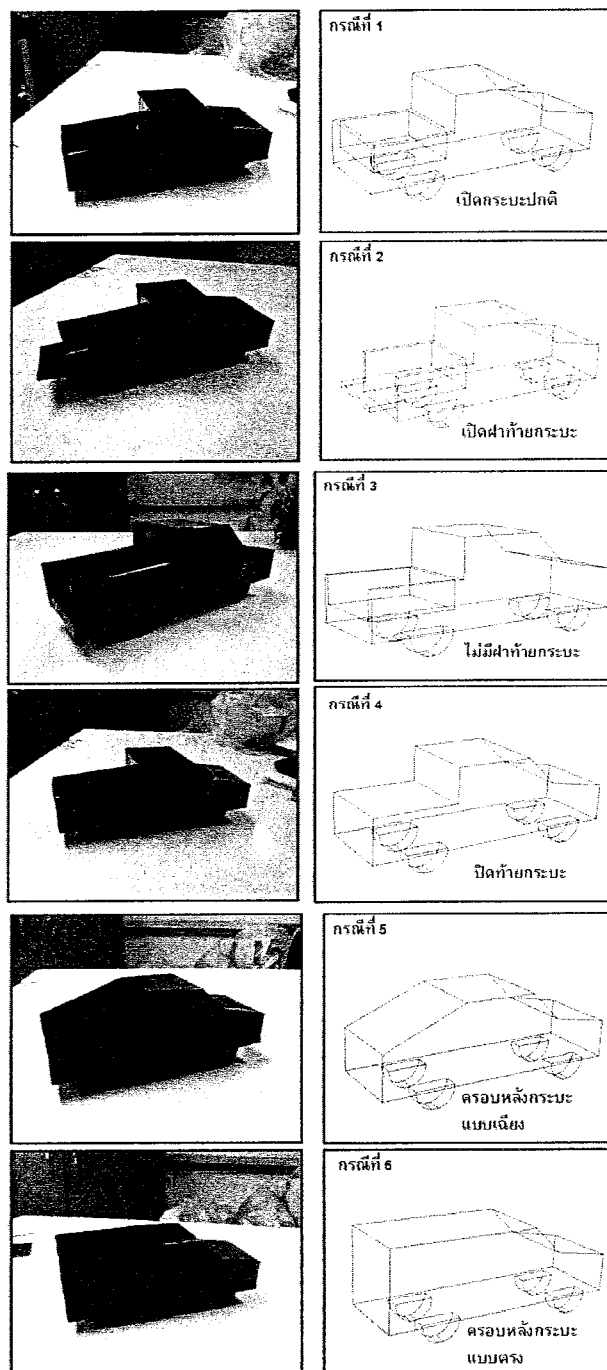
การทดสอบสัมประสิทธิ์แรงต้าน รถบรรทุกเล็กแบบจำลองขนาดชั้อด้วย ภายนอก อุโมงค์ลม และวิธีจำลองเชิงตัวเลข

การทดสอบแบบจำลองในอุโมงค์ลม ใช้วัสดุห้ามกัด (frontal area) เท่ากับ 0.0067144 m² ทดสอบที่ความเร็ว 18 - 36 km/hr โดยทดสอบควบคู่กับวิธีจำลอง เชิงตัวเลข โดยใช้ขนาดแบบจำลอง และ test section เท่ากัน เพื่อเปรียบเทียบผล อนที่จะทดสอบขนาดจริงด้วยวิธีจำลองเชิงตัวเลข

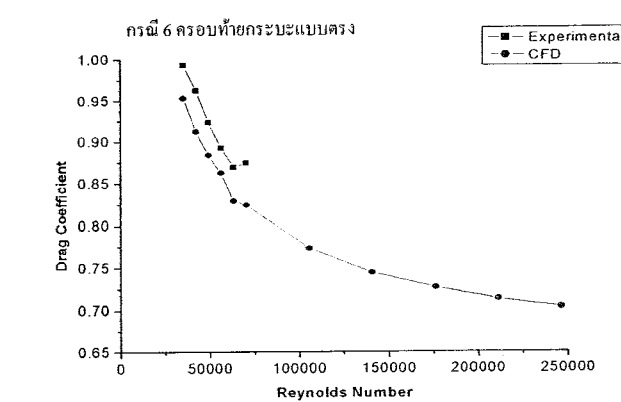
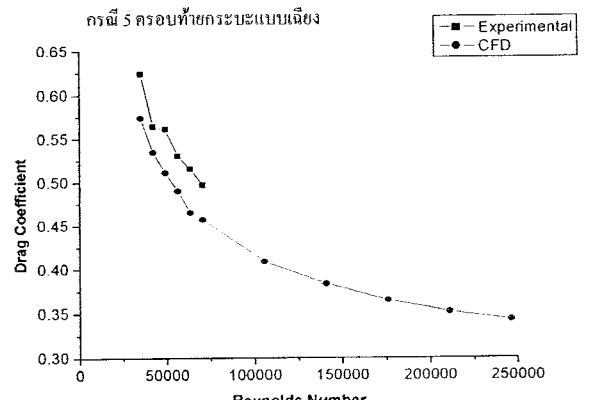
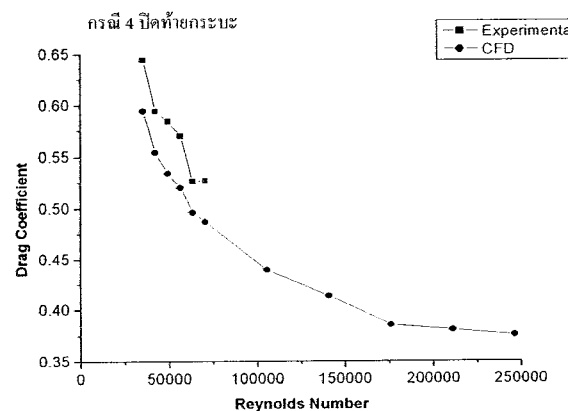
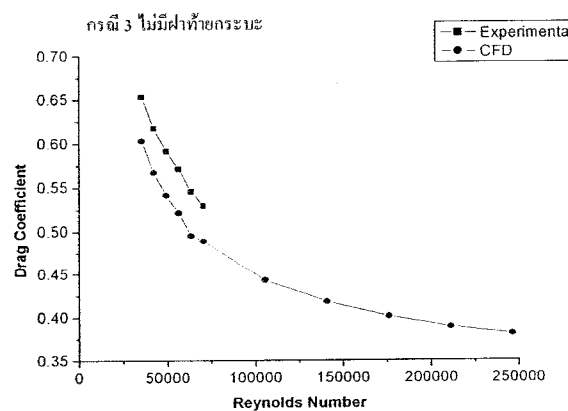
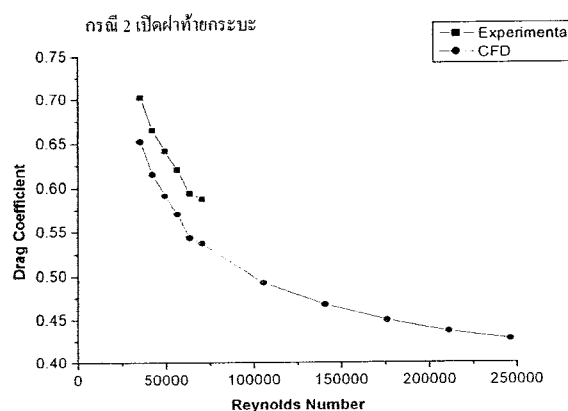
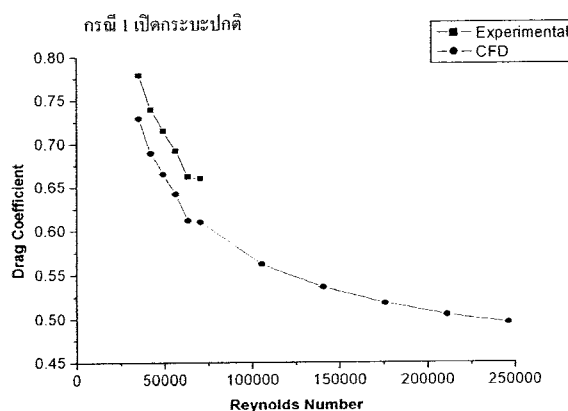


รูปที่ 6 ขนาดของแบบจำลอง และลักษณะการทดสอบในอุโมงค์ลม

โดยทดสอบรถบรรทุกเล็กที่มีการเปลี่ยนแปลงรูปทรงท้ายระบบ 6 กรณี คือ การเปิดกระโปรงปกติ (normal pick-up box) ซึ่งเป็นกรณีเปรียบเทียบกับกรณี ต่างๆ คือ เปิดฝ่าท้ายระบบ (tailgate down), ไม่มีฝ่าท้ายระบบ (tailgate off), ปิดท้ายระบบ (covered pick-up box), ครอบท้ายระบบแบบเฉียง (lope rear box) และครอบท้ายระบบแบบตรง (van) โดยที่พื้นที่หน้าตัดของรถเท่ากัน รูปท้ายด้านซ้ายเป็นแบบจำลองที่ใช้ทดสอบในอุโมงค์ลม และด้านขวาเป็นแบบจำลองที่จำลองด้วยวิธีเชิงตัวเลข แสดงดังรูปที่ 7



รูปที่ 7 แบบจำลองกรณีต่างๆ ที่ใช้ทดสอบในอุโมงค์ลมและ CFD



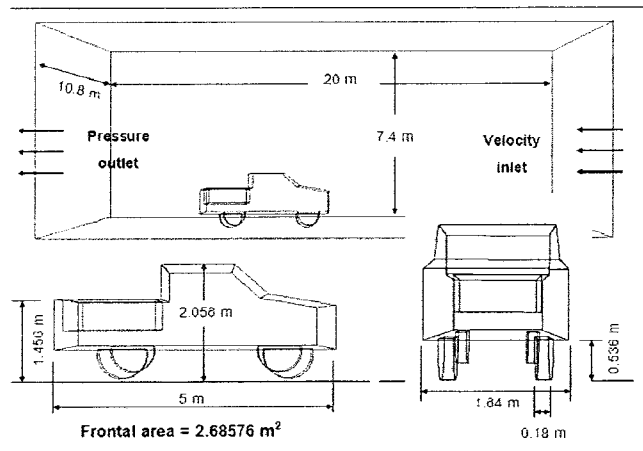
รูปที่ 8 กราฟแสดงสัมประสิทธิ์แรงต้านของรอนขนาดจำลอง กราฟต่างๆ

จากราฟ เป็นค่าสัมประสิทธิ์แรงต้านของแบบจำลองของรอนทุกเล็ก ในการเปลี่ยนแปลงญูร์ว่างท้ายกระรูบกรณีต่าง ๆ ซึ่งสัมประสิทธิ์แรงต้านจะลดลง เมื่อความเร็วหรือ เรยโนล็อกเพิ่มขึ้น เนื่องจาก การทดสอบวัดถูกทรงกลม โดย สัมประสิทธิ์แรงต้านของแต่ละกรณีจะมีค่าเดียวกัน ซึ่งแสดงให้เห็นถึงการเปลี่ยนแปลงค่าสัมประสิทธิ์แรงต้าน ว่าเมื่อหลักบัญชีทางท้ายกระรูบ โดยค่าที่ได้ จากการทดสอบในอุโมงค์ลมจะมีค่าสูงกว่าวิธีจำลองเชิงตัวเลข ซึ่งมีความแตกต่างไม่เกิน 5 เปอร์เซ็นต์ เนื่องจากความก้าวหน้าของการทดสอบแบบจำลองในอุโมงค์ลม ทำให้สภาวะการไหลไม่คงที่ เนื่นความเร็ว ความดัน ความหนืด โดย เมื่อเวลาไหลผ่านช่วงการทดสอบแบบ ก็จะให้ความเร็วสูงขึ้น ความหนืดของอากาศมีผลกับผนังของส่วนทดสอบ ทำให้สัมประสิทธิ์แรงต้านที่ใช้อุโมงค์ลมทดสอบสูงกว่าวิธีจำลองเชิงตัวเลข

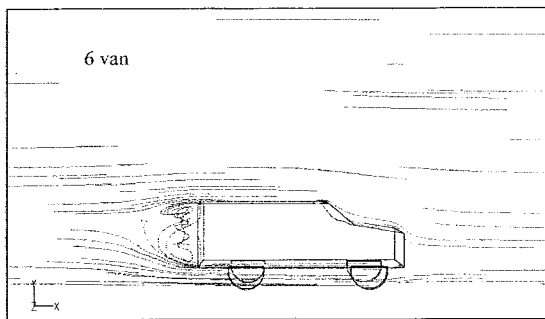
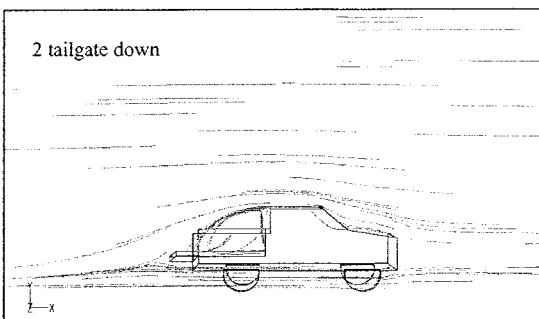
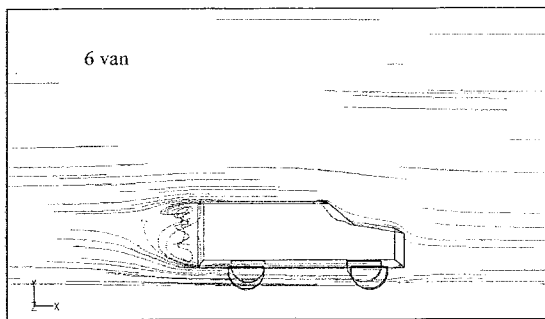
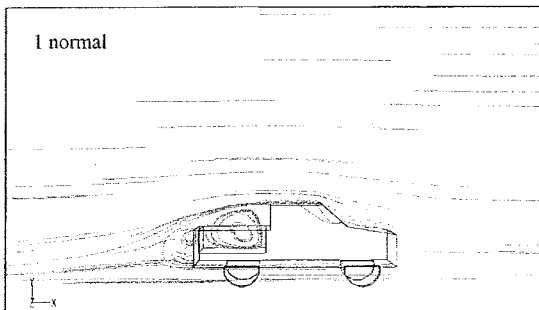
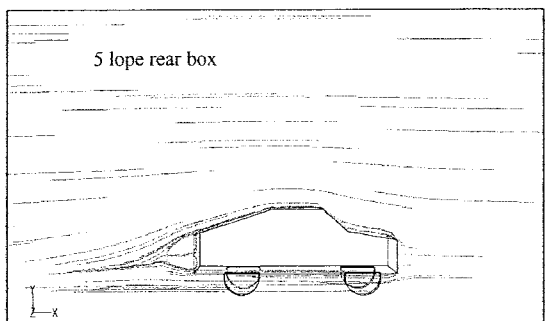
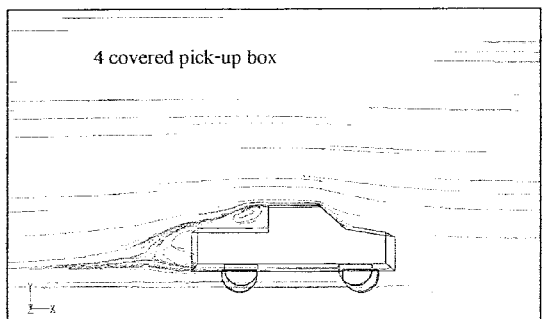
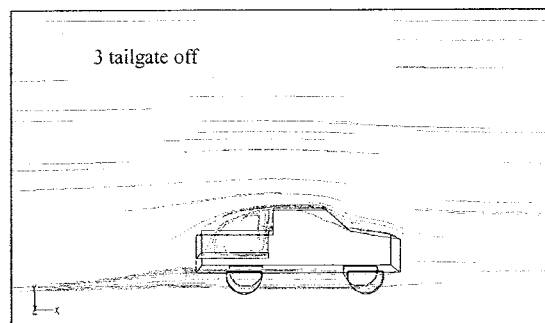
การทดสอบสัมประสิทธิ์แรงต้าน รอนทุกเล็กแบบจำลองขนาดจริง กราฟต่างๆ โดยวิธีจำลองเชิงตัวเลข

เป็นการจำลองขนาดจริง ที่มีการเปลี่ยนญูร์ว่างท้ายกระรูบทั้ง 6 กราฟ โดย วิธีจำลองเชิงตัวเลข 3 มิติ และเพิ่มกรณีศึกษาที่มีความเร็วปะงับช้อนขึ้น คือ กรณีเปลี่ยนรูปแบบจากช้า 100 เปอร์เซ็นต์ 1 ด้าน และ 2 ด้าน เพื่อตรวจสอบผลสัมประสิทธิ์แรงต้านที่เปลี่ยนไป โดยขยายขนาดความกว้าง และความสูง ของผนังด้านข้างและด้านบนของส่วนทดสอบ เพื่อไม่ใช้มีผลกับสัมประสิทธิ์แรงต้านของรอนที่ใช้จำลอง ทดสอบที่ความเร็ว 36 - 126 km/hr ค่าเรชโนลด์เท่ากับ

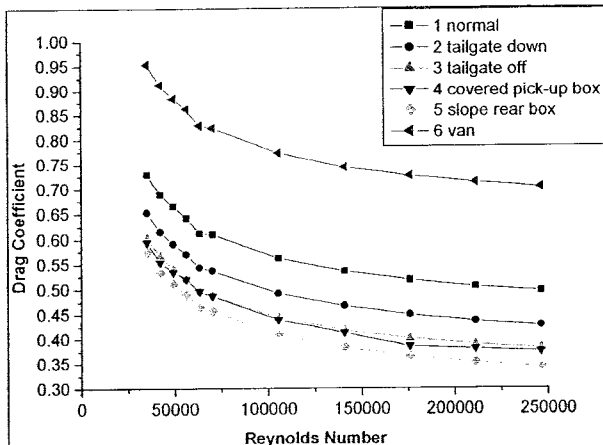
$6 \times 10^1 - 2.5 \times 10^3$ ใช้เงื่อนไขในการทดสอบเดียวกันกับ การทดสอบวัดถุงรอง โดย ใช้กริด 550,000 อิเลเมนต์ mesh ที่ใช้เป็นแบบ Tri/Tet (กริดรูป สามเหลี่ยม) สามารถคำนวณการไหลชนิดมาตรฐาน k-E ความเร็วที่ผิวดวงรถเป็น นัยน์องจากอิทธิพลของความหนืด ภาคสาขาเข้ากำหนดเป็น velocity inlet ภาคขาออกกำหนดเป็น pressure outlet โดยไม่ถูกรบกวนจากภูปร่างของรถ ดังให้ค่าที่กำหนดความดันบรรยากาศ ขนาดพื้นที่หน้าตัดของรถเท่ากับ 2.68576 m^2 ดังรูปที่ 9



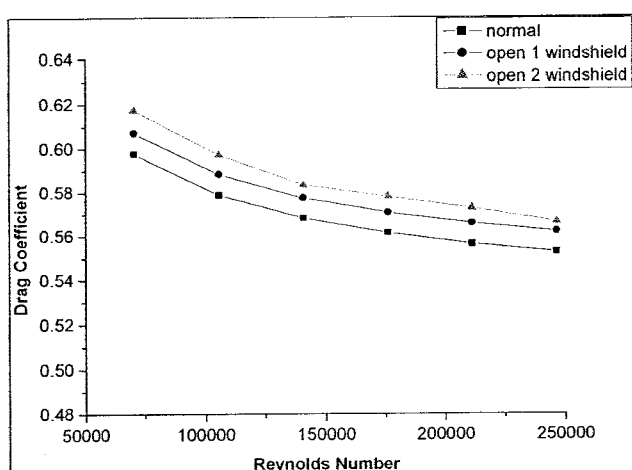
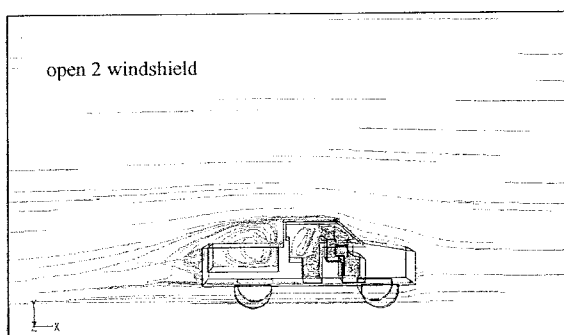
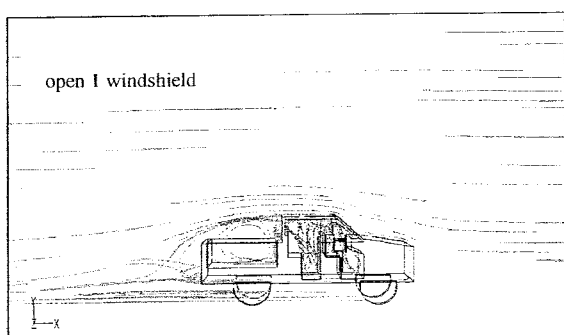
รูปที่ 9 แสดงขนาดและเงื่อนไขในการทดสอบแบบจำลองขนาดจริง



รูปที่ 10 แสดงการหมุนเวียนของอากาศที่แยกต่างกัน โดยรูปร่างท้ายกระนง
แยกต่างกัน



รูปที่ 11 กราฟแสดงค่า C_D ที่เปลี่ยนไปร่วมของรูปทรงท้ายกระบอกกรณีต่างๆ



รูปที่ 12 แสดงการหมุนวนของอากาศและค่า C_D กรณีเปิดกระบอกข้าง

III. วิเคราะห์ผล

กรณีเปลี่ยนรูปร่างท้ายกระบอก

จากผลการทดสอบนี้ สำมประสิทธิ์แรงด้านจะลดลงและเพิ่มขึ้นกับการเปลี่ยนแปลงการกระจาดความดันด้านหน้าและด้านท้ายกระบอกของรถโดยปัจจัยหลักของการออกแบบ คือเพื่อลดความดันด้านหน้าและเพิ่มความดันในด้านท้ายของรถ โดยสามารถวิเคราะห์ได้จากการ

$$F_D = \int_{front} p \cos \theta dA - \int_{back} p \cos \theta dA \quad (2)$$

กรณีที่ 1 ซึ่งเป็นกรณีเปิดกระบอกตันน์ ขนาดของแรงด้านนั้นจะขึ้นอยู่กับความแตกต่างของความดันระหว่างด้านหน้าและด้านหลังของรถ โดยแบ่งความแตกต่างออกได้เป็น 3 บริเวณความดันคือ บริเวณท้ายรถ, 2 บริเวณกระบอก และ 3 บริเวณท้ายรถทั้งด้านบนและด้านล่าง ซึ่งทั้ง 3 บริเวณ มีความแตกต่างกันของความดัน ส่วนบริเวณห้องโดยสารนั้นจะมีความดันสูง เนื่องจากไม่มีลมผ่าน ของอากาศ และลดลงเมื่อเข้าสูงตามแน่นบริเวณกระบอก ซึ่งหากพิจารณาจากรูปที่ 10 ที่ตำแหน่งระหว่างห้องโดยสารกับบริเวณกระบอก จะเกิดการไหลข้อนอกลับเรียกว่าเกิดการแยกตัว (separation) และภายในส่วนนี้จะเกิดการไหลแบบป่วนป่านที่เรียกว่าอากาศหมุนวน (wake) ซึ่งก็คือการเกิดการสูญเสีย (loss) ในทางของไอน้ำพลศาสตร์ อากาศที่หมุนวนนี้มีอิทธิพลกับกระบอกท้าย จะทำให้เกิดแรงด้านในระดับหนึ่น ซึ่งการเกิดการแยกตัวนี้ จึงทำการไหลของอากาศซึ่งนอกนอกมีความเร็วมากกว่าการไหลของหัวใน เพราะอากาศที่อยู่ข้างในให้วัสดุอิทธิพลของความหนืด (viscosity, μ) เกิดแรงเสื่อมด้านการไหลข้างและความดันที่กดทับจากภายนอก ซึ่งทำให้การไหลของหัวใน มีไม่แน่ตั้งน้อย จึงทำให้ไหลผ่านความดันสูงได้ยาก จึงทำให้เกิดการหมุนวน ทำให้ความดันบริเวณกระบอกลดลง ส่วนในบริเวณท้ายรถทั้งด้านบนและด้านล่างนั้น ความเร็วของอากาศด้านล่างของรถสูงกว่าด้านบน เมื่อจากพลังงานจะน้ำใจภายนอก ส่งถ่ายเข้าสู่ด้านล่างภายในมากขึ้น ทำให้เพิ่มในแนวตั้งในการอาจน้ำความหนืดได้สูงขึ้น ทำให้เกิดความดันท้ายรถด้านบนและด้านล่าง มีความแตกต่างกัน จึงเกิดการหมุนวนของอากาศและความดันจะลดลงจากบริเวณกระบอก ดังนั้นแรงดันทั้ง 3 บริเวณมีความแตกต่างกัน ซึ่งทำให้เกิดแรงด้านที่สูงขึ้น ดังสมการที่ (2)

กรณีที่ 2 มีการเปลี่ยนแปลงรูปร่างโดยมีลักษณะเปิดฝ่าท้ายกระบอกนั้น สำมประสิทธิ์แรงด้านมีการลดลงน้อยมาก โดยใกล้เคียงกันกับในกรณีที่ 1 แต่ในกรณีที่ 2 การประทายของอากาศกับฝ่าท้ายกระบอกจะลดลง เมื่อจากเปลี่ยนแนวการ吹ดซึ่งฝ่าท้ายกระบอกไปพิเศษทางขวาด้านกับการไหล ซึ่งเปรียบเสมือนกัน ยกกระดับของพื้นท้ายรถสูงขึ้น โดยจะส่งผลให้ค่าสำมประสิทธิ์แรงด้านลดลง และค่าสำมประสิทธิ์แรงขยับลดลงเช่นกัน (แรงกดเพิ่มขึ้น) แต่จะมีผลกระแทบกับการลดลงของสำมประสิทธิ์แรงขยับมากกว่าการลดลงของสำมประสิทธิ์แรงด้าน ซึ่งการยกกระดับพื้นท้ายรถจะมีผลต่อการกระจาดความดันที่ผิวนของรถน้อยมาก แต่ความดันพื้นรถในกรณีที่ 1 จะสูงกว่าในกรณีที่ 2 เนื่องจากการเปิดฝ่าท้ายกระบอกบังคับให้เกิดการหักตัวของการไหล ซึ่งต้องใช้แรง (ในแนวตั้ง) เป็นอย่างมาก ทำให้ความดันต่ำกว่าและเป็นเหตุให้แรงด้านและแรงขยกลดลงในระดับหนึ่ง

กรณีที่ 3 ค่าสัมประสิทธิ์แรงด้านจะลดลงจาก 2 กรณีข้างต้น เนื่องจากไม่มี
ผลกระทบจากก้านฝ่าท้ายกระเบน และลดความแตกต่างของแรงดันด้านล่างพื้น
ลง กับบริเวณส่วนบนของท้ายกระเบน จึงทำให้แรงดันมีความสมดุลกันเริ่วขึ้น
จะการหมุนเวียนจึงสิ้นลง ทำให้สัมประสิทธิ์แรงด้านลดลงด้วย

กรณีที่ 4 มีการเปลี่ยนแปลงรูปร่างโดยปิดครอบกระเบรด ที่มีการลดลงของ
รากนูนของอาทิตย์เนื่องจากไม่มีการประทะของต้าท้าย ซึ่งการหันนูนของ
อาทิตย์ก็ลดน้อยลง เนื่องจากความหนาของบริเวณห้องใต้สารค่อยๆ ลดลงมา
บริเวณกระเบรด จนมาถึงบริเวณท้าทายกระเบรด จึงมีความดันขึ้นกลับน้อยลง ดังนั้นจุด
ยกตัวจะเกิดขึ้นน้อย เช่นเดียวกัน ทำให้ความดันด้านหลังของรถมีค่าที่สูงขึ้น
และสัมประสิทธิ์แรงด้านก็ลดลงกว่ากรณีที่ 1, 2 และ 3

กรณีที่ ๕ เป็นกรณีที่ ลักษณะการให้ผลมีความสมดุลกันมากขึ้น จากปัจจัย
ทางระบบเป็นลักษณะเปรียบเท่าๆ กัน จะเกิดการแยกตัวขององค์กรน้อย ทำให้การ
หลักด้านบนและด้านล่างมีความสมดุลกัน ทำให้มีประสิทธิภาพด้านลดลงและ
กว่าทุกกรณีข้างต้น

กรณีที่ 6 มีการเปลี่ยนแปลงรูปร่างโดยครอบคลุมของกระเบื้องหินแกรนิต ความ
นานของบริเวณห้อง โดยสารและบริเวณกระเบื้องเท่ากัน แต่ส่วนบริเวณห้องที่ยังคง
ไว้ด้านบนและล่างมีลักษณะเป็นสี่เหลี่ยมตัดตรง ซึ่งเป็นรูปทรงด้านท้ายที่
อยู่ให้เกิดแรงด้านมากที่สุด และเรียกว่ารูปทรงนี้ว่า รูปทรงท้ายวิกฤต (Critical
flap body Geometry) โดยจากฐาน พบว่ารูปทรงด้านท้ายได้มีการเปลี่ยนแปลง
ผลกระทบถึงรูปทรงท้ายวิกฤต จะทำให้เกิดการเปลี่ยนแปลงการไหลอย่าง
บันพลัน มีความดันข้อนกลับสูง จึงทำให้เกิดแรงด้านสูงกว่าทุกกรณี

รัฐีเปิดกระบวนการข้างรัฐวิ่ง

กรณีที่ 7 เป็นกรณีที่เปิดกระจุ 1 ด้าน จะเห็นว่า การหมุนวนของอากาศส่วน
นึงจะเข้าไปในห้องโดยสาร ทำให้เกิดแรงด้านภายใน และเมื่ออากาศแยกตัว
หลุดออกจากห้องโดยสาร ก็จะทำให้เกิดการหมุนวนภายในอีกครั้งหนึ่ง ทำให้ใน
โทรศัพท์แรงด้านเพิ่มสูงขึ้น

กรณีที่ 8 เนื้อกรณีเป็นกรุงศรีฯ 2 ด้าน โดยอาจสามารถร้องให้แลกและเกิดการบุนวน ได้ทั้งสองด้านของรถ โดยปริมาณอากาศที่ให้เหลือข้างเพิ่มขึ้นเข่นกัน ละเอียดออกจากตัวรถ ทำให้สับประสิทที่แรงท้านรวมของรถ เพิ่มขึ้นมากกว่า โอดกรุงศรีฯ 1 ด้าน

ช่องผลที่ได้จากการทดสอบหาสัมประสิทธิ์แรงด้านของกรณีต่าง ๆ ที่กล่าวมา
สามารถนำมาหาค่าการสิ้นเปลืองพลังงาน (fuel consumption) โดยใช้กราฟ
| 1 ซึ่งเป็นกรณีปิดระบบปกตินำมาเป็นกรณีเปรียบเทียบ หาผลต่างของ
มประสิทธิ์แรงด้าน โดยคำนวณได้จาก

$$\Delta \overline{C_D}(V_t) = \overline{C_D}(V_t)_{baseline} - \overline{C_D}(V_t)_{modified} \quad (3)$$

คือค่าผลต่างของสัมประสิทธิ์แรงดันที่ความเร็วเดียวกัน โดยยึดกรณีที่ 1 วั่นมาตราฐาน โดยค่าที่ได้ นำไปหาค่าการสิ้นเปลืองพลังงานได้จากสมการ

$$\Delta\mu(V_t) = \frac{\rho \times ucf \times sfc \times V_t^2 \Delta(V_t) A}{0.85} \quad (4)$$

$\Delta\mu(V_t)$ = อัตราการเปลี่ยนแปลงอัตราการสิ้นเปลืองเชื้อเพลิง
 ที่ความเร็วกำหนด ($V/100 \text{ km}$), ρ = ความหนาแน่นของอากาศ 1.225 kg/m^3 , ncf = ค่าแฟกตเตอร์ของการเปลี่ยนแปลงหน่วย เท่ากับ 1.072 ,
 sfc = อัตราการสิ้นเปลืองเชื้อเพลิงจำเพาะ (liters/kW-h) โดยใช้เครื่องยนต์
 ดีเซล คอมมอนเรล 3 ลิตร ยีห้อโตโยต้า วีโก้พรีวันเนอร์กต์สอน, A =
 พื้นที่หน้าตัดของรถ (m^2), 0.85 = ค่าสมมุติที่การเคลื่อนที่ของรถ โดย
 คิดที่ความเร็วเฉลี่ย และเทียบกับระยะทางว่างที่ $100,000 \text{ km}$ (ตารางที่ 1) ค่า
 เป็นบวกแสดงว่าลดอัตราการสิ้นเปลืองเชื้อเพลิง ค่าเป็นลบคือเพิ่มอัตราการ
 สิ้นเปลืองเชื้อเพลิง

ตารางที่ 1 ค่าอัตราการสิ้นเปลืองพลังงานที่ความเร็วเฉลี่ย

กรรมพัฒนา	ที่ความเร้าเฉลี่ย (L/100 km)	ระยะทาง 100,000 km (L)	อัตรา สิ้นเปลือง เมล็ดเงิน (%)
เบิกกระแสปกติ	-	-	0 %
เบิกท้ายกระแส	0.2139	213.9	2.62 %
ไม่มีฝ่าท้ายกระแส	0.3711	371.1	4.55 %
ปิดท้ายกระแส	0.4374	437.4	5.37 %
ครอบกระแสแบบเฉียง	0.5629	562.9	6.91 %
ครอบกระแสแบบสัծตรง	-0.7181	-718.1	-8.81 %
เบิกกระแส 1 ด้าน	-0.0279	-27.9	-0.34 %
เบิกกระแส 2 ด้าน	-0.0470	-47.9	-0.58 %

ตารางที่ 2 ค่าอัตราการสิ้นเปลืองพลังงานที่ความเร็ว 90 km/hr

กรดมีท่อสอน	ที่ 90 km/hr $\Delta\mu(V_i)$ (L/100 km)	วิ่งระยะทาง 100,000 km (L)	อัตรา สัมภានล่อง เชื้อเพลิง (%)
เบนซินระบบปั๊กติด	-	-	0 %
เบนซินท้ายระบบ	0.2409	240.9	2.96 %
ไนโตรเจนท้ายระบบ	0.4187	418.7	5.14 %
ปีดท้ายระบบ	0.5044	504.4	6.19 %
ครอบกระเบนแบบเดี่ยง	0.6348	634.8	7.79 %
ครอบกระเบนเต็มวง	-0.8116	-811.6	-9.96 %
เบนซินรถ ก 1 ล้าน	-0.0316	-31.6	-0.39 %
เบนซินรถ ก 2 ล้าน	-0.0565	-56.5	-0.69 %

โดยตารางที่ 2 คำนวณที่ความเร็ว 90 km/hr ซึ่งเป็นความเร็วที่ใช้วิ่งที่สภาวะปกติ โดยผลของการคำนวณของอัตราการสูญเสียเชื้อเพลิง แสดงให้เห็นว่า การปรับปรุงท้ายกระเบน ที่ทำให้อาภัยเกิดการแยกตัวและหมุนวนลดลง จะช่วยลดประหดเชื้อเพลิงของรถชนตัวบรรทุกขนาดเล็กได้ไวขึ้นนั่น และควรหลีกเลี่ยงการใช้อุปกรณ์ที่สามารถทำให้เกิดการหมุนวนของอากาศ เช่นการเปิดกระจกรถขณะวิ่งดังที่กล่าวมา โดยสามารถนำงานวิจัยนี้ไปปรับปรุงศักดิ์สิทธิ์ของรถบรรทุกเล็ก และเป็นแนวทางในการปรับปรุงรูปแบบส่วนต่างๆ ของรถชนตัวทักษะนิดได้

IV.สรุป

จากผลทดสอบโดยใช้อุโมงค์ลม และวิธีจำลองเชิงตัวเลข แสดงให้เห็นว่า ลมมีค่าไกลเดียงกันและมีความถูกต้อง โดยวิธีจำลองเชิงตัวเลข สามารถ ตรวจสอบประสิทธิ์แรงด้านที่ความเร็วสูง และวิเคราะห์การจำลองที่มีรูปร่างมี ความละเอียด เพื่อได้แนวทางการลดสัมประสิทธิ์แรงด้านของรถบรรทุกเล็ก ก็เหลือน้อยที่สุด ด้วยการปรับรูปร่างท้ายกระบอกที่มีลักษณะเพรียวยล อกจากนี้การลดขนาดของแรงด้านก็ต้องพิจารณาถึงการลดพื้นที่ท่านในแนว ศหากดังฉากกับทิศทางของการเคลื่อนที่ หรือกล่าวคือ ออกแบบเพื่อลด ความดันในด้านหน้าหรือเพิ่มความดันในด้านหลังของรถ ให้มีความดันเกิด นดูสูงมากที่สุด

กิตติกรรมประกาศ

คณะผู้จัดคริร์ของอบคุณคณะวิศวกรรมศาสตร์ อ้างอิงที่ปรึกษา สำนักงาน คณะกรรมการวิจัยแห่งชาติ ที่ให้ทุนในงานวิจัยครั้งนี้ คณะผู้ร่วมดำเนินงาน ทั้งหมด และคณะกรรมการบัณฑิตศึกษาประจารัตน์ คณะวิศวกรรมศาสตร์ ฐานหลักสูตรและบุคลากรในหลักสูตรบัณฑิตศึกษาทุกหลักสูตร ที่ให้ความ รุ่มเรื่องเหลือในรูปแบบต่างๆ ให้การสนับสนุนและสนับสนุนแก่เรา

เอกสารอ้างอิง

- [1] F.R. Gosche and G.E.A. Meier, "Research at DLR Gottingen on bluff body aerodynamics drag reduction by wake ventilation and active flow control," **Journal of Wind Engineering and Industrial Aerodynamics**, vol. 89, pp. 1201-1218, 2001.
- [2] C.P. Van Dam, "Recent experience with different methods of drag prediction," **Progress in Aerospace Sciences**, vol. 35, pp. 751-798, 1999.
- [3] J. Leuschen and K.R. Cooper, "Full-Scale Wind Tunnel Tests of Production and Prototype, Second-Generation Aerodynamic Drag-Reducing Devices for Tractor-Trailers," **2006 SAEInternational**, 06CV-222, 2006.
- [4] H. Fukuda, K. Yanagimoto, H. China and K. Nakagawa, "Improvement of vehicle aerodynamics by wake control," **JSAE Review**, vol. 16, pp. 151-155, 1995.
- [5] อาทิตย์ ฤทธิ์เดือน และ อุดมเกียรติ นนทแก้ว, "การวิเคราะห์การไหลของ อากาศรอบรถยนต์นั่ง," วารสารวิชาการพระจอมเกล้าพระนครเหนือ, ปีที่ 13, ฉบับที่ 2, เมษายน – มิ.ย. 2546.
- [6] A. Prasad and C.H.K. Williamson, "A method for the reduction of bluff body drag," **Journal of Wind Engineering and Industrial Aerodynamics**, vol. 69-71, pp. 155-167, 1997.

- [7] S.N. Singh, L. Rai, P. Puri and Bhatnagar, "Effect of moving surface on the aerodynamic drag of road vehicles," **Proc. IMechE. Automobile Engineering**: 219 Part D, 2005.
- [8] N. Horinouchi, "Numerical Investigation of Vehicle Aerodynamics with Overlaid Grid System," **SAE 950628**, 1995.
- [9] F. Muyl, L. Dumsa and V. Herbert, "Hybrid method for aerodynamic shape optimization in automotive industry," **Computers & Fluids**, vol. 33, pp. 849-858, 2004.
- [10] M. Tomiyama, K. Maeda, and F. Nakamura, "The development of a method to obtain the optimum lift coefficient using the vehicle dynamic analysis," **JSAE Review**, vol 23, pp. 69-74, 2002.
- [11] S. Yamamoto, K. Yanagimoto, H. Fukuda, H. China, and K. Nakagawa, 1997, "Aerodynamic influence of a passing vehicle on the stability of the other vehicles," **JSAE Review**, vol 18, pp. 39-44, 1997.

การประชุมเชิงวิชาการเครือข่ายพัฒนาแห่งประเทศไทยครั้งที่ 4
14-16 พฤษภาคม 2551 ณ โรงแรมโรสวาร์เด้น รีเวอร์ไซด์ จังหวัดนครปฐม

อากาศพลศาสตร์ของรถบรรทุกขนาดเล็ก โดยวิธีจำลองเชิงตัวเลข Aerodynamics Utility Truck By Computational Fluid Dynamics

ปรัชญา มุกด้า วิระพันธ์ สีหานาม และ กุลเชษฐ์ เพียรทอง
ภาควิชาวิศวกรรมเครื่องกล คณะวิศวกรรมศาสตร์ มหาวิทยาลัยอุบลราชธานี
อ.วารินชำราบ จ.อุบลราชธานี 34190 โทร 0-8336-62686 โทรสาร 045-353380 E-mail: mukdaen@hotmail.com

Prachya Mukda¹, Wirapan Seehanam and Kulachate Pianthong
Department of Mechanical Engineering, Faculty of Engineering, Ubon Ratchatany University
Ubon Ratchatani, 34190, Thailand. Tel: 0-8336-2686 Fax: 045-353380 E-mail: mukdaen@hotmail.com

บทคัดย่อ

งานวิจัยนี้เป็นการศึกษาอากาศพลศาสตร์ที่เกิดขึ้นกับรูปร่างท้ายกระ奔跑ของรถบรรทุกขนาดเล็ก ห้องผู้โดยสารสอง 2 ตอน โดยมีการปรับเปลี่ยนอุปกรณ์ท้ายกระ奔跑 หรือการติดตั้งอุปกรณ์เสริม และศึกผลกระทบจากการไหลของอากาศ เข้าสู่ภายในห้องผู้โดยสาร เพื่อทดสอบและเบริรย์เทียบสัมประสิทธิ์แรงด้าน โดยใช้อุโมงค์ลมความเร็วต่ำ และวิธีจำลองเชิงตัวเลข ซอฟต์แวร์ Fluent จำลองแบบ 3 มิติ ใช้สมการคำนวณการไหลตามดูรูน k-ε ทดสอบแบบจำลองรถบรรทุกเล็ก ที่ความเร็ว 18 – 43 km/hr เพื่อเบริรย์เทียบและยืนยันผลก่อนการทดสอบขนาดรถจริง ด้วยวิธีจำลองเชิงตัวเลขที่ความเร็ว 36 – 126 km/hr ทดสอบหาสัมประสิทธิ์แรงด้าน กรณีเปิดกระโปรงคดิ ซึ่งเป็นกรณีเบริรย์เทียบกับกรณีต่างๆ คือ เปิดฝ่าท้ายกระ奔跑, ไม่มีฝ่าท้ายกระ奔跑, ปิดกระ奔跑, ครอบท้ายกระ奔跑แบบเฉียง, ครอบท้ายกระ奔跑แบบตรง, และการเบิดกระกระถัง 100 เปอร์เซ็นต์ 1 ด้านและ 2 ด้าน ที่ความเร็วและพื้นที่หน้าตัดของรถเดียวกัน จากการทดสอบพบว่า กรณีเบลี่ยนรูปทรงท้ายกระ奔跑 ครอบท้ายกระ奔跑แบบเฉียง มีสัมประสิทธิ์แรงด้านต่ำสุดคือ 0.4 (ที่ความเร็วเฉลี่ย) ลดอัตราการสิ้นเปลืองเชื้อเพลิงได้ 6.91 เปอร์เซ็นต์ กรณีครอบท้ายกระ奔跑แบบตรง มีค่าสัมประสิทธิ์แรงด้านสูงสุดคือ 0.75 เพิ่มอัตราการสิ้นเปลืองเชื้อเพลิง 8.81 เปอร์เซ็นต์ และกรณีเปิดกระกระถัง 1 ด้าน และ 2 ด้านจะเพิ่มอัตราการสิ้นเปลืองเชื้อเพลิงเป็น 0.34 และ 0.58 เปอร์เซ็นต์ การศึกษานี้ยืนยันว่า การลดการไหลเข้าห้องผู้โดยสาร หรือลดการหมุนวนของอากาศที่เกิดจากรูปทรงท้ายกระ奔跑 และการเปลี่ยนรูปร่างท้ายกระ奔跑ให้มีลักษณะเพรียวลม ก็จะสามารถลดพลังงานในการขับเคลื่อนได้วิธีนี้

Abstract

This study aims to investigate the aerodynamic characteristic of the cab pick-up truck. The pick-up box of the car has been modified and tested for drag coefficient by using low speed wind tunnel and using 3 dimensional computational fluid dynamic

(CFD) technique (FLUENT). Models are tested at speed between 18 – 43 km/hr in the wind tunnel, before full dimension tested at speed between 36 – 126 km/hr in CFD. Six car models which are (1) normal pick-up box, (2) tailgate down, (3) tailgate off, (4) covered pick-up box, (5) slope rear box, (6) van. All models have the same frontal area, only aft bodies are different. And open windshield 100 percentage 1 side and 2 side cases are also studied. In this study, the main focus is to investigate the aerodynamic characteristics to reduce the coefficient of drag, (C_D) due to the wake at the rear body of the pick-up car. When the slope rear box is used the C_D is reduced from 0.52 to be 0.4 (speed average), fuel consumption reduce by 6.91 percentage. When van case is used, the C_D increase by 0.75, the fuel consumption increase by 8.81 percentage, and open windshield 1 side and 2 side increase fuel consumption by 0.34 and 0.58. This study confirms that reduction of internal flow in to the cab or reduce wake by the geometry at the rear body of the pick-up car can significantly affect the C_D , hence the energy economy.

1. บทนำ

ปัจจุบัน ประเทศไทยได้ยกอุดสาหกรรมยานยนต์เป็นอุดสาหกรรมหลักของประเทศไทย โดยจะผลักดันให้เป็น “ดีกรอยต์แห่งเอเซีย” ในการผลิตรถบรรทุกเล็ก ขนาด 1 ตัน หรือ รถปิกอัพ ที่มีอัตราการผลิตสูงที่สุด และประเทศไทยยังมีการใช้รถบรรทุกเล็กมากที่สุดในโลก แต่อย่างไรก็ตาม ถึงแม้จะมีการออกแบบรถบรรทุกเล็กให้มีค่าสัมประสิทธิ์แรงด้านที่ต่ำอยู่แล้ว แต่ก็สามารถนำองค์ความรู้ด้านอากาศพลศาสตร์มาปรับปรุงให้ค่าสัมประสิทธิ์แรงด้านมีค่าต่ำกว่าที่เป็นอยู่ได้อีก เพื่อช่วยในการประหยัดพลังงาน และการใช้งานจริง ผู้ใช้งานบางส่วนมีการติดตั้งอุปกรณ์เสริม ทำให้ค่าสัมประสิทธิ์แรงด้านเปลี่ยนแปลงจากการที่ผลิตจากโรงงาน ซึ่งอาจจะทำให้เกิดการสิ้นเปลืองพลังงานโดยไม่

จำเป็น ดังนั้นจึงเป็นอย่างยิ่งที่จะต้องมีการศึกษาองค์ความรู้ด้านอากาศ พลศาสตร์มาพัฒนาปรับปรุงรูปแบบท้ายระบบ หรือการใช้งาน อุปกรณ์เสริมของรถบรรทุกเล็กให้ถูกวิธี

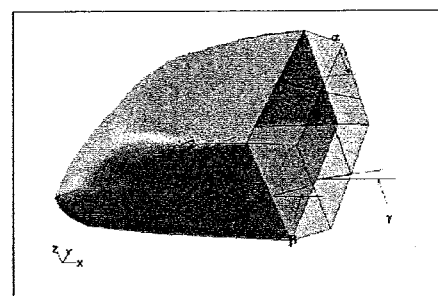
1.1 การทดสอบสัมประสิทธิ์แรงด้านโดยอุโมงค์ลม

ซึ่งการศึกษานี้ อุโมงค์ลม (wind tunnel) เป็นอุปกรณ์ที่สำคัญในการศึกษาด้านอากาศพลศาสตร์ ใช้ทดสอบแรงด้านของวัสดุรูปทรงต่างๆ และใช้วิเคราะห์สนามการไหลที่เกิดจากการแยกตัวของอากาศ (separation) ซึ่งจะเกิดการแยกตัวสูงเมื่อวัสดุเป็นรูปทรงไม่มีลักษณะเพรียวยาง (buff body) เนื่องจากความแตกต่างของความดันที่จุดแยกตัวมีค่ามาก จะทำให้ค่าสัมประสิทธิ์แรงด้านมีค่าที่สูงตามไปด้วย [1] โดยได้นำเอาหลักการนี้มาปรับปรุงรูปทรงของรถบรรทุกนิดต่างๆ ซึ่งเป็นการทดสอบในอุโมงค์ลมขนาดเล็ก ใช้วิธีแบบจำลองในการทดสอบ แต้มก็จะเกิดความคลาดเคลื่อนของค่าสัมประสิทธิ์แรงด้านที่วัดได้จากการทดสอบไม่ตรงกับค่าที่เกิดขึ้นกับรถยนต์จริง เนื่องจากรายละเอียด ซึ่งก็ได้ใช้อุโมงค์ลมขนาดใหญ่ที่สามารถทดสอบรถยนต์จริงได้ โดยสามารถทดสอบสัมประสิทธิ์แรงด้านได้ถูกต้อง และวิเคราะห์สนามการไหลที่เกิดขึ้นได้อย่างชัดเจน [2] แต่ไม่ใช่รูปทรงของรถบรรทุกเพียงอย่างเดียวที่มีผลกับค่าสัมประสิทธิ์แรงด้าน แม้แต่อุปกรณ์ตกแต่ง หรืออุปกรณ์เสริมเพื่ออำนวยความสะดวกในการใช้งาน ก็มีผลทำให้สัมประสิทธิ์แรงด้านเพิ่มขึ้น โดยเฉพาะอุปกรณ์เสริม ที่ติดตั้งฉากกับทิศทางการไหลของอากาศ และยื่นออกจากตัวรถ ซึ่งเป็นอุปกรณ์ที่ทำให้เกิดการสูญเสีย (loss) โดยอุปกรณ์เหล่านี้จะดูดซับพลังงานส่วนของความดัน (pressure head) และเขตความเร็ว (velocity head) ของอากาศเมื่อประทับบนรถ เช่น กันชนรถบรรทุก อุปกรณ์บังแสลงแตดด้านข้างรถ , อุปกรณ์สำหรับวางของบนหลังคา เป็นต้น ซึ่งเพิ่มอัตราการสูญเสียพลังงาน 4 ถึง 6 เ帛อร์เซ็นต์ แต่ก็มีอุปกรณ์เสริมที่ช่วยลดสัมประสิทธิ์แรงด้าน ซึ่งเป็นอุปกรณ์ที่ช่วยในลดการหมุนวนของอากาศ (vortex or recirculation) เช่น ที่บังล้อ เป็นต้น ซึ่งลดอัตราการสูญเสียโดยการลดการหมุนวนของอากาศ ที่เกิดขึ้นภายนอกตัวรถยนต์ เก่า�ัน (external flow loss) แต่สาเหตุการสูญเสียที่เกิดขึ้นจากการไหลของอากาศผ่านรถบรรทุกนั้น ยังมีการสูญเสียนอกจากตัวรถยนต์ เก่า�ัน (internal flow loss) โดยอากาศสามารถไหลเข้าผ่านช่องว่างระหว่างส่วนประกอบของชิ้นส่วนรถบรรทุก (gap) ทำให้เกิดการหมุนวนภายใน ซึ่งมักจะเกิดขึ้นกับช่วงห่างระหว่างห้องผู้โดยสารกับส่วนท้ายระบบของรถบรรทุก โดยสามารถลดการสูญเสียที่เกิดขึ้นโดยการติดตั้งอุปกรณ์เพื่อปิดหรือลดการไหลเข้าสู่ช่องว่าง แต่การทดสอบในอุโมงค์ลมก็ยังมีข้อจำกัดของการวัดค่าสัมประสิทธิ์แรงด้าน ในกรณีที่มีการปรับเปลี่ยนขนาดหรือมุมหักเหของอุปกรณ์เสริมที่มีความละเอียด เช่นการวัดค่าสัมประสิทธิ์แรงด้านของการปรับมุมของสปอร์ยเลอร์ของรถบรรทุกแบบนั้น ซึ่งค่าที่วัดได้จากการทดสอบในอุโมงค์ลมไม่สามารถวิเคราะห์ผลได้ เนื่องจากค่าไม่มีความละเอียดพอ และยังมีข้อจำกัดของสภาวะของการทดสอบ เช่น ความเร็ว ความดัน อุณหภูมิของอากาศ เป็นต้น โดยการทดสอบส่วนใหญ่จะจำกัดอยู่ในสภาวะบรรยายกาศแวดล้อม ซึ่งในปัจจุบันได้มีวิธีการทดสอบสัมประสิทธิ์

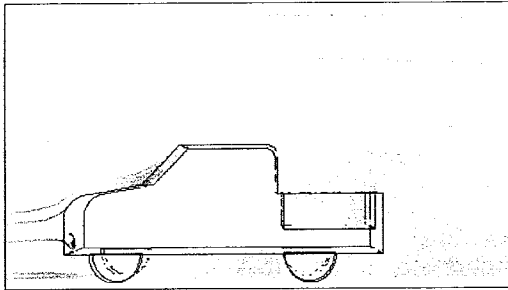
แรงด้านที่สามารถกำหนดสภาวะ หรือแม้แต่การปรับเปลี่ยนรูปร่างของรถหรืออุปกรณ์เสริมโดยไม่สัมปล่อยเงินทุน และเวลาในการทดสอบ [4]

1.2 การทดสอบสัมประสิทธิ์แรงด้านโดยวิธีจำลองเชิงตัวเลข

การคำนวณเชิงตัวเลขของไหลพลศาสตร์ (computational fluid dynamics: CFD) หรือที่เรียกว่า วิธีจำลองเชิงตัวเลข ซึ่งปัจจุบันเป็นเครื่องมือที่สำคัญในกระบวนการออกแบบรถยนต์ ซึ่งนิยมใช้ซอฟต์แวร์ FLUENT สำหรับการจำลองการไหลแบบรวมเรียนอัดตัวไม่ได้ โดยวิธีปริมาตรจำกัด (finite volume) เริ่มต้นจากการทดสอบไหลผ่านแบบจำลองใน 2 มิติ ซึ่งผลที่ได้จากการจำลอง มีแนวโน้มการเกิดการแยกตัวของอากาศบริเวณส่วนหลังของแบบจำลอง ใกล้เคียงกับผลการทดสอบในอุโมงค์ลมที่ค่าเรย์โนลต์ต่ำ แต่เมื่อค่าเรย์โนลต์ที่ใช้ในการจำลองมีค่ามากขึ้น ค่าที่ได้จากการคำนวณมีความคลาดเคลื่อนจากการทดสอบในอุโมงค์ลม เนื่องจากการทดสอบในอุโมงค์ลมมีลักษณะการไหลเป็น 3 มิติ จึงได้มีการพัฒนาการจำลองการไหลแบบ 3 มิติ [5, 6] นำมาจำลองเพื่อการทดสอบสัมประสิทธิ์แรงด้านของการติดตั้งอุปกรณ์เสริมของรถบรรทุก โดยมีการใช้ศึกษาความลาดเอียงด้านข้างของรูปทรงท้ายรถบรรทุก และรายหน้า ที่ติดได้บังโคลน ใช้สมการนาโนเวียร์-สโตค สำหรับการไหลแบบรวมเรียน และใช้วิธีผลต่างสืบเนื่อง (finite difference) ในการสร้างสมการเชิงตัวเลข ซึ่งผลที่ได้สอดคล้องกับการทดสอบในอุโมงค์ลม โดยค่าสัมประสิทธิ์แรงด้านจะลดลงเมื่อค่าความลาดเอียงเพิ่มขึ้น เนื่องจากความดันที่ส่วนหลังของแบบจำลองมีค่าสูงขึ้น และค่าสัมประสิทธิ์จะลดลงเช่นกันเมื่อมีการติดชายหน้า ซึ่งเป็นอุปกรณ์ที่นำไปสู่การไหลแบบรวมเรียน [7] ซึ่งแรงด้านส่วนใหญ่จะตัวรถ มาจากเทอมของความดันที่แยกตัวออกจากผิวนอก สัมประสิทธิ์แรงด้าน 40 เบอร์เซ็นต์จะขึ้นอยู่กับรูปทรงภายนอกและส่วนใหญ่จะเกิดขึ้นที่ท้ายรถ โดยสัมประสิทธิ์แรงด้านจะไม่มีผลจากรูปทรงหน้ารถ แต่แรงด้านส่วนใหญ่จะมาจากการไหลบันปวนด้านท้าย โดย Muyil [8] ทำการศึกษาหาความเหมาะสมรูปทรงท้ายรถบรรทุกโดยใช้สมการนาโนเวียร์-สโตค และสมการการคำนวณการไหล k-ε โดยแบ่งรถออกเป็นสามส่วน คือส่วนหน้า ส่วนกลาง และส่วนหลัง โดยส่วนหลังจะมี back-light angle, boat-tail angle และ ramp angle ตามรูปที่ 1 การปรับ back-light angle จะทำให้เกิดการบันปวนที่ด้านท้ายรถต่างกัน โดยการปรับค่ามุม (α, β, γ) ที่ต่างจะทำให้เกิดการหมุนวนของอากาศขนาดใหญ่ ทำให้สัมประสิทธิ์แรงด้านสูง แต่เมื่อปรับมุมให้มีค่าที่สูงขึ้นเกิดการแยกตัวของอากาศน้อย การไหลด้านบนและด้านล่างมีความสมดุลกัน ทำให้สัมประสิทธิ์แรงด้านลดลง



รูปที่ 1 แสดงมุม (α, β, γ)



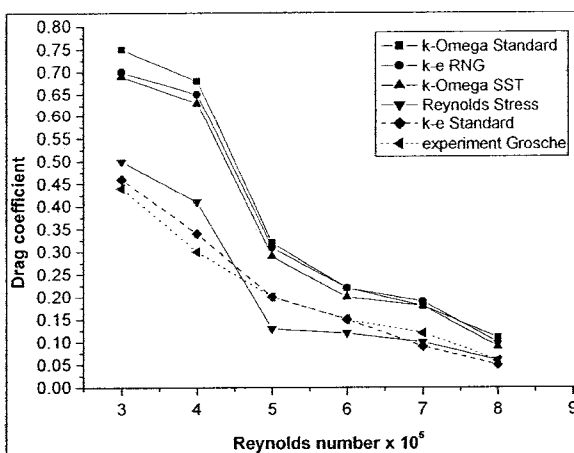
รูปที่ 2 แสดงการไฟล์ผ่านรถบรรทุกเล็ก

ดังนั้นโดยทั่วไปค่าสัมประสิทธิ์แรงด้านของรถบรรทุกเล็กจะสูงเนื่องจากรูปทรงท้ายกระเบนทำให้อากาศแยกตัว เกิดการหมุนวน (wake) ของอากาศที่ใหญ่ เนื่องจากความต่างของความดัน ระหว่างด้านหน้าและท้ายกระเบน และอากาศที่หมุนจะประทับกันท้ายกระเบนตามรูปที่ 2 จะทำให้เกิดแรงด้าน และเพิ่มภาระให้กับเครื่องยนต์ ทำให้ เครื่องยนต์ใช้พลังงานสั้นเปลืองมากขึ้น ดังนั้นงานวิจัยนี้เป็นการ ปรับปรุงด้านอากาศพลศาสตร์ของรูปทรงท้ายกระเบนของรถบรรทุกเล็ก เพื่อให้สัมประสิทธิ์แรงด้านลดลง โดยใช้อุโมงค์ลมเป็นเครื่องมือในการ ทดสอบ ควบคู่กับการใช้วิธีการคำนวณเชิงตัวเลขของไฟล์พลศาสตร์ (computational fluid dynamics) และสรุปข้อบ่งชี้ของการไฟล์ใน ปัจจุบัน พร้อมทั้งเสนอแนวทางแก้ไข หรือวิธีการใช้งานที่เหมาะสมที่สุด เพื่อลดการสิ้นเปลืองพลังงานให้มากที่สุด

2. ระเบียบการวิจัย

2.1 การทดสอบสมการจำลองการไฟล์ชนิดต่าง ๆ

การศึกษาขั้นต้น เป็นการใช้วิธีจำลองเชิงตัวเลข เพื่อการทดสอบ สมการการคำนวณการไฟล์ (turbulent model) ชนิดต่าง ๆ



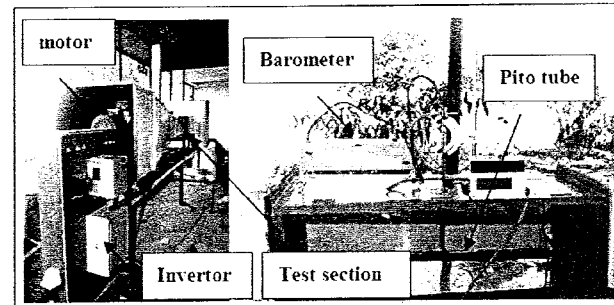
รูปที่ 3 เปรียบเทียบ turbulent model จำลองการไฟล์ กับผลการทดสอบของ Grosche

จากรูปที่ 3 เป็นการเพื่อเปรียบเทียบและยืนยันผลของ สมการการ จำลองการไฟล์ ให้มีความถูกต้องกับลักษณะการจำลอง โดยใช้ ซอฟต์แวร์ FLUENT จำนวน กริด (Grid) 355,000 เอลิเมนท์ mesh ที่ ใช้เป็นแบบ Tri/Tet (กริดรูป平行มิติ) เทียบกับการศึกษาของ Grosche et al., (2001) ซึ่งเป็นการทดสอบสัมประสิทธิ์แรงด้าน (C_D) วัสดุทรง กลม เจาะรูทรงกลang โดยใช้อุโมงค์ลมเป็นเครื่องมือในการทดสอบ โดย

สมการการคำนวณการไฟล์ ชนิดมาตรฐาน k-E ให้ผลใกล้เคียงกับผล การทดสอบในอุโมงค์ลมของ Grosche มากที่สุด

2.2 การเปรียบเทียบสัมประสิทธิ์แรงด้านของทรงกลม โดยการ ทดสอบในอุโมงค์ลม และ CFD

ในการทดสอบใช้อุโมงค์ลมแบบเปิด โดยอากาศไหลเข้าที่ปลาย ข้างหนึ่งผ่านส่วนทดสอบแบบจำลอง (Test section) และหล่อออก ปลายอีกข้างหนึ่ง สามารถวัดความดันที่หัวก้นความดันบรรยายกาศ โดยใช้ พัดลมดูดอากาศที่ติดกับมอเตอร์ (Motor) ขนาด 5.5 hp มีเครื่องมือ ควบคุมมอเตอร์ (Invertor) ให้อาการที่ไฟล์ผ่านส่วนปฏิบัติงาน มี ความเร็วที่ 5 ถึง 10 m/s (18 – 36 km/hr) ใช้บาร์โรมิเตอร์ (Barometer) เป็นเครื่องมือวัดความดันและความเร็วอากาศ แสดงในรูป ที่ 4

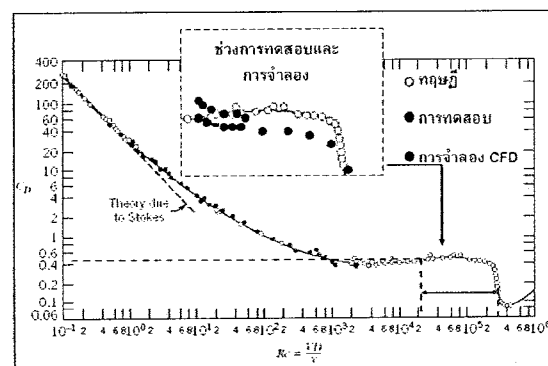


รูปที่ 4 ชุดทดสอบสัมประสิทธิ์แรงด้าน (อุโมงค์ลม)

ใช้ทดสอบสัมประสิทธิ์แรงด้านของวัสดุทรงกลม เส้นผ่าศูนย์กลาง 0.1 m ที่ติดกับเครื่องมือวัดแรงด้าน (Load cell) ซึ่งจะเป็นแรงที่อากาศ กระทำกับวัสดุทรงกลม นำมาคำนวณหาสัมประสิทธิ์แรงด้าน จาก สมการ

$$C_D = \frac{F_D}{\frac{1}{2} \rho V^2 A} \quad (1)$$

โดยที่ C_D คือสัมประสิทธิ์แรงด้านรวม, F_D คือแรงด้านรวมที่ กระทำต่อวัสดุ (N), ρ คือความหนาแน่นของอากาศ (m^3/kg) และ A คือพื้นที่ที่ตั้งฉากกับพื้นที่ทางการไฟล์ (m^2) โดยนำผลที่ได้นามา เปรียบเทียบกับผลทดสอบด้วยวิธีจำลองเชิงตัวเลข ซึ่งใช้สมการการ คำนวณการไฟล์ k-E ที่ได้ยืนยันความถูกต้องแล้ว จำลองที่ขนาดและ สภาวะเดียวกันกับการทดสอบในอุโมงค์ลม

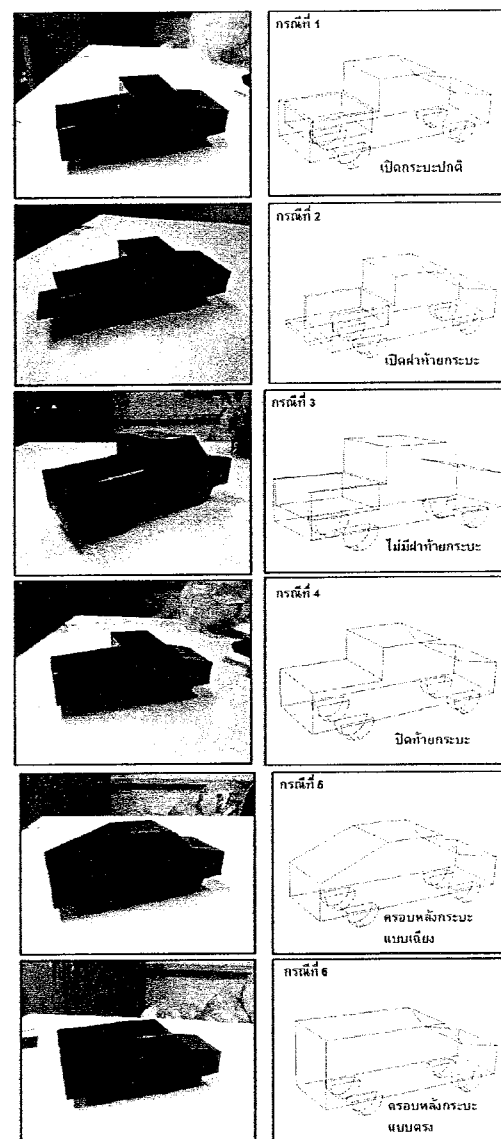
รูปที่ 5 แสดงการเปรียบเทียบผลทดสอบสัมประสิทธิ์แรงด้าน (C_D)

ซึ่งจากการทดสอบ สัมประสิทธิ์แรงด้านโดยอุโมงค์ลมและวิธีจำลองเชิงตัวเลข ค่าสัมประสิทธิ์แรงด้านมีค่าใกล้เคียงกัน โดยค่าที่ได้จากการทดสอบด้วยอุโมงค์ลม จะให้ผลต่างที่มีค่าสูงกว่าวิธีจำลองเชิงตัวเลข 5 เปอร์เซ็นต์ (โดยเฉลี่ย) ซึ่งจะแสดงค่าสัมประสิทธิ์แรงด้านจากการทดสอบห้องสองแบบ และเปรียบเทียบกับทฤษฎี แสดงในรูปที่ 5 เป็นการทดสอบสัมประสิทธิ์แรงด้านของทรงกลมในอุโมงค์ลม และวิธีจำลองเชิงตัวเลข เปรียบเทียบกับทฤษฎีอยู่ในช่วงค่าเรย์โนลด์ 2.2x10⁴ - 3.0x10⁵ ซึ่งค่าสัมประสิทธิ์แรงด้านจะลดลง เมื่อค่าเรย์โนลด์ สูงขึ้น เนื่องจากอิทธิพลของความหนืดที่ผิวทรงกลมกับอากาศลดลง ผิวทรงกลมจะได้รับผลกระทบความดันอากาศเพิ่มขึ้น โดยการทดสอบห้องสองแบบมีค่าใกล้เคียงกับทฤษฎี ซึ่งสามารถนำสภาวะการไหล สมการการคำนวณ ชนิดและจำนวนกริด ไปทดสอบแบบจำลองรถบรรทุกเล็ก เพื่อตรวจสอบสัมประสิทธิ์แรงด้านต่อไป

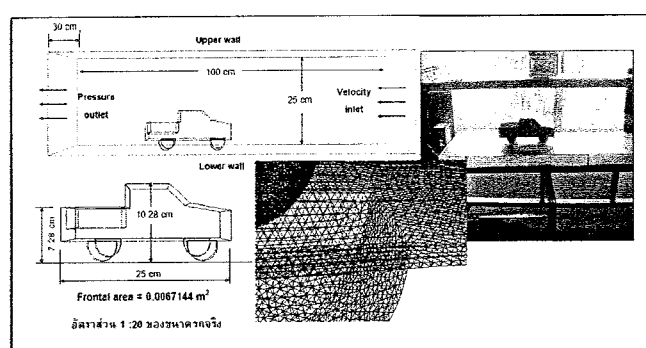
2.3 การทดสอบสัมประสิทธิ์แรงด้าน รถบรรทุกเล็กแบบจำลองขนาดต่าง ๆ โดยอุโมงค์ลม และวิธีจำลองเชิงตัวเลข

การทดสอบแบบจำลองในอุโมงค์ลม ใช้วัสดุทำจากโพเม แบบจำลองมีอัตราส่วน 1:20 ของขนาดจริง มีขนาดพื้นที่หน้าด้าน (frontal area) เท่ากับ 0.0067144 m² ทดสอบที่ความเร็ว 18 - 36 km/hr โดยทดสอบควบคู่กับวิธีจำลองเชิงตัวเลข โดยใช้ขนาดแบบจำลอง และ test section เท่ากัน เพื่อเปรียบเทียบผล ก่อนที่จะทดสอบขนาดจริงด้วยวิธีจำลองเชิงตัวเลข โดยทดสอบบนรถบรรทุกเล็กที่มีการเปลี่ยนแปลงรูปทรงท้ายระบบ 6 กรณี คือ กรณีเปิดกระโปรงปกติ (normal pick-up box) ซึ่งเป็นกรณีเปลี่ยนเทียบกรณีต่างๆ คือ เปิดฝาท้ายระบบ (tailgate down), ไม่มีฝาท้ายระบบ (tailgate off), ปิดท้ายระบบ (covered pick-up box), ครอบท้ายระบบแบบเฉียง (slope rear box), และครอบท้ายระบบแบบตรง (van) โดยที่พื้นที่หน้าด้านของรถเท่ากัน รูปห้างด้านซ้ายเป็นแบบจำลองที่ใช้ทดสอบในอุโมงค์ลม และด้านขวาเป็นแบบจำลองที่จำลองด้วยวิธีเชิงตัวเลข แสดงดังรูปที่ 6 และ

7

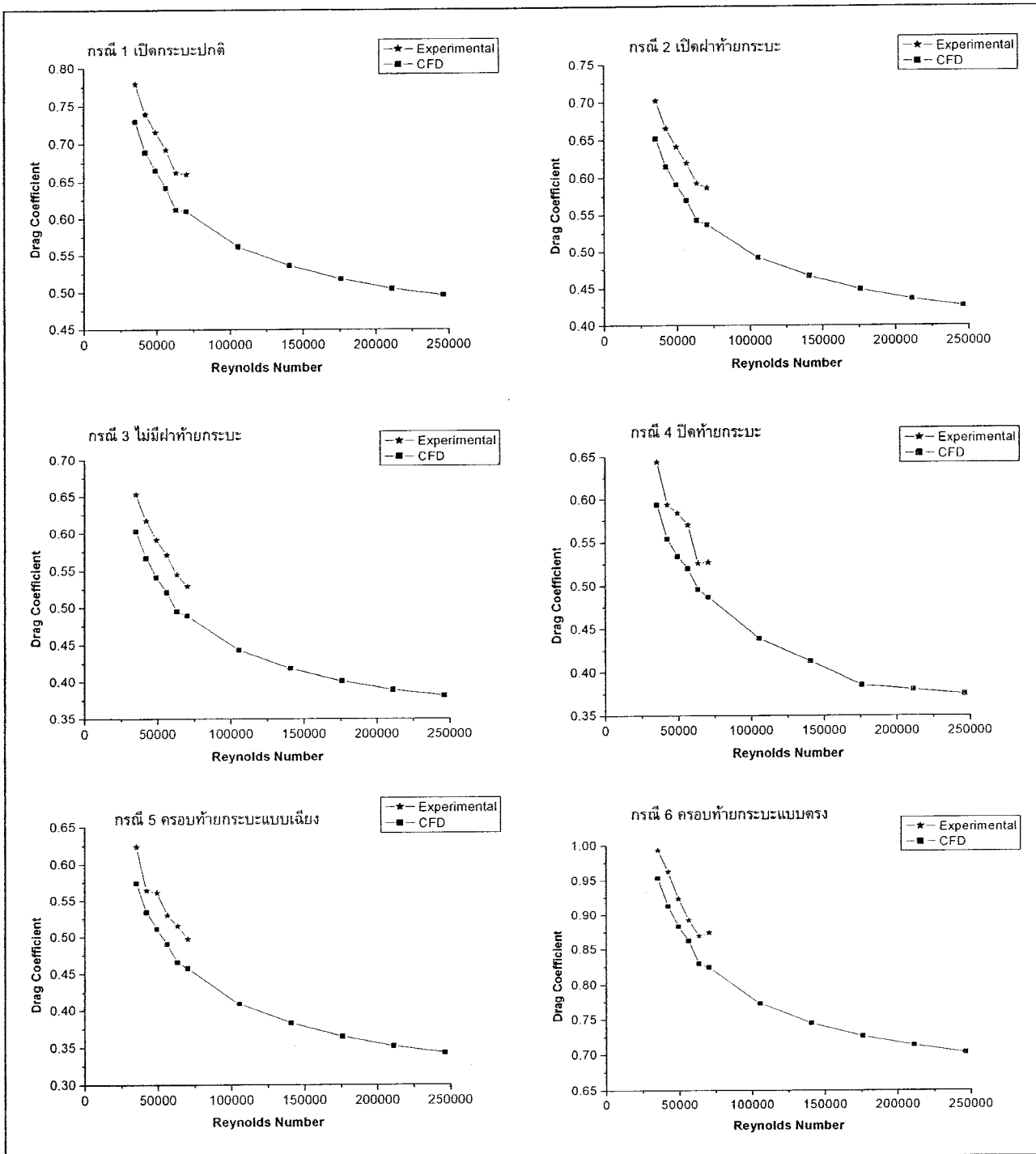


รูปที่ 7 แบบจำลองกรณีต่าง ๆ ที่ใช้ทดสอบในอุโมงค์ลมและ CFD



รูปที่ 6 การจำลอง กรณี และลักษณะการทดสอบในอุโมงค์ลม

จากรูปที่ 8 กราฟแสดงค่าสัมประสิทธิ์แรงด้านของแบบจำลองของรถบรรทุกเล็ก ในการเปลี่ยนแปลงรูปร่างท้ายระบบกรณีต่าง ๆ ซึ่งสัมประสิทธิ์แรงด้านจะลดลงเมื่อค่าความเร็วหรือ เรย์โนลด์เพิ่มขึ้น เหมือนกับการทดสอบด้วยทรงกลม โดยสัมประสิทธิ์แรงด้านของแต่ละกรณีจะมีค่าแตกต่างกัน ซึ่งแสดงให้เห็นถึงการเปลี่ยนแปลงค่าสัมประสิทธิ์แรงด้าน ว่ามีผลกับรูปทรงท้ายระบบ โดยค่าที่ได้จากการทดสอบในอุโมงค์ลมจะมีค่าสูงกว่าวิธีจำลองเชิงตัวเลข ซึ่งมีความแตกต่างไม่เกิน 5 เปอร์เซ็นต์ เนื่องจากความกว้างช่วงการทดสอบแบบจำลองในอุโมงค์ลม ทำให้สภาวะการไหลไม่คงที่ เช่นความเร็วความดัน ความหนืด โดยเมื่ออากาศไหลผ่านช่วงการทดสอบแคบลง จะให้ความเร็วสูงขึ้น ความหนืดของอากาศก็มีผลกับผนังของส่วนทดสอบ ทำให้สัมประสิทธิ์แรงด้านที่ใช้อุโมงค์ลมทดสอบสูงกว่าวิธีจำลองเชิงตัวเลข

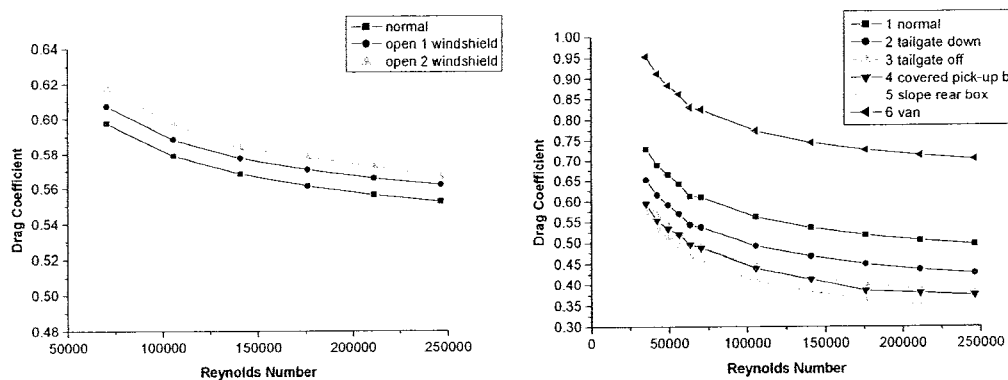


รูปที่ 8 กราฟแสดงสัมประสิทธิ์แรงด้านของรูข่ายขนาดจำลอง กรณีต่าง ๆ

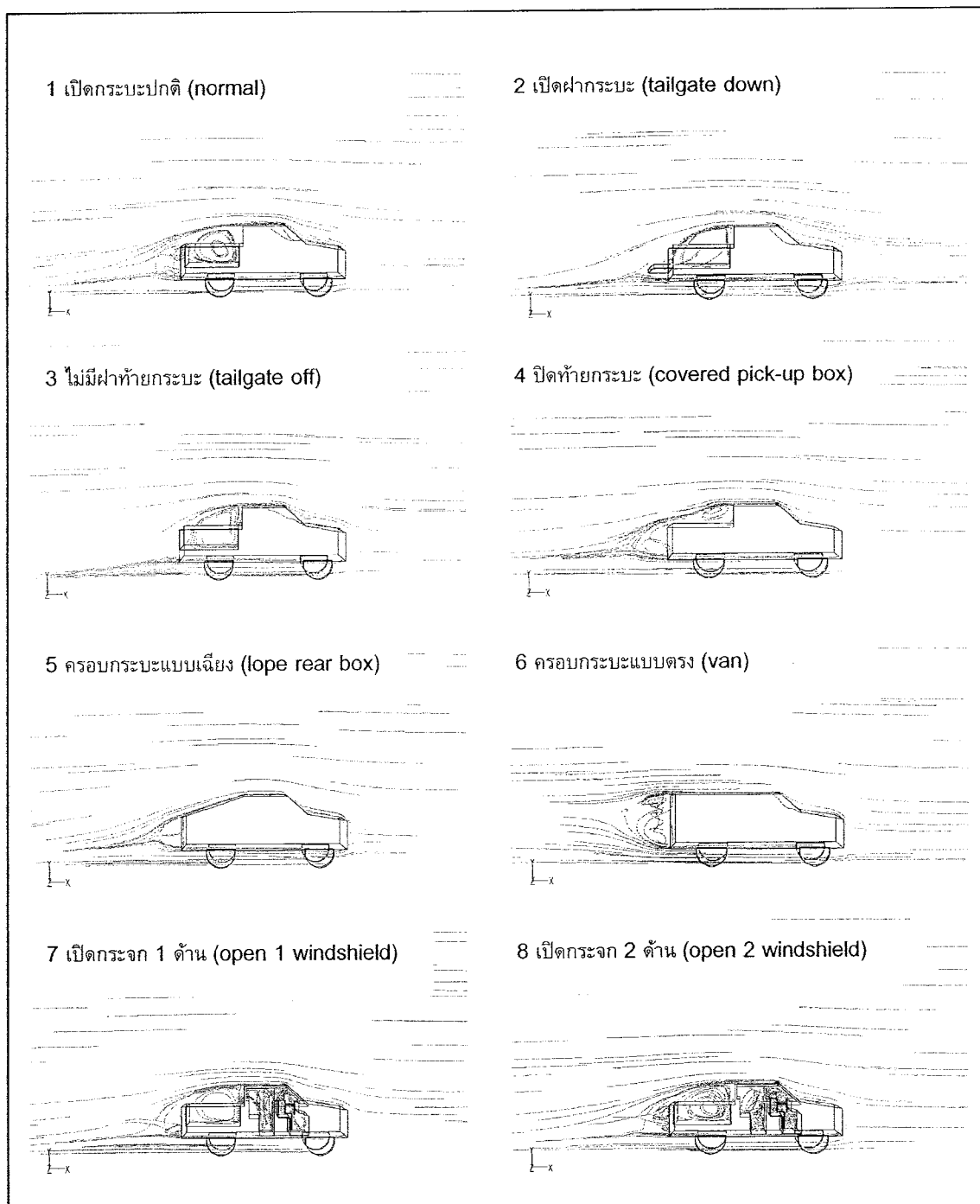
2.4 การทดสอบสัมประสิทธิ์แรงด้าน รูบบรุกเล็กแบบจำลองขนาดจริง กรณีต่าง ๆ โดยวิธีจำลองเชิงตัวเลข

เป็นการจำลองขนาดจริง ที่มีการเปลี่ยนรูปร่างท้ายระบบห้อง 6 กรณี โดยวิธีจำลองเชิงตัวเลข 3 มิติ และเพิ่มกรณีศึกษาที่มีความรูปร่างซับซ้อนขึ้น คือ กรณีเปิดกระดาษช้าง 100 เบอร์เท็นท์ 1 ด้าน และ 2 ด้าน เพื่อตรวจสอบผลสัมประสิทธิ์แรงด้านที่เปลี่ยนไป โดยขยายขนาดความกว้าง และความสูง ของผังด้านข้างและด้านบนของส่วนทดสอบ เพื่อไม่ใช้มีผลกับสัมประสิทธิ์แรงด้านของรูที่ใช้จำลอง ทดสอบที่ความเร็ว 36 - 126 km/hr ค่าเรย์โนล์สเท่ากับ 2.6×10^4 - 2.5×10^5 ใช้

เงื่อนไขในการทดสอบเดียวกันกับ การทดสอบวัดถูกทรงกลม โดย ใช้ กวิด 550,000 อิเลเมนท์ mesh ที่ใช้เป็นแบบ Tri/Tet (กวิดรูปทรงมิติ) สมการคำนวณการไหลชนิดมาตรฐาน k-E ความเร็วที่ผิวของรูเป็น ศูนย์เนื่องจากอิทธิพลของความหนืด สามารถเข้ากำหนดเป็น velocity inlet สามารถออกกำหนดเป็น pressure outlet ให้มีค่าเท่ากับความดันบรรยากาศโดยไม่ถูกรบกวนจากรูร่วงของรู ขนาดพื้นที่หน้าตัดของรูเท่ากับ 2.68576 m^2



รูปที่ 9 กราฟแสดงค่า C_D ที่เปลี่ยนรูปร่างของรูปทรงท้ายระบบกรณีต่าง ๆ



รูปที่ 10 แสดงการหมุนวนของอากาศที่แตกต่างกัน

3. วิเคราะห์ผล

3.1 กรณีเปลี่ยนรูปร่างท้ายระบบ

จากผลการทดสอบนั้น สัมประสิทธิ์แรงด้านจะลดลงและเพิ่มขึ้นกับ การเปลี่ยนแปลงการกระจายตัวของความดันด้านหน้าและด้านท้าย ระบบของรถ โดยปัจจัยหลักของการออกแบบ คือเพื่อลดความดัน ด้านหน้าและเพิ่มความดันในด้านท้ายของรถ โดยสามารถวิเคราะห์ได้ จากสมการ

$$F_D = \int_{front} p \cos \theta dA - \int_{back} p \cos \theta dA \quad (2)$$

กรณีที่ 1 ซึ่งเป็นกรณีเปิดระบบปกตินั้น ขนาดของแรงด้านนั้น จะขึ้นอยู่กับความแตกต่างของความดันระหว่างด้านหน้าและด้านหลังของ รถ โดยแบ่งความแตกต่างออกได้เป็น 3 บริเวณความดันคือ บริเวณที่ 1 บริเวณห้องโดยสาร, 2 บริเวณกระเบน และ 3 บริเวณท้ายรถทั้ง ด้านบนและด้านล่าง ซึ่งทั้ง 3 บริเวณ มีความแตกต่างกันของความดัน ส่วนบริเวณห้องโดยสารนั้นมีความดันสูงเนื่องจากโน้มนต์ ของ อากาศ และลดลงเมื่อเข้าสูงตามแนวนอนบริเวณกระเบน ซึ่งหากพิจารณา จากรูปที่ 10 ที่ดำเนินร่องระหว่างผู้โดยสารกับบริเวณกระเบน จะเกิด การไหลย้อนกลับเรียกว่าการแยกตัว (separation) และภายในส่วน นี้จะเกิดการไหลแบบปวนปวนที่เรียกว่าอากาศหมุนวน (wake) ซึ่งก็คือ การเกิด การสูญเสีย (loss) ในทางของไฟล์พลศาสตร์ อากาศที่หมุนวน นี้มีอิทธิพลต่อการไหลของอากาศชั้นนอกมีความเร็วมากกว่าการ ไหลของชั้นใน เพราะอากาศที่อยู่ชั้นในได้รับอิทธิพลของความหนืด (μ) เกิดแรงเฉือนด้านการไหลชั้นและความดันที่เกิดทัน จากภายนอก ซึ่งทำให้การไหลของชั้นใน มโน้มนต์น้อย จึงทำให้เหล ผ่านความดันสูงได้ยาก จึงทำให้เกิดการหมุนวน ทำให้ความดันบริเวณ ระบบลดลง ส่วนในบริเวณท้ายรถทั้งด้านบนและด้านล่างนั้น ความเร็วของอากาศด้านล่างของรถสูงกว่าด้านบน เนื่องจากพลังงาน จลน์จากภายนอก ส่งถ่ายเข้าสู่ผ่านภาษาในภายหลัง ทำให้เพิ่มโน้มนต์ ในการ aerosol ความหนืดได้สูงขึ้น ทำให้เกิดความดันท้ายรถด้านบน และด้านหลัง มีความแตกต่างกัน จึงเกิดการหมุนวนของอากาศและ ความดันจะลดลงจากบริเวณกระเบน ดังนั้นแรงดันทั้ง 3 บริเวณมีความ แตกต่างกัน จึงทำให้เกิดแรงดันที่สูงขึ้น ดังสมการที่ (2)

กรณีที่ 2 มีการเปลี่ยนแปลงรูปร่างโดยมีลักษณะเปิดฝ่าท้ายระบบ นั้น สัมประสิทธิ์แรงด้านมีการลดลงน้อยมาก โดยใกล้เคียงกันกับใน กรณีที่ 1 แต่ในกรณีที่ 2 การประทับของอากาศกับฝ่าท้ายระบบจะ ลดลง เนื่องจากเปลี่ยนแนวการติดตั้งฝ่าท้ายระบบไปทิศทางข้างหน้ากับ การไฟล์ ซึ่งเปรียบเสมือนกับการลดของพื้นท้ายรถสูงขึ้น โดยจะส่งผล ให้ค่าสัมประสิทธิ์แรงด้านลดลง และค่าสัมประสิทธิ์แรงยกมีค่าลดลง เช่นกัน)แรงดันเพิ่มขึ้น (แต่จะมีผลกระทบกับการลดลงของสัมประสิทธิ์ แรงยก มากกว่าการลดลงของสัมประสิทธิ์แรงด้าน ซึ่งการยกระดับพื้น ท้ายรถจะมีผลต่อการกระจายตัวความดันที่ผิวนอกของรถน้อยมาก แต่ ความดันเพิ่มรวมในกรณีที่ 1 จะสูงกว่าในกรณีที่ 2 เนื่องจากการเปิดฝ่า ท้ายระบบบังคับให้เกิดการหักด้วยของการไฟล์ ซึ่งต้องใช้แรง (โน โน้มนต์) เป็นอย่างมาก ทำให้ความดันต่ำกว่าและเป็นเหตุให้แรงดัน และแรงยกลดลงในระดับหนึ่ง

กรณีที่ 3 ค่าสัมประสิทธิ์แรงด้านจะลดลงจาก 2 กรณีข้างต้น เนื่องจากไม่มีการประทับอากาศกับฝ่าท้ายระบบ และลดความแตกต่าง ของแรงดันด้านล่างพื้นรถ กับบริเวณส่วนบนของท้ายระบบ จึงทำให้ แรงดันมีความสมดุลกันเร็วขึ้น ระยะการหมุนวนจึงสั้นลง ทำให้ สัมประสิทธิ์แรงด้านลดลงด้วย

กรณีที่ 4 มีการเปลี่ยนแปลงรูปร่างโดยปิดครอบกระเบนรถ ที่มีการ ลดลงของการหมุนวนของอากาศ เนื่องจากไม่มีการประทับของฝ่าท้าย ช่วงการหมุนวนของอากาศก็ลดน้อยลง เนื่องจากความหนาของบริเวณ ห้องโดยสารค่อนข้างสูง ลดลงมาบริเวณกระเบน จนมาถึงบริเวณท้ายระบบ จึงมีความดันข้อนอกลับน้อย ดังนั้นจุดแยกตัวจะเกิดขึ้นน้อยเช่นเดียวกัน ทำให้ความดันด้านหลังของรถมีค่าที่สูงขึ้น และสัมประสิทธิ์แรงด้านก็ ลดลงกว่ากรณีที่ 1, 2 และ 3

กรณีที่ 5 เป็นกรณีที่ ลักษณะการไหลมีความสมดุลกันมากขึ้น จาก รูปร่างท้ายระบบเป็นลักษณะเปรียบลง จะเกิดการแยกตัวของอากาศ น้อย ทำให้การไหลด้านบนและด้านล่างมีความสมดุลกัน ทำให้ สัมประสิทธิ์แรงด้านลดลงและต่ำกว่าทุกรูปกรณีข้างต้น

กรณีที่ 6 มีการเปลี่ยนแปลงรูปร่างโดยครอบหัวของระบบ ทั้งหมด ความหนาของบริเวณห้องโดยสารและบริเวณกระเบนจะเท่ากัน แต่ส่วนบริเวณท้ายรถทั้งด้านบนและล่างมีลักษณะเป็นสี่เหลี่ยมตัดตรง ซึ่งเป็นรูปทรงด้านท้ายที่ก่อให้เกิดแรงด้านมากที่สุด และเรียกว่ารูปทรงท้ายวิกฤต (critical after body geometry) โดยจากรูป พบว่า รูปทรงด้านท้ายได้มีการเปลี่ยนแปลงจนกระทั่งถึงรูปทรงท้ายวิกฤต จะ ทำให้เกิดการเปลี่ยนแปลงการไหลอย่างฉับพลัน มีความดันข้อนอกลับสูง จึงทำให้เกิดแรงด้านสูงกว่าทุกรูปกรณี

3.2 กรณีเปิดกระจกด้านข้างรถวิ่ง

กรณีที่ 7 เป็นกรณีที่เปิดกระจก 1 ด้าน จะเห็นว่า การหมุนวนของ อากาศส่วนหนึ่งจะเข้าไปในห้องโดยสาร ทำให้เกิดแรงด้านภายใน และ เมื่ออากาศแยกตัวไว้หลอกจากห้องโดยสาร ก็จะทำให้เกิดการหมุนวน ภายในออกอีกรั้งหนึ่ง ทำให้สัมประสิทธิ์แรงด้านเพิ่มสูงขึ้น

กรณีที่ 8 เป็นกรณีที่เปิดกระจก 2 ด้าน โดยอากาศจะสามารถไหลและ เกิดการหมุนวน ได้ทั้งสองด้านของรถ โดยปริมาณอากาศที่ไหลเข้าจะ เพิ่มขึ้นเช่นกัน และแยกออกจากตัวรถ ทำให้สัมประสิทธิ์แรงด้านรวม ของรถ เพิ่มขึ้นมากกว่า เปิดกระจก 1 ด้าน

ซึ่งผลที่ได้จากการทดสอบหารสัมประสิทธิ์แรงด้านของกรณีต่าง ๆ ที่ ก่อตัวมาสามารถนำมาคำนวณการสิ้นเปลืองพลังงาน (fuel consumption) โดยยึดกรณีที่ 1 ซึ่งเป็น กรณีที่เปิดกระจก 1 ด้าน กรณีที่เปิดกระจก 2 ด้าน โดยค่าที่ได้ นำไปหาค่าการสิ้นเปลืองพลังงานได้จาก สมการ

$$\Delta \bar{C}_D(V_t) = \bar{C}_D(V_t)_{baseline} - \bar{C}_D(V_t)_{modified} \quad (3)$$

คือค่าผลต่างของสัมประสิทธิ์แรงด้านที่ความเร็วเดียวกัน โดยยึดกรณีที่ 1 เป็นมาตรฐาน โดยค่าที่ได้ นำไปหาค่าการสิ้นเปลืองพลังงานได้จาก สมการ

$$\Delta \mu(V_t) = \frac{\rho \times ucf \times sfc \times V_t^2 \Delta(V_t) A}{0.85} \quad (4)$$

$\Delta\mu(V_t) =$ อัตราการเปลี่ยนแปลงอัตราการสิ้นเปลืองเชื้อเพลิงที่ความเร็วกำหนด ($L/100 \text{ km}$), $\rho =$ ความหนาแน่นของอากาศ 1.225 kg/m^3 , $ucf =$ ค่าแฟคเตอร์ของการเปลี่ยนแปลงหน่วย เท่ากับ 1.072 , $sfc =$ อัตราการสิ้นเปลืองเชื้อเพลิงจำเพาะ (liters/kW-h) โดยใช้เครื่องยนต์ดีเซล คอมมอนเรล 3 ลิตร ยี่ห้อโตโยต้า รีโกวาร์เด้นเนอร์ กดสอน, $A =$ พื้นที่หน้าตัดของรถ (m^2), $0.85 =$ ค่าสัมประสิทธิ์การเคลื่อนที่ของรถ โดยคิดที่ความเร็วเฉลี่ย และเทียบกับระยะทางวิ่งที่ $100,000 \text{ km}$ (ตารางที่ 1) ค่าเป็นเวลาแสดงว่าลดอัตราการสิ้นเปลืองเชื้อเพลิง ค่าเป็นลบคือเพิ่มอัตราการสิ้นเปลืองเชื้อเพลิง

ตารางที่ 1 ค่าอัตราการสิ้นเปลืองพลังงานที่ความเร็วเฉลี่ย

กรณีทดสอบ	ที่ความเร็วเฉลี่ย ($L/100 \text{ km}$)	วิ่งระยะทาง $100,000 \text{ km (L)}$	อัตราการสิ้นเปลืองเชื้อเพลิง (%)
1 เปิดระบบปกติ	-	-	0 %
2 เปิดท้ายระบบ	0.2139	213.9	2.62 %
3 ไม่มีฝ้าท้ายระบบ	0.3711	371.1	4.55 %
4 ปิดท้ายระบบ	0.4374	437.4	5.37 %
5 ครอบระบบแบบเฉียง	0.5629	562.9	6.91 %
6 ครอบระบบแบบตัดตรง	-0.7181	-718.1	-8.81 %
7 เปิดกระจก 1 ด้าน	-0.0279	-27.9	-0.34 %
8 เปิดกระจก 2 ด้าน	-0.0470	-47.9	-0.58 %

ตารางที่ 2 ค่าอัตราการสิ้นเปลืองพลังงานที่ความเร็ว 90 km/hr

กรณีทดสอบ	ที่ความเร็วเฉลี่ย ($L/100 \text{ km}$)	วิ่งระยะทาง $100,000 \text{ km (L)}$	อัตราการสิ้นเปลืองเชื้อเพลิง (%)
1 เปิดระบบปกติ	-	-	0 %
2 เปิดท้ายระบบ	0.2439	240.9	2.96 %
3 ไม่มีฝ้าท้ายระบบ	0.4187	418.7	5.14 %
4 ปิดท้ายระบบ	0.5044	504.4	6.19 %
5 ครอบระบบแบบเฉียง	0.6348	634.8	7.79 %
6 ครอบระบบแบบตัดตรง	-0.8116	-811.6	-9.96 %
7 เปิดกระจก 1 ด้าน	-0.0316	-31.6	-0.39 %
8 เปิดกระจก 2 ด้าน	-0.0565	-56.5	-0.69 %

โดยตารางที่ 2 คำนวณที่ความเร็ว 90 km/hr ซึ่งเป็นความเร็วที่ใช่วงที่สภาวะปกติ โดยผลของการคำนวณของอัตราการสิ้นเปลืองเชื้อเพลิงแสดงให้เห็นว่าการปรับปรุงท้ายระบบ ที่ทำให้อากาศเกิดการแยกดัวและหมุนวนลดลง จะช่วยลดประกายด้วยเชื้อเพลิงของรถยนต์บรรทุกขนาดเล็กได้วี乎นี่ และควรหลีกเลี่ยงการใช้อุปกรณ์ที่สามารถทำให้เกิดการหมุนวนของอากาศ เช่นการเปิดกระจกจะช่วยดึงดูดที่ก่อร่องมา โดยสามารถทำงานวิจัยนี้ไปปรับปรุงด้านอากาศพลศาสตร์ของรถบรรทุกเล็ก และเป็นแนวทางในการปรับปรุงรูปร่างส่วนต่าง ๆ ของรถยนต์ทุกชนิดได้

4. สรุป

จากผลทดสอบโดยใช้อุโมงค์ลม และวิธีจำลองเชิงด้วยเลข แสดงให้เห็นว่าผลมีค่าใกล้เคียงกันและมีความถูกต้อง โดยวิธีจำลองเชิงด้วยเลขสามารถทดสอบสัมประสิทธิ์แรงด้านที่ความเร็วสูง และวิเคราะห์การจำลองที่มีรูปร่างมีความลักษณะอ่อนไหว เช่น ด้วยการปรับรูปร่างท้ายระบบให้มีลักษณะเพรียวยลม นอกจากรูปทรงด้านที่ต้อง

พิจารณาถึงการลดพื้นที่ทับในแนวทิศทางตั้งฉากกับทิศทางของการเคลื่อนที่ หรือกล่าวคือ ออกแบบเพื่อลดความดันในด้านหน้าหรือเพิ่มความดันในด้านหลังของรถ ให้มีความดันแกิดสมดุลให้มากที่สุด

5. กิตติกรรมประกาศ

คณะผู้จัดโครงการขอขอบคุณคณะกรรมการศาสตร์ มหาวิทยาลัยอุบลราชธานี สำนักงานคณะกรรมการวิจัยแห่งชาติ ที่ให้ทุนสนับสนุนและคณะกรรมการผู้วัดงานทุกท่าน

เอกสารอ้างอิง

- 1 F.R. Gosche and G.E.A. Meier, "Research at DLR Gottingen on bluff body aerodynamics drag reduction by wake ventilation and active flow control," *Journal of Wind Engineering and Industrial Aerodynamics*, vol. 89, pp. 1201-1218, 2001.
- 2 C.P. Van Dam, "Recent experience with different methods of drag prediction," *Progress in Aerospace Sciences*, vol. 35, pp. 751-798, 1999.
- 3 J. Leuschen and K.R. Cooper, "Full-Scale Wind Tunnel Tests of Production and Prototype, Second-Generation Aerodynamic Drag-Reducing Devices for Tractor-Trailers," *2006 SAE International, 06CV-222*, 2006.
- 4 H. Fukuda, K. Yanagimoto, H. China and K. Nakagawa, "Improvement of vehicle aerodynamics by wake control," *JSAE Review*, vol. 16, pp. 151-155, 1995.
- 5 อาทิตย์ ฤทธิ์เลื่อน และ อุดมเกียรติ นนทแท้ก้า, "การวิเคราะห์การไหลของอากาศรอบรถยนต์," *วารสารวิชาการพระจอมเกล้าพระนครเหนือ*, ปีที่ 13, ฉบับที่ 2, เมษายน – มิ.ย. 2546.
- 6 A. Prasad and C.H.K. Williamson, "A method for the reduction of bluff body drag," *Journal of Wind Engineering and Industrial Aerodynamics*, vol. 69-71, pp. 155-167, 1997.
- 7 S.N. Singh, L. Rai, P. Puri and Bhatnagar, "Effect of moving surface on the aerodynamic drag of road vehicles," *Proc. IMechE. Automobile Engineering: 219 Part D*, 2005.
- 8 N. Horinouchi, "Numerical Investigation of Vehicle Aerodynamics with Overlaid Grid System," *SAE 950628*, 1995.
- 9 F. Muyl, L. Dumsa and V. Herbert, "Hybrid method for aerodynamic shape optimization in automotive industry," *Computers & Fluids*, vol. 33, pp. 849-858, 2004.
- 10 M. Tomiyama, K. Maeda, and F. Nakamura, "The development of a method to obtain the optimum lift coefficient using the vehicle dynamic analysis," *JSAE Review*, vol 23, pp. 69-74, 2002.
- 11 S. Yamamoto, K. Yanagimoto, H. Fukuda, H. China, and K. Nakagawa, 1997, "Aerodynamic influence of a passing vehicle on the stability of the other vehicles," *JSAE Review*, vol 18, pp. 39-44, 1997.

การลดลงของสมบัติ系数แรงด้าน ในการวิ่งตามกันของรถบรรทุกเล็ก

Reduction of drag coefficient of the trail pick-up truck

ปรัชญา มุขดา^{1*} กุลเชษฐ์ เพียรทอง¹ วิระพันธ์ สีหานาม¹

¹สาขาวิชาวิศวกรรมเครื่องกล คณะวิศวกรรมศาสตร์ มหาวิทยาลัยอุบลราชธานี อ.วารินชาราน จ.อุบลราชธานี 34190

โทรศัพท์ 0-87-9597828 โทรสาร 0-45353-380 *อีเมล์: mukdaen@hotmail.com

Prachya Mukda^{1*}, Kulachate Pianthong¹, Wirapan Seehanam¹

¹Department of Mechanical Engineering, Faculty of Engineering, Ubon Ratchathani University, Ubon Ratchathani, 34190,

Thailand. Tel: 0-87-9597828 Ext. 3382, Fax: 0-45353-380 *E-mail: mukdaen@hotmail.com

บทคัดย่อ

งานวิจัยนี้เป็นการศึกษาอากาศพลศาสตร์ ในการวิ่งตามกันของรถบรรทุกเล็กห้องผู้โดยสาร 2 ตัน เพื่อศึกษาการลดลงของสมบัติ系数แรงด้าน (C_D) โดยวิธีคำนวนของไฟล์พลศาสตร์ (CFD) ใช้ซอฟแวร์ FLUENT จำลองแบบ 3 มิติ ในการศึกษาขั้นต้น ให้อุโมงค์มความเร็วต่างๆ ร่วมกับ CFD ทดสอบแบบจำลองระบบรถบรรทุกเล็ก ที่ความเร็วระหว่าง 18 - 43 km/hr เพื่อเปรียบเทียบและยืนยันผล ก่อนที่จะทดสอบขนาดจริงด้วยวิธีจำลองเชิงตัวเลข ที่ความเร็ว 36 - 126 km/hr เพื่อศึกษาการลดลงของสมบัติ系数ด้าน ของรถคันหลังที่วิ่งห่างจากคันหน้าที่ระยะห่างต่างกัน พบร่วม ที่ระยะห่าง 10 m อัตราการสิ้นเปลืองเชื้อเพลิงลดลงจากวิ่งปกติคันเดียว 6.52 % (ที่ความเร็วเฉลี่ย) และกรณีรถวิ่งเยื้องกัน พบร่วม รถคันหลังที่วิ่งห่างที่ระยะ 10 m และเยื้อง 1 m อัตราการสิ้นเปลืองเชื้อเพลิงของรถคันหลังลดลง 1.90 % (ที่ความเร็วเฉลี่ย)

Abstract

This research aims to investigate the aerodynamic of the trailing cab pick-up truck. The drag coefficient (C_D) is the main focus by using Computational Fluid Dynamics (CFD) technique. The commercial software, FLUENT, is employed in three dimensional (3D) model. The low speed wind tunnel was used to test to model of pick-up truck at velocity between 18 – 43 km/hr, the results was then validated with CFD simulation. Then the full size of pick-up truck was simulated by CFD at velocity between 36 – 126 km/hr. In this study, the C_D of the trail car at different distance is investigated. It was find that, at the trailing distance of 10 m, the fuel consumption trail car can be reduced by 6.52 % averagely. In another case, when the trail car is running

accentricly, the trail distance of 10 m and eccentric distance of 1 m, gives the best result which the fuel consumption can be reduced by 1.90 %.

1. บทนำ

การออกแบบรูปทรงรถตื้นให้เหมาะสม เป็นการทำให้รถยนต์วิ่งผ่านอากาศด้วยแรงด้านลดลง การประกอบชิ้นส่วนก็มีส่วนสำคัญ เช่น การประกอบหน้าต่างและขอบที่แนบสนิทพอดี รวมถึงการติดตั้งอุปกรณ์เสริมรถ เช่น สปอยเลอร์ด้านหลังล้อหน้า และล้อหลัง แผ่นกันไถห้องรถที่ทำให้ส่วนประกอบของโครงสร้างไม่ขวางการไหลของอากาศ แม้แต่ สปอยเลอร์หลังเพื่อลดความปั่นป่วนเมื่ออากาศวิ่งผ่านอุปกรณ์เหล่านี้สามารถลดแรงด้านอากาศ โดยใช้อัคคีความรู้ด้านอากาศ พลศาสตร์ หรือ Aerodynamics ซึ่งเป็นสิ่งสำคัญของการออกแบบรถยนต์ในการทดสอบ คันควร และการวิจัย จะต้องมีการนำไปโมเดลทั้งแบบจำลองและแบบขนาดจริง เข้าไปทดสอบในอุโมงค์ลมเพื่อตรวจสอบหาค่าต่างๆ ซึ่งเป็นการสิ้นเปลืองทุน อุปกรณ์ และเวลาใน การทดสอบ ปัจจุบันได้มีการใช้การคำนวนเชิงตัวเลขของไฟล์ พลศาสตร์ หรือ CFD (Computation Fluid Dynamic) ซึ่งเป็นเครื่องมือที่สามารถแสดงผลได้แบบ 3 มิติ ช่วยให้เห็นภาพการเคลื่อนที่ของกระแสอากาศ และผลที่เกิดกับรูปแบบตัวชี้วัดเจน

(Spalart, 2000) กล่าวว่า การคำนวนของไฟล์พลศาสตร์ หรือ วิธีจำลองเชิงตัวเลข นิยมใช้ซอฟต์แวร์ FLUENT สำหรับการจำลองการไหลแบบรายเรียนอัดตัวไม่ได้ โดยวิธีปริมาตรจัดตัว (Finite volume) เริ่มต้นจากการทดสอบไฟล์ผ่านแบบจำลองใน 2 มิติ ซึ่งผลที่ได้จากการจำลอง มีแนวโน้มการเกิดการแยกตัวของอากาศบริเวณส่วนหลังของแบบจำลอง ใกล้เคียงกับผลการทดสอบในอุโมงค์ลมที่ Reynolds number ต่ำ แต่มีค่า Reynold's number ที่ใช้ในการจำลองมีค่ามากขึ้น ค่าที่ได้จากการคำนวนมีความคลาดเคลื่อนจากการทดสอบในอุโมงค์ลม เนื่องจาก

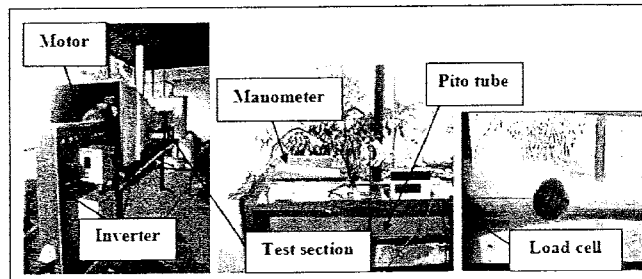
การทดสอบในอุโมงค์ลมมีลักษณะการไฟล์เป็น 3 มิติ จึงได้มีการพัฒนาการจำลองการไฟล์แบบ 3 มิติ (Horinouchi, 1995) และ (Van Dam, 1999) ได้นำแบบจำลองเพื่อทดสอบสัมประสิทธิ์แรงด้านของการติดตั้งอุปกรณ์เสริมของรถยนต์ ใช้ศึกษาความลาดเอียงด้านข้างของรูปทรงท้ายรถยนต์ และรายหน้า ที่ติดได้บังโคลน ใช้สัมการนาวีร์-สโตค สำหรับการไฟล์แบบระบบเรียบ ผลที่ได้สอดคล้องกับการทดสอบในอุโมงค์ลม ซึ่งค่าสัมประสิทธิ์แรงด้านจะลดลงเมื่อค่าความลาดเอียงเพิ่มขึ้น เนื่องจากความดันที่ส่วนหลังของแบบจำลองมีค่าสูงขึ้น และค่าสัมประสิทธิ์แรงด้านจะลดลงเช่นกันเมื่อมีการติดชายหน้า ซึ่งเป็นอุปกรณ์ที่นำไปสู่การไฟล์แบบระบบเรียบ (Prasad et al., 1997) พนว่าแรงด้านส่วนใหญ่ของตัวรถ มาจากเทอนของความดันที่แยกตัวออกจากผิวนอก สัมประสิทธิ์แรงด้าน 40 เปอร์เซ็นต์จะขึ้นอยู่กับรูปทรงภายนอกและส่วนใหญ่จะเกิดขึ้นที่หัวรถ โดยสัมประสิทธิ์แรงด้านจะไม่มีผลจากรูปร่างหน้ารถ แต่แรงด้านส่วนใหญ่จะมาจากการไฟล์บันป่วนด้านท้าย (Muyl et al., 2004) และ (Grosche, 2001) กล่าวว่า ในรถยนต์ทุกชนิดในปัจจุบันนั้น เป็นไปไม่ได้เลยที่จะไม่ใช้กีดการไฟล์บันป่วนด้านท้าย โดยเฉพาะรถบรรทุกที่มีขนาดใหญ่ เพราะรูปทรงมีพื้นที่หน้าตัดขนาดใหญ่ และไม่มีลักษณะสูตร จะทำให้อากาศเกิดการแยกตัว เกิดการไฟล์บันป่วนด้านท้ายมาก ซึ่งทำให้ค่าแรงด้านสูง แต่อากาศด้านท้ายที่เกิดจาก การแยกตัวนั้น ความดันที่เกิดจากการเคลื่อนที่ (Dynamics Pressure) จะลดลง จึงได้มีการทดสอบให้รถบรรทุกขนาดใหญ่ 2 คัน วิ่งตามกัน โดย (Browand, 2005) พนว่า อัตราการสิ้นเปลืองเชื้อเพลิงของรถคันหลังลดลงกว่าคันหน้า และในการทดสอบระดับแรงดัน CFD ยังสามารถจำลองจึงที่เกิดขึ้นกับด้านท้ายของรถคันหน้า ซึ่งการอศัยองค์ความรู้ด้านอากาศพลศาสตร์ มหาวิทยาลัยสามารถเพิ่มประสิทธิภาพรถคันหลังได้รับอย่างชัดเจน เพราะแรงด้านของอากาศของรถคันหลังจะลดลง โดยกระแสอากาศที่ไฟล์ผ่านได้ท้องรถคันหลังจะลดลง ประการสำคัญแรงดูดของกระแสลมด้านท้ายของรถคันหน้าจะทำให้รถคันตามมีความเร็วเพิ่มขึ้น จึงได้นำหลักการที่กล่าวมา มาประยุกต์ใช้กับงานวิจัยนี้ โดยเป็นการทดสอบบนรถบรรทุกเล็กห้องผู้โดยสาร 2 ตอน ซึ่งเป็นยานพาหนะที่นิยมใช้มากที่สุดในประเทศไทย ภาคทดสอบเพื่อเปรียบเทียบสัมประสิทธิ์แรงด้าน ในกรณีวิ่งตามกัน โดยรถทั้งสองคัน วิ่งตามกันแนวๆ และแนวเยื้อง ที่ระยะห่างต่างๆ โดยใช้ CFD เป็นเครื่องมือในการทดสอบ เพื่อเป็นแนวทางในการลดค่าสัมประสิทธิ์แรงด้าน และลดอัตราการสิ้นเปลืองเชื้อเพลิงโดยใช้ทฤษฎีของ (Leuschen, 2006) เพื่อหาจาก การเปลี่ยนแปลงของสัมประสิทธิ์แรงด้านจากการณ์ปกติ ที่ความเร็วต่างๆ ที่ได้จากการทดสอบในอุโมงค์ลม พร้อมกับเสนอแนวทางแก้ไข วิธีการขับขี่ที่เหมาะสม

2. วิธีดำเนินการวิจัย

2.1 เปรียบเทียบสัมประสิทธิ์แรงด้านของทรงกลม โดยการทดสอบใน อุโมงค์ลม และ CFD

ในการทดสอบใช้อุโมงค์ลมแบบเปิด โดยอากาศไฟล์เข้าที่ปลายข้างหนึ่งผ่านส่วนทดสอบแบบจำลอง (Test section) และไฟล์ออกปลายอีกข้างหนึ่ง อากาศมีความดันเท่ากับความดันบรรยากาศ โดยใช้พัดลมดูด

อากาศที่ติดกับมอเตอร์ขนาด 5.5 hp มีเครื่องมือควบคุมมอเตอร์ (Inverter) เพื่อปรับความเร็วอากาศที่ไฟล์ผ่านส่วนทดสอบแบบจำลอง มีความเร็วที่ 5 ถึง 10 m/s (18 - 36 km/hr) ใช้манометр (Manometer) เป็นเครื่องมือวัดความดันและความเร็วอากาศ

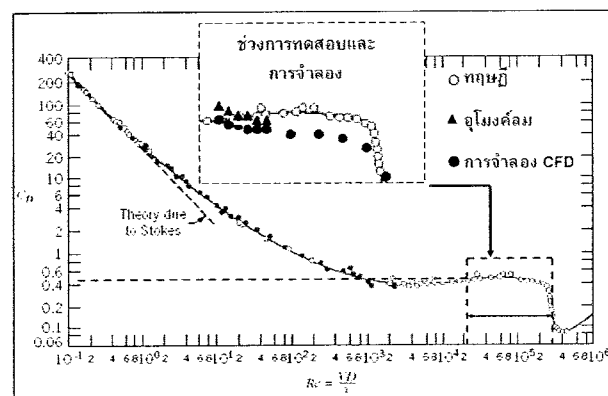


รูปที่ 1 ชุดทดสอบสัมประสิทธิ์แรงด้าน (อุโมงค์ลม)

แสดงในรูปที่ 1 ซึ่งใช้ทดสอบสัมประสิทธิ์แรงด้านของวัตถุทรงกลม เส้นผ่าศูนย์กลาง 0.1 m ที่ติดกับเครื่องมือวัดแรงด้าน (Load cell) ซึ่งจะเป็นแรงที่อากาศกระทำกับวัตถุทรงกลม นำมาคำนวณหาสัมประสิทธิ์แรงด้าน จากสมการ

$$C_D = \frac{F_D}{\frac{1}{2} \rho V^2 A} \quad (1)$$

โดยที่ C_D คือสัมประสิทธิ์แรงด้านรวม, F_D คือแรงด้านรวมที่กระทำต่อวัตถุ (N), ρ คือความหนาแน่นของอากาศ 1.225 kg/m^3 และ A คือพื้นที่ที่ตั้งฉากกับพื้นที่ทางการไฟล์ (m^2) โดยนำผลที่ได้มาเปรียบเทียบกับผลทดสอบด้วยวิธีจำลองเชิง จำลองที่ขนาดและสภาพเดียวกับการทดสอบในอุโมงค์ลม ซึ่งจากการทดสอบ สัมประสิทธิ์แรงด้านโดยอุโมงค์ลมและวิธีจำลองเชิงตัวเลข ค่าสัมประสิทธิ์แรงด้านมีค่าใกล้เคียงกัน โดยค่าที่ได้จากการทดสอบด้วยอุโมงค์ลม จะให้ผลต่างที่มีค่าสูงกว่าวิธีจำลองเชิงตัวเลขประมาณ 5 เปอร์เซ็นต์ (โดยเฉลี่ย) ซึ่งจะแสดงค่าสัมประสิทธิ์แรงด้านจากการทดสอบทั้งสองแบบ และเปรียบเทียบกับทฤษฎี แสดงในรูปที่ 2

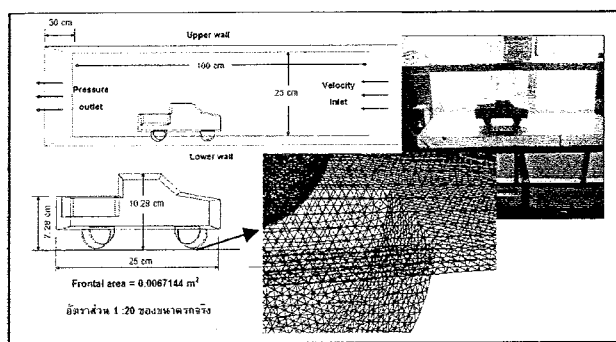


รูปที่ 2 การเปรียบเทียบผลทดสอบสัมประสิทธิ์แรงด้าน (C_D)

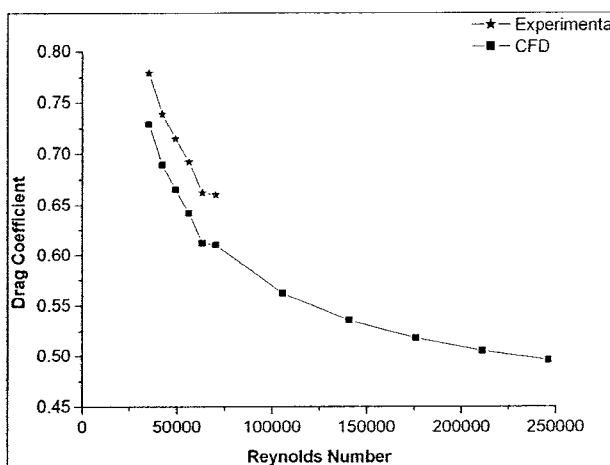
จากรูปที่ 2 เป็นการทดสอบสัมประสิทธิ์แรงด้านของทรงกลมในอุโมงค์ลม และ CFD เปรียบเทียบกับทฤษฎีอยู่ในช่วง Reynolds number เท่ากับ $2.2 \times 10^4 - 3.0 \times 10^5$ ซึ่งค่าสัมประสิทธิ์แรงด้านจะลดลงเมื่อ Reynolds number สูงขึ้น เนื่องจากอิทธิพลของความหนืดที่ผิวทรงกลมกับอากาศลดลง ผิวทรงกลมจะได้รับผลกระทบจากการดันอากาศเพิ่มขึ้น โดยการทดสอบทั้งสองแบบมีค่าไอล์เคลิงกันทฤษฎี ซึ่งสามารถน้ำสภาวะการไหล สมการการคำนวณ ชนิดและจำนวนกริด ไปทดสอบแบบจำลองรถบรรทุกเล็กเพื่อตรวจสอบสัมประสิทธิ์แรงด้านต่อไป

2.2 การทดสอบสัมประสิทธิ์แรงด้าน รถบรรทุกเล็กแบบจำลอง

การทดสอบแบบจำลองในอุโมงค์ลม ใช้วัสดุจากพลาสติกแบบจำลอง มีอัตราส่วน 1:20 ของขนาดจริง มีขนาดพื้นที่หน้าตัด (Frontal area) เท่ากับ 0.0067144 m^2 ทดสอบที่ความเร็ว 18 - 36 km/hr โดยทดสอบความคู่กับวิธีจำลองเชิงตัวเลข โดยใช้ขนาดแบบจำลอง และ Test section เท่ากัน เพื่อเปรียบเทียบผลก่อนที่จะทดสอบขนาดจริงด้วยวิธีจำลองเชิงตัวเลข ดังรูปที่ 3



รูปที่ 3 ขนาดของแบบจำลอง กริด และลักษณะการทดสอบในอุโมงค์ลม และ CFD



รูปที่ 4 สัมประสิทธิ์แรงด้านของแบบจำลองรถบรรทุกเล็ก ในอุโมงค์ลม และ CFD

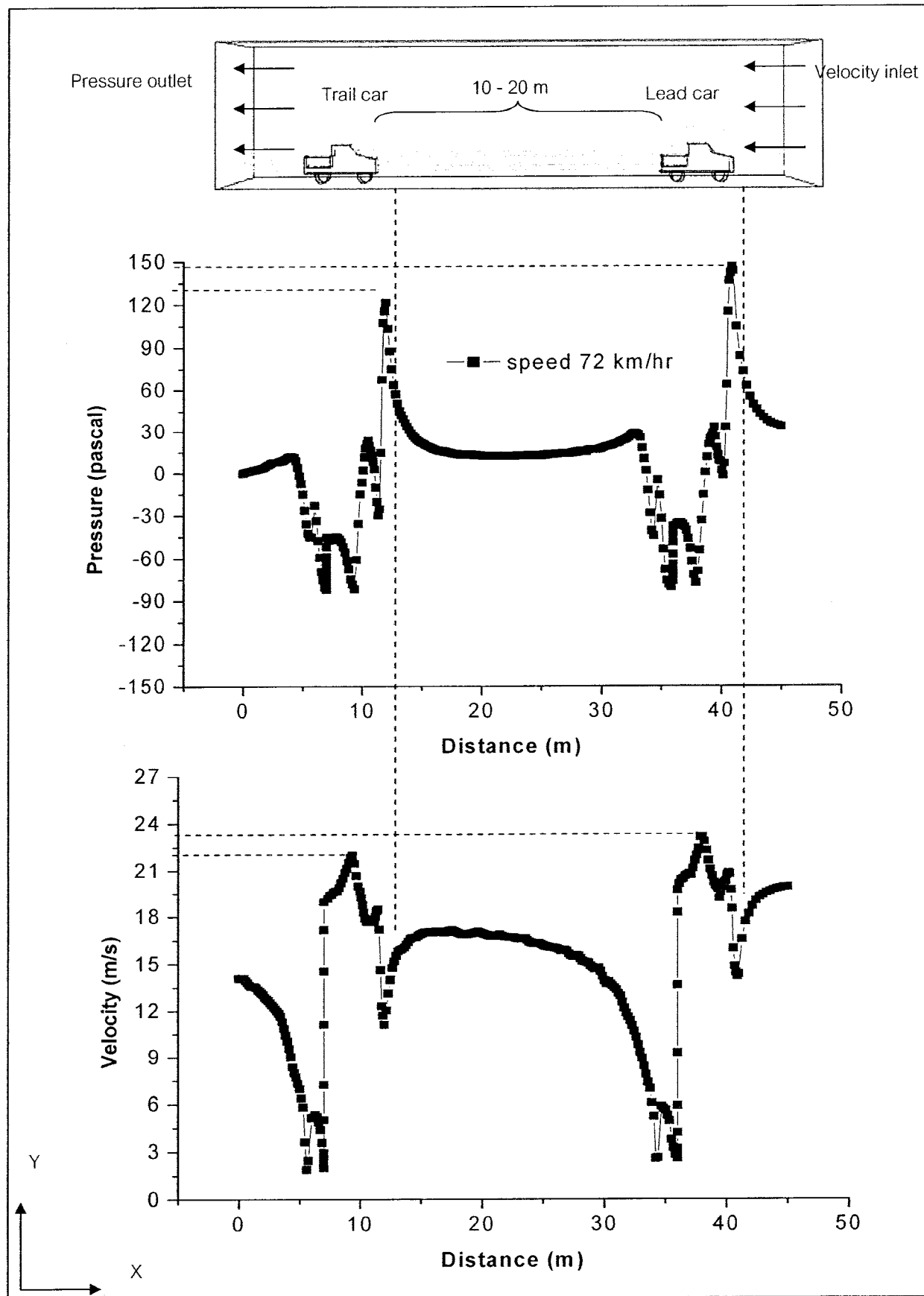
รูปที่ 4 เป็นค่าสัมประสิทธิ์แรงด้านของแบบจำลองของรถบรรทุกเล็ก ซึ่งสัมประสิทธิ์แรงด้านจะลดลงเมื่อความเร็วหรือ Reynolds number เพิ่มขึ้น เมื่อนอกการทดสอบวัตถุทรงกลม โดยค่าที่ได้จากการทดสอบในอุโมงค์ลมจะมีค่าสูงกว่าวิธีจำลองเชิงตัวเลข ซึ่งมีความแตกต่างไม่เกิน 5 เปอร์เซ็นต์ เนื่องจากความกว้างของ Test section ในอุโมงค์ลม ทำให้สภาวะการไหลไม่คงที่ เช่นความเร็ว ความดัน ความหนืด เมื่ออากาศไหลผ่านช่องการทดสอบแคบลง จะให้ความเร็วสูงขึ้น ความหนืดของอากาศก็มีผลกับผนังของส่วนทดสอบ ทำให้สัมประสิทธิ์แรงด้านที่ใช้อุโมงค์ลมสูงกว่าวิธีจำลองเชิงตัวเลข ซึ่งเป็นค่าที่ยอมรับได้ที่จะนำข้อมูลและเงื่อนไขในการจำลองมาใช้ในการทดสอบสัมประสิทธิ์แรงด้าน ในการทดสอบขนาดจริง

2.3 การทดสอบสัมประสิทธิ์แรงด้าน รถบรรทุกเล็กขนาดจริง กรณีรถบรรทุกเล็กวิ่งตามแนวways (แกน x)

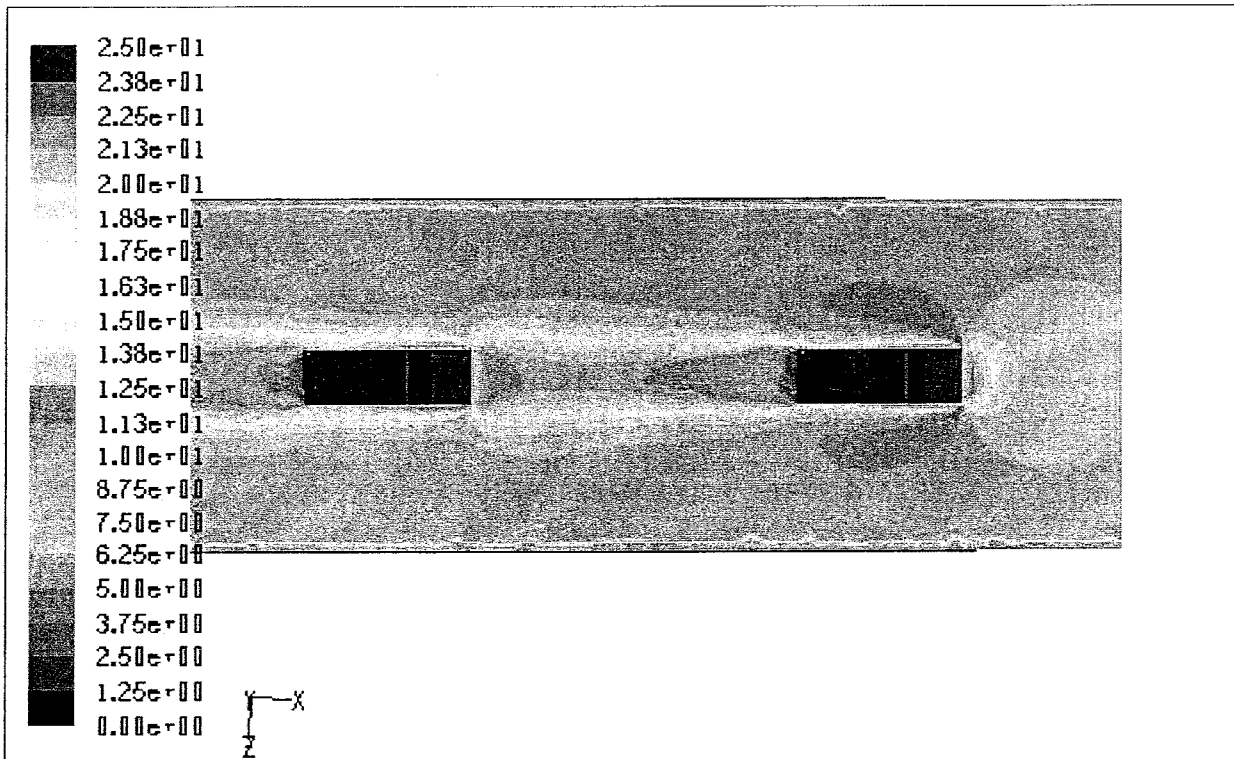
เงื่อนไขในการคำนวณไปใช้จำลองรถขนาดจริง แสดงในตารางที่ 1 โดยวิธีจำลองเชิงตัวเลข 3 มิติ เพื่อตรวจสอบผลสัมประสิทธิ์แรงด้านที่เปลี่ยนไปของรถคันหลัง ที่มีการเปลี่ยนแปลงความเร็ว โดยรถทั้งสองคันอยู่ห่างกันตามแนวways (แกน X) ที่ระยะ 10, 12.5, 15, 17.5, 20 m ดังแสดงในรูปที่ 5 และทดสอบที่ความเร็ว 36, 54, 72, 90, 108, และ 126 km/hr หรือ (Reynolds number $1.2 \times 10^6 - 4.4 \times 10^6$) โดยความเร็วรถทั้งสองเท่ากัน โดยได้ขยายขนาดความกว้าง และความสูงของผนังด้านข้างและด้านบนของส่วนทดสอบ เพื่อไม่ให้มีผลกับสัมประสิทธิ์แรงด้านของรถที่ใช้ทดสอบ

ตารางที่ 1 เงื่อนไขการคำนวณ CFD

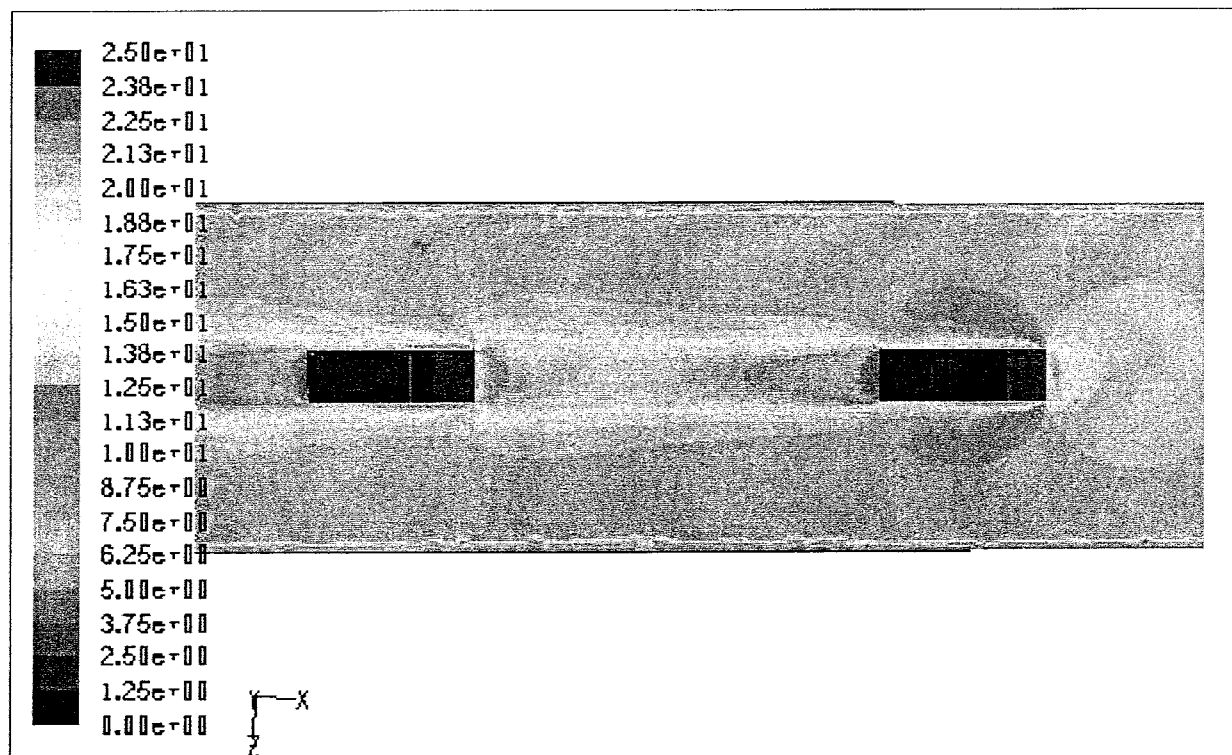
โปรแกรม GAMBIT	
ขอบเขตทางด้านขวา (Inlet boundary condition)	Velocity inlet
ขอบเขตทางด้านออก (Outlet boundary condition)	Pressure outlet
จำนวน Grid	ประมาณ 728,644 cell
โปรแกรม FLUENT	
ระเบียบวิธีการแก้ปัญหา (Solver)	Segregated Solver
ระเบียบวิธีคำนวณ (Linearization)	Implicit method
แบบจำลองความปั่นป่วน (Turbulent model)	Standard k-epsilon
ระเบียบวิธีการแก้ปัญหาการไหล บริเวณใกล้ผนัง (Near-wall treatment method)	Standard wall function



รูปที่ 5 การเปลี่ยนแปลงของความดัน และความเร็วที่เกิดขึ้นกับรถคันหน้า (Lead car) และคันหลัง (Trail car) ตรงกลางของรถ ตามแนวแกน x



รูปที่ 6 ระดับແນບສีคิวમเร็วของอากาศ (m/s) ที่ระยะคันหลัง X10

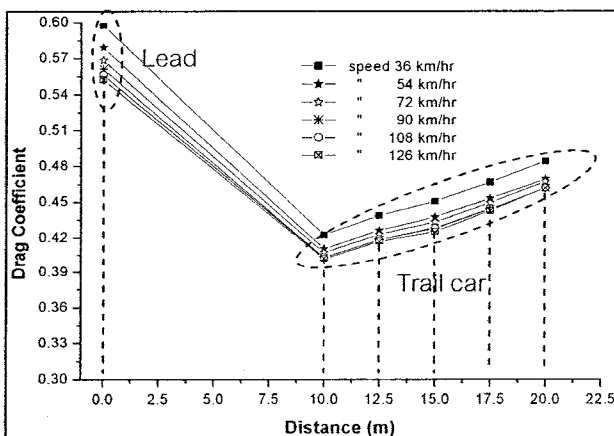


รูปที่ 7 ระดับແນບສีคิวມเร็วของอากาศ (m/s) ที่ระยะคันหลัง X12.5

ซึ่งการเปลี่ยนแปลงความดัน และความเร็วของอากาศที่กระทำกับรถคันหน้ามีค่าสูงกว่าที่กระทำกับรถคันหลัง เพราะอากาศจะทะทบกับด้านหน้าของรถคันหน้าความเร็วจะลดลง เพราะเข้าใกล้จุดหยุดนิ่ง (Stagnation point) ซึ่งจะมีความดันมากกว่าความดันก่อนที่จะเริ่มเข้าประทับกับด้านหน้ารถ หรือความดันในระบบ (Total pressure) และจะลดต่อลง บริเวณท้ายกระเบนเนื่องจากความเร็วลดลง ซึ่งทำให้ความดันที่เกิดจาก การเคลื่อนที่ (Dynamics pressure) ลดลงด้วย ดังนั้นพลังงานจะมีค่าลดลง เพราะ รถคันหน้าจะดูดซับพลังงานที่เรียกว่า เอเดความดัน (Pressure head) และเอเดความเร็ว (Velocity head) ซึ่งสามารถอธิบายได้จากกฎสมดุลพลังงาน สมการของเบอร์นูลลี่ (Bernoulli's Equation)

$$\left(\frac{P_1 + \frac{v_1^2}{2g}}{\rho g} \right)_{lead_car} = \left(\frac{P_2 + \frac{v_2^2}{2g}}{\rho g} \right)_{trail_car} + h_L \quad (2)$$

h_L คือการสูญเสียเขตรวม (head loss) แทนการสูญเสียพลังงานต่อหน่วยน้ำหนักของของไหหล. P_1 คือความดันที่รถคันหน้า, P_2 คือความดันที่รถคันหลัง, v_1 คือความเร็วที่รถคันหน้า, v_2 ความเร็วที่รถคันหลัง, ρ คือความหนาแน่นของอากาศ เท่ากับ 1.225 kg/m^3 , g คืออัตราเร่งจากแรงโน้มถ่วง 9.81 m/s^2 ซึ่งค่า $P_1 > P_2$ และ $v_1 > v_2$ เมื่อ ในการที่ทำการทดสอบ ซึ่งจะทำให้ค่าสัมประสิทธิ์ แรงดันของรถคันหลังมีค่าลดลงน้อยกว่าคันหน้าดังแสดง ในรูปที่ 8



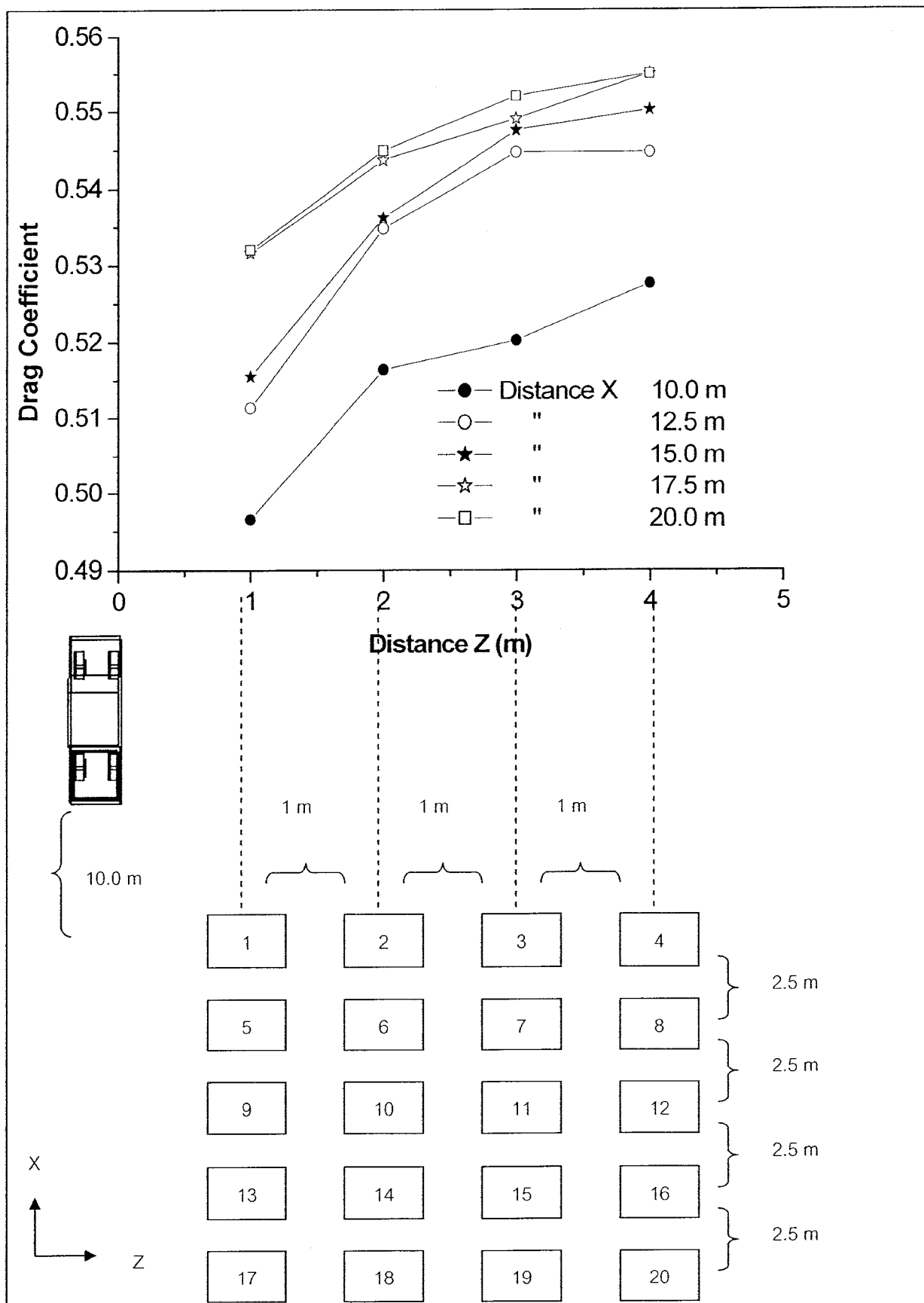
รูปที่ 8 ค่าสัมประสิทธิ์แรงดันของรถคันหลัง ที่ความเร็วและระยะห่าง ที่ต่างกัน

เป็นการเปลี่ยนแปลงของค่าสัมประสิทธิ์แรงดันของรถทั้งสองคันโดยคันหน้าค่า C_D จะเปลี่ยนแปลงตามความเร็วหรือ Reynolds number เมื่อความเร็วเพิ่มขึ้น Reynolds number ก็จะเพิ่มขึ้นตามไปด้วย จึงทำให้ C_D ลดลง แต่จะไม่เปลี่ยนแปลงตามระยะห่างของรถคันหลัง ส่วนรถคันหลังค่า C_D จะลดลงจากรถคันหน้า และจะลดลงเรื่อยๆ ตามระยะห่างที่ลดลง เนื่องจากระยะห่างเข้าใกล้คันหน้า เอเดความดัน และเอเดความเร็วจะลดลง จึงทำให้พลังงานที่รถคันหลังได้รับลดลงเมื่อระยะห่างที่ลดลงด้วย และจากความเร็วและ Reynolds number สูงขึ้น

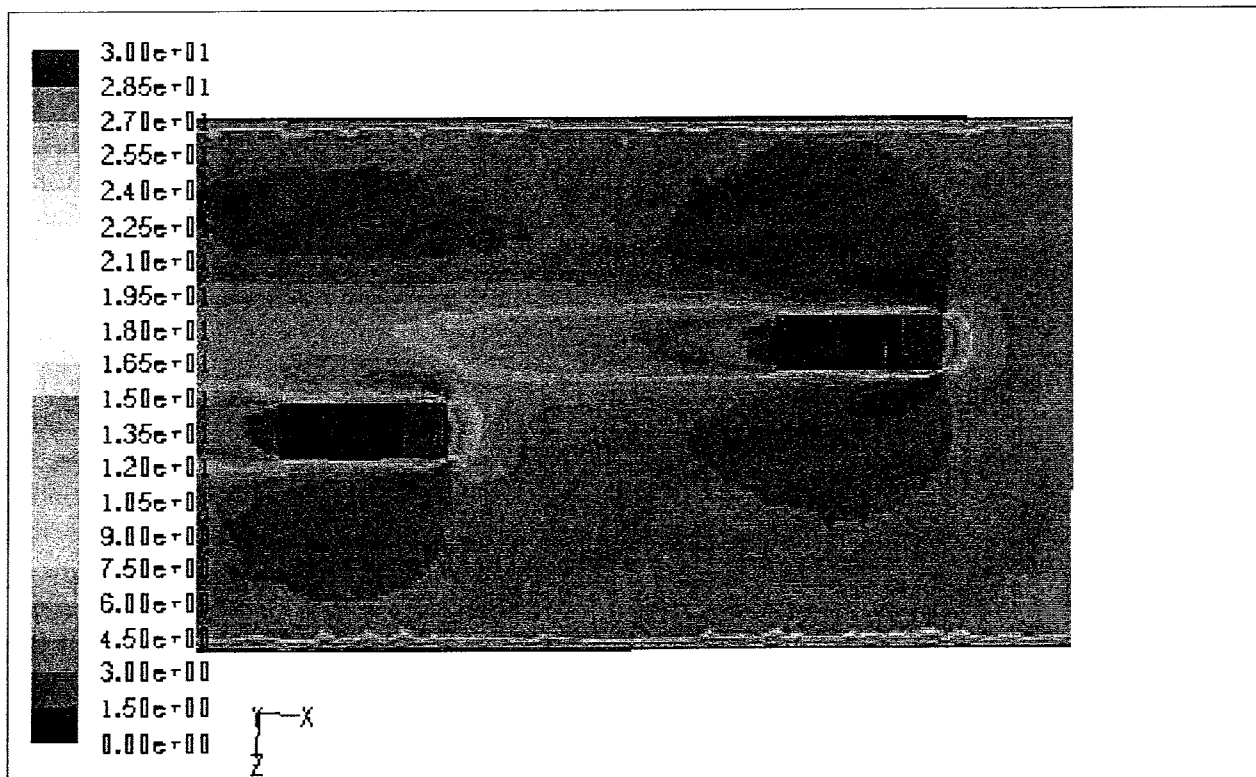
อิทธิพลของอากาศให้ส่วนที่ศักดิ์สิทธิ์ย้อนกลับตามรูปทรงของรถ ทำให้เกิดการแยกตัว (Separation) สูงขึ้น และในส่วนที่แยกนี้จะเกิดการไหลแบบบันปวน หรือเรียกว่าเกิดคลื่นวน (Wake) ที่เกิดจากอากาศไหลผ่านรถคันหน้า ทำให้ Reynolds number สูงขึ้น จึงมีส่วนทำให้ค่า C_D ลดลงด้วยเช่นกัน

2.4 การทดสอบสัมประสิทธิ์แรงดันของรถบรรทุกเล็กขนาดจริง กรณีรถบรรทุกเล็กวิ่งตามกันเยื้องกัน

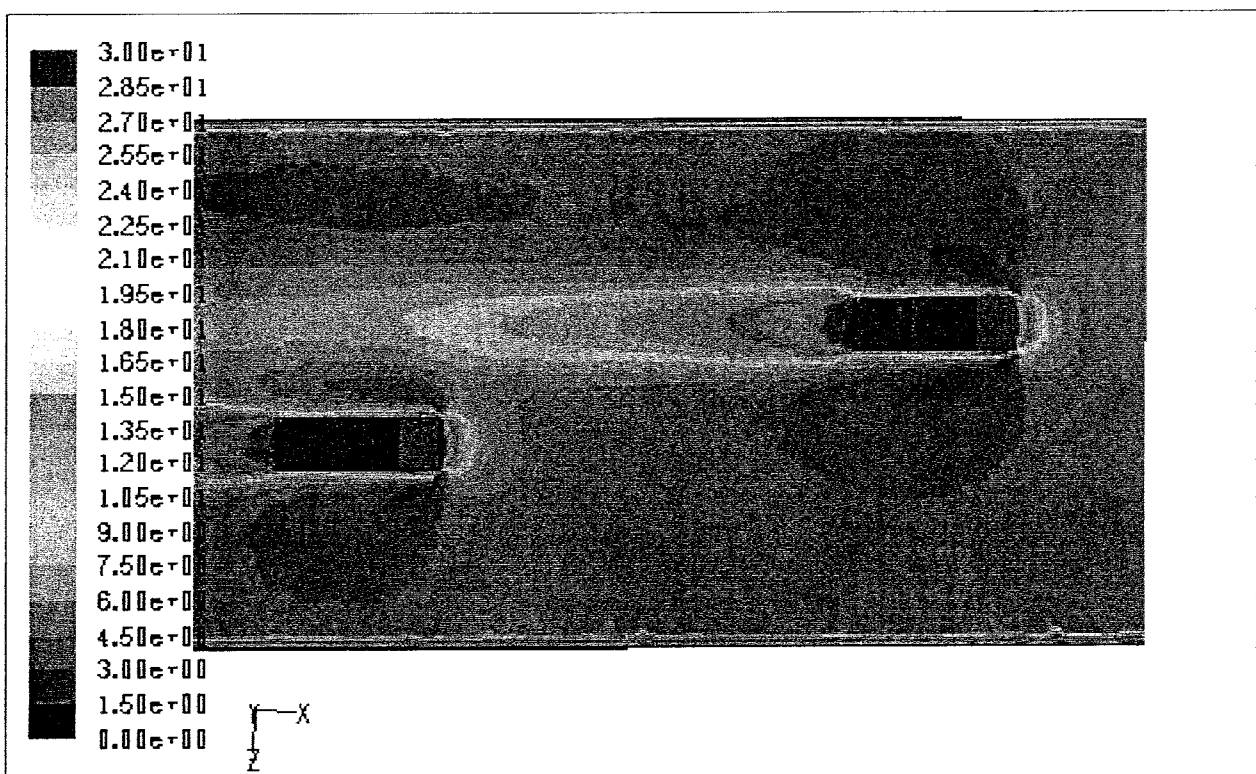
เป็นการจำลองรถบรรทุกขนาดจริง เพื่อตรวจสอบผลสัมประสิทธิ์แรงดันที่เปลี่ยนไปของรถคันหลังโดยที่รถทั้งสองอยู่ห่างกันตามแนวยาว (Distance X) ที่ระยะ 10, 12.5, 15, 17.5, และ 20 m และห่างกันตามแนวขวาง (Distance Z) 1, 2, 3, และ 4 m ซึ่งแต่ละตำแหน่งของรถคันหลังที่ทำการทดสอบจะเรียงลำดับเป็นหมายเลข 1 - 20 ทดสอบที่ความเร็ว 90 km/hr ความเร็วรถทั้งสองเท่ากัน ขอบเขตและเงื่อนไขในการจำลองเหมือนกรณีรถวิ่งตามกันตามแนวยาว ดังรูปที่ 7 ซึ่งเป็นการแสดงผลการเปลี่ยนแปลงของค่าสัมประสิทธิ์แรงดัน ที่ระยะห่างของรถตามแนวแกน X และ แนว Z โดยค่าสัมประสิทธิ์แรงดันของรถคันหลังจะลดลงจากคันหน้า เนื่องรถคันหลังวิ่งเข้าใกล้สนามการไหลแบบบันปวน ที่เกิดจากอากาศไหลผ่านรถคันหน้า ซึ่งมีเอเดความดัน และเอเดความเร็วที่ลดลง จึงทำให้ค่าสัมประสิทธิ์แรงดันของรถคันหลังลดลงด้วย และเมื่อรถคันหลังอยู่ระยะห่างออกไปตามแนวแกน X และ แนว Z ค่าเอเดความดันและเอเดความเร็วที่รถคันหลังได้รับจะสูงขึ้นเรื่อยๆ ดังนั้นค่าสัมประสิทธิ์แรงดันจึงเพิ่มขึ้นตามระยะที่รถคันหลังอยู่ห่างออกไปทั้งตามแนวแกน X และแกน Z



รูปที่ 9 สัมประสิทธิ์แรงต้านของรถคันหลังที่ระยะห่าง ระยะเยื่องต่างๆ ที่ความเร็ว 90 km/hr



รูปที่ 10 ระดับແບນສีความเร็วของอากาศ (m/s) ที่ระยะคันหลัง X10, Z1



รูปที่ 11 ระดับແບນສีความเร็วของอากาศ (m/s) ที่ระยะคันหลัง X12.5, Z2

2.5 อัตราการสิ้นเปลืองน้ำมันของการเปลี่ยนแปลง C_D

ซึ่งผลที่ได้จากการทดสอบหาสมดุลที่แรงดันของกรณีต่าง ๆ ที่ก่อขึ้นสามารถนำมาหาค่าการสิ้นเปลืองน้ำมัน (Fuel consumption) โดยยึดรถคันหน้านำมาเป็นกรณีเปรียบเทียบ หาผลต่างของสัมประสิทธิ์แรงดัน โดยคำนวณได้จาก

$$\Delta \overline{C}_D(V_t) = \overline{C}_D(V_t)_{baseline} - \overline{C}_D(V_t)_{modified} \quad (3)$$

$\Delta \overline{C}_D(V_t)$ คือค่าผลต่างของสัมประสิทธิ์แรงดันที่ความเร็วเดียวกัน โดยยึดรถคันหน้าเป็นมาตรฐาน โดยค่าที่ได้ นำไปหาค่าการสิ้นเปลืองน้ำมันได้จากสมการ

$$\Delta\mu(V_t) = \frac{\rho \times ucf \times sfc \times V_t^2 \Delta \overline{C}_D(V_t) A}{0.85} \quad (4)$$

$\Delta\mu(V_t)$ = อัตราการเปลี่ยนแปลงอัตราการสิ้นเปลืองน้ำมันที่ความเร็วกำหนด ($L/100 km$) ρ = ความหนาแน่นของอากาศ 1.225 kg/m^3 , ucf = ค่าแฟคเตอร์ของการเปลี่ยนแปลงหน่วย เท่ากับ 1.072, sfc = อัตราการสิ้นเปลืองน้ำมันจำเพาะ (liters/kW-h) โดยใช้เครื่องยนต์ดีเซล คอมมอนเรล ขนาดกระบอกสูบ 3 ลิตร ยี่ห้อโตโยต้า วีโก้พรีรันเนอร์ ทดสอบ, A = พื้นที่หน้าตัดของรถ (m^2), 0.85 = ค่าสัมประสิทธิ์การเคลื่อนที่ของรถ โดยคิดที่ความเร็วเฉลี่ย และเทียบกับระยะทางวิ่งที่ 100,000 km ค่าเป็นบทแสดงว่าลดอัตราการสิ้นเปลืองเชื้อเพลิง

ตารางที่ 2 อัตราการสิ้นเปลืองน้ำมันที่ความเร็วเฉลี่ย กรณีวิ่งตามกัน

ระยะห่าง แนวแกน (X) (m)	ที่ความเร็วเฉลี่ย (L/100 km)	วิ่งระยะทาง 100,000 km (ลิตร)	ลดอัตราการ สิ้นเปลือง น้ำมัน (%)
รถคันหน้า	-	-	-
10.0	0.4644	464.4	5.70 %
12.5	0.4197	479.7	5.15 %
15.0	0.3903	390.3	4.79 %
17.5	0.3418	341.8	4.19 %
20.0	0.2885	288.5	3.54 %

ตารางที่ 3 อัตราการสิ้นเปลืองน้ำมันที่ 90 km/hr กรณีวิ่งตามกัน

ระยะห่าง แนวแกน (X) (m)	ที่ความเร็ว 90 km/hr (L/100 km)	วิ่งระยะทาง 100,000 km (ลิตร)	ลดอัตราการ สิ้นเปลือง น้ำมัน (%)
รถคันหน้า	-	-	-
10.0	0.5313	531.3	6.52 %
12.5	0.4813	481.3	5.91 %
15.0	0.4466	446.6	5.48 %
17.5	0.3939	393.9	4.83 %
20.0	0.3347	334.7	4.11 %

ตารางที่ 4 อัตราการสิ้นเปลืองน้ำมันที่ 90 km/hr กรณีวิ่งเฉียงกัน

ระยะห่าง แนวแกน (X) (m)	อัตราการสิ้นเปลืองที่ความเร็ว 90 km/hr ($L/100 km$) ที่ระยะเยื่องต่าง ๆ แนวแกน (Z)					วิ่ง ระยะทาง 100,000 km (ลิตร)	ลดอัตรา การ สิ้นเปลือง น้ำมัน(%)
	1 m	2 m	3 m	4 m	เฉลี่ย		
รถคัน หน้า	-	-	-	-	-	-	-
10.0	0.2178	0.1509	0.1381	0.1133	0.1550	115.0	1.90 %
12.5	0.1681	0.0891	0.0558	0.0558	0.0922	92.2	1.13 %
15.0	0.1539	0.0844	0.0464	0.0373	0.0805	80.5	0.99 %
17.5	0.0998	0.0592	0.0413	0.0212	0.0554	55.4	0.68 %
20.0	0.0985	0.0551	0.0313	0.0212	0.0515	51.5	0.63 %

ตารางที่ 3 และตารางที่ 4 เป็นการคำนวนคำนวณที่ความเร็ว 90 km/hr ซึ่งเป็นความเร็วที่ใช้ช่วงในสภาวะปกติ โดยผลของการคำนวนอัตราการสิ้นเปลืองน้ำมัน แสดงให้เห็นว่า เมื่อรถคันหลัง วิ่งเข้าใกล้รถคันหน้ามากเท่าไหร่ ค่าสัมประสิทธิ์แรงดันที่เกิดจาก สนามการไหหลังที่มีค่าเอดพลังงานที่ต่ำกว่าจะมีผลกระทบกับรถคันหลังมากที่สุด แต่ระยะห่างที่ใกล้กันไปก็มีผลกับความปลดอภัยเป็นหลัง ซึ่งความสามารถนำหลักการนี้มาประยุกต์ และวิธีการขับขี่ เพื่อลดอัตราการสิ้นเปลืองน้ำมัน

3. สรุปและข้อเสนอแนะ

ความพยายามที่จะลดแรงดันที่กระทำกับรถยนต์ ได้ดำเนินมาอย่างต่อเนื่อง โดยพยายามที่จะลดค่าสัมประสิทธิ์แรงดันให้เหลือน้อยที่สุดด้วยการปรับรูปทรงของรถให้มีลักษณะเพรียวลม แต่วิธีการขับขี่โดยการวิ่งตามรถคันหน้า ก็เป็นวิธีหนึ่งซึ่งสามารถลดอัตราการสิ้นเปลือง ซึ่งจากการทดสอบ ที่ระยะห่าง 10 m อัตราการสิ้นเปลือง เชื้อเพลิงของรถคันหลังลดลงจากคันหน้า 6.52 % (ที่ความเร็วเฉลี่ย) ในกรณีที่ 2 โดยรถคันหนังวิ่งเยื่องกัน ที่ระยะห่าง 10 m และระยะเยื่อง 1 เมตร อัตราการสิ้นเปลืองน้ำมันของรถคันหลังลดลงจากคันหน้า 1.90 % จากงานวิจัยนี้สรุปว่า รถคันหลังที่วิ่งเข้าใกล้รถคันหน้าทั้งแนวราบและแนวขวางมากขึ้นเท่าไร จะทำให้สัมประสิทธิ์แรงดันของรถคันหลังลดลงเท่านั้น เนื่องจากความดันที่เกิดจากการเคลื่อนที่ (Dynamics Pressure) จะลดลงเมื่อเข้าใกล้รถคันหน้า ซึ่งสามารถเป็นแนวทางในการลด อัตราการสิ้นเปลืองเชื้อเพลิงของรถยนต์ได้อีกวิธีหนึ่ง

ค่าที่ได้จากการทดสอบอาจเกิดความคลาดเคลื่อนจาก CFD ไม่สามารถที่จะกำหนดสภาวะ คุณสมบัติได้เหมือนจริงทุกประการ และการวัดอัตราการสิ้นเปลืองน้ำมันให้แม่นยำนั้นทำได้ค่อนข้างยาก ถึงแม้จะควบคุมสภาวะการขับขี่ให้ใกล้เคียงกับการใช้งานจริงมากที่สุด

กิตติกรรมประกาศ

ผู้เขียนได้รับขอบคุณ สำนักงานคณะกรรมการวิจัยแห่งชาติ และมหาวิทยาลัยอุบลราชธานี ที่สนับสนุนงานวิจัย ประจำปี 2550

เอกสารอ้างอิง

- Spalart, P.R. 2000. "Strategies for turbulence modeling and simulation". International Journal of Heat and Fluid Flow. 21: 252-263.
- Horinouchi, N. 1995. "Numerical Investigation of Vehicle Aerodynamics with Overlaid Grid System". SAE 950628.
- Van Dam, C. P. 1999. "Recent experience with different methods of drag prediction". Progress in Aerospace Sciences. 35: 751-798.
- Prasad, A. and Williamson, C.H.K. 1997. "A method for the reduction of bluff body drag". Journal of Wind Engineering and Industrial Aerodynamics. 69-71: 155-167.
- Grosche, F.R. and Meier, G.E.A. 2001. "Research at DLR Gottingen on bluff body aerodynamics drag reduction by wake ventilation and active flow control". Journal of Wind Engineering and Industrial Aerodynamics. 89: 1201-1218.
- Muyl, F., Dumsa, L. and Herbert, V. 2004. "Hybrid method for aerodynamic shape optimization in automotive industry". Computers & Fluids. 33: 849-858
- Browond, F. 2005. "Reducing aerodynamics drag and fuel consumption". Advanced Transportation Workshop Stanford University.
- Leuschen, J. and Cooper, K.R. 2006. "Full-Scale Wind Tunnel Tests of Production and Prototype, Second-Generation Aerodynamic Drag-Reducing Devices for Tractor-Trailers". 2006 SAE International_ 06CV-222.

การศึกษาอากาศพลศาสตร์ของรถยนต์บรรทุกขนาดเล็กโดยการจำลองเชิงตัวเลข

Investigation on Aerodynamics of Small Utility Truck By Computational Fluid Dynamics

ปรัชญา มุขดา* กุลเชษฐ์ เพียรทอง

ภาควิชาศึกษาครรภ์ คณะศึกษาครรภ์ศาสตร์ มหาวิทยาลัยอุบลราชธานี

อ.วารินช์ราบ จ.อุบลราชธานี 34190 โทร 045-288376-377 โทรสาร 045-288378 E-mail:

K.Pianthong@ubu.ac.th

Prachya Mukda*Kulachate Pianthong

Department of Mechanical Engineering, Faculty of Engineering, Ubon Ratchatani University
34190, Thailand Telephone: 045-288376-377, Fax: 045-288378, E-mail: K.Pianthong@ubu.ac.th

ນທຄ້ມຢ່ວ

ในงานวิจัยนี้ เป็นการศึกษาและปรับปรุงคุณลักษณะทางอากาศพลศาสตร์ ของรถบรรทุกขนาดเล็กที่นั่งเด้านหน้าสองตอน (cab) ที่ใช้ในประเทศไทย ในกรณีศึกษา 4 ข้อ เปิดท้ายระบบปกติ, เปิดฝ่าท้ายระบบ, ปิดครอบระบบ และกรณีครอบส่วนหลังห้องน้ำ (van) ซึ่งพื้นที่หน้าตัดของรถเท่ากัน (Frontal area) ทุกกรณี โดยตรวจสอบผ่านการจำลองเชิงตัวเลข (computational fluid dynamics) ซึ่งใช้โปรแกรม Fluent ที่ได้มีการปรับเปลี่ยนเพื่อยับและยืนยันกับผลการศึกษาที่เคยทำมาก่อน ในศึกษาการไหลผ่าน ใช้ค่าความเร็วระหว่าง 30 – 130 กิโลเมตรต่อชั่วโมง หรือเท่ากับค่า Reynold's ประมาณ (1×10^6 – 4.5×10^6) โดยมีรัตถุประสิทธิ์หลัก เพื่อตรวจสอบกลไกการลดแรงต้านพบว่า สัมประสิทธิ์แรงต้านของรถมีค่าสูงกรณีเปิดท้ายระบบ เนื่องจากเกิดอากาศหมุนวนสูงในส่วนท้ายระบบ (wake) ซึ่งจะเกิดการสูญเสีย (loss) ในทางของไฟฟ้าพลศาสตร์ อากาศที่หมุนวน เมื่อปะทะกับท้าย

กระบวนการทำให้เกิดแรงต้าน, กรณีเปิดฝาท้ายกระบวนการสัมประสิทธิ์แรงต้านลดลงโดยเฉลี่ย 1.73 เปอร์เซ็นต์, กรณีปิดครอบกระบวนการ สัมประสิทธิ์แรงต้านลดลงโดยเฉลี่ย 6.45 เปอร์เซ็นต์ เป็นผลมาจากการแตกต่างระหว่างความดันด้านหน้าและท้ายกระบวนการ ลดลงความรุนแรงของ wake และความดันย้อนกลับลดลง และกรณีครอบส่วนหลังกระบวนการทั้งหมด สัมประสิทธิ์แรงต้านเพิ่มขึ้นโดยเฉลี่ย 5.60 เปอร์เซ็นต์ ซึ่งเป็นรูปทรงท้ายวิกฤต (Critical Afterbody Geometry) จะทำให้เกิดการเปลี่ยนแปลงการไหลอย่างฉับพลัน มีความดันย้อนกลับสูง จึงทำให้เกิดแรงต้านสูงกว่าทุกกรณี การปรับปรุงทางอากาศพลศาสตร์นี้จะมีอิทธิพลอย่างสูงต่อการลดลงของสัมประสิทธิ์แรงต้าน

คำสำคัญ : การศึกษาอาชีวศึกษาสตรี รายนี้
บรรยายความต้องการ เรียนรู้ การทำงาน เชิงตัวเลข

Abstract

This study aims to investigate and improve the aerodynamic characteristic of the small pick-up car (cap) in Thailand. Four car models which are (1) normal pick-up box, (2) tail gate opening, (3) covered pick-up box, (4) van. All models have the same frontal area, only aft bodies are different. The FLUENT, CFD package, is used to investigate the flow velocities between 30 – 130 km/hr (or equivalent to Reynolds number of $(1 \times 10^6 - 4.5 \times 10^6)$). The main focus, in this study, is to investigate the aerodynamic mechanism to reduce the coefficient of drag, (C_d) due to the wake at the rear body of the pick-up car. When the tail gate is opened the C_d is lowered by 1.73%. When the pick-up box is fully covered. The C_d is reduced by 6.45%. This is due to the difference of the pressure at the front and rear of the car. When the van model is used the C_d is increased by 5.60% because of the critical afterbody effect. From this study, the geometry at the rear body of the pick-up car can significantly affect the C_d , hence the energy economy.

1. บทนำ

การปรับปรุงด้านอากาศพลศาสตร์ของรถ (Aerodynamics) มีความสำคัญอย่างหนึ่งต่อการอนุรักษ์พลังงานของรถยนต์ในปัจจุบัน เพราะการออกแบบรถยนต์ส่วนใหญ่จะเน้นความสวยงามทันสมัย แต่การอนุรักษ์พลังงานในด้านรูปร่างของรถยนต์นั้น ยังมีการศึกษาและปรับปรุงน้อยกว่าในด้านเครื่องยนต์และกลไก โดยรูปร่างของรถเป็นปัจจัย

โดยตรงต่อการเพิ่มหรือลดลงของสัมประสิทธิ์แรงต้าน เพราะฉะนั้น หากการออกแบบรูปร่างและการปรับปรุงรูปร่างรถให้มีสัมประสิทธิ์แรงต้านที่ต่ำ ก็จะช่วยลดพลังงานในการขับเคลื่อนด้วยอีกวิธีหนึ่ง ดังนั้นการพัฒนาองค์ความรู้ด้านอากาศพลศาสตร์โดยการทดลองจริงเป็นสิ่งจำเป็น รถบรรทุกขนาดเล็กที่ใช้กันอยู่ในประเทศไทย ถึงแม้จะมีการออกแบบที่ดี พลควรแล้ว แต่ก็อาจจะสามารถปรับปรุง หรือดัดแปลงให้มีแรงต้านอากาศที่ต่ำลงได้อีก เพื่อช่วยในการประหยัดพลังงาน และในการใช้งานจริง ผู้ใช้งานมักจะติดตั้งอุปกรณ์เสริมเพื่อประโยชน์อย่างอื่นหรือเพื่อความสวยงาม ทำให้มีการใช้งานที่ผิดไปจากต้นแบบอยู่เสมอ อาจก่อให้เกิดแรงต้านของอากาศสูงซึ่งจะทำให้เพิ่มภาระให้กับเครื่องยนต์ ทำให้เกิดการสิ้นเปลืองพลังงานโดยไม่จำเป็น

จากการศึกษาที่ผ่านมา Van Dam และคณะ [1] ศึกษากระบวนการทำงานของวัตถุ ซึ่งได้รวมรวมวิธีการทำงานต่าง ๆ ในกราฟิกค่าแรงต้านตั้งแต่ยุคต้น ๆ จนถึงปัจจุบัน โดยศึกษาทฤษฎีของสมการ Euler และ Reynolds-averaged Navier-Stokes เป็นพื้นฐานในการศึกษาการใช้วิธีการจำลองเชิงตัวเลข และได้นำมาเปรียบเทียบกับการทดสอบในอุโมงค์ลม โดยได้สรุปความเหมาะสมของกริด และแบบจำลองการไหลแบบปั่นป่วนแต่ละชนิด นำมาใช้กับการจำลองเพื่อหาแรงต้านของyanพาหนะชนิดต่าง ๆ เช่น เครื่องบิน รถไฟ รถยนต์ ซึ่งเป็นพื้นฐานการประยุกต์ใช้ในการจำลองเพื่อลดแรงต้านของyanพาหนะ ต่อมา Singh และคณะ [2] ทำการศึกษาแรงต้านของรถบรรทุกโดยวิธีคำนวณเชิงตัวเลข โดยเปรียบเทียบแบบจำลองการไหลแบบปั่นป่วนชนิด ต่าง ๆ กับผลการทดสอบในอุโมงค์ลม โดยแบบจำลองการไหลแบบปั่นป่วนมาตรฐาน k-ε ให้ผลที่ใกล้เคียงมากที่สุด และ

ได้นำมาศึกษาผลของระยะห่างระหว่างหัวรถกับตื้อของรถบรรทุก ซึ่งระยะห่างที่น้อยที่สุดจะเกิดแรงด้านที่ต่ำเนื่องจากอากาศที่หมุนวนจะมีขนาดเล็ก และมีการประทະที่น้อยกว่าระยะห่างมาก ต่อมา Grosche และคณะ [3] ทำการศึกษาการลดแรงด้านของวัตถุทรงเพรียวยล์ (bluff body) และพยายามที่จะลดค่าสัมประสิทธิ์แรงด้านของรถยนต์ให้เหลือน้อยที่สุด ด้วยการปรับรูปทรงของรถให้มีลักษณะเพรียวยล์ เพื่อที่จะทำให้เกิดจุดแยกตัว (separation point) เกิดขึ้นด้านท้ายของรถยนต์ให้มากที่สุด และต่อมา Himeno และคณะ [4] ได้นำทฤษฎีการแยกตัว เพื่อใช้ในการออกแบบรถยนต์ยี่ห้อนิสสัน โดยการปรับปรุงรูปทรงภายนอกให้มีการเกิดการแยกตัวของอากาศให้น้อยที่สุด เมื่อจากทำให้เกิดจะเกิดอากาศหมุนวน (vortex or recirculation) ซึ่งก็เป็นการเกิดการสูญเสีย (loss) ของรถยนต์

ในงานวิจัยนี้เป็นการปรับปรุงอากาศพลศาสตร์ของ
ระบบรวมทุกขนาดเล็ก ด้วยวิธีจำลองเชิงตัวเลข
(computational fluid dynamics) โดยใช้โปรแกรม
Fluent ใช้แบบจำลองการไหลแบบปั่นป่วน
มาตรฐาน k-E ร่วมกับระเบียบวิธีปริมาณตรสี่บันเงื่อง ซึ่ง
ได้มีการเบรียบเที่ยบและยืนยันกับผลการศึกษาที่ได้ทำ
มาก่อน (validation) มาทำการจำลองการไหลผ่าน
ระบบรวมทุกขนาดเล็ก วัดคุณประสิทธิ์ของงานวิจัยนี้คือ การ
ปรับปรุงรูปลักษณ์ของรถเพื่อลดสัมประสิทธิ์แรงต้าน
โดยการปรับปรุงรูปร่างท้ายระบบของรถ ในกรณีเปิด
ท้ายระบบ ซึ่งเป็นกรณีต้นแบบเพื่อนำมาเบรียบเที่ยบ
สัมประสิทธิ์แรงต้านกับกรณีศึกษาอื่น ๆ คือ กรณีเปิด
ฝ่าท้ายระบบ กรณีปิดครอบระบบ และกรณีครอบ
ท้ายระบบทั้งหมด (van) สำหรับขั้นตอนการวิจัยได้
ดำเนินดังนี้คือ 1. สรุปแบบจำลองทางคณิตศาสตร์
ต่าง ๆ ที่ใช้ 2. การกำหนดปัญหา 3. การตรวจสอบ

สัมประสิทธิ์แรงด้านของแบบจำลองการให้ผลแบบ
ปั่นป่วนมาตรฐาน k-ε เปรียบเทียบกรณีศึกษาต่าง ๆ
ที่กล่าวมา 4. สรุปผลและเสนอแนะ

2. ທຸລະກົດ

แรงรวมของหน่วยแรงเฉื่อน และความดันที่กระเจา
ทั่วพื้นผิวของวัตถุสามารถหาได้จากการอินทิเกรตแรง
ทั้งสองครอบคลุมพื้นที่ผิวของวัตถุ โดยมีแรงย่ออยู่ใน
แนวแกน x และ y ของแรงรวมกระทำบนพื้นที่เล็ก ๆ
 dA คือ

$$dF_x = (pdA)\cos\theta + (\tau_w dA)\sin\theta \quad (1)$$

$$dF_y = -(pdA)\sin\theta + (\tau_w dA)\cos\theta \quad (2)$$

เมื่อ τ_w คือแรงเฉือนที่ผิวватถุ (wall shear stress),
 p คือความเค้นที่เกิดขึ้นทางด้านหน้าของวัตถุ
 เมื่อจากความดัน ดังนั้นจึงสามารถหาแรงรวมใน
 แนวแกน x และ y ที่กระทำต่อวัตถุได้จาก

$$F_D = \int dF_x = \int p \cos \theta dA + \int \tau_w \sin \theta dA \quad (3)$$

$$F_L = \int dF_v = - \int p \sin \theta dA + \int \tau_w \cos \theta dA \quad (4)$$

เมื่อ F_D คือแรงรวมที่กระทำต่อวัตถุในทิศทางตั้ง
จากกับทิศทางการไหล (Drag), F_L คือแรงรวมที่
กระทำต่อวัตถุในทิศทางตั้งจากกับทิศทางการไหล
(Lift) ทำการออกแบบเพื่อลดแรงต้านโดยพิจารณา
เช่น pressure drag

$$F_D = \int_{front} p \cos \theta dA - \int_{back} p \cos \theta dA \quad (5)$$

ซึ่งลักษณะการไหลที่นำมาวิเคราะห์ คือการไหลแบบปั่นป่วนขัดตัวไม่ได้ จะขึ้นอยู่กับกฎร่างของวัตถุ และค่า Reynolds number คือสัดส่วนของแรงเนื่องจากความเรื้อยต่อแรงเนื่องจากความหนืดสามารถเขียนสมการได้ว่า

$$R = \frac{\rho V L}{\mu} \quad (6)$$

โดย R คือ Reynolds number, ρ คือความหนาแน่นของอากาศ, V คือความเร็วของอากาศที่ไหลผ่านวัตถุ, L คือความยาวของวัตถุที่มีผลต่อสภาพการไหล และ μ คือค่าความหนืดของอากาศ

ในกรณีศึกษาค่า Reynolds number จะอยู่ในช่วง $10^4 - 10^7$ ซึ่งสภาพการไหลจะมีผลโดยตรงมาจากการเรื้อยเป็นหลัก โดยแรงหลักที่กระทำกับวัตถุคือแรงต้านเนื่องจากความดัน (pressure drag; F_p) สามารถเขียนสมการของแรงต้านเนื่องจากความดันคือ

$$F_p = C_p \rho \frac{V^2}{2} A \quad (7)$$

โดย V คือความเร็วเฉลี่ยของของไหลที่เคลื่อนที่ผ่านวัตถุ, A คือพื้นที่ทับบนระนาบที่ตั้งจากกับทิศทางการไหล, C_p คือสัมประสิทธิ์แรงต้านเนื่องจากความดัน (pressure drag coefficient) และแรงต้านเนื่องจากความเสียดทาน ซึ่งมีค่าเท่ากับผลรวมของหน่วยแรงเรื้อน (shear stress; F_f) สามารถเขียนสมการของแรงต้านเนื่องจากความเสียดทานคือ

$$F_f = C_f \rho \frac{V^2}{2} BL \quad (8)$$

โดย C_f คือสัมประสิทธิ์แรงต้านเนื่องจากความเสียดทานซึ่งขึ้นอยู่กับความหนืด, L คือความยาวของ

พื้นผิวในแนวนานกับทิศทางการไหล และ B

คือความกว้างของพื้นผิว

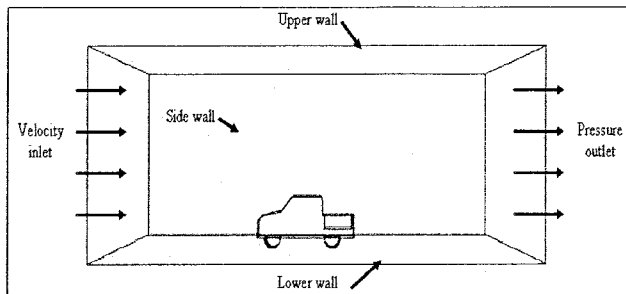
สมการหาสัมประสิทธิ์แรงต้าน

$$C_D = \frac{F_D}{\frac{1}{2} \rho V^2 A} \quad (9)$$

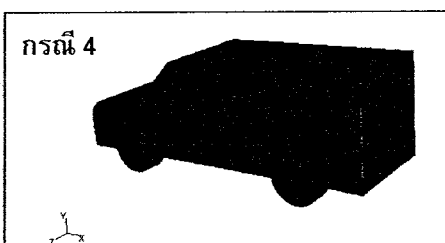
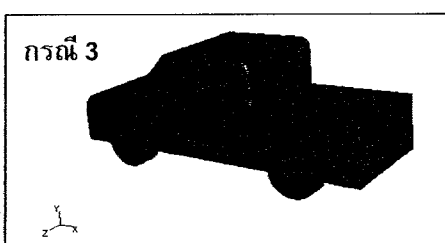
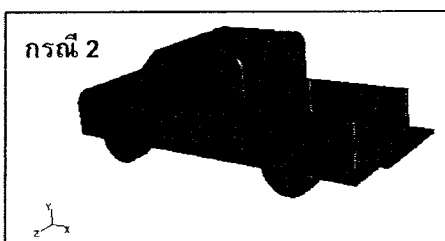
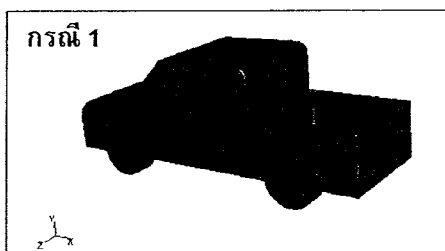
โดยที่ C_D คือสัมประสิทธิ์แรงต้านรวม, F_D คือแรงต้านรวมที่กระทำต่อวัตถุ, ρ คือความหนาแน่นของอากาศ, และ A คือพื้นที่ที่ตั้งจากกับทิศทางการไหล (frontal area)

3. การคำนวณเชิงตัวเลข

การกำหนดแบบขอบเขตการจำลองที่ใช้ในการวิเคราะห์ โดยกำหนดเป็นกล่องสี่เหลี่ยม เสมือนเป็นบรรยาอากาศล้อมรอบบริเวณขนาดเล็กที่ใช้ในการทดสอบ ดังแสดงในรูปที่ 1 ระยะความยาวของรถเป็น L ระยะจากด้านอากาศเข้าถึงด้านหน้ารถเป็น $2L$ ด้านท้ายรถถึงทางออกเป็น $3L$ ความสูงจากพื้นถึงผนังด้านบนเป็น $2L$ ระยะด้านข้างรถเป็น W ระยะจากด้านข้างตัวรถถึงผนังด้านข้างเป็น $9.5W$ ระยะพื้นถนนถึงพื้นรถคือ L_G ระยะความสูงของรถจากพื้นคือ $4.9 L_G$ ให้ระบบแกน 3 มิติ แกนอ้างอิงติดอยู่กับที่ ในรูปที่ 2 เป็นแบบจำลองที่ใช้ในการวิเคราะห์คือรถบรรทุกขนาดเล็กที่นั่งด้านหน้าสองตอน (cap) ในกรณีจะบล็อกเป็นลักษณะเปิดท้ายกระบวนการปกติ, เปิดฝ่าท้ายกระบวนการ, เปิดท้ายกระบวนการ และครอบส่วนหลังทั้งหมด (van) ซึ่งพื้นที่หน้าตัดของรถเท่ากัน (Frontal area)



รูปที่ 1 เงื่อนไขที่ใช้ในการวิเคราะห์



รูปที่ 2 แบบจำลองที่ใช้ในการวิเคราะห์

เงื่อนไขขอบเขต (Boundary condition) สำหรับแบบจำลองที่ใช้ในการคำนวณดังรูปที่ 1 สามารถอธิบายได้ดังนี้

1. ความเร็วสัมพัทธ์ของอากาศที่ผิวนอกต้องเป็นศูนย์ เมื่อจากอิทธิพลของความหนืด (No slip boundary condition)

2. สมมุติให้ความเร็วรอบคงที่และคงตัว (Uniform Velocity inlet)

3. ความดันในสนามความเร็วที่ทางออก (Pressure outlet) ไม่ถูกควบคุมจากภูมิประเทศของรถ และให้มีค่าเท่ากับความดันบรรยายกาศ

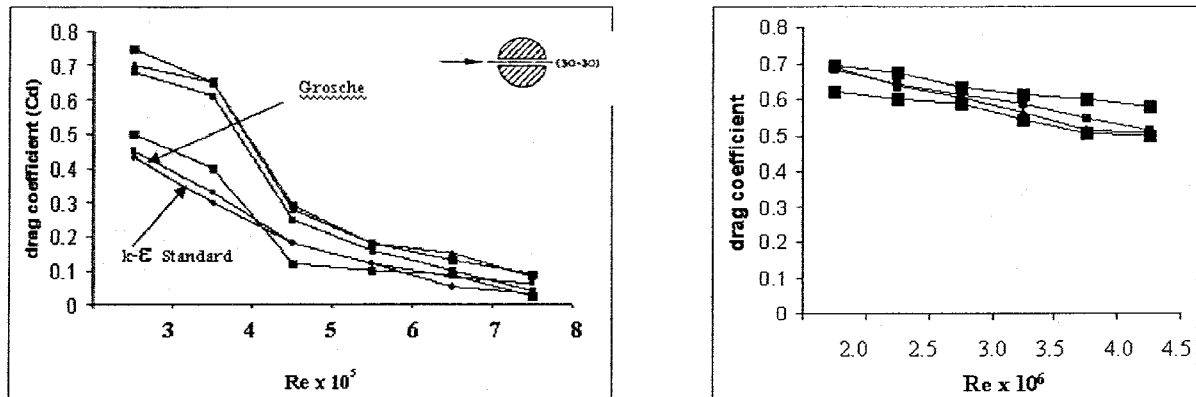
4. การศึกษานี้สมมุติให้เป็นการไหลที่ไม่มีลักษณะด้านข้าง

5. ที่ผนังด้านบน (Upper wall) และด้านข้าง (Side wall) สมมุติให้ไม่มีฟลักซ์เนื่องจากการพา (Convective flux) และไม่มีฟลักซ์เนื่องจากการแพร (Diffusive flux)

6. ผนังด้านล่าง (Lower wall) หรือพื้นถนน ให้เงื่อนไข เช่นเดียวกันกับข้อ 5 และสมมุติให้ความเร็วสัมพัทธ์ระหว่างอากาศกับท้องถนน (Slip condition) เนื่องจากการจำลองต้องการให้สมมุติว่ารถเคลื่อนที่เข้าไปปั้งอากาศนึง

4. การตรวจสอบสัมประสิทธิ์แรงด้านของรถ และวิเคราะห์ผล

การตรวจสอบค่าแรงด้าน โดยตรวจสอบผ่านทางการจำลองเชิงตัวเลข (computational fluid dynamics) ซึ่งใช้โปรแกรม Fluent ที่ได้มีการเปรียบเทียบและยืนยัน (validation) กับผลการศึกษาของ Grosche และคณะ [3] ซึ่งเป็นการศึกษาสัมประสิทธิ์แรงด้านของอากาศของวัตถุทรงกลมเปรียบเทียบกับวัตถุทรงกลมเจาะรูตรงกลางในขนาดเส้นผ่านศูนย์กลางต่าง ๆ ใช้คุณค่าเป็นเครื่องมือในการทดสอบ ซึ่งได้แสดงในรูปที่ 3 โดยเปรียบเทียบผลการจำลองการไหลแบบบันป่วนต่าง ๆ กับผลการทดสอบสัมประสิทธิ์แรงด้านของ Grosche



รูปที่ 3 เปรียบเทียบแบบจำลองการไหลแบบปั่นป่วนต่าง ๆ กับผลการทดสอบของ Grosche

ดังนั้นจึงเลือกใช้แบบการจำลองการไหลแบบปั่นป่วนมาตรฐาน $k-\epsilon$ ซึ่งให้ค่าใกล้เคียงกับผลการศึกษามากที่สุด โดยจำนวนของกริด (Grid) 355,000 เอลิเมนท์ เป็น Mesh แบบ Tri/Tet (กริดรูปพีระมิด) โดยทดสอบที่ความเร็ว 10, 15, 20, 25, 30, 35 เมตรต่อวินาที ค่าเรย์โนลด์สปะรمان (1×10^6 – 4.5×10^6) เพื่อตรวจสอบแรงต้านของรูปแบบข้างต้น ที่มีรูปร่างของหัวยกระดับแตกต่างกัน มาก่อนหาสัมประสิทธิ์แรงต้าน (C_D) ดังรูปที่ 4 และตารางที่ 1 แสดงค่าแรงต้านและสัมประสิทธิ์แรงต้านที่ความเร็วที่ใช้ในการวิเคราะห์

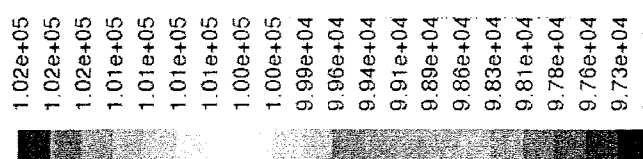
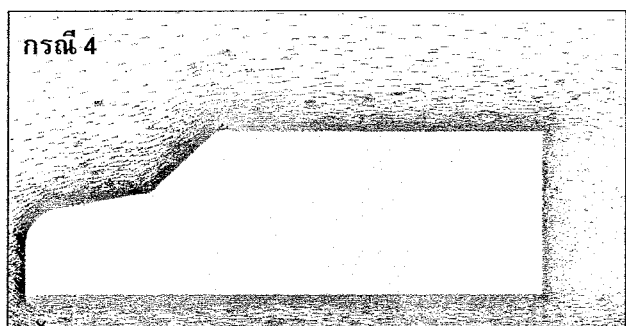
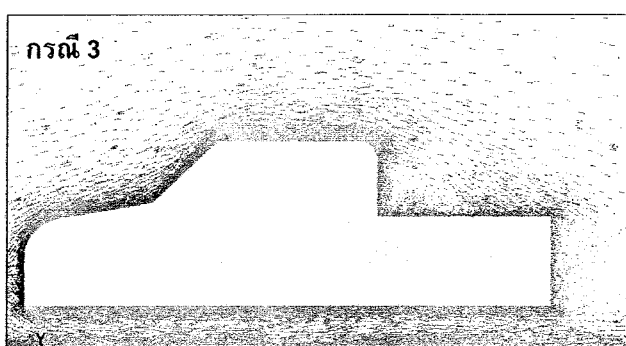
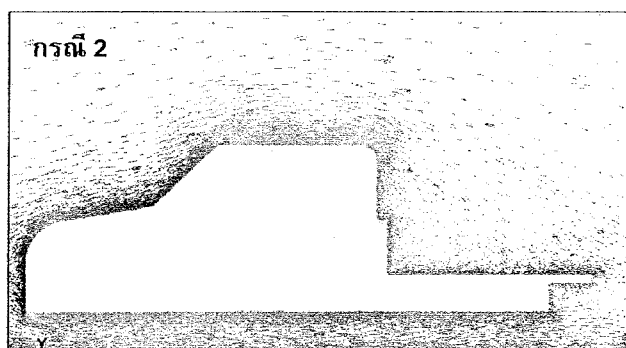
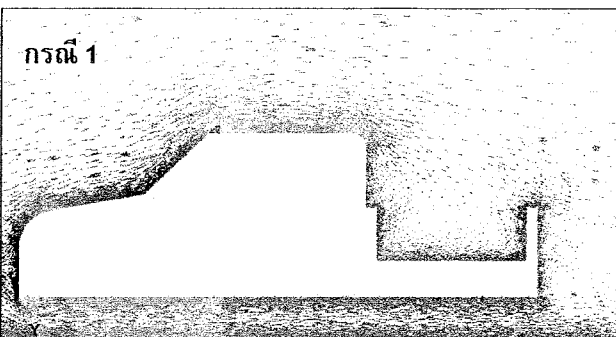
—■— เปิดกระเบนปกติ
—▲— เปิดฝ่าท้ายกระเบน
—■— เปิดครองกระเบน
—■— ครองส่วนหลังหัวมด

รูปที่ 4 แสดงการค่าสัมประสิทธิ์แรงต้านของรูปในกรณีต่าง ๆ กับค่า Reynolds number

ความเร็ว (m/s)/(Km/h)	Drag Force, F_D (N) / Drag Coefficient, C_D			
	เปิดท้าย กระเบนปกติ	เปิดฝ่าท้าย กระเบน	ปิดท้าย กระเบน	ครองส่วน หลัง
10/36	112/0.682	113/0.689	102/0.620	114/0.692
15/54	230/0.642	237/0.638	223/0.601	250/0.673
20/72	401/0.611	397/0.605	385/0.587	415/0.632
25/90	606/0.587	581/0.563	559/0.541	631/0.611
30/108	812/0.546	767/0.516	751/0.505	892/0.600
35/126	1038/0.513	1028/0.508	1003/0.496	1176/0.581

ตารางที่ 1 แสดงค่าแรงต้าน (F_D), และสัมประสิทธิ์แรงต้าน (C_D) กับความเร็วที่ใช้ในการวิเคราะห์

จากผลการจำลองนี้ สัมประสิทธิ์แรงต้านจะลดลง และเพิ่มขึ้นกับการเปลี่ยนแปลงการกระจายตัวของความดันด้านหน้าและด้านท้ายกระเบนของรูป โดยปัจจัยหลักของการออกแบบเพื่อลดความดันในด้านหน้าหรือเพิ่มความดันในด้านหลังของรูป ซึ่งจะสังเกตได้ว่าเมื่อการปรับปุ่งกระเบนของรูปโดยที่ทำให้การไหลราบรื่นมากขึ้น จะช่วยให้แรงต้านลดลง และเมื่อพิจารณาจากการไหลผ่านรูปทรงของรูป

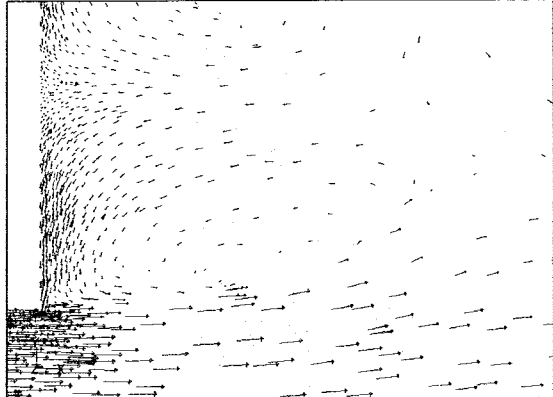


รูปที่ 5 Velocity vector colored by static pressure (passcal)

กรณีที่ 1 ซึ่งเป็นกรณีที่มีการเปิดระบบปิดดินน้ำขนาดของแรงต้านนั้นจะขึ้นอยู่กับความแตกต่างของความดันระหว่างด้านหน้าและด้านหลังของรถ โดยแบ่งความแตกต่างออกได้เป็น 3 บริเวณความดันคือ บริเวณที่ 1 บริเวณห้องโดยสาร, 2 บริเวณกระเบน, 3 บริเวณท้ายรถทั้งด้านบนและด้านล่าง

ซึ่งทั้ง 3 บริเวณ มีความแตกต่างกันของความดัน ซึ่งบริเวณห้องโดยสารนั้นจะมีความดันสูงเนื่องจาก ไม่มีลมตามอากาศ และลดลงเมื่อเข้าสูงตำแหน่ง บริเวณกระเบน ซึ่งหากพิจารณาจากภูที่ 6 ซึ่งเป็นตำแหน่งระหว่างห้องผู้โดยสารกับบริเวณกระเบน จะเกิดการไหลย้อนกลับเรียกว่าเกิดการแยกตัว (separation) และภายในส่วนนี้จะเกิดการไหลแบบปวนป่วนที่เรียกว่าอากาศหมุนวน (wake) ซึ่งก็คือการเกิด การสูญเสีย (loss) ในทางของให้พลศาสตร์อากาศที่หมุนวนนี้เมื่อปะทะกับระบบห้าม จะทำให้เกิดแรงต้านในระดับหนึ่ง ซึ่งการเกิดการแยกตัวนั้น เมื่อกำสมการเบอร์นูลลีมีความเคราะห์ จะพบว่า การไหลของชั้นนอกมีความเร่งมากกว่าการไหลของชั้นใน เพราะของไหลที่อยู่ชั้นในได้รับอิทธิพลของความหนืด (viscosity, μ) เกิดแรงเฉือนต้านการไหลข้างและความดันที่กดทับจากภายนอก ซึ่งทำให้การไหลของชั้นในมีเม็ดมีเม็ดน้อย จึงทำให้ไหลผ่านความดันสูง ๆ ได้ยาก จึงทำให้เกิดการหมุนวน ทำให้ความดันบริเวณกระเบนลดลง ส่วนในบริเวณท้ายรถทั้งด้านบนและด้านล่างนั้น ความเร็วของอากาศด้านล่างของรถสูงกว่าด้านบน (พิจารณาจากสมการเบอร์นูลลี) เนื่องจากพลังงานจลน์จากภายนอก ส่งถ่ายเข้าสู่ย่านภายในมากขึ้น ทำให้เพิ่มเม็ดในกระบวนการเข้าชนความหนืด ได้สูงขึ้น ทำให้เกิดความดันท้ายรถด้านบนและด้านหลัง มีความแตกต่างกัน จึงเกิดการหมุนวนของ

อากาศและความดันจะลดลงจากบริเวณกระบะ ดังนั้น แรงดันทั้ง 3 บริเวณมีความแตกต่างกัน จึงทำให้เกิด แรงต้าน ดังสมการที่ (5) ดังที่กล่าวมา



รูปที่ 6 การหมุนของอากาศ (wake) ที่เกิดจากการแยกตัว (separation)

กรณีที่ 2 มีการเปลี่ยนแปลงรูปร่างโดยมีลักษณะ เปิดฝ่าท้ายกระบะนั้น ซึ่งสัมประสิทธิ์แรงต้านมีการลดลงน้อยมาก โดยใกล้เคียงกันกับในกรณีที่ 1 ซึ่งในกรณีที่ 2 นั้นการประทับของอากาศกับฝ่าท้ายกระบะจะลดลง เนื่องจากเปลี่ยนแนวการติดตั้งฝ่าท้ายกระบะไปทิศทางซ้ายนานกับการให้หลัง ซึ่งเบรียบเสมือนกันยกระดับของพื้นท้ายรถสูงขึ้น ซึ่งจะส่งผลให้ค่าสัมประสิทธิ์แรงต้านลดลง และค่าสัมประสิทธิ์แรงยกมีค่าลดลงเช่นกัน (แรงกดเพิ่มขึ้น) แต่จะมีผลกระทบกับการลดลงของสัมประสิทธิ์แรงต้าน ซึ่งการยกกระดับพื้นท้ายรถจะมีผลต่อการกระจายตัวความดันที่ผิวนของรถน้อยมาก แต่ความดันพื้นรถในกรณีที่ 1 จะสูงกว่าในกรณีที่ 2 เนื่องจาก การเปิดฝ่าท้ายกระบะบังคับให้เกิดการหักตัวของการให้หลัง ซึ่งต้องใช้แรง (โมเมนตัม) เป็นอย่างมาก ทำให้ความดันต่ำกว่าและเป็นเหตุให้แรงต้านและแรงยกลดลงในระดับหนึ่ง

กรณีที่ 3 มีการเปลี่ยนแปลงรูปร่างโดยปิดครอบกระบรรทัด โดยการกระจายของความดันจากรูปที่ 5

กรณีที่ 3 เป็นการลดลงของการหมุนของอากาศ เนื่องจากไม่มีการประทับของฝ่าท้าย ซึ่งการหมุนของอากาศก็ลดน้อยลง เนื่องจากความหนาของบริเวณห้องโดยสารค่อนข้างน้ำหนา ลดลงมากบริเวณกระบะ จึงมีความดันย้อนกลับน้อย ดังนั้นจุดแยกตัวจะเกิดขึ้นน้อย เช่นเดียวกัน ทำให้ความดันด้านหลังของรถมีค่าที่สูงขึ้น และสัมประสิทธิ์แรงต้านก็ลดลงกว่ากรณีที่ 1 และ 2

กรณีที่ 4 มีการเปลี่ยนแปลงรูปร่างโดยครอบหลังของกระบะทั้งหมด วิเคราะห์จากรูปที่ 5 กรณีที่ 4 ความหนาของบริเวณห้องโดยสารและบริเวณกระบะจะเท่ากัน แต่ส่วนบริเวณท้ายรถทั้งด้านบนและล่างมีลักษณะเป็นสี่เหลี่ยมตัดตรง ซึ่งเป็นรูปทรงด้านท้ายที่ก่อให้เกิดแรงต้านมากที่สุด และเรียกรูปทรงนี้ว่า รูปทรงท้ายวิกฤต (Critical Afterbody Geometry) โดยจากรูป พบว่ารูปทรงด้านท้ายได้มีการเปลี่ยนแปลงจนกระทั้งที่สี่เหลี่ยมท้ายวิกฤต จะทำให้เกิดการเปลี่ยนแปลงการไหลอย่างชัดเจน มีความดันย้อนกลับสูง จึงทำให้เกิดแรงต้านสูงกว่าทุกกรณี

5. สรุปผลและเสนอแนะ

จากการวิเคราะห์ผลจากการตรวจสอบค่าสัมประสิทธิ์แรงต้าน (จากการจำลองรถบรรทุกขนาดเล็ก 3 มิติ) ที่ความเร็วต่าง ๆ ของทั้ง 4 กรณีนั้น ซึ่งจากการปรับเปลี่ยน สามารถตรวจสอบการลดลงและเพิ่มขึ้นของสัมประสิทธิ์แรงต้านได้จากการเบรียบเทียบกับกรณีที่ 1 เปิดท้ายกระบะ ซึ่งเป็นกรณีที่มีการใช้งานของรถโดยปกติ ในกรณีที่ 2 เปิดฝ่าท้ายกระบะสามารถลดสัมประสิทธิ์แรงต้านโดยเฉลี่ย 1.73%, กรณีที่ 3 ปิดครอบกระบะ สามารถลดสัมประสิทธิ์แรงต้ายโดยเฉลี่ย 6.45%, กรณีที่ 4 โดยครอบท้ายกระบะทั้งหมด กรณีนี้จากการเปลี่ยนแปลงรูปทรงของกระบะทำให้สัมประสิทธิ์แรงต้านโดยเฉลี่ยเพิ่มขึ้นเป็น 5.60%

สำหรับความคลาดเคลื่อนที่เกิดขึ้นนั้น เป็นผลมาจากการขาดแคลนข้อมูลที่ใช้ได้ถูกต้องด้วยกันดังนี้ คือ ความไม่ถูกต้องของแบบจำลองของความปั่นป่วน ความผิดพลาดของการแสดงเค้าโครงรถ จำนวนกริดที่น้อยเกินไป และการกำหนดเงื่อนไขและขอบเขต

จากค่าเฉลี่ยของสัมประสิทธิ์แรงต้าน กรณีปิดหัวยกระดับจะให้ค่าเฉลี่ยที่ต่ำที่สุด เพราะจะนั่นการพยายามที่จะลดค่าสัมประสิทธิ์แรงต้านที่กระทำกับรถบรรทุกขนาดเล็กให้เหลือน้อยที่สุด ด้วยการปรับรูปทรงให้มีลักษณะเพรียวลม นอกจากนี้การลดขนาดของแรงต้านก็ต้องพิจารณาถึงการลดพื้นที่ทabant ในแนวทิศทางตั้งจากกับทิศทางของการเคลื่อนที่ (frontal area) หรือกล่าวคือ ออกแบบเพื่อลดความดันในด้านหน้าหรือเพิ่มความดันในด้านหลังของรถ โดยจะมีการปรับปูงและศึกษาต่อไป ซึ่งจะทำให้เกิดการลดลงของสัมประสิทธิ์แรงต้าน สามารถช่วยให้การขับเคลื่อนรถด้วยความเร็วที่สูงขึ้น ในขณะที่อัตราการสิ้นเปลืองน้ำมันเชื้อเพลิงลดลง

เอกสารอ้างอิง

1. C.P. van Dam. Recent experience with different methods of drag prediction. Progress in Aerospace Sciences, 35 (1999), 751-798
2. S N Singh, L Rai, P Puri, and A Bhatnagar. Effect of moving surface on the aerodynamic drag of road vehicles Proc. KMechE. Automobile Engineering, 219(2000), 98-114
3. F.R. Grosche, G.E.A. Meier. Research at DLR Gottingen on bluff body aerodynamics drag reduction by wake ventilation and active flow control. Journal of Wind Engineering and Industrial Aerodynamics, 89 (2001), 1201-1218

4. H. Fukuda, K. Yanaginoto, H. China, and K. Nakagawa. Improvement of vehicle aerodynamics by wake control. SAE Review, 16 (1995), 151-155
5. M.Tomiyama, K. maeda, and F. Nakamura. The development of a method to obtain the optimum lift coefficient using the vehicle dynamic analysis. JSAE Review, 23 (2002), 69-74
6. อาทิตย์ ฤทธิ์เลื่อน และ อุดมเกียรติ นนท์แก้ว. การวิเคราะห์การไหลของอากาศรอบรถยนต์นั่ง วารสารวิชาการพระจอมเกล้าพระนครเหนือ. ปีที่ 13, ฉบับที่ 2 เม.ย.-มิ.ย 2546

